



# BioCoherence Handleiding

Version 2025-03-20

# Algemene inhoudsopgave

## INLEIDING

1. Een korte geschiedenis van BioCoherence .....	3
2. Bruggen bouwen .....	5

## 3. HET GEBRUIK VAN BIOCOHERENCE

3.1. Modules overzicht.....	15
<i>Een gedetailleerde inhoudsopgave is te vinden aan het begin van dit hoofdstuk.</i>	
3.2. Gedetailleerde handleiding voor elk module .....	37
<i>Een gedetailleerde inhoudsopgave is te vinden aan het begin van dit hoofdstuk.</i>	

## 4. ADDENDUMS

4.1. Veelgestelde vragen .....	82
4.2. Medische studies en literatuur .....	86
4.3. Bibliografie .....	98

# Een korte geschiedenis van BioCoherence

Het is zomer 2024 en de eerste publieke versie van BioCoherence staat op het punt te worden gelanceerd. Hoe zijn we hier terecht gekomen, met deze software uit mijn hoofd, met tot nu toe meer dan 1400 eigen biomarkers, 40 schermen, scananalyse van een elektrocardiogram en testen met live biofeedback, en een herstelmodule?

Laten we terugkijken naar twee samenvloeiende paden.

Ons eerste contact met energiebeoordelings- en behandelingsapparaten dateert uit 2011. Christine en ik waren getrouwd en hadden 3 kinderen. Dat jaar, moest onze tweede dochter Isis, toen nog glutenintolerant, naar de middelbare school. Terwijl we nog in Sournia woonden, een klein dorp in de Pyreneeën (in het zuiden van Frankrijk), waren we op zoek naar een oplossing zodat ze lunch op school kon hebben. Ik'll spaar je de details uit, maar toen we bij de specialist kwamen, vertelde hij ons dat de enige oplossing een colonoscopie was. En dat het haar toch niet kon genezen. Dus begonnen we te zoeken naar een andere oplossing. Een vriend wijst ons de weg naar een vreemde man die in een klein dorp werkt, en deze vreemde man deed een volledige check-up en herharmonisatie in één sessie; hij had niet alle problemen in een half uur geïdentificeerd, maar ze was een maand later genezen.

Christine en ik keken elkaar aan en realiseerden ons dat er iets mis was met de geneeskunde. Waarom had het ziekenhuis ons deze oplossing niet kunnen aanbieden? Waarom was het blijkbaar zo vertrouwelijk? Maar bovenal, wat was dit nu?

Aan het einde van 2011, richtten we een non-profit op met deze praktijk om deze praktijken te bestuderen en te valideren, daarna een zorgcentrum, en vervolgens een tweede. We kwamen uiteindelijk in contact met de fabrikant van dit apparaat om het in Frankrijk te distribueren, aan het einde van 2012. We ontmoetten anderen, en we eindigden met het opzetten van solide distributie, een netwerk van praktijkvoerders, en een school.

Maar voor mij, een wetenschapper, ingenieur, softwareontwerper, muzikant, auteur en bovenal compulsieve schepper, kon ik niet stoppen bij een commerciële of administratieve rol. Ik had al meerdere bedrijven opgericht, waarvoor ik altijd het hele computersysteem had geprogrammeerd. Eigenlijk begon ik software te creëren toen ik ongeveer 10 was, en verkocht mijn eerste toen ik 15 was. Daarna studeerde ik wetenschap en ging ik naar een geluidsengineering school, voordat ik een webbureau oprichtte met Christine in 1996, en vervolgens meerdere start-ups. Terugkomend op de zorgapparaten die we distribueren, als ontwerper, was ik vastbesloten bij te dragen aan deze innovatieve impuls in het ontwerp van deze check-up en zorgsystemen, waarvan ik veel ervaring heb en goed begrijp.

Maar dit is niet het enige pad dat heeft geleid tot BioCoherence vandaag.

Het andere pad is meditatie.

Toen ik 11 of 12 jaar oud was, had ik een passie voor magie — of eerder, toveren. Ik kon de hele dag door brengen in Parijse magiewinkels, waar ik alle klanten (showbusinessprofessionals) ontmoette. — vergeet niet, ik heb ook een truc bedacht, gemaakt en verkocht aan een winkel, ik schat 13 jaar oud ... — En daar's waar ik Pierre ontmoette, een magische pro die overal in de wereld werkte. We werden goede vrienden. En Pierre had sinds zijn kindertijd aan "uit het lichaam", of "astrale reizen" gedaan, wat mij fascineerde. Ik had er nooit van gehoord. Hij gaf me een paar boeken over het onderwerp en sprak er over als iets volledig natuurlijk voor hem, maar we raakten na een tijd uit het oog.

Sindsdien leek het natuurlijk voor mij dat er een veel grotere wereld bestaande was achter de sluier van verschijningen. Maar hoe, in Parijs, in een hyper-materialistische tijd, in een familie die er niks over wist, kon ik deze vraag onderzoeken?

Naarmate de jaren vergingen, bleef het een privilege en fascinerend onderwerp van discussie, een bron van nieuwsgierigheid, maar niets meer. We probeerden meditatie als tieners en toen als volwassenen, zonder veel succes. Toen begon het leven te vormen in het hier en nu, met al zijn eisen.

Terugkomend op 2011, een pivotaal jaar, een samenvloeiing van paden. Toen Isis begon aan haar herstel, werd we verwezen naar een huisarts in Perpignan. Hij ziet de zaken anders. Natuurlijk, laten we gaan. Ik praat met hem over alles en nog wat, en het onderwerp van meditatie komt weer terug; ik vertel hem dat ik had geprobeerd uit mijn lichaam te gaan zonder veel succes. Hij beantwoordt dat hij een techniek kent die gebaseerd is op geluiden met verschillende frequenties in de oren, zonder veel meer te weten over de techniek. Maar geluid sprak me aan... en ik zocht en ontdekte binaural beats. En vanaf dat moment, versnelde de vooruitgang, die tot dan toe zo vervelend was, enorm. Binnen een paar maanden, was het universum aan het uitbreiden, zowel naar binnen als naar buiten. Sinds dat pivotaal jaar, is alles om ons heen aan het herorganiseren.

Ik begon aan een serie interviews voor een filmproject, *In Reality*<sup>1</sup>. Ik ontmoette en filmde ongeveer veertig fascinerende mensen. Uiteindelijk richtte ik een Franse uitgeverij op om hun boeken te vertalen, en heb tot nu toe zo'n twintig werken gepubliceerd.

Christine, voor haar deel en tot haar grote verbazing, werd helderziend. Dat is een goede! Oh, en mijn dochter ook. Zoals een goede wetenschapper doe ik in ieder geval een paar validatieprotocollen. Het lijkt allemaal heel echt, oké, laten we het toegeven. Dat jaar, na 7 jaar quasi-autarkisch gezinsleven in de bergen (we hadden Parijs in 2004 verlaten om het huis te bouwen dat Christine zelf had

ontworpen), kwam Disneyland in volle glorie. En de wereld wordt veel wijder. Het huis vult zich met wezens, elk nog fantastischer dan de laatste. Gek, maar anekdote na anekdote wordt het onmogelijk om niet in deze nieuwe realiteit te geloven.

Dit zijn de twee paden die samenkomen; aan de ene kant energie-evaluatie en genezingsapparaten en software, met hun fantastische mogelijkheden maar verschillende beperkingen en frustraties; aan de andere kant meditatie, innerlijke persoonlijke ontwikkeling, het verbreden van de grenzen van de wereld, en de immense kracht van het nemen van macht over jezelf en bewustzijn van je eigen verantwoordelijkheid.

Dus, in 2017, heb ik een eerste alliantie van de twee opgezet en begon ik aan een meditatie-app-project, bedoeld als een platform voor makers; te ingewikkeld, nooit afgemaakt. In 2018 creëerde ik een app om binaurale beats en andere geluiden te genereren ter ondersteuning van meditaties; te ingewikkeld, nooit afgemaakt. Ik begin een terugkerend patroon te zien. Dit is niet mijn eerste te-ingecomplieerde, nooit-afgemaakte applicatie. Oké, laten we het hele ding herschrijven en vereenvoudigen: Ah, overwinning! In 2021 presenteren we onze school met zijn eerste, minder ingewikkelde en -hoera! - afgemaakte app: 33, geleide meditaties, gebaseerd op Christine's eerste 2 boeken.

Één detail blijft: ik wil meer bieden. Ik wil een betrouwbaar meetsysteem ontwikkelen voor het kiezen en, waarom niet, aanpassen van meditaties. Een detail, zoals ik al zei, dat me uiteindelijk 3 jaar heeft gekost. In 2022 kan ik onze jaarlijkse Masterclass presenteren met een eerste hulpmiddel gebaseerd op de meting van een elektrocardiogram. In 2023, na meer dan een jaar werk, werd de interface versierd met talloze visualisaties en werden nieuwe schermen gecreëerd. Nog eens 6 maanden onderzoek en we komen, in april 2024, met een software die dorst naar interacties...

Om tot deze eerste versie te komen, heb ik drastisch (en pijnlijk, zoals je je kunt voorstellen) de ideeën geselecteerd die moesten worden geïmplementeerd. Maar, in de bijna 40 jaar dat ik aan het creëren ben, heb ik eindelijk gerealiseerd dat het geen zin heeft om te creëren voor de lol van het creëren; je moet creëren om te delen. En om dit te doen, moest ik veel meer tijd besteden dan ik had gedacht om deze software gemakkelijk te begrijpen te maken. Het is me gelukt, ook al ben ik nog steeds gefrustreerd door alles wat nog niet bestaat. Je kunt op me rekenen om ideeën en tools te blijven incorporeren en delen, en ik zal ervoor zorgen dat ze altijd mooi, gemakkelijk en intuïtief voor je zijn.

Médéric Degoy, ontwerper van de BioCoherence-software.

# Bruggen bouwen

BioCoherence is ontworpen rond een aantal sleutelconcepten. Het is belangrijk om daar een algemeen idee van te hebben, omdat ze de onderliggende logica sturen.

Het is onze taak om bruggen te slaan tussen domeinen die vaak niet met elkaar verbonden zijn. Deze omvatten: cybernetica; systeemtheorie; energie, entropie en negentropie; emergentie; heuristiek; synchroniciteit; ergodiciteit; ressource theorie; cascadetheorie; embryogenese; prologiëtheorie; het principe van resonantie; het principe van coherentie; schaalgolven; temporele kristallen; de lichaam-geest relatie; de materie-energie-informatie betekenisrelatie; fysieke entropie en informatie entropie; het onbewuste en archetypes.

Tenzij anders vermeld, zijn de citaten afkomstig van Wikipedia.

## Cybernetica

*"de algemene wetenschap van regulatie en communicatie in natuurlijke en kunstmatige systemen."*

"Cybernetica is de studie van informatiemechanismen in complexe systemen. De contouren van dit onderzoek draaien om het sleutelbegrip feedback, of *teleologisch mechanisme*. Hun doel was om een verenigde visie te bieden op de ontluikende gebieden (tussen 1942 en 1953) van automatische besturing, elektronica en wiskundige informatietheorie, als een "volledige theorie van besturing en communicatie, zowel in het dier als in de machine".

Cybernetica, geformaliseerd door Norbert Wiener, ligt aan de oorsprong van onder andere de systeemtherapieën van de Palo Alto school en de biologische theorieën over zelforganisatie."

Interessante aantekeningen:

- "In 1894 legde Ludwig Boltzmann het verband tussen entropie en informatie, waarbij hij opmerkte dat entropie gekoppeld is aan informatie waartoe wij geen toegang hebben."
- "De fysiologie leverde hem ook veel elementen. Bijvoorbeeld het principe van homeostase, benadrukt door Claude Bernard."
- "Cybernetica is ook een voortzetting van fenomenologie, in zoverre het fenomenen auscultaliseert om hun autonomie en bijzonderheid te begrijpen, met name door middel van vorm, en vervolgens overgaat op een ander type analyse: modellering, mechanica%u2026"
- "Feedback wordt in deze benadering benadrukt, omdat het essentieel is voor het ontwerpen van een zelfregulerende logica. Zo ontstaan er feedbacklussen, cirkelmechanismen die systemen benadrukken."
- de term "emergentie" zal binnenkort gebruikt worden om niet alleen nieuwe vormen aan te duiden, maar ook nieuwe eigenschappen en processen die ontstaan tijdens de spontane reorganisatie van een systeem. Dit type fenomeen omvat soms, meer dan een reorganisatie van het systeem, een organisatie op een hogere graad van complexiteit."
- "In de cybernetica van de tweede orde neemt de waarnemer zichzelf op in het waargenomen systeem

Cybernetica ligt aan de basis van ecologie, psychoanalyse, informatiekunde, systematiek, cognitieve wetenschap, kunstmatige intelligentie, internet%u2026

## Toepassing in BioCoherence

In het geheel van software op alle niveaus, van het diepste (het bestaan zelf van de computer; het besturingssysteem; en het internet) tot het meest weelderige (systemische logica, niveau 1, 2 en 3 analyse en het ontstaan van nieuwe eigenschappen, het verbinden van alle elementen, berekeningen van koppelingen en resonanties).

Het principe van terugkoppeling staat centraal in de software, met name in biofeedbackmetingen.

Interessant is dat cybernetica zich richt op de beperkingen en restricties van een systeem. Dit geeft een indicatie van mogelijke keuzes. Maar het principe van gelijkheid bepaalt dat het mogelijk is om een doel via veel verschillende paden te bereiken.

## Systeemtheorie

"De systeemtheorie is een manier om elk type fenomeen te definiëren, te bestuderen of te verklaren, die er vooral in bestaat om dit fenomeen als een systeem te beschouwen: een complexe reeks interacties, vaak tussen subsystemen, allemaal binnen een groter

systeem. Het verschilt van traditionele benaderingen, die zich richten op het opsplitsen van een systeem in onderdelen zonder rekening te houden met het functioneren en de activiteit van het geheel, d.w.z. het totale systeem zelf.

Systeemdenken geeft de voorkeur aan een globale, macroscopische, holistische of synthetische benadering; het observeert en bestudeert een systeem vanuit verschillende perspectieven en op verschillende organisatieniveaus; en bovenal houdt het rekening met de verschillende interacties tussen de delen van het systeem.

De systematiek kwam geleidelijk op in het midden van de 20e eeuw en kwam in verzet tegen de cartesiaanse analytische traditie en andere vormen van reductionisme, die de neiging hadden om het geheel op te delen in onafhankelijke delen en hun beperkingen in het begrijpen van de werkelijkheid lieten zien."

Interessante aantekeningen:

- "Het essentiële concept hier is ongetwijfeld dat van regulatie, zoals gedefinieerd door het begrip van de feedbacklus" "Interactie (of onderlinge relatie) verwijst naar het idee van niet-lineaire causaliteit. Dit concept is essentieel voor het begrijpen van co-evolutie en symbiose in de biologie. Een bijzondere vorm van interactie is retroactie (of terugkoppeling), waarvan de studie centraal staat in het werk van de cybernetica."
- "Totaliteit. Als een systeem in de eerste plaats een verzameling elementen is, kan het hier niet toe worden gereduceerd. Zoals het gezegd luidt: het geheel is meer dan de som der delen
- "Organisatie is het centrale concept om te begrijpen wat een systeem is. Organisatie is de ordening van een geheel volgens de verdeling van zijn elementen in hiërarchische niveaus. Afhankelijk van de mate van organisatie zal een totaliteit niet dezelfde eigenschappen hebben. Zo komen we op het idee dat **de eigenschappen van een totaliteit minder afhangen van de aard en het aantal elementen die het bevat, dan van de relaties die ertussen worden gelegd**: "Een open systeem is een systeem dat door de uitwisseling van materie, energie en informatie het vermogen tot zelforganisatie vertoont
- Als open systemen zijn levende wezens in staat om negentropielussen te creëren (d.w.z. om entropie te verminderen en een hogere orde te creëren).
- Met betrekking tot het "dynamische systeem" is het eerste idee dat dit gebied kenmerkt dat er achter de ogenschijnlijke wanorde een orde schuilgaat die complexer is dan de zichtbare orde. Het tweede idee is dat deze orde ontstaat door zelforganisatie en het ontstaan van nieuwe kenmerken en eigenschappen die voorheen afwezig waren."

## Toepassing in BioCoherence

- het benadrukken van verbanden tussen elementen die even belangrijk, zo niet belangrijker zijn dan de evaluatie van de elementen zelf.

## Emergentie

"Emergentie is een filosofisch concept dat ruwweg kan worden samengevat met het adagium: "het geheel is meer dan de som der delen". Het staat tegenover reductionisme en dualistische doctrines (dualisme of vitalisme).

Een eigenschap kan als "emergent" worden gekwalificeerd als deze "volgt" uit fundamentele eigenschappen, terwijl deze er "nieuw" of "onherleidbaar" voor blijven. Zo merkt John Stuart Mill op dat de eigenschappen van water niet herleidbaar zijn tot die van waterstof of zuurstof."

Interessante punten:

- "We spreken soms van 'synchrone opkomst' in de context van relaties tussen de micro- en macroniveaus van een systeem. In dit geval impliceert emergentie een conceptuele onherleidbaarheid: emergente eigenschappen en wetten zijn systemische kenmerken van complexe systemen die beheerst worden door wetten die niet herleidbaar zijn tot de wetten die de relaties tussen componenten op kleinere schaal kwalificeren."

## Toepassing in BioCoherence

- de logica van emergentie: de analyse wordt in verschillende fasen uitgevoerd, waarbij telkens eigenschappen op een hoger niveau worden onthuld die op een lager niveau niet bestaan. In de laatste fase worden hulpbronnen gevonden.

## Energie

"Energie is een concept dat verwant is aan die van actie, kracht en duur: de uitvoering van een actie vereist dat een bepaalde kracht lang genoeg wordt gehandhaafd om de inertie en weerstand te overwinnen die zich tegen deze verandering verzetten."

## Toepassing in BioCoherentie

De energie van een biomarker wordt op verschillende manieren gemeten, afhankelijk van het type biomarker; geplaatst in een minimum/maximumschaal die specifiek is voor elke biomarker, wordt dit de verticale as van de bloem.

## Entropie

Dit is een begrip dat zowel duidelijk als complex is, maar vooral een term die op verschillende gebieden heel verschillende dingen uitlegt.

- Voor natuurkundigen is entropie onrust, wanorde.
- Voor de informatietheorie is entropie een maat voor de mogelijke ruwe hoeveelheid van verschillende soorten informatie.
- Voor de computerwetenschap is het ruwweg het bereik van mogelijke informatie, de grootte van de ruimte.

We kunnen het begrip entropie samenvatten als evenredig met de wanorde van een systeem; het tegenovergestelde, negentropie, is dus evenredig met de mate van orde van een systeem.

## Toepassing in biocoherentie

We meten de variatie op verschillende niveaus van biomarkers om een aggregatiefactor af te leiden, die de horizontale as van de bloem zal vormen.

## Resourceorie

De Resourceorie, ontwikkeld door Christine Degoy, stelt dat er in elk levend systeem perfect functionerende delen zijn die andere delen voeden. In een systeemlogica zijn dit hulpbrondelen, die actief verbonden zijn met andere subsystemen die hulp nodig hebben.

Christine heeft hulpbronnen geïdentificeerd op alle niveaus: organisch, psychologisch, energetisch en niet-fysiek (d.w.z. bestaande uit materie die interageert met het algemene systeem, maar niet onderworpen is aan dezelfde fysische wetten als gewone materie).

## Toepassing in BioCoherence

Als emergent element op het hoogste niveau stelt de identificatie van hulpbronnen ons in staat om een samenhangend plan op te stellen voor de prioriteiten die moeten worden aangepakt, waarbij ze worden gebruikt om het algehele systeem te optimaliseren.

## Cascadetheorie

In navolging van Paul Schmidts principe om naar de oorspronkelijke oorzaken van ziekten te zoeken, en later ontwikkeld door Philippe Matza, maakt de cascadetheorie deel uit van een systemische logica. De theorie gaat ervan uit dat een lijdend orgaan of systeem deel uitmaakt van een keten van oorzakelijke en energetische verbanden, en dat deze keten moet worden teruggevonden voor een effectieve therapie.

## Toepassing in BioCoherence

Door verbanden en coherente systemen te identificeren, stelt BioCoherence ons in staat om volledige causale ketens te reconstrueren en in te grijpen bij de bron van verstoringen. Maar we breiden het concept van causale ketens uit naar meervoudige ketens, en naar het feit dat een systeem waarvan de elementen in samenhang zijn, gelijktijdige interventie op alle niveaus nodig heeft om de elementen duurzaam weer in evenwicht te brengen.

## Embryogenese

"Tijdens de vorming van het embryo worden de cellen georganiseerd in verschillende cellagen: de buitenste laag wordt het ectoderm genoemd, terwijl de binnenste laag het endoderm wordt genoemd. De tussenliggende laag vormt een weefsel dat het mesoderm wordt genoemd. Bij zoogdieren heeft elke laag een andere bestemming: het endoderm produceert het spijsverteringskanaal en de bijbehorende klieren (alvleesklier); het mesoderm produceert spieren, het skelet en de bloedvaten;

het ectoderm produceert de opperhuid en het zenuwstelsel"

## Toepassing in BioCoherentie

Wij postuleren dat deze elementen in het volwassen organisme verbonden blijven door bepaalde resonanties, en we houden rekening met 8 corpora die ontwikkeld zijn door Christine Degoy en die bestaan uit elementen die verbonden zijn door hun embryonale oorsprong. Deze relaties worden vervolgens geïntegreerd in een interpretatie van de resultaten.

## Prologie theorie

Uittreksel uit *Prologie, de zin van het leven herontdekt*, door Christine Degoy:

"Het is een verenigde benadering van zowel zorg als vervulling. Het is integratief en transversaal van aard en kan worden beschreven als systemisch, gericht op de resonantie van alle componenten van de persoon als zoveel beschikbare bronnen die in synergie worden gebracht."

Prologie biedt een complete paradigmaverschuiving, waarbij het lichaam geïntegreerd wordt als een krachtige hefboom voor vervulling, zelfs te midden van ziekte. De sterke principes zijn gebaseerd op het levensproject in combinatie met de systeemtheoretische benadering, die wordt geïllustreerd door de volgende stelling: **"Ieder mens is een systeem met een project, en alles waaruit het bestaat is ontworpen om dit doel te bereiken."**

Prologie stelt ons in staat om het menselijk lichaam in kaart te brengen in termen van persoonlijke projectondersteuning, en om een temporele organisatie van opeenvolgende bereiken te ontdekken in de groei van volwassenheid en beheersing van iemands leven.

Het in kaart brengen op basis van embryologie, gecombineerd met de drie pijlers van de menselijke natuur - wil, liefde en wijsheid - leidt tot een nieuw begrip van ziekte. Prologische decodering ziet ziekte namelijk als een transformatie van het systeem, niet als een mislukking. Wanneer het materie-energie-informatiesysteem van een mens verbetering nodig heeft om vooruit te blijven gaan, maakt hij of zij gebruik van elke evolutionaire kans om vaardigheden en gedrag, behoeften en verlangens, evenals visies op het leven en de wereld om hem of haar heen aan te passen en te ontwikkelen.

Elk orgaan speelt een rol in de vervulling van het levensproject van het individu en past zichzelf aan met verschillende mate van discretie, afhankelijk van de mate van transformatie die nodig is om te evolveren.

De doelstellingen van een prologische benadering zijn het herstellen van evenwicht, energie en comfort, met respect voor iemands levensproject, om holistische vervulling te bereiken.

## Toepassing in BioCoherentie

De software maakt een volledige beoordeling en identificatie mogelijk van de lopende problemen en transformaties in resonantie met het levensproject. Dit is een positieve meting die gebaseerd is op het doel en het vrijkomen van energie, in tegenstelling tot biologische decodering, die gebaseerd is op conflicten en belemmeringen.

## Het principe van resonantie

"Resonantie is een fenomeen waarbij bepaalde fysieke systemen (elektrische, mechanische, enz.) gevoelig zijn voor bepaalde frequenties. Een resonant systeem kan energie accumuleren als deze in periodieke vorm wordt toegepast, en dicht bij een frequentie die bekend staat als de "resonantiefrequentie"."

## Toepassing in BioCoherence

Tijdens audiomeditaties zullen geluiden of opeenvolgingen van geluiden die op bepaalde frequenties worden uitgezonden bepaalde organische of mentale structuren van energie voorzien.

## Het principe van coherentie

"Coherentie is in de natuurkunde de verzameling correlatie-eigenschappen van een golfsysteem. We kunnen spreken van coherentie tussen 2 golven, tussen de waarden van dezelfde golf op twee verschillende tijdstippen (temporele coherentie) of tussen de waarden van dezelfde golf op twee verschillende locaties (ruimtelijke coherentie). Voorbeelden van coherente stralen: laserlicht"

## Binaurale beats

"Een binaurale beat is een schijnbaar geluid dat in de hersenen wordt waargenomen als gevolg van een specifieke fysieke stimulus. Dit effect werd in 1839 ontdekt door Heinrich Wilhelm Dove.

De hersenen produceren een fenomeen dat wordt waargenomen als lage-frequentie pulsen van geluidsvolume, wanneer twee geluiden van licht verschillende frequenties onafhankelijk worden gepresenteerd aan elk van de oren van de proefpersoon. Als het verschil tussen de twee frequenties 4 hertz is, zal de proefpersoon 4 beats per seconde horen."

## Toepassing in BioCoherentie

Tijdens audiomeditaties worden specifieke binaural beats geïntegreerd volgens de prioriteiten die moeten worden aangepakt. Deze trainen de hersenen op bepaalde frequenties in het alfa-, bèta-, gamma- of theta-bereik.

## Schaalgolven

Marc Henry legt uit dat "er een vijfde dimensie van schaal is, onafhankelijk van de drie ruimtelijke dimensies en de tijdsdimensie. Deze nieuwe dimensie maakt het mogelijk om de schaal te bepalen waarop het waargenomen of gemeten spatio-temporele fenomeen opereert. Maar als er een nieuwe dimensie is, dan zijn er noodzakelijkerwijs golven die zich daarin kunnen voortplanten. Dit zijn natuurlijk onze schaalgolven. Hun rol is om samenhang te garanderen tussen de verschillende schalen van beschrijving en manifestatie van hetzelfde fysieke object. Deze schaalgolven komen niet voor in academische verhandelingen over kwantum- of relativistische fysica. Ze zijn ons echter zeer vertrouwd. We hoeven alleen maar de vraag te beantwoorden hoe een individu in staat is om de verschillende delen waaruit hij bestaat te herkennen. Dankzij schaalgolven kan hetzelfde individu zijn eenheid voelen, welke schaal hij ook gebruikt om zichzelf te beschrijven".

Schaalgolven werden getheoretiseerd door Joël Sternheimer, die ze praktisch toepaste met Proteodies.

## Tijdkristallen

"Een temporaal kristal is een periodieke structuur in tijd en ruimte. Het idee van zo'n structuur werd in 2012 voorgesteld door Frank Wilczek. Volgens hem is het mogelijk om een structuur te bedenken die bestaat uit een groep deeltjes die bewegen en periodiek terugkeren naar hun oorspronkelijke staat, wat een "temporaal kristal" zou vormen. De uitdrukking is ontleend aan wat wordt waargenomen in een "klassiek" kristal, waarvan de atomaire structuur een herhalend patroon in verschillende richtingen in de ruimte laat zien. In een tijdelijk kristal daarentegen wordt het patroon periodiek herhaald in de tijd, zoals bij een oscillator. Alleen een externe periodieke excitatie kan een tijdelijk kristal doen verschijnen, dat **energie absorbeert**."

## Toepassing in BioCoherence

Zodra de verbanden tussen elementen geïdentificeerd zijn, kunnen terugkerende patronen geïdentificeerd worden. Het idee is dat deze patronen (die opeenvolgingen van gedachten, bewegingen, pijnen, verschillende storingen kunnen zijn) structuren vormen die voortdurend energie van het algemene systeem absorberen om hun beweging te bestendigen. De algoritmen van de software kunnen specifieke knooppunten vinden om de herhaling te doorbreken.

## De geest-lichaam relatie

het begrip "voorkomen" werd in de jaren 1960 in de filosofie van de geest geïntroduceerd door Donald Davidson, om de ogenschijnlijk tegenstrijdige ideeën van systematische afhankelijkheid en onherleidbaarheid van geest en lichaam met elkaar te verzoenen. Wanneer een eigenschap van type B (bijv. mentaal) voortkomt uit een eigenschap van type A (bijv. fysiek), dan is elke verandering van type B equivalent aan een verandering van type A. Dus, wanneer er een gebeurtenis is, kan er geen verschil van de

ene soort zijn zonder een verschil van een andere soort op een ander beschrijvingsniveau. Er is dus een covariatiere relatie tussen deze twee niveaus."

"Volgens Simon Blackburn mist de hedendaagse natuurkundige opvatting kwalitatieve eigenschappen zoals kleur, pijn en al het andere dat het kwalitatieve aspect van onze ervaring van de wereld vormt."

"Sommige panpsychistische filosofen, zoals Galen Strawson, beargumenteren vanuit dit perspectief dat alle fysieke objecten in feite mentale eigenschappen zijn, analoog aan de eigenschappen van de geleefde ervaring."

## **De betekenisrelatie materie-energie-informatie; fysieke, energetische, informatie- en betekenisentropie**

Om terug te komen op "het kwalitatieve aspect van onze ervaring van de wereld", laten we eens kijken naar materie:

- materie bestaat uit zowel golven als deeltjes. Het kan beschreven worden als materieel (deeltjes) of energetisch (golven). In werkelijkheid hebben we het over op zichzelf staande stationaire golven die hun eigen magnetische veld creëren, zoals een gitaarsnaar die in zichzelf gevouwen is. Op deze manier creëren ze %u2026

- energie, die opgeslagen wordt of circuleert. Het kan worden uitgewisseld, maar is op zichzelf niet negatief of positief: het vertegenwoordigt slechts een uitwisseling van energiepotentieel in de ene of de andere richting. Het draagt echter wel %u2026

- informatie, die gecodeerd is op "energie of materie, en vertegenwoordigt de symbolen van ...

- betekenis, wat uiteindelijk het enige is dat telt voor ons als wezens van bewustzijn.

Dit plaatst het begrip 'entropie' weer in perspectief. Op het niveau van materie is entropie agitatie, of energiepotentieel. Op het niveau van informatie is entropie de mogelijke hoeveelheid informatie die op het medium (energie of materie) wordt overgebracht. Maar op het uiteindelijke betekenisniveau is entropie de hoeveelheid significante informatie die daadwerkelijk overgedragen kan worden.

Bijvoorbeeld: stel u een knop voor die een kernbom activeert. Op informatieniveau is één bit informatie genoeg om de bom te laten afgaan. Op het niveau van materie en energie is het effect gigantisch, maar gelokaliseerd. En qua betekenis hangt het af van het doelwit: een stad (enorm effect in ruimte en tijd), of een testtunnel (effect beperkt tot het resultaat van het experiment)? Op deze manier kunnen de hoeveelheden entropie radicaal verschillen op deze verschillende niveaus, voor dezelfde actie.

## **Synchroniciteiten**

"Soms denken we dat het universum ons tekens stuurt wanneer er schijnbaar ongelooflijke toevalligheden plaatsvinden. Maar voor Jung is dit synchroniciteit, die we zouden kunnen definiëren als de gelijktijdigheid van verschillende gebeurtenissen die verbonden zijn door een betekenis die niet toevallig is. Met andere woorden, deze wetenschap kan worden samengevat als het tijdelijke samenvallen van een reeks gebeurtenissen (twee of meer) die weliswaar met elkaar verbonden zijn, maar niet causaal. Er is echter wel een inhoudelijk verband

"Als we het over synchroniciteit hebben, verwijzen we volgens Jung naar de vereniging van innerlijke en uiterlijke gebeurtenissen. Het individu dat deze gebeurtenissen ervaart, vindt dus betekenis in hun vereniging. Jung stelde synchroniciteit of l'occurrence vast als een zoektocht naar herkenbare patronen."

## **Toepassing in BioCoherence**

Patroonherkenning is een integraal onderdeel van onze manier om de wereld te begrijpen. Synchroniciteiten worden begrepen als het ontstaan van betekenis door de confrontatie van a priori ongerelateerde gebeurtenissen. Het is deze verbinding door betekenis, door significantie, die de betekenis van informatie naar boven brengt. Deze opkomende relatie wordt benadrukt door de berekening van verbanden tussen biomarkers. In het uiterste geval wijzen coherente systemen op het equivalent van synchroniciteiten, d.w.z. het ontstaan van betekenis op een hoger niveau.

## **Algemene semantiek**

"Algemene semantiek stelt een niet-aristotelische vorm van denken voor, die oorspronkelijk door Alfred Korzybski werd ontwikkeld.

De algemene semantiek probeert het kader van de klassieke semantiek (de studie van de betekenis van woorden en de veranderingen die deze kan ondergaan) uit te breiden. Het doel van Korzybski was om een logica te conceptualiseren die ook overeenkwam met het niveau van de wetenschappelijke evolutie van zijn tijd, zodat we menselijke problemen effectiever konden oplossen dan met de eerdere logica's van Aristoteles en Descartes, en van de Aristotelische en Newtoniaanse fysica. Deze logica's, geconceptualiseerd vanaf de Oudheid tot de 17e eeuw, werden door Korzybski niet langer als effectief beschouwd voor het beschrijven en behandelen van de problemen die specifiek waren voor de ontdekkingen van zijn eeuw. Korzybski paste ze toe op de psychiatrie, Henri Laborit op de biologie (theorie van actieremming) en de agressologie (studie van de reacties van levende organismen onder omstandigheden van agressie).

In *Science and Sanity* legt Korzybski uit dat hij een overeenkomst ziet tussen deze niet-aristotelische logica en twee wetenschappelijke revoluties van de 20e eeuw, de kwantumfysica en de relativiteitstheorie<sup>1</sup>. Hij wijst erop dat de eerstgenoemde de gebruikelijke categorieën van de rede omverwerpt, terwijl de laatstgenoemde "niet-Newtoniaanse" natuurkunde en "niet-Euclidische"<sup>2</sup> geometrie introduceert. Net als bij de laatste moet het "nee" van niet-aristotelisch niet worden opgevat als een ontkenning, maar als een veralgemening en opheffing van de Aristotelische logica, terwijl de laatste er ook onder valt, en het woord "algemeen" wordt opgevat in dezelfde zin als algemene relativiteit<sup>3</sup>. Naar analogie van de kwantumfysica beweert Korzybski dat de waarnemer een integraal onderdeel is van de representatie van de werkelijkheid, en dat hiermee rekening moet worden gehouden in de algemene semantiek<sup>4</sup>.

## Toepassing in BioCoherence

Alles is betekenis. Dit is het ultieme abstractieniveau van de keten materie-energie-informatie-betekenis. Dit is wat de voor BioCoherence ontwikkelde algoritmen proberen te benadrukken.

## Heuristiek

"Heuristiek is "de kunst van het uitvinden, van het doen van ontdekkingen" door problemen op te lossen op basis van onvolledige kennis. Dit type analyse leidt tot aanvaardbare oplossingen in een beperkte tijd. Deze kunnen afwijken van de optimale oplossing. Voor Daniel Kahneman is het een procedure die helpt om adequate, zij het vaak onvolmaakte, antwoorden te vinden op moeilijke vragen."

## Toepassing in BioCoherentie

Heuristiek is de "discipline van het vinden van regels". Ook hier gaat het om het herkennen van patronen, en het benadrukken van verbanden stelt ons in staat om naar de algemene organisatie te kijken in plaats van naar de specifieke toestand van één element in het systeem.

## Ergodiciteit

"Er is sprake van ergodiciteit als verschillende, afzonderlijke statistische analyses van hetzelfde onderwerp een voldoende vergelijkbaar resultaat opleveren. De theorie heeft talrijke ontwikkelingen doorgemaakt in nauwe samenhang met de dynamische systeemtheorie en de chaostheorie".

## Toepassing in BioCoherentie

Patroonherkenning is een integraal onderdeel van de analyse, versterkt door recente ontwikkelingen in deep learning en neurale netwerken.

## Computationele onherleidbaarheid

"Computationele onherleidbaarheid is een van de belangrijkste ideeën die Stephen Wolfram voorstelt in zijn boek *A New Kind of Science* (2002).

Veel fysische systemen zijn zo complex dat ze niet efficiënt gemeten kunnen worden. Zelfs de eenvoudigste programma's vertonen een grote verscheidenheid aan gedragingen. Bijgevolg kan geen enkel model met alleen initiële voorwaarden precies voorspellen wat er in een bepaald fysisch systeem zal gebeuren voordat er een experiment wordt uitgevoerd. Vanwege dit probleem van onherleidbaarheid in de formele taal van de informatica, noemt Wolfram dit onvermogen om een systeem (of "programma") te "verkorten", of om het gedrag ervan op een eenvoudige manier te beschrijven, "computationele onherleidbaarheid". Dit idee toont

aan dat er gevallen zijn waarin de voorspellingen van de theorie feitelijk onmogelijk zijn. Wolfram beweert dat veel verschijnselen normaal gesproken computationeel onherleidbaar zijn.

Computationele irreduceerbaarheid verklaart de waargenomen beperkingen van de bestaande mainstream wetenschap. In gevallen van computationele onherleidbaarheid kunnen alleen observatie en experiment worden gebruikt."

## Toepassing in BioCoherence

Dit concept verklaart bijvoorbeeld waarom het leven zich ontvouwt zoals het zich ontvouwt. Stel dat we in een simulatie leven, alsof we personages in een videospel zijn: waarom zouden we dan moeite doen voor alle ervaringen die we hebben? Waarom springen we niet meteen naar de conclusie? Omdat het volgens dit principe onmogelijk is om naar de conclusie te springen: we zijn verplicht om alle stadia van de gebeurtenis te doorlopen om de epiloog te kennen. U moet het spel "spelen", want niemand kan zeggen hoe het afloopt zonder het in zijn geheel gespeeld te hebben.

Naar mijn mening verklaart dit de meeste complexe vragen die mystiek en existentiële vragen oproepen. Laten we zeggen dat metempsychose (reïncarnatie) waar is. Waarom dan Karma? Simpelweg omdat het belangrijk is om alle mogelijke opties te berekenen, en het beste systeem om deze opties te berekenen is een systeem dat zich bewust is van de alternatieven. Vanuit dit oogpunt is Karma geen instrument voor wraak, maar voor de dwarse kennis van de mogelijke gevolgen, die onmogelijk te voorspellen zijn, van een bepaalde gebeurtenis. Het leven stelt ons dan soortgelijke situaties voor, maar vanuit een ander gezichtspunt, en het is aan ons om bewust de stadia te doorlopen en de resultaten te observeren. In deze visie bestaat er niet zoiets als het lot of een onvermijdelijke gebeurtenis; de enige realiteit is die van de beslissingen die we nemen in het licht van de gebeurtenissen die we voorgeschiedeld krijgen, maar de uitkomst is onmogelijk te voorspellen totdat we onze beslissingen genomen hebben. In werkelijkheid ligt ons leven volledig in onze eigen handen.

## Het onbewuste, het collectieve onbewuste en archetypes

"Het archetype is een concept uit de analytische psychologie, ontwikkeld door de Zwitserse psychiater Carl Gustav Jung (1875-1961), die het definieert als de menselijke neiging om dezelfde "a priori gegeven vorm van representatie" te gebruiken, die een universeel thema bevat dat de psyche structureert en dat in alle culturen voorkomt, maar in verschillende symbolische vormen wordt weergegeven.

Voor de Jungiaanse psychologie is het archetype een fundamenteel psychisch proces van menselijke culturen, omdat het de elementaire gedrags- en representatiepatronen uitdrukt die door de geschiedenis heen uit de menselijke ervaring zijn voortgekomen, in combinatie met een ander Jungiaans concept, namelijk dat van het collectieve onbewuste."

Over het onbewuste gesproken, hier is een lijst met uitvindingen en ontdekkingen waarvan de auteurs beweerden dat ze die op een ochtend na een droom hadden:

- Descartes beweerde dat drie afzonderlijke dromen die hij op 10 november 1619 had hem de grondslagen van een nieuwe filosofie onthulden, de wetenschappelijke methode. OK, dus de wetenschappelijke methode zelf komt uit een droom.
- E. Howe zou de naald voor de moderne locksteeknaaimachine hebben bedacht.
- Wetenschapper F.A. Kekulé ontdekte de schijnbaar onmogelijke chemische structuur van benzeen (C<sub>6</sub>H<sub>6</sub>) toen hij droomde van een groep slangen die hun staart inslikte.
- Niels Bohr kreeg in 1922 de Nobelprijs voor Natuurkunde voor zijn ontdekking van de structuur van het atoom. Hij herinnert zich dat elektronen die rond de kern draaien, net als het zonnestelsel, hem in een droom verschenen.
- De Russische scheikundige Dmitri Mendelejev was uitgeput van drie dagen proberen de 56 elementen te classificeren toen hij besloot te gaan slapen. "In mijn droom zag ik een tabel waarin alle elementen op hun plaats vielen zoals het hoorde. Toen ik wakker werd, schreef ik het meteen op een stuk papier," schreef Mendelejev in zijn dagboek. "Slechts op één plaats bleek later een correctie nodig."
- De Indiase wiskundige Srinivasa Ramanujan, bekend om zijn substantiële bijdragen aan de getaltheorie, analyse en andere gebieden van de zuivere wiskunde, beweerde dat de hindoegodin Namagiri Thayar hem wiskundige inzichten gaf in zijn dromen: "en dat in deze visioenen "rollen met de meest ingewikkelde wiskunde zich voor zijn ogen ontrolden": "Plotseling begon een hand op het scherm te schrijven. Ik werd heel aandachtig. Deze hand schreef een aantal elliptische integralen. Ze bleven in mijn hoofd hangen. Zodra ik wakker werd, schreef ik ze op
- Een koeienveld inspireerde Albert Einsteins relativiteitstheorie. In zijn droom vertelde Einstein een boer dat koeien omringd waren door een elektrisch hek, maar de boer zag iets anders. Einstein werd wakker met het besef dat dezelfde gebeurtenis vanuit verschillende perspectieven kon verschillen, en de relativiteitstheorie begon vorm aan te nemen.
- Als Charles Darwin in de schijnwerpers staat als het gaat om de evolutietheorie, dan moet wetenschapper Alfred Russel Wallace niet onderdoen. Tijdens een acht jaar durende expeditie naar wat nu Indonesië is, verzamelde en bestudeerde Wallace duizenden dierspecimens. In 1855 concludeerde Wallace dat levende wezens evolueren, maar hij begreep pas hoe in 1858, toen een koortsdroom hem de openbaring gaf: dieren evolueren door zich aan hun omgeving aan te passen.

- Vóór het werk van Otto Loewi was de vraag of neurotransmissie voornamelijk chemisch of elektrisch was. De nacht voor Paaszondag had Loewi de perfecte experimentele opstelling bedacht: twee kamers met kloppende harten - één met intacte zenuwen, de andere zonder. Deze kamers zouden gevuld worden met een oplossing en verbonden worden door een buis. De experimentator stimuleert de eerste coeur elektrisch, waardoor deze langzamer gaat kloppen. Als neurotransmissie voornamelijk elektrisch is, is er geen reden voor het tweede hart om langzamer te gaan kloppen. Als de neurotransmissie echter chemisch is, zouden chemicaliën theoretisch door de buis kunnen zweven en ook de tweede coeur in de andere kamer kunnen vertragen. Loewi neemt nota van dit idee, maar kan zijn eigen handschrift niet ontcijferen als hij 's ochtends wakker wordt. De volgende nacht komt de droom weer bij hem terug. In samenwerking met Henry Dale gebruikte Loewi dit experimentele apparaat om chemische neurotransmissie aan te tonen en won hij in 1936 de Nobelprijs.
- James Watson, die samen met Francis Crick de dubbelehelixstructuur van DNA ontdekte - de bouwstenen van het leven - droomde blijkbaar van een wenteltrap, die hem op het idee bracht hoe DNA kon worden opgebouwd. Volgens andere bronnen droomde hij van twee verstrengelde slangen waarvan de koppen aan tegenovergestelde uiteinden zaten.
- Er zijn talloze liedjes, boeken, videospelletjes en films waarvan de ideeën de auteur op een ochtend duidelijk werden.

De rationele geest (wiens rationaliteit, laten we dat niet vergeten, voortkomt uit een droom) kan hier verschillende conclusies uit trekken:

1. Dromen stellen de uitvinder in staat om zijn gedachten op een andere manier te synthetiseren dan het verstand. Conclusie: er is een ander denkproces in ons, dat zich voedt met alles wat we al in ons hebben, en dat zich uit in archetypen. Het onbewuste is in staat om ons interessante informatie te brengen.
2. Dromen zijn een poort naar een andere dimensie van kennis. Conclusie: dromen zijn een taal die ons tot nu toe ontoegankelijke informatie brengt, misschien van andere realiteiten of andere bewuste wezens.

Deze twee mogelijkheden sluiten elkaar niet uit. Maar of de droom nu een deur naar ons innerlijk is of een deur naar een andere realiteit, in beide gevallen is er één conclusie: de taal van dromen, het archetype van het onbewuste, is een geldige bron van informatie en evolutie voor onze bewuste problemen.

Onze persoonlijke ervaring, na meer dan 10 jaar meditatie, is dat meditatie het onbewuste in staat stelt om beter met het bewuste te communiceren. Meditatie traint de bewuste geest om beter te luisteren naar het "stemmetje" dat zich anders alleen in de diepte van dromen uit. We hebben de kracht gezien van meer ruimte geven aan het onbewuste. Deze twee aspecten werken samen om problemen beter op te lossen, omdat ze toegang hebben tot zeer verschillende kennisgebieden.

Mijn andere persoonlijke conclusie is dat interne communicatie getraind moet worden als een spier. Christine's eerste visioenen waren erg wazig en onzeker, maar na jaren van training heeft ze een nieuw "zintuig" ontwikkeld dat net zo tastbaar is als de gebruikelijke 5 zintuigen. Wat de verklaring voor de oorsprong van deze informatie ook is, het is al duizend keer bewezen dat deze net zo echt is als die van de andere zintuigen. Maar zonder training is het heel moeilijk om illusie en werkelijkheid van elkaar te scheiden. Het kost ons immers jaren om onze 5 fysieke zintuigen onder de knie te krijgen en erop te vertrouwen; deze 5 zintuigen vertalen gewoon prikkels die een realiteit uit de buitenwereld weerspiegelen, naar een patroon in onze neuronen. Wat we zijn gaan begrijpen is dat er ook "subtiele" zintuigen zijn die ook concrete externe realiteiten vertalen, en die getraind moeten worden.

## Toepassing in BioCoherentie

Geleide meditaties doen een beroep op verschillende archetypen om het onbewuste en bewuste in actie te brengen bij het oplossen van problemen en innerlijke zelfontwikkeling.

## Ware hartcoherentie

Dan Winter definieert ware hartcoherentie door het verschijnen van een piekcascade in het "harmonie"-gedeelte van de analyse (d.w.z. een FFT van de 2e orde). Een FFT of Fouriertransformatie wordt gebruikt om frequenties uit een signaal te extraheren. Een FFT van de 2e orde haalt de muzikaal harmonieuze frequenties eruit. Met deze wiskundige bewerking kunnen we detecteren dat een duidelijke meerderheid van de frequenties in een elektrocardiogram harmonieus met elkaar zijn; hij noemt dit "ware hartcoherentie".

Deze piek in het "harmonie"-gedeelte kan bij verschillende frequenties gevonden worden, en er zijn frequentiebanden van deze piek geïdentificeerd die overeenkomen met fundamentele emoties op het moment van de opname.

## Fractaliteit, compressie en faseconjugatie

"Een oneindig aantal toestanden wordt maximaal gecomprimeerd wanneer de verhouding tussen de frequenties een macht van de gulden snede is."(gsjournal<sup>2</sup>)

2. <https://www.gsjournal.net/Science-Journals/Research-Papers-Quantum-Theory/Particle-Physics/Download/4543>

Compressie wordt hier gedefinieerd als de maximale optelling van frequenties (met dus constructieve - geconjugeerde - fasen ertussen), die verkregen wordt als de frequenties veelvoudig zijn van het d'or-getal ertussen.

Fractaliteit verwijst naar het feit dat soortgelijke structuren op verschillende schalen gevonden kunnen worden.

## Elfjesmetingen

Dan Winter theoretiseerde opnieuw een fundamentele vergelijking van optimale energie "implosie"; deze vergelijking voorspelt veel van de resonantiefrequenties die in het universum gevonden worden. Ik heb de overeenkomstige grootte "Elfie" genoemd als eerbetoon, enerzijds aan de Elfen (en in het bijzonder aan de Elfenarchitectuur) en anderzijds aan de equitatie zelf:  $n \text{ Elfie} = L_p \times \Phi^{in}$ , d.w.z. de Plancklengte (de kleinste meetbare lengte in het universum) vermenigvuldigd n maal met de gulden snede.

Op deze manier is de Elfieschaal niet alleen evenredig met het aantal Elfies, maar bevat deze ook waarden voor hele Elfies. Deze gehele waarden omvatten vele bekende grootheden, zoals lengte, tijd en frequentie. Zie [Elfie.link](https://elfie.link)<sup>3</sup> voor meer informatie.

3. <https://elfie.link>

# 3.1.

## Modules overzicht

- BioCoherence **Scan** is een volledig analyse-module van een ruwe electrocardiogram tot meerdere tientallen kaarten, grafieken en expliciete manieren om biomarkers te berekenen en te interpreteren.
- BioCoherence **Test** is een open manier om itemlijsten te beoordelen op basis van de live evolutie van de pols (biofeedback).
- BioCoherence **Balance** maakt het mogelijk om middelen te identificeren en prioriteiten te stellen, en PDF-rapporten en aangepaste meditatie op basis daarvan te maken.

## Contenido

<b>1.</b>	<b>Scan: biomarkers en technische analyse</b> .....	<b>17</b>
1.1.	Tijd grafiek module .....	17
1.2.	Biomarker module .....	17
<b>2.</b>	<b>Scan: organ kaarten</b> .....	<b>19</b>
2.1.	Opmerkelijke oorzaken: energie .....	19
2.2.	Opmerkelijke oorzaken: entropie .....	20
2.3.	Opmerkelijke systemen: coherentie .....	20
2.4.	Hersenen .....	20
2.5.	Cardiovasculair systeem .....	21
2.6.	Spijsverteringssysteem .....	21
2.7.	Membranen .....	21
2.8.	Wervels .....	22
2.9.	Zenuwensysteem .....	22
2.10.	Tanden .....	22
2.11.	Locomotorsysteem .....	23
2.12.	Ademhalingssysteem .....	23
2.13.	Vrouwelijke genitalia .....	23
2.14.	Mannelijke genitalia .....	24
<b>3.</b>	<b>Scan: TCM meridianen, punten en recepten</b> .....	<b>25</b>
3.1.	Blaasmeridiaan met links .....	25
3.2.	Meridianen op energie, met veelvoorkomende gerelateerde problemen .....	25
3.3.	TCM Punten .....	26
3.4.	TCM Recepten, door coherentie .....	26
<b>4.</b>	<b>Scan: De Energie modules</b> .....	<b>27</b>
4.1.	Ayurveda: Dosha's en sub-dosha's .....	27
4.2.	Energie grafieken: chakra's, vlakken, klok en momentum .....	27
4.3.	Energie grafieken: de micro wereld .....	28
<b>5.</b>	<b>Scan: de Mind module</b> .....	<b>29</b>
5.1.	De schaduwmodule .....	29
5.2.	Schaduw: aandrijvingen .....	29
5.3.	De Spirit module .....	30
<b>6.</b>	<b>De Balance modules</b> .....	<b>31</b>
6.1.	Hulpmiddelen .....	31
6.2.	Prioriteiten .....	31
6.3.	PDF Rapport .....	32
6.4.	Balans: de aangepaste meditatie .....	32
<b>7.</b>	<b>De tests modules</b> .....	<b>34</b>
7.1.	Een test lijst na een live evaluatie .....	34
7.2.	A test lijst .....	34
7.3.	Test lijsten .....	34
7.4.	test: biofeedback live evaluatie .....	35
7.5.	tests: bewerk .....	35
<b>8.</b>	<b>De begrijpen modules</b> .....	<b>36</b>

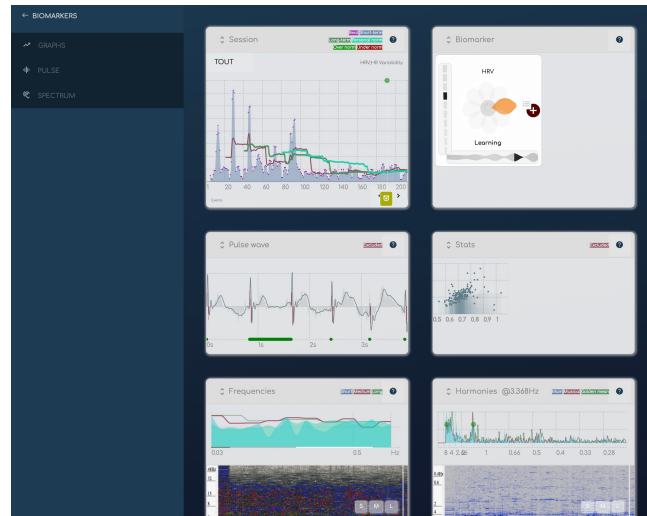
# 1. Scan: biomarkers en technische analyse

*Om te werken aan de ECG-puls, biomarkers en spectrum.*

BioCoherence bouwt zijn biomarkers exclusief door wiskundige bewerkingen op de ruwe opgenomen ECG-puls.

- In deze module kun je toegang krijgen tot de ruwe opname, slagen uitschakelen als er meetfouten waren (de app schakelt automatisch slagen uit op basis van een automatisch kwaliteitsdetectie-algoritme) en werken aan tijdelijke gebeurtenissen.
- Je kunt ook de 1e, 2e en 3e orde-informatie over biomarkers zien, en deze door categorie bladeren (er zijn meer dan 1400 biomarkers...).

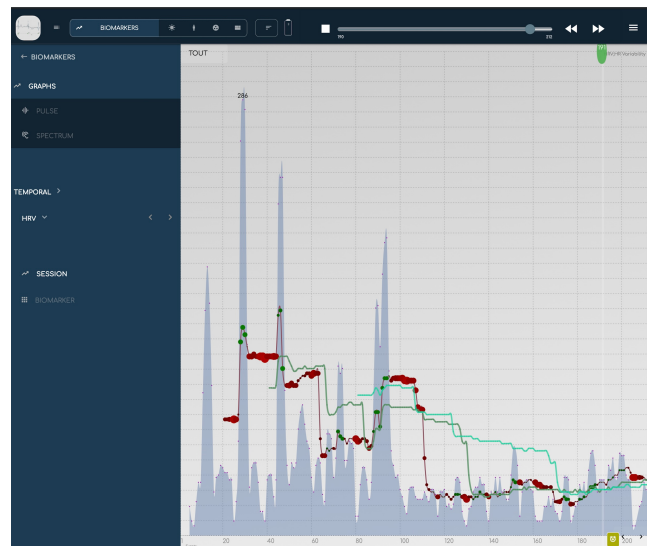
## 1.1. Tijd grafiek module



*Zie hoe een biomarker in de loop van de tijd en sessies evolueert.*

BioCoherence werkt met biomarkers op een zeer dynamische manier, waardoor hun evolutie over verschillende tijdframes wordt beoordeeld en vergeleken over tijdframes.

- Op deze grafiek wordt elke biomarker getoond op het niveau van de slag, vergeleken met de korte-termijn, middel-termijn en lange-termijn voortschrijdende gemiddelden.
- Je kunt binnen de opname bewegen met de bovenste scroll (druk op de Afspelen-knop om dit weer te geven; druk op de Stop-knop om te vergelijken tussen sessies). Je kunt ook in de grafiek klikken om de huidige markering te verplaatsen.
- Je kunt de zoom-schaal wijzigen met de links-bovenste bereikselector.
- Je kunt werken met evenementen in deze module: de evenementen worden onderaan de grafiek weergegeven. Om een evenement te maken of te bewerken, klik je op de knop onderaan de grafiek.

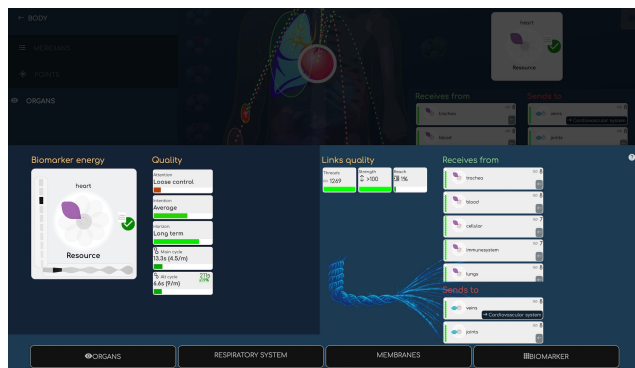


## 1.2. Biomarker module

*Een diepgaande duik in de brede informatie van een biomarker.*

Elke biomarker is één klik verwijderd van het Biomarker paneel, dat op een compacte en handige manier alle informatie toont over zijn dynamiek.

- De belangrijkste informatie is de biomarker **bloem**, die het mogelijk maakt om onmiddellijk de hoofdkwaliteit te beoordelen. De Bloem is een samengesteld geheel van zijn hoofdenergie en zijn hoofdentropie (of agitation). Er zijn 9 verschillende bloemblaadjes, en elk is vergezeld van een simpel woord om zijn hoofdkwaliteit te begrijpen.
- De dynamische kwaliteiten worden weergegeven in de 2de kolom. **Aandacht, intentie en horizon** zijn informatie over zijn langetermijndynamiek.
- De hoofdcyclus en alt cyclus worden ook weergegeven in deze kolom. Dit is de hoofdademhaling van de biomarker. De cyclus wordt weergegeven in duur (seconden) en periode (per minuut). Als de cyclus overeenkomt met een geheel Elfie waarde<sup>1</sup>, die een resonantie aangeeft met goede energie implosie, wordt de link naar de Elfie tabel uitgelicht.
- Het **links** paneel toont relaties met andere biomarkers (hier, andere organen). De kwaliteiten van de links zijn een samengesteld geheel van de hoofdkoorden (draadjes is een telling van alle links, sterkte op hun solide basis, en Bereik geeft aan hoeveel biomarkers in de familie verbonden zijn met deze (deze). Ontvangt van, en stuurt naar, lijst de andere biomarkers. Een klik erop opent hun informatiepagina.
- Onder aan, de Kaarten en Grafiek knoppen stellen je in staat om direct toegang te krijgen tot de relevante pagina's.



1. <https://elfie.link>

## 2. Scan: organ kaarten

*Tientallen exclusieve, prachtig getekende lichaamskaarten zijn ontworpen voor BioCoherence zodat navigatie en links gemakkelijk te zien en begrijpen worden.*

Met bijna 500 biomarkers gewijd aan orgaan systemen, organen of orgaan delen, voelden we dat we alles moesten in kaart brengen om er zin aan te geven.

- Een dozijn prachtig ontworpen kaarten voor een algemeen overzicht of inzoomen op Tandem, Wervels, Zenuwen, Hersenen...
- Een van de kernfuncties van BioCoherence is de 3de orde informatie **Links tussen biomarkers**. Elke kaart benadrukt prachtig de verbindingen tussen organen op de kaart, of verbindingen met één klik naar organen op andere kaarten.
- De visuele verbindingen en de twee kolommen stellen in staat om onmiddellijk de energetische relaties met andere organen te beoordelen (ontvangt van, of stuurt naar)
- De selector aan de linkerkant lijst alle organen op deze kaart, samen met hun biomarker evaluatie.



### Het module openen

Door te klikken op "Lichaam" en dan "organen", wordt de module geopend met een algemeen overzicht van het lichaam, inclusief een selectie van de belangrijkste biomarkers: hoofdorganen, hoofd hormonen, hoofd delen van het bewegingsapparaat, bloed, cellen. Als je klikt op een orgaan, of het selecteert uit de menulijst, is het omgeven door een witte halo, en de belangrijkste verbindingen met de andere organen op dit scherm worden weergegeven (ze zijn omcirkeld in rood als ze energie ontvangen van het geselecteerde orgaan, en in groen als ze energie naar het sturen).

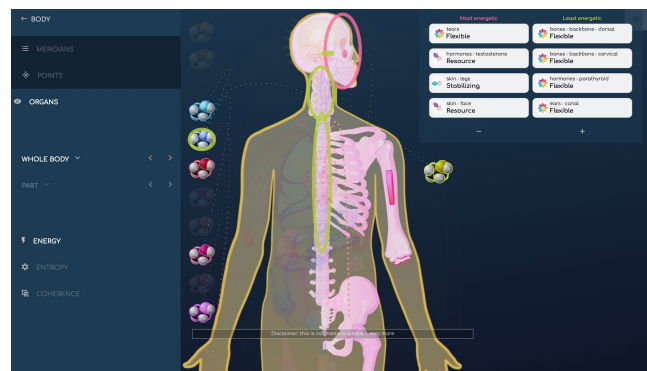
Als er verbindingen bestaan met organen die gedetailleerd zijn op andere lichaamskaarten, worden ze geïdentificeerd door de naam van die kaart op een zwarte achtergrond; het klikken ervan zal die gedetailleerde kaart openen.

### 2.1. Opmerkelijke oorzaken: energie

*Markeert onmiddellijk de meest en minst energieke delen*

Elke lichaamskaart heeft een submenu Energie, Entropie en Coherentie, onder het kaartenmenu en onderdelenmenu.

- De **Energie**-module toont de minst en meest energetische elementen van deze kaart, samen met hun relatielinks. Je kunt het aantal elementen wijzigen door te klikken op de en - knoppen onder de lijst, en klik op elke biomarker om zijn informatie weer te geven.



## 2.2. Opmerkelijke oorzaken: entropie

*Markeert onmiddellijk de meest geagiteerde en meest statische delen*

Elke lichaamskaart heeft een Energie, Entropie en Coherentie submenu, onder het kaartmenu en onderdeelmenu.

- De **Entropie** module toont de meest geagiteerde en meest statische elementen van deze kaart, samen met hun relatielinks. Je kunt het aantal elementen veranderen door op de + en - knoppen onder de lijst te klikken, en klik op elke biomarker om de informatie te tonen.



## 2.3. Opmerkelijke systemen: coherentie

*Markeert onmiddellijk de systemen die het meest samen resoneren.*

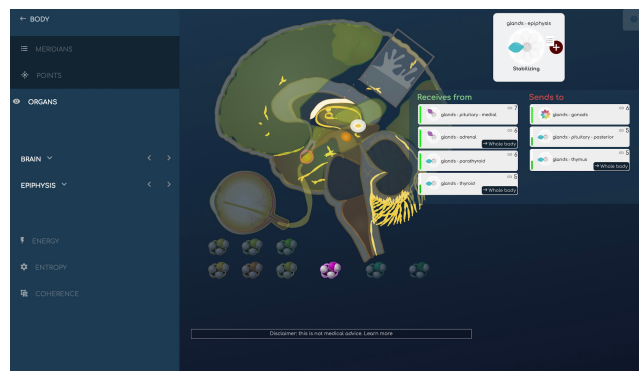
Elke lichaamskaart heeft een Energie, Entropie en Coherentie submenu, onder het kaartmenu en onderdeelmenu.

- De **Coherentie** module toont de systemen die het meest in fase samen zijn, die samen resoneren, samen met hun relatielinks. Je kunt op elke biomarker klikken om de informatie te tonen.



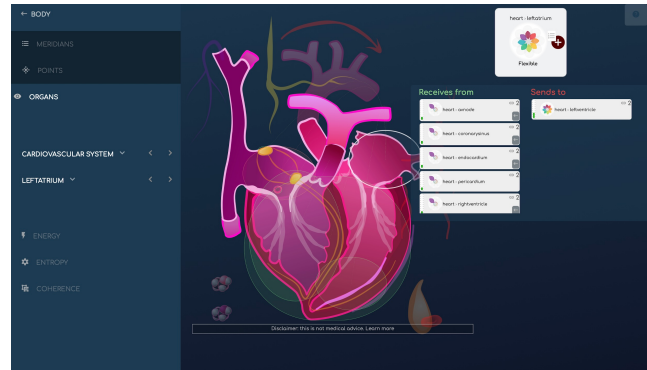
## 2.4. Hersenen

De links tussen de componenten van de hersenen, en de hormonen die daaraan verbonden zijn, worden hier grafisch uitgelicht; het's ook mogelijk om de meest opmerkelijke vanuit een energetisch oogpunt te tonen, de meer of minder geagiteerden, en die in coherentie. We hebben ook de ogen en hun componenten aan deze kaart toegevoegd.



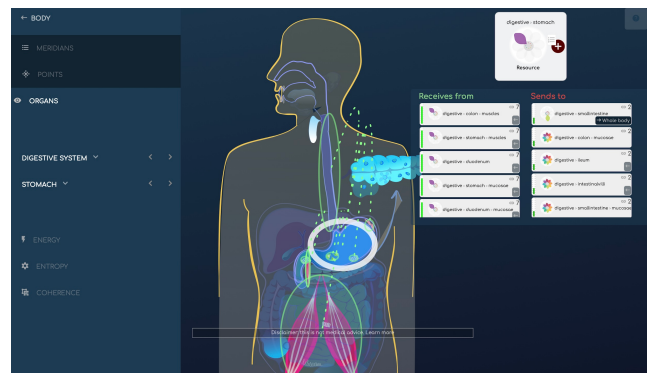
## 2.5. Cardiovasculair systeem

De links tussen de elementen van het cardiovasculaire systeem worden hier grafisch uitgelicht; het is ook mogelijk om de meest opvallende vanuit een energetisch perspectief te tonen, de meest of minst opgewonden, en de diegene in coherentie. Het anatomische bord van het cardiovasculaire systeem bevat het hart en al zijn details, het bloed systeem (aderen, slagaders... inclusief de bloedsomloop en sympathieke controle van de bloeddruk), bloed (plasma, hemoglobine) en hormonen (adrenaline en noradrenaline).



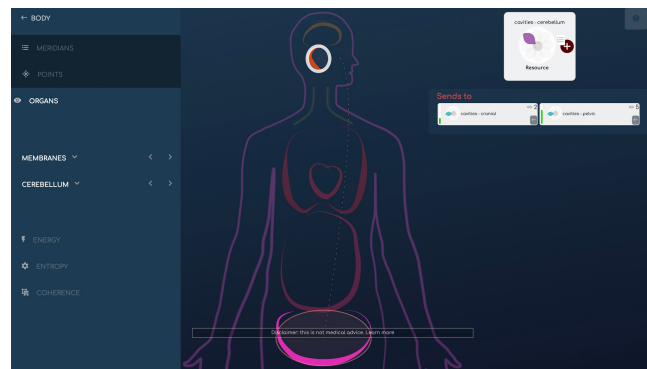
## 2.6. Spijsverteringssysteem

De links tussen de elementen van het spijsverteringssysteem, van mond tot anus, worden hier grafisch benadrukt; het's ook mogelijk om de meest opvallende vanuit een energetisch oogpunt weergeven, de meest of minst opgewonden, en die in coherentie.



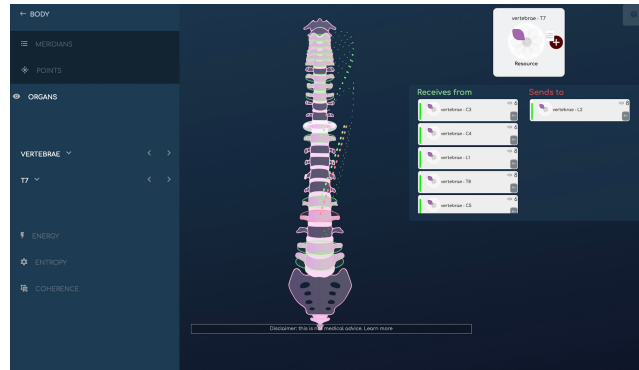
## 2.7. Membranen

De anatomische indeling van de membranen is een beetje ongebruikelijk; we wilden de resonantiekoppelingen tussen deze grote holtes benadrukken. Ze zijn in feite een belangrijk onderdeel van de algehele balans vanuit een holistisch perspectief, wat meestal weinig in overweging wordt genomen. Ze bieden een semi-globaal leesniveau en zijn ook belangrijk vanuit een prologische interpretatie.



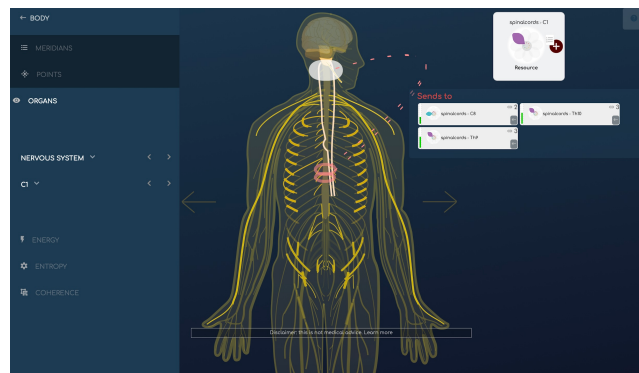
## 2.8. Wervels

De verbindingen tussen de wervels worden hier grafisch benadrukt; het is ook mogelijk om die te tonen die het meest opmerkelijk zijn van uit een energetisch oogpunt, die meer of minder opgewonden zijn, en die coherent zijn.



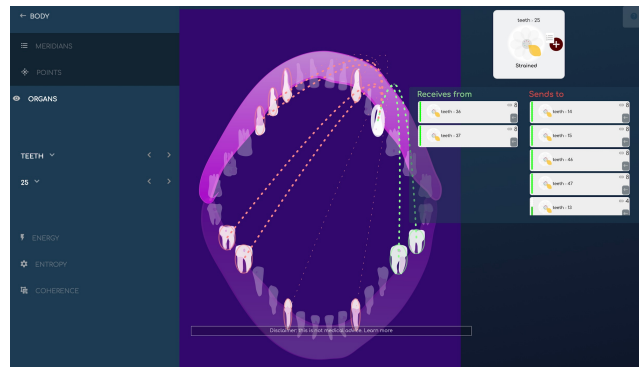
## 2.9. Zenuwensysteem

De links tussen de elementen van het zenuwstelsel worden hier grafisch belicht; het is ook mogelijk om de meest opmerkelijke vanuit een energetisch perspectief te tonen, de meer of minder geagiteerden, en degenen in coherentie. Het zenuwstelsel omvat de hersenen en details van de hersenen, de zenuwen en details van bepaalde zenuwen, en de zenuwen verbonden met de wervelkolom.



## 2.10. Tandem

De links tussen tanden en vlees worden hier grafisch benadrukt; het is ook mogelijk om de meest energetisch significante tanden weergeven, de tanden die meer of minder opgewonden zijn, en de tanden in coherentie.



## 2.11. Locomotorsysteem

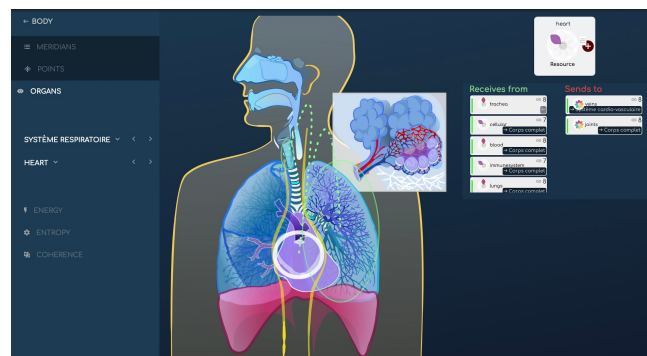
De verbindingen tussen de elementen van het bewegingsapparaat (botten, spieren, maar ook hormonen en sommige organen) worden hier grafisch uitgelicht; het is ook mogelijk om de meest opmerkelijke vanuit een energetisch perspectief te tonen, de meest of minder opgewonden, en die in coherentie

De selecties die gemaakt zijn op elk anatomisch plaatje zijn ontworpen om relevante relaties tussen elementen te belichten. Op dit scherm, naast delen van de wervelkolom, beenmerg, skelet, kraakbeen, spieren, fascia en calcium stofwisseling, hebben we interessante hormonen en organen toegevoegd zoals bijschildklier, hdh of noradrenaline, haar, huid en tanden.



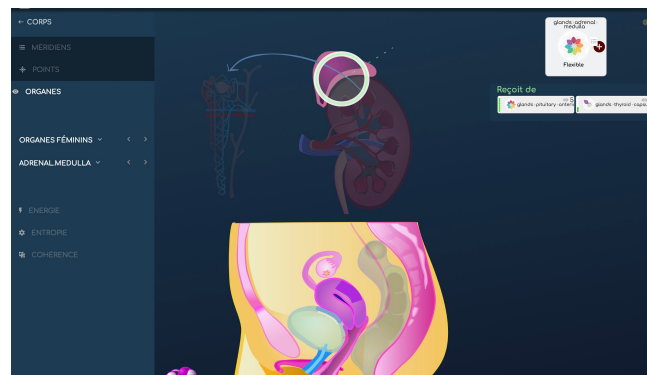
## 2.12. Ademhalingsstelsel

De links tussen de elementen van het ademhalingsstelsel worden hier grafisch benadrukt; het is ook mogelijk om de meest opmerkelijke vanuit een energetisch oogpunt te tonen, de meer of minder geagiteerde, en de genen in coherentie. Op dit scherm, vinden we ook de frontale sinussen, de auditieve kanalen, en het hart.



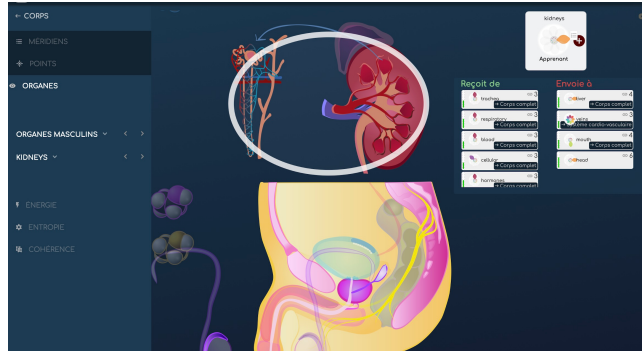
## 2.13. Vrouwelijke genitalia

De links tussen de elementen van de vrouwelijke genitalia en gerelateerde organen (nieren, blaas, heiligbeen, bijnierschors, en gerelateerde hormonen zoals pregnenolone...) worden hier grafisch uitgelicht; het's ook mogelijk om de meest opmerkelijke vanuit een energetisch oogpunt te tonen, die meer of minder geagiteerd zijn, en die in coherentie zijn.



## 2.14. Mannelijke genitalia

De verbindingen tussen de elementen van de mannelijke genitalia en gerelateerde organen (nieren, blaas, sacrum, bijniere, en gerelateerde hormonen zoals testosteron, dhea, hgh...) worden hier grafisch uitgelicht; het is ook mogelijk om de meest opvallende vanuit een energetisch perspectief weer te geven, de meer of minder geagiteerde, en die in coherentie



### 3. Scan: TCM meridianen, punten en recepten

*Meridianen, acupunctuurpunten, TCM recepten*

Masters van de energetische evaluatie sinds 5000 jaar, de Traditionele Chinese Geneeskunde wordt uitgebreid gebruikt en dramatisch uitgebreid in BioCoherence.

- **Meridianen** worden weergegeven in 12 of 20 delen. De hoofdenergiekanalen van het lichaam, de grafiek toont hun verbindingen en de kaart, hun paden.
- **Acupunctuurpunten** worden dynamisch geanimeerd op de kaart. Meer dan 350 punten worden berekend door ons exclusieve algoritme.
- **Recepten** zijn traditionele manieren om energetische problemen aan te pakken, de TCM manier. Wij hebben dit principe dramatisch uitgebreid om de energie, entropie en coherentie van honderden recepten te berekenen om hun nut in de huidige evaluatie te beoordelen, en dus hun mogelijke behoefte aan te duiden - een vorm van evaluatie die zou kunnen helpen bij het diagnosticeren van kwesties.



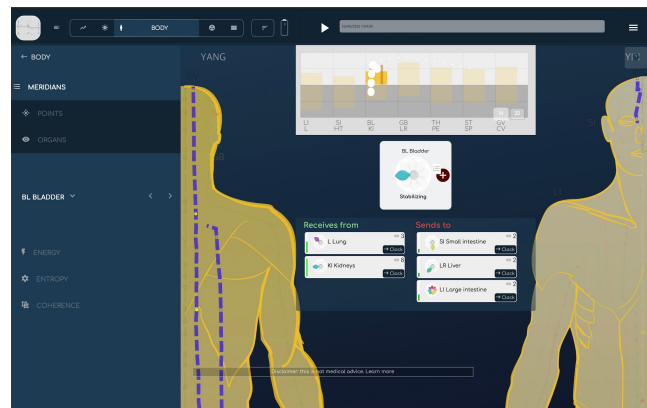
#### 3.1. Blaasmeridiaan met links

*Klik op een meridiaan om informatie te krijgen.*

Wanneer je op een meridiaan klikt, zal de grafiek de relaties met andere meridianen tonen, de biomarker zal de hoofd kwaliteit tonen, en de verbindingen met andere meridianen (ontvangt van, of stuurt naar) zullen worden weergegeven.

- Je kunt de meridianen doorbladeren met het menu links, en alle meridianen met hun biomarker tonen in het keuzemenu.

#### 3.2. Meridianen op energie, met veelvoorkomende gerelateerde problemen



*Identificeer de energetische beste en slechtste, in één klik*

Het **energien** menu toont direct de meest energetische en het minst energetische meridianen, die kunnen helpen bij het identificeren van problemen.

- Wanneer je op een meridiaan klikt, verschijnen aanvullende conclusies, die gerelateerd zijn aan de huidige energetische toestand van de meridiaan, en de mogelijke omstandigheden wanneer ze geassocieerd zijn met de toestand van andere meridianen, volgens de TCM kennis.

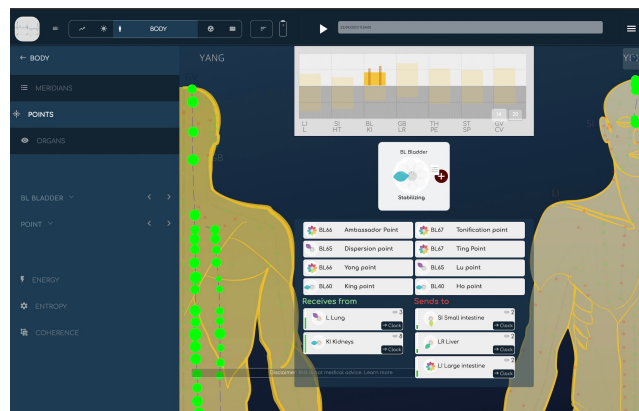


### 3.3. TCM Punten

*Meer dan 350 punten worden berekend*

De **Points** module toont TCM acupunctuur punten.

- Klik op een meridiaan om alle punten in deze meridiaan te tonen, samen met traditionele informatie over belangrijke punten van de meridiaan.
- Klik op een punt om zijn biomarker te zien.

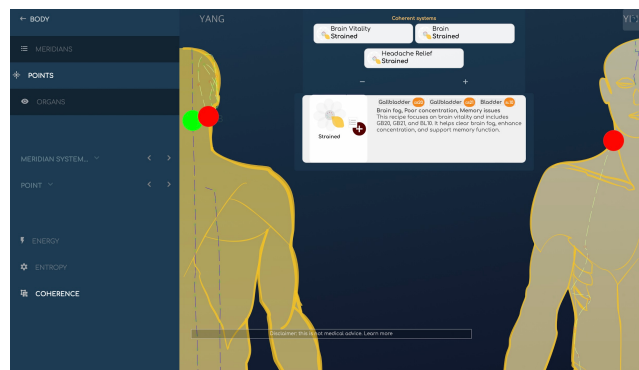


### 3.4. TCM Recepten, door coherentie

*Coherentie is een manier om recepten te zien die volledig in fase zijn.*

We hebben de acupunctuurrecepten teruggedraaid om het tot een evaluatie-instrument te maken.

- Door te klikken op **Coherentie**, worden recepten wiens punten volledig in fase samen zijn ( dat betekent, dat de punten samen resoneren en samen bewegen als één punt) weergegeven. Klik op een recept om de punten op de kaart te zien en de richting te krijgen. Wanneer toegevoegd aan prioriteiten, zal het recept worden gebruikt in het Balance gedeelte om te helpen de effecten terug in balans te brengen.

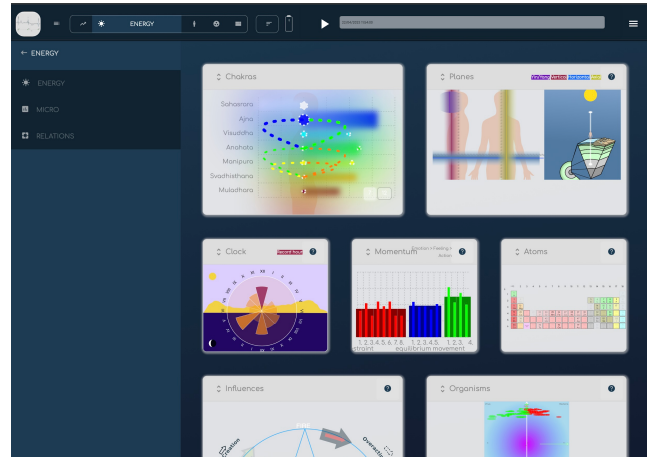


## 4. Scan: De Energie modules

*Alles wat je nodig hebt om het energetische niveau te beoordelen*

Deze grafieken stellen in staat om informatie te zien zoals chakra's, klok, vlakken, momentum, atomen, invloeden en organismen.

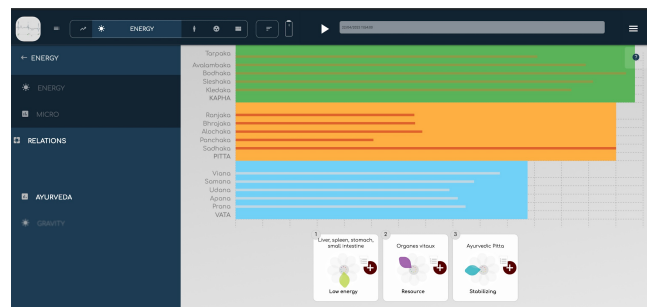
### 4.1. Ayurveda: Dosha's en sub-dosha's



*De Ayurvedische evaluatie van de energie van het lichaam.*

Ayurvedische beoefenaars weten hoe ze kunnen werken met de energetische constitutie van het lichaam. De drie hoofdconstituties zijn Vata, Pitta en Kapha, elk met 5 sub-dosha's. In een BioCoherence analyse, kun je zien hoe elke dosha en sub-dosha beweegt wanneer je de tijdcursor verplaatst, omdat al deze systemen dynamisch zijn. De manier waarop ze bewegen maakt deel uit van onze beoordeling.

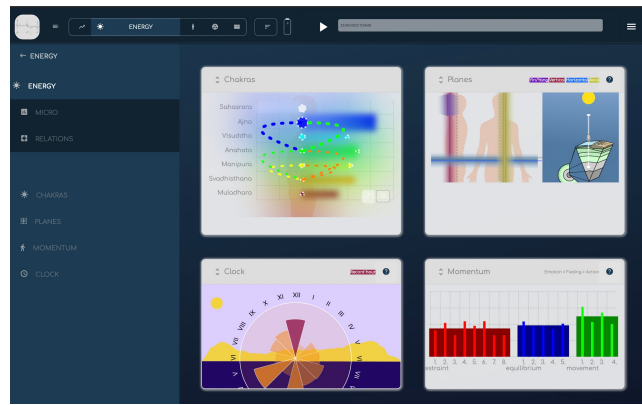
### 4.2. Energie grafieken: chakra's, vlakken, klok en momentum



*De hoofd energetische motoren van het lichaam*

Deze 4 grafieken maken een goede energiewaardering van de hoofdfuncties van het lichaam mogelijk.

- **Chakra's** kunnen de 7 of 12 chakra's, hun globale aura, en de relaties daartussen tonen.
- **Plannen** belicht de hoofdenergetische evenwichten van het lichaam: de horizontale, verticale en axiale vlakken worden getoond, samen met de verbinding met het diepe aardveld en het hemelse veld.
- **Klok** toont de relatie tussen de meridianen en hun hoofdwerkuren, samen met de opnametijd, om de juiste tijdafstemming te beoordelen.
- **Momentum** is een grafiek die we hebben gemaakt om de 3 hoofdtraagheden en hun componenten te tonen: diegenen die beperkingen zijn, diegenen die evenwichtig zijn en diegenen die helpen bij beweging.

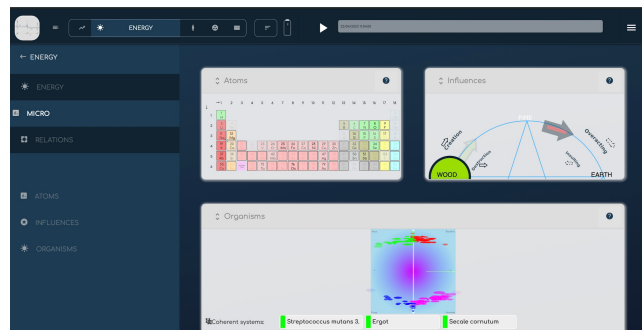


### 4.3. Energie grafieken: de micro wereld

*Zeer klein, maar zeer nuttig*

Deze 3 grafieken tonen de micro-elementen die de globale systeem kunnen beïnvloeden.

- **Atomen** tonen de periodieke tabel en de resonanties tussen elementen.
- **Invloeden** is de TCM 5 elementen ster, met hun respectieve constructieve of destructieve invloeden berekend en uitgelicht door pijlen.
- **Organismen** is de evaluatie van 200 externe organismen (virus, bacteriën, schimmels en parasieten) en hun respectieve verbindingen.

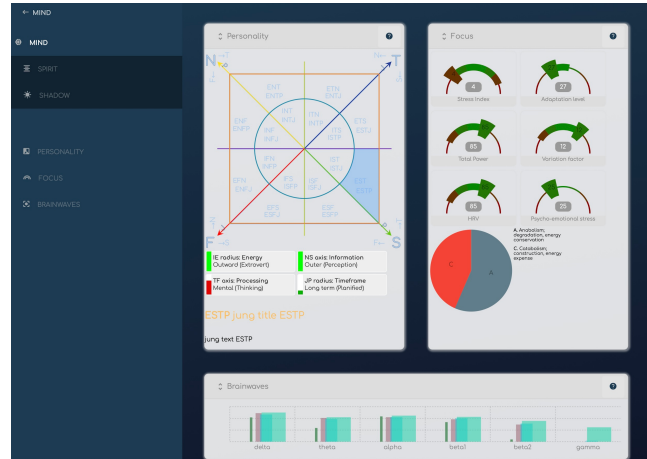


## 5. Scan: de Mind module

*Geest, Ziel en Schaduw zijn de focus van deze module.*

Met meer dan 300 biomarkers die zijn gewijd aan de dingen die gebeuren in onze gedachten, heeft de Mind module als doel om hun metingen op een gemakkelijke manier te organiseren.

- **Mind** behandelt persoonlijkheid, focus en hersengolven.
- **Persoonlijkheid** herbouwt het Jung persoonlijkheidstype (later gepopulariseerd als Myers Briggs of MBTI). Voor dit scherm hebben we een unieke, nieuwe logische visualisatie gemaakt gebaseerd op 4 assen die we hebben ontdekt in de persoonlijkheidsbeoordeling.
- **Focus** groepeerd traditionele HRV academische indicatoren en een constructieve/destructieve balansvisualisator.
- **Hersengolven?** Ja, onze sensor kan tot 64Hz de elektriciteit van het hele lichaam lezen, niet alleen die van het hart. We hebben een algoritme ontworpen om de specifieke informatie van de hersengolven te extraheren om een gevoel te krijgen van de meest actieve focusstaten van de geest.



### 5.1. De schaduwmodule

*Emoties, wonden en drijfveren*

De schaduw, of het onderbewustzijn, is een integrerend onderdeel van ons gedrag.

- **Emoties** worden geëxtraheerd uit de hoofd ritmes van de ECG.
- **Wonden** hebben betrekking tot TCM invloeden. De 5 wonden (of 8 wonden zoals het oorspronkelijk was ontworpen) hebben een populaire toepassing sinds 30 jaar. In BioCoherence, verruimen we hun betekenis door hun respectieve constructieve of destructieve relaties toe te voegen.
- **Drijvende krachten** is een volledig nieuwe manier om emoties op een betekenisvolle manier te organiseren.

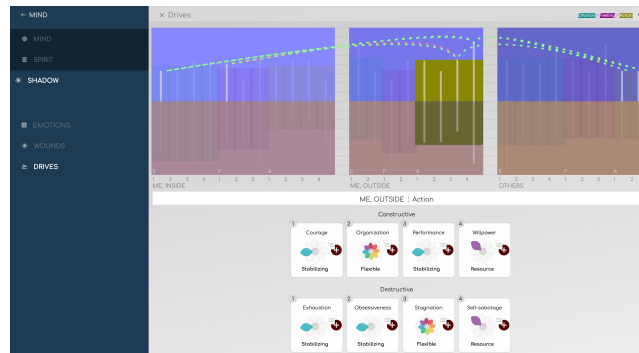


### 5.2. Schaduw: aandrijvingen

*Een nieuwe manier om emoties te organiseren.*

**Drives** is een compleet nieuwe manier om emoties op een betekenisvolle wijze te organiseren in 28 groepen van tegenstellingen, netjes geregeld in 3 hoofdgroepen (IK Binnen, IK Buiten en ANDEREN), waarvan elke groep 3 subgroepen bevat (Emotie, Gevoel, Actie).

- **IK Binnen** heeft betrekking tot de emoties die mijn innerlijke functie aanbelangen.
- **IK Buiten** heeft betrekking tot de emoties die mijn innerlijke werking relateren aan wat er om mij heen gebeurt.
- **ANDEREN** heeft betrekking tot de emoties die betrekking hebben tot andere mensen om mij heen.
- **Emotie** is de wortel van hun oorsprong.
- **Gevoel** is hoe ik ze interpreteer.
- **Actie** is wat ik met ze doe.



door gebruik te maken van meditatietechnieken zoals de observerende geest, kan men beter begrijpen hoe de articulatie en de gevolgen van opkomende emoties werken. De resonantiekoppelingen tussen emoties, die zichtbaar zijn wanneer je op de grafiek klikt, kunnen ook helpen begrijpen wat er gebeurt.

### 5.3. De Spirit module

*Muziek en Schaal uitlijning*

De geest is dat deel van ons dat de ruimte en de tijd te boven komt.

- **Muziek** is een lezing van de hoofdfrequenties in de ECG gecombineerd met een hoop muziektheorie. Schaal en hoofdakkoorden worden berekend op korte termijn (één maat), middelange termijn (2 maten), lange termijn (3 maten) en zeer lange termijn (4 maten). Deze worden vervolgens gebruikt bij het opbouwen van de aangepaste meditatie, om je muzikaal mee te nemen van waar je bent, naar waar je zou kunnen gaan.
- **Uitlijning** is gebaseerd op de vergelijking van Dan Winter en Elfie gehele waarden<sup>2</sup>.
- in Uitlijning, **Focuste coherentie** is, zoals Dan zegt, de "Echte Hartcoherentie": het berekent de hoeveelheid focus door het cepstrum (2de orde FFT) of, in simpele termen, het berekent hoeveel de globale frequenties gevonden in de ECG **muzikaal** in toonaard en in fase samen zijn.
- in Uitlijning, **Echte Hartcoherentie** berekent de zelfde maar voor frequenties die veelvoudig zijn van de gulden proportie tussen hen.
- 
- in Uitlijning, **Ingebedde implosie %** toont het deel van de frequenties die dicht bij gehele Elfie waarden staan, en geeft dus de hoeveelheid energie aan die momenteel is ingebed in de beste energie implosie cyclus.



2. <https://elfie.link>

## 6. De Balance modules

*Prioriteiten, middelen, rapporten en geleide meditaties.*

Balance is een verzameling van hulpmiddelen om je te helpen maximale kwaliteit te bereiken.

- **Prioriteiten** is wat nu aandacht nodig heeft.
- **Rbronnen** is wat je betrouwbaar kunt gebruiken.
- **rapport** is een PDF-document voor alle belangrijke onderdelen van de analyse.
- **Balance** is de generatie van geleide meditaties, frequenties, binaurale beats en herbeoordelingen, allemaal geoptimaliseerd in realtime via biofeedback.

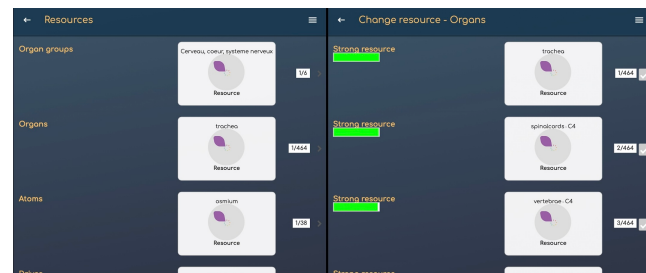
### 6.1. Hulpmiddelen



*De kracht van middelen: ze zijn al van jou en ze zijn al beschikbaar om te helpen*

Hulpmiddelen zijn de belangrijkste pijlers, de belangrijkste energiebronnen voor deze opname. De Balance-module is voornamelijk gebaseerd op middelen om relevante frequenties, binaurale beats en audio-begeleidingsstemmen te kiezen om energie op te bouwen voordat de werkzaamheden aan prioriteiten beginnen.

- Hulpmiddelen worden automatisch geïdentificeerd, maar kunnen indien nodig worden gewijzigd. Om een hulpbron te wijzigen, klikt u erop en kiest u een andere van de belangrijkste middelen voor deze categorie.

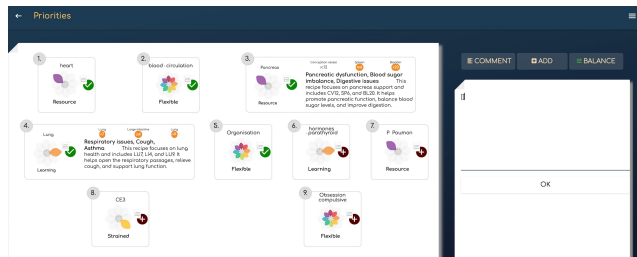


### 6.2. Prioriteiten

*Wat heeft aandacht nodig.*

Prioriteiten zijn biomarkers die aandacht nodig hebben. Ze worden automatisch berekend na een opname, maar het is volledig aan de gebruiker om prioriteiten toe te voegen of te verwijderen.

- Prioriteiten kunnen worden toegevoegd of verwijderd van elke biomarkerbloem, op elke pagina, of in de Prioriteitenmodule. Klik gewoon op de knop!
- Onder prioriteiten stelt de **Opmerking** knop de gebruiker in staat om tekst toe te voegen.
- De **Toevoegen** knop toont een lijst van relevante aanvullende prioriteiten om te kiezen, indien nodig, van Organen, Acupunctuurmeridianen, Meridianenpunten, TCM-recepten, Chakra's, Aandrijvingen, Momentum...



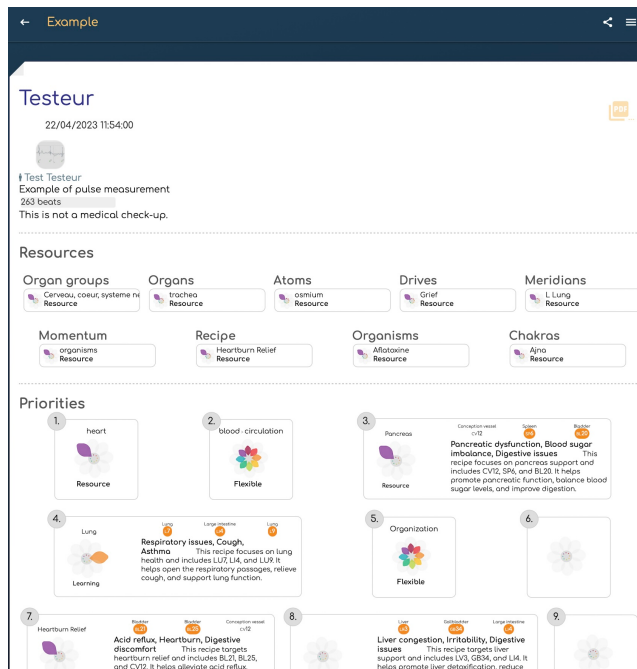
## 6.3. PDF Rapport

*1-klik export van alle belangrijke informatie als een PDF*

Het PDF rapport kan worden afgedrukt, opgeslagen of verzonden in 1 klik. Het bevat:

- Cliëntinformatie
- Opnamesinformatie
- Annotaties
- Deel en sessies
- Resources en prioriteiten
- Hoofdmeridianen (energie, entropie, coherentie)
- Hoofdorganen (energie, entropie, coherentie)
- Hoofd MTC recepten (energie, entropie, coherentie)

Het kan worden gepersonaliseerd door de Pro.



## 6.4. Balans: de aangepaste meditatie

*Nu is het tijd om actie te ondernemen.*

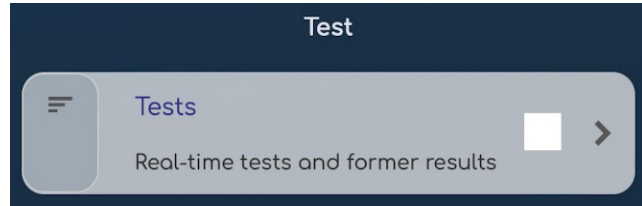


## 7. De tests modules

*Gebruik biofeedback om een real-time beoordeling te krijgen van elke informatie*

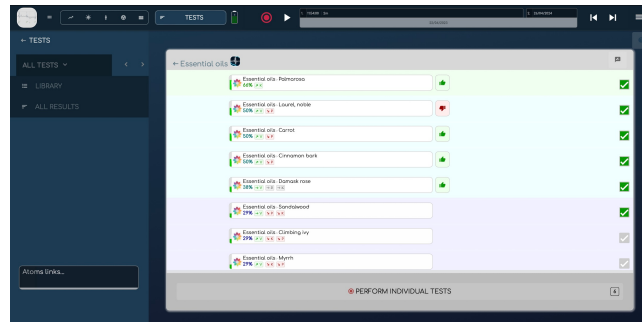
**Tests** zijn een unieke manier om elk soort informatie te beoordelen.

- Het gebruik van biofeedback in realtime, tests zijn individuele beoordelingen van compatibiliteit.
- Tests bestaan uit lijsten van elementen. Elk element kan vooraf berekend worden vanuit een scan, en live getest tegen de reactie van het lichaam op deze informatie.



### 7.1. Een test lijst na een live evaluatie

Na de live evaluatie, kun je de 2 informatie zien die op de lijst wordt weergegeven: de automatische voorbeoordeling (indien van toepassing), gebaseerd op de behoeften van de biomarker en de vermelde effecten van elke lijst element; en de biofeedback respons, een duim omhoog of omlaag, gebaseerd op de somatische reactie van het organisme tijdens de test.

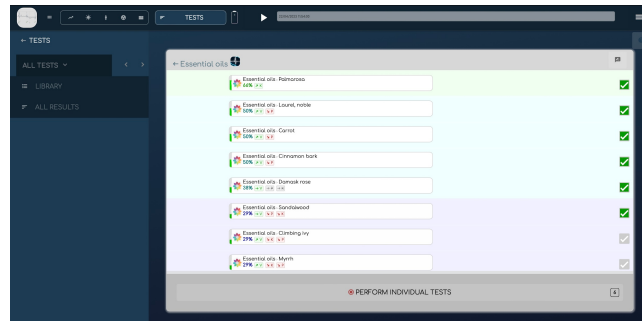


### 7.2. A test lijst

Een test bestaat uit een lijst van elementen die moeten worden geëvalueerd en geordend.

### 7.3. Test lijsten

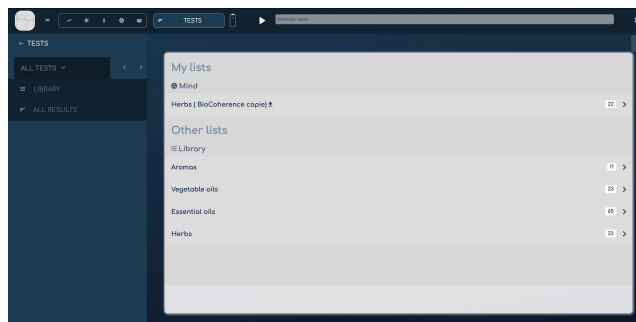
*Zoeken, bewerken, delen en kiezen van tests*



Tests is een open platform waar makers hun lijsten kunnen creëren en delen. Je kunt zoeken op sleutelwoorden, maker of testtype, bestaande tests dupliceren om je eigen te bouwen, en alle geteste resultaten voor het huidige rapport in één klik weergeven.

#### 7.4. test: biofeedback live evaluatie

Wanneer een test wordt gestart, worden informatie naar de gebruiker verzonden en wordt de somatische reactie geëvalueerd.



#### 7.5. tests: bewerk

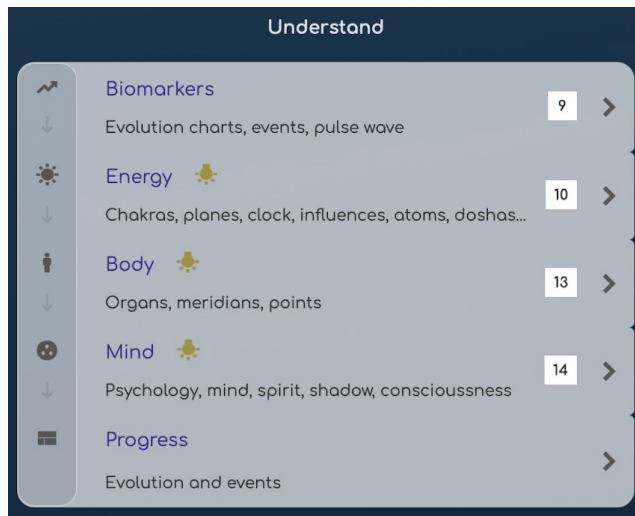
Elke pro kan tests voor zichzelf maken of later delen. Voor elk element in de testlijst kan men de actie op biomarkers specificeren voor automatische evaluatie, of informatie van welke aard dan ook toevoegen voor biofeedbackevaluatie.



## 8. De begrijpen modules

*Scanresultaten worden onder dit module weergegeven.*

Bekijk de verschillende Scan hoofdstukken voor meer details.



# 3.2.

## Detailleerde gids

Deze handleiding dekt alle aspecten van de applicatie, en elk hoofdstuk is geïllustreerd met screenshots en video's om je te helpen begrijpen hoe je het beste kunt gebruiken.

Om toegang te krijgen tot de video's en het forum per hoofdstuk, ga naar [biocoherence.net/tutorials](https://biocoherence.net/tutorials)

## Contenido

<b>9.</b>	<b>Inleiding</b> .....	<b>39</b>
9.1.	Overzicht van de software-interface.....	39
9.2.	Open een rapport.....	40
9.3.	Opname met Sensor.....	42
9.4.	Klant beheer.....	42
9.5.	Multi-part rapport.....	44
<b>10.</b>	<b>Begrijpen: Biomarkers</b> .....	<b>45</b>
10.1.	Biomarkers in detail.....	45
10.2.	Pulsgolfbewerking en verificatie (ruwe opname).....	47
10.3.	Monitoring veranderingen in biomarkers tijdens de sessies.....	47
10.4.	Frequentie en Harmonische Analyse.....	47
10.5.	De causale keten.....	48
10.6.	Prevalentie.....	51
10.7.	Polygraaf.....	51
<b>11.</b>	<b>Begrijp: Energie</b> .....	<b>52</b>
11.1.	Atomen.....	52
11.2.	Ayurvedische Energie Beoordeling.....	52
11.3.	Chakra Visualisatie.....	54
11.4.	Invloeden.....	54
11.5.	Momentum.....	54
<b>12.</b>	<b>Begrijp: Lichaam</b> .....	<b>56</b>
12.1.	TCM meridianen.....	56
12.2.	Organ kaarten.....	57
12.3.	Acupunctuurpunten.....	58
<b>13.</b>	<b>Begrijp: Geest</b> .....	<b>60</b>
13.1.	Uitlijning.....	60
13.2.	Hersengolven.....	60
13.3.	Aandrijvingen.....	61
13.4.	Emoties.....	63
13.5.	Focus.....	63
13.6.	Muziek.....	64
13.7.	De 2016 persoonlijkheidstypes.....	65
13.8.	De 5 wonden.....	66
<b>14.</b>	<b>Test</b> .....	<b>68</b>
14.1.	Test lijsten.....	68
<b>15.</b>	<b>AI in BioCoherence</b> .....	<b>71</b>
15.1.	AI Helpers.....	71
<b>16.</b>	<b>Balans</b> .....	<b>74</b>
16.1.	Prioriteiten.....	74
16.2.	Hulpbronnen.....	75
16.3.	PDF rapport.....	76
16.4.	Balans: Meditaties, geluiden en hulpmiddelen.....	77
16.5.	Harmonische Versterking.....	80

## 9. Inleiding

*Algemene presentatie van deze gids*

In deze introductie zullen we kijken naar hoe je een bestaand rapport kunt openen, een ECG kunt importeren vanuit Health, of een nieuw rapport kunt maken door op te nemen met Sensor. We zullen ook kijken naar de initiële concepten van de applicatie.

### 9.1. Overzicht van de software-interface

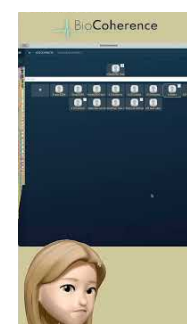
*Interface op computer, tablet of smartphone; fora, contextgevoelige handleidingtoegang en contextgevoelige hulpoproepen.*

Wanneer je een rapport open na het opnemen, zijn er verschillende interface-elementen om je te helpen navigeren en de gegevens efficiënt te analyseren.

Helemaal boven in de interface vind je een menu dat toegang geeft tot de verschillende delen van het rapport. Een navigatiebalk maakt het mogelijk om rond te bewegen binnen de opname. Het hoofdmenu is verdeeld in verschillende secties. Om terug te gaan naar de samenvatting, klik je simply op de gegeven knop.

De hoofdsecties omvatten :

- **Scananalyse:** Deze sectie toont verschillende schermen, zoals lichaam, energie, biomarker technische analyse, geest analyse, en progressies door de opnames.
- **Tests:** Momenteel heeft deze sectie slechts één invoer, maar meer opties zullen worden toegevoegd. Het bevat lijsttests, frequentietests en live tests.
- **Sensorverbindingen:** Door op het batterijpictogram te klikken, kun je een Bluetooth-verbinding met de sensoren initiëren en direct een opname starten.



[biocoherence.net/n82.92](http://biocoherence.net/n82.92)

Navigatie in de opname kan bovenaan het scherm op een computer of onderaan op een telefoon zijn, afhankelijk van de schermgrootte. Je kunt navigeren tussen secties zoals voor de sessie, na de sessie, en alle acties zien die zijn uitgevoerd voor een specifieke klant. De interface maakt ook beat-by-beat navigatie mogelijk voor gedetailleerde real-time analyse.

Het opslaan van rapporten bevat klantinformatie, rapporttitel, en de mogelijkheid om het rapport in de cloud op te slaan. Dit maakt toegang mogelijk vanuit meerdere apparaten en beveiligt gegevens weg van de lokale computer. Je kunt ook de klant veranderen als er een opname is gestart op het verkeerde profiel.

Het algemene menu bovenaan de interface biedt verschillende opties:

- Retourneer naar de startpagina
- Wijzig testlijsten
- Contactbeheer
- Wijziging van contactgegevens en account
- Wijzig abonnement
- Update toepassingsgegevens
- Gebruik de Elfie-calculator

Recente nieuws en een optie voor hulpreport zijn toegankelijk vanuit alle pagina's. In het geval van een technisch probleem, kun je "Opinies en suggesties" invoeren, een vraag stellen, of een ondersteuningsverzoek verzenden met een screenshot.

### Hulpreportages, forums en online handleidingen

De toepassing biedt ook contextgevoelige hulp en geïntegreerde video's voor elk item. Wanneer je het vraagteken-symbool (?) ziet, zal dit een kleine hulptekst openen. Deze tekst geeft je mogelijkheden tot toegang tot een video en de handleidingpagina direct. Het geeft je ook toegang tot een samenwerkingsforum. Als je geen specifiek probleem hebt maar op dit moment een opmerking wilt

maken, of als je helderheid nodig hebt tussen praktijkbeoefenaars, kun je dit samenwerkingsforum openen door op de vraagtekens te klikken. Je kunt daar vragen stellen of de vragen van andere gebruikers beantwoorden.

## Gebruik de functie "Adviezen en Suggesties" om hulp aan te vragen

De functie "Mededelingen & Suggesties" is toegankelijk vanuit elke pagina van je interface en maakt het mogelijk om hulp te vragen in het geval van een technisch probleem. Hier is hoe je het effectief kunt gebruiken:

1. Open het menu in de bovenste rechterhoek en toegang tot het menu "Mededelingen en suggesties".
2. Typ je vraag of beschrijf je probleem in het tekstvak dat is gegeven.
3. Het systeem zal de kennisbank doorzoeken voor een antwoord op je vraag.
4. Als er een antwoord wordt gevonden, zal dit direct op het scherm worden weergegeven.
5. Als er geen antwoord wordt gevonden, kun je een ondersteuningsverzoek verzenden.

Om een ondersteuningsverzoek te verzenden, heb je twee opties:

- **Aanmaak van een screenshot:** Dit helpt je beter begrijpen wat er gebeurt op je scherm. Zodra je de screenshot hebt gemaakt, kun je de hulpmiddelen bovenaan gebruiken om de afbeelding te annoteren. Bijvoorbeeld, je kunt het probleemgebied omcirkelen en een uitleggende spraakballon toevoegen.
- **Schrijf een ticket:** Je kunt ook simply een beschrijving van je probleem schrijven zonder een screenshot te maken.

Zodra je de screenshot hebt geannoteerd of je beschrijving hebt geschreven :

- Klik op "Valideren".
- Voeg een beetje tekst toe indien nodig om je oorspronkelijke zoekopdracht te verduidelijken.
- Send het bericht.

Je verzoek zal dan worden omgezet in een ticket met alle nodige informatie zodat het ondersteuningsteam je zo goed mogelijk kan helpen. Gebruik altijd het menu "Adviezen en suggesties" wanneer je specifieke vragen of problemen te oplossen hebt.

### Volg je verzoeken

Ook in het menu "Adviezen en suggesties", opent een 3e knop "Volg je tickets" alle jouw huidige verzoeken, waardoor je informatie kun toevoegen of onze antwoorden kun bekijken.

## Terug naar de startpagina

Wanneer je terugkeert naar de startpagina, wordt het laatst geopende rapport weergegeven voor snelle toegang. De interface bevat belangrijke secties voor scananalyse, live testen, scanconclusie, en de mogelijkheid om resultaten te delen.

De interface is ontworpen om vloeiende navigatie en uitgebreide hulpmiddelen te bieden voor het analyseren en delen van opnames.

## 9.2. Open een rapport

*Ontdek de app*

## Inleiding

Welkom bij dit hoofdstuk gewijd aan de BioCoherence toepassing, beschikbaar op smartphone en computer. Deze toepassing stelt je in staat om verschillende biomarkers te volgen en te analyseren voor een betere balans tussen geest en lichaam.

## Startscherm

Wanneer je de toepassing opent, bevind je je op het startscherm. Je hebt twee keuzes: een nieuwe meting starten of een voorbeeldrapport openen. We aanbevelen je om te beginnen met het openen van het voorbeeldrapport om je vertraagd te raken met de interface. Dit startscherm heeft ook een menu met een verscheidenheid aan informatie, die we in detail zullen beschrijven in de volgende secties.



[biocoherence.net/n82.2](http://biocoherence.net/n82.2)

## Voorbeeldrapport

Zodra je het voorbeeldrapport hebt geopend, zul je opmerken dat de berekening onmiddellijk begint. Dit leidt je naar het hoofdmenu, dat is opgedeeld in de volgende secties:

- Balanceren: Prioriteiten, Hulpbronnen
- rapporten: PDF rapport, Geleide meditaties
- Detaillerte analyse: Biomarkers, Energie, Lichaam, Geest, Vooruitgang

## Computerapplicatie

De computerapplicatie biedt een vergelijkbare ervaring als die op een smartphone, met meer ruimte om te navigeren. De menu's en secties zijn identiek, maar het beeld is geoptimaliseerd voor grotere schermen.

## Navigatie

Of je nu een smartphone of een computer gebruikt, er is een navigatiegebied beschikbaar bovenaan of onderaan het scherm. Hiermee kun je van de ene sectie naar de andere gaan, bijvoorbeeld om pre- en post-workout opnames te vergelijken, of om de dagelijkse vooruitgang over een bepaalde periode te volgen. Om terug of vooruit te gaan in de opname, druk je simply op "afspelen" en navigeer door de opname.

## Biomarkeranalyse

Wanneer je de sectie "Biomarkers" selecteert, kun je gegevens zoals de polsgolf onderzoeken. Deze analyse kan variëren afhankelijk van het type marker en opnametijd. Op de computer, zijn aanvullende tabbladen zoals "Tests" en "Vooruitgang" beschikbaar, die een gedetailleerd overzicht bieden van de evolutie van biomarkers tijdens de sessies.

## Conclusie

Dit hoofdstuk heeft een algemeen overzicht gegeven van de BioCoherence toepassing. Voor een diepgaand begrip van elk scherm en kenmerk, nodigen we je uit om de aanvullende video's te raadplegen.

## 9.3. Opname met Sensor

Er zijn verschillende methoden beschikbaar om een schone ECG-opname te maken met BioCoherence. U kunt beginnen vanaf de startpagina door een nieuwe opname te starten en op "opnemen" te klikken. Een andere optie is om te beginnen vanaf de "voortgang" pagina of door op het batterijpictogram bovenaan het scherm te klikken. Deze acties verbinden de applicatie automatisch met de Bluetooth-sensor en starten de opname.

Tijdens de opname wordt een animatie weergegeven om de verwachte resultaten te illustreren. Deze animatie wordt echter niet in realtime bijgewerkt met de metingen. De gegevens worden aan het einde van de opname berekend. De animatie helpt u om de tijd te besteden die nodig is om een goede opname te verkrijgen, idealiter minstens twee minuten.

Drie schuifregelaars bovenaan het scherm, gelabeld "energie", "activiteit" en "verbinding", vullen geleidelijk op. Deze cursors moeten volledig gevuld zijn om ervoor te zorgen dat de verzamelde informatie voldoende is om alle noodzakelijke variabelen te berekenen. Zodra deze cursors 100% bereiken, wordt de opname als voldoende beschouwd.

Om de opnamekwaliteit te waarborgen, plaatst u een duim op elke sensor. Als het signaal niet van goede kwaliteit is, gebruikt u elektrodegel of maakt u uw vingers licht vochtig. De signaalkwaliteit wordt automatisch geëvalueerd. Als u bijvoorbeeld een vinger verwijdert, stopt de opname onmiddellijk. Als u uw vinger weer plaatst, duurt de reconnection ongeveer een seconde, maar u moet mogelijk opnieuw kalibreren.

Als u niet voldoende druk uitoefent, beweegt of plotselinge bewegingen maakt, verandert het scherm in een rode achtergrond, wat aangeeft dat de gegevens niet worden meegenomen. Het apparaat wacht op herkalibratie, aangegeven door de terugkeer van de groene stippen en de afwezigheid van de rode achtergrond, voordat de opname van goede kwaliteitsgegevens wordt hervat.

Zodra de cursors 100% vol zijn, klikt u op "Stop". De applicatie zal dan alle gegevens berekenen en u zult in staat zijn om de verschillende hoofdstukken van de scanopname te raadplegen.



[biocoherence.net/n82.13](http://biocoherence.net/n82.13)

## 9.4. Klant beheer

### Overzicht

BioCoherence Pro stelt je in staat om een onbeperkt aantal klanten te netwerken, waarvan iedereen kan worden verbonden via hun eigen applicatie. Dit hoofdstuk leidt je door de stappen die betrokken zijn bij het beheren en delen van informatie met je klanten.

### Selectie van klanten

Op alle pagina's waar je een klant moet selecteren, is er een knop beschikbaar in de bovenste rechterhoek om deze selectie te maken. Om een klant te vinden, typ simply zijn naam in het zoekveld. Het systeem zal de bijbehorende klanten tonen en het aantal beschikbare records voor iedereen.



[biocoherence.net/n82.15](http://biocoherence.net/n82.15)

### Recordbeheer

Zodra je een klant hebt geselecteerd, zie je de records die beschikbaar zijn voor die klant. Records kunnen worden geïdentificeerd door verschillende pictogrammen:

- Een pictogram geeft aan dat het record is opgeslagen op de lokale computer.
- Een ander pictogram geeft aan dat de opname in de cloud staat.
- Een derde pictogram geeft aan dat de klant toegang heeft tot deze opname.

### Het delen van rapporten

Wanneer je een rapport openmaakt, kun je kiezen of je de toegang met de klant wilt delen. Op de startpagina is er een knop waarmee je de informatie van de klant kunt wijzigen, zoals geslacht, e-mail en een foto. Deze informatie is cruciaal voor visualisaties specifiek voor geslachtsorganen en chakra's.

## Uitnodigingen verzenden

Om een uitnodiging naar een klant te verzenden, voer je hun e-mailadres in en klik op "Stuur e-mail". Je kunt ook de uitnodigingslink of tekst delen via SMS, WhatsApp of een andere applicatie die beschikbaar is op je apparaat. Het bericht kan worden verzonden in het Engels of Frans, door de taal te veranderen met de vlaggenkeuzemenu.

Met deze functies kun je eenvoudig informatie beheren en delen met je klanten in BioCoherence Pro, terwijl je zorgt voor efficiënte en veilige communicatie.

## Gebruiker en klantbeheer in BioCoherence, in detail

De BioCoherence app biedt uitgebreide functies voor gebruikers- en klantbeheer, waardoor gebruikers hun eigen profielen en die van hun klanten kunnen beheren. Deze sectie beschrijft de functionaliteiten die beschikbaar zijn voor het beheren van gebruikers en klanten binnen de app, inclusief het aanmaken van nieuwe contacten, het wisselen tussen gebruikers, en het beheren van gebruikersgegevens.

### Huidige gebruikersweergave

- **Weergave gebruiker:** De huidige gebruiker wordt bovenaan het startscherm van de app interface weergegeven. Dit kan jij zijn (de primaire gebruiker) of iedereen klant of contact.
- **Privacyfunctie:** Gebruikers kunnen alle namen en foto's vaag maken door op het vaag icoon te klikken, waardoor de privacy wordt gewaarborgd wanneer anderen mogelijk het scherm bekijken.

### Gebruikersanalyse

- **Analyse weergeven:** Door te klikken op "Open Analyse" of "Bekijk alle analyses" worden analyses weergegeven die alleen verbonden zijn met de huidige gebruiker.
- **Wisselen van gebruikers:** Om van gebruikers te wisselen, klik je op het icoon met de twee pijlen om toegang te krijgen tot de gebruikersdirectory. De primaire gebruiker staat altijd bovenaan deze lijst.

### Gebruikersdirectory

- **Toegang tot gebruikersdirectory:** Klik op het icoon met de twee pijlen om de gebruikersdirectory te openen.
- **Zoeken naar gebruikers:** Gebruik het zoekicoon (vergrootglas) onderaan de pagina om gebruikers te filteren door sleutelwoorden in te voeren.
- **Nieuwe contacten aanmaken:** Toegang tot de contactlijst via het menu en klik op "Maak nieuw contact" om een nieuwe gebruiker toe te voegen. Geef het geslacht op voor nauwkeurige weergave op het scherm. Voeg hun e-mail toe als je ze wilt uitnodigen of een rapport delen, of geef ze toegang tot het rapport in hun app.

### Contactbeheer

- **Contacten bewerken:** Bewerk de huidige contactgegevens, inclusief naam, e-mail, en geslacht. De selectie van geslacht heeft invloed op de weergave op het scherm, vooral voor geslachtsspecifieke analyses.
- **E-mailintegratie:** Een e-mail toevoegen maakt direct verzenden van PDF-rapporten mogelijk en creëert een account op de server voor de gebruiker.
- **Extra informatie:** Optionele velden zijn onder meer geboortedatum, gewicht en persoonlijke notities. Geboortedatum wordt momenteel niet gebruikt in berekeningen, maar zal worden gebruikt voor toekomstige functies zoals vergelijking van biologische leeftijd.

### Beheer van gebruikersbestanden

- **Bestand opslaan:** Analyses worden opgeslagen in gebruikersbestanden. Zorg ervoor dat analyses onder de juiste gebruiker worden opgeslagen om verwarring te voorkomen. Je kunt de gebruiker op dit moment wijzigen als er een fout is gemaakt, zoals het starten van een record onder een andere gebruiker.
- **Cloud-upload:** Analyses kunnen worden geüpload naar de cloud voor delen. Dit is nodig voor het delen van toegang met klanten.

### Het delen en uitnodigen van gebruikers

- **Uitnodigen van gebruikers:** Stuur uitnodigingen naar gebruikers via e-mail of tekst, waardoor ze toegang hebben tot hun rapporten en de app kunnen gebruiken.

- **Het delen van rapporten:** Deel PDF-rapporten met klanten. Rapporten kunnen worden aangepast door te selecteren welke secties in te sluiten.

## Apparaatcompatibiliteit en updates

- **Apparaatcompatibiliteit:** De app is compatibel met diverse platforms, met updates die regelmatig worden uitgebracht om de functionaliteit te verbeteren.
- **De app updaten:** Gebruikers moeten regelmatig controleren op updates om te zorgen dat ze de laatste functie en oplossingen hebben.

## 9.5. Multi-part rapport

Om de details van een rapport te onderzoeken, begin met het openen van het betreffende rapport. Klik op de naam om het te openen, waardoor de verschillende elementen die het bevat worden weergegeven. Bovenaan het scherm op een computer, of onderaan op een telefoon, worden de verschillende secties van het rapport weergegeven. Standaard is het hele record zichtbaar, maar je kunt kiezen om alleen de eerste of tweede sectie weer te geven, bijvoorbeeld.

Details van secties kunnen worden toegankelijk gemaakt via de "Progressie" tab, die ook in het midden van de startpagina interface is geplaatst. Deze tab toont de evolutie van de verschillende variabelen tijdens de opnames. Bijvoorbeeld, je kunt opnames zien met een interval van 5 minuten, 4 minuten 30, of opnames van verschillende lengtes, zoals 40 seconden en 20 seconden.

Het is ook mogelijk om commentaar toe te voegen aan deze opnames. Deze functie maakt het mogelijk om het begin en einde van sessies te documenteren, of specifieke acties te annoteren om de evolutie van markers te observeren tijdens een sessie.

De verschillende opnames zijn rechtstreeks toegankelijk, waardoor je de status van biomarkers sectie voor sectie kunt vergelijken en veranderingen in momentum, chakra's, enz. kunt observeren. Deze functies biedt een gedetailleerd, vergelijkend overzicht van de verschillende secties van het rapport.



[biocoherence.net/n82.6](https://biocoherence.net/n82.6)

# 10. Begrijpen: Biomarkers

*Pulsgolf technische analyse*

Deze schermen maken technische analyse van de pulsgolven mogelijk, zoals de extractie van frequenties en harmonieën, bewerking van de opname, directe analyse van de golf, biomarker evolutiegrafiek...

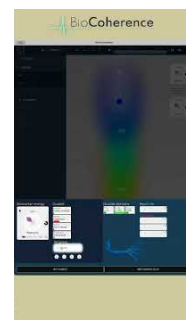
## 10.1. Biomarkers in detail

### Inleiding

In dit hoofdstuk, zullen we de details van biomarkers in een gebruikersinterface verkennen. Laten's de voorbeeld van de chakra's nemen om te illustreren hoe ze werken en hoe de relevante informatie wordt weergegeven.

### Toegang tot Chakra's

Wanneer een pagina die aan chakra's is gewijd wordt toegankelijk, worden de verschillende chakra's weergegeven. Door te klikken op een specifieke chakra, verschijnen de bijbehorende biomarkers aan de rechterzijde van het scherm.



[biocoherence.net/n82.8](http://biocoherence.net/n82.8)

### Energie en Onrust

Het eerste belangrijke element is energie, een bron die wordt geëvalueerd op basis van het energieniveau en de onrust. Aan de linkerkant van het scherm, wordt energie gevisualiseerd, terwijl onderaan, de onrust wordt weergegeven. Beide aspecten worden vertegenwoordigd door 9 verschillende bladpetalen, die de toestand van energie en onrust beschrijven:

- Hier, geeft hoge energie en lage onrust een bron aan.

### Aanvullende informatie

Ondanks dat andere informatie ook wordt weergegeven:

- Attentieniveau
- Intentieniveau
- Termijn horizon (kort, medium of lang termijn)
- Hoofdcyclus van het element

### Evolutie en Gemiddelde

Het is mogelijk om de evolutie van biomarkers te volgen over de loop van een sessie, verdeeld in vier delen. Bijvoorbeeld, je kunt een variatie in energie waarnemen, met fases van stijging en daling, waardoor je de algemene gemiddelde kunt evalueren.

### Prioriteiten

Elke biomarkerpagina biedt meer dan 1,400 verschillende biomarkers. Een knop stelt je in staat om automatisch een biomarker toe te voegen aan de prioriteiten. Door te klikken op "toevoegen aan prioriteit", wordt dit item gemarkeerd voor verdere behandeling, zoals meditaties of reharmonisatiefrequenties. Het proces van toevoegen en verwijderen is slechts één klik verwijderd.

### Linkkwaliteit

Links tussen elementen van de dezelfde familie (bijv. chakra's) worden aangegeven:

- Nummer van vezels (links)
- Resonantiepunten

- Percentage van diffusie (bijv. 33% van gelinkte chakra's)

## Directe Toegang Knoppen

Twee knoppen faciliteren navigatie:

- Directe toegang tot de chakra
- Directe toegang tot de volledig scherm biomarker analysepagina

## Help en Informatie

Een vraagteken is beschikbaar op elke pagina, die aanvullende informatie biedt over de bladpetalen en de betekenissen van de verschillende resonanties en reguleringen.

Kortom, maakt deze interface gedetailleerd, gepersonaliseerd beheer van biomarkers mogelijk, waardoor analyse en optimalisatie van chakra's en andere gerelateerde elementen worden vergemakkelijkt.

## Biomarker energie en onrust informatie

### Energie

De verticale schaal aan de linkerzijde toont de gemiddelde energie van de biomarker. Een lage waarde (onderaan) geeft een lage energie biomarker aan. Een hoge waarde (bovenaan) geeft een hoge energie biomarker aan. Voor sommige biomarkers (bijv. acupunctuurpunten, emoties...) kan de energie negatief of positief zijn, wat een impact aangeeft op de algemene evenwichtigheid. In dit geval, wordt de lage energie aangegeven in het midden van de schaal.

### Onrust

De horizontale schaal onderaan toont de gemiddelde onrust van de biomarker. Een lage waarde (links) geeft een voornamelijk statische biomarker aan. Een hoge waarde geeft een voornamelijk onrustige biomarker aan.

## Biomarker bladpetalen

De 8 bladpetalen (plus de geopende bloem, alle 8 bladpetalen in evenwicht) geeft de hoofdenergie/onrust zone van de biomarker aan.

### Statisch

Lage energie, lage onrust. Dit is de laagste activiteit die mogelijk is voor een biomarker. Het wordt meestal geassocieerd met chronische, langdurige aandoeningen.

### Lage energie

Lage energie, normale onrust. Deze biomarker heeft een lage, maar functionele activiteit.

### Ingespannen

Lage energie, hoge onrust. Dit is een teken van stress.

### Stabiliserend

Normale energie, lage onrust. Deze biomarker is een stabiele pilaar.

### Flexibel

Normale energie, normale onrust. De geopende bloem geeft een optimale functionele staat aan.

### Leren

Normale energie, hoge onrust. Dit geeft een leerproces aan, meestal als reactie op bepaalde externe informatie.

### Resource

Hoog energie, lage onrust. Dit is een kenmerk van hoofdbronnen.

### Adaptatie

Hoog energie, normale onrust. Dit geeft een adaptatieproces aan, meestal als reactie op bepaalde externe prikkels.

### Verstoord

Hoog energie, hoge onrust. Dit geeft een acute, moeilijk oplosbare situatie aan.

## Biomarker regulatie informatie

Dit is een niet-lineaire analyse van de biomarker.

## 10.2. Pulsgolfbewerking en verificatie (ruwe opname)

In deze sectie kijken we naar hoe je de puls-golf kunt bewerken in het geval van opnameproblemen, en hoe je de ruwe golf kunt controleren. Om te beginnen, ga je naar de "biomarker" sectie en selecteer "puls-golf". Je'll dan in staat zijn om de golfvorm van elke hartslag, punt voor punt, te zien. Deze beat-voor-beat visualisatie is nuttig voor het vergelijken en observeren van de evolutie van elke golf.

Naast de gemiddelde golf, waar we aan gewend zijn om te zien, is het belangrijk op te merken dat de ware golfvorm vaak veel schokkeriger is rond dit gemiddelde. Als er een probleem optreedt tijdens de opname, bijvoorbeeld als een deel van de golf niet wordt gedetecteerd, deactiveert de software automatisch deze sectie. Je kunt echter deze sectie heractiveren als je besluit dat het in overweging moet worden genomen.

Om dit te doen, klik je simply op de bijbehorende sectie. Je kunt ook individuele slagen activeren of deactiveren met een enkele klik. Deactiverende slagen zullen niet meer in overweging worden genomen in de berekening van bloemen of in de grafiek.

Tot slot, vind je een set technische statistieken onder de puls-golf, zoals RR interval, PR interval, QRS intervallen enzovoort. Deze gegevens kunnen waardevolle informatie bieden voor verdere analyse.



[biocoherence.net/n82.9](http://biocoherence.net/n82.9)

## 10.3. Monitoring veranderingen in biomarkers tijdens de sessies

Om de evolutie van een biomarker in de tijd te analyseren, begin door toegang te krijgen tot het tabblad "Biomarker" en open "Sessie", vervolgens "Dynamiek". Je'll zien de volledige evolutie van de biomarker in de tijd.

In afspeelmodus, kun je de cursor punt voor punt verplaatsen om verschillende delen van de evolutie te observeren. Onder aan het scherm, geven markeringen de scheidingen tussen elke deel van de sessie aan. Je kan de zoom aanpassen voor een nauwkeurigere analyse, en navigeren tussen de verschillende delen van de sessie, of het nu de tweede, derde, enz. is.

Je kan evenementen toevoegen door te klikken waar je maar wilt. Bijvoorbeeld, als je een opmerkelijke actie uitvoert, kun je dit evenement markeren. Eenmaal toegevoegd, is het evenement zichtbaar als een markering onderaan het scherm, en door erop te klikken, kun je het opnieuw benaderen. Je kan ook het evenement verplaatsen door het te bewerken, en vervolgens de nieuwe positie te bevestigen.



[biocoherence.net/n82.16](http://biocoherence.net/n82.16)

Evenementen worden gebruikt om belangrijke aspecten van je praktijk te noteren en verschijnen ook in de samenvatting van de verschillende delen. De evolutiegrafiek is verdeeld in verschillende segmenten: zeer korte termijn (blauwe achtergrond voor onmiddellijke evolutie), middelange termijn, lange termijn en zeer lange termijn. De zeer lange termijn geeft een gemiddelde over een langer tijdperk, dat ongeveer 90 slagen vereist om te berekenen.

Analyse van de relatie tussen de zeer korte termijn en de middelange termijn is cruciaal. Soms, is de zeer korte termijn curve boven of onder de middelange termijn curve. Wanneer de curve onder is, wordt het in het rood gemarkeerd, en wanneer het boven is, wordt het in het groen gemarkeerd. Deze aanduidingen bieden belangrijke informatie voor het beoordelen van onmiddellijke trends tijdens testen.

Ten slotte, is een synthese van de informatie beschikbaar in de vorm van een "bloem" die energieniveaus en agitatie aangeeft. Deze samenvatting kan ook deel voor deel geanalyseerd worden om de evolutie over de verschillende secties te observeren.

## 10.4. Frequentie en Harmonische Analyse

*Dankzij een wiskundige bewerking genaamd FFT, wordt de golf omgevormd naar frequenties, vervolgens worden deze frequenties geanalyseerd om hun harmonischen te vinden.*

In dit hoofdstuk, zullen we kijken naar de frequenties en harmonieën die zijn berekend uit de golfvorm. We blijven in de biomarker ruimte, d.w.z. in de technische lijst.

Om te beginnen, open de frequenties. Je'll zien een weergave tussen 0 en 60 Hz. Aan de bovenkant van deze weergave, vind je de laagste frequenties, d.w.z. de zeer lage frequenties onder 0.03 Hz, de lage frequenties, en de hoge frequenties rond 0.4 Hz. Deze frequentiegebieden bevatten over het algemeen zeer interessante informatie.

We kijken eerder naar het 0-3 Hz bereik, maar het's ook mogelijk om informatie te vinden over de andere frequentiebanden.

Nu, ga verder naar de Harmonische sectie. Deze sectie voert een berekening uit op de frequenties om te bepalen welke de sterkste zijn. De informatie die hier wordt verkregen is ook relevant voor de verschillende biomarkers. Deze technische analyse stelt je in staat om de opname te scannen en de voorkeursfrequenties te identificeren. Het is moeilijk om relevante informatie met het blote oog op deze weergaven te onderscheiden, maar het is een van de basisprincipes van wat de toepassing gebruikt om biomarkers te berekenen...



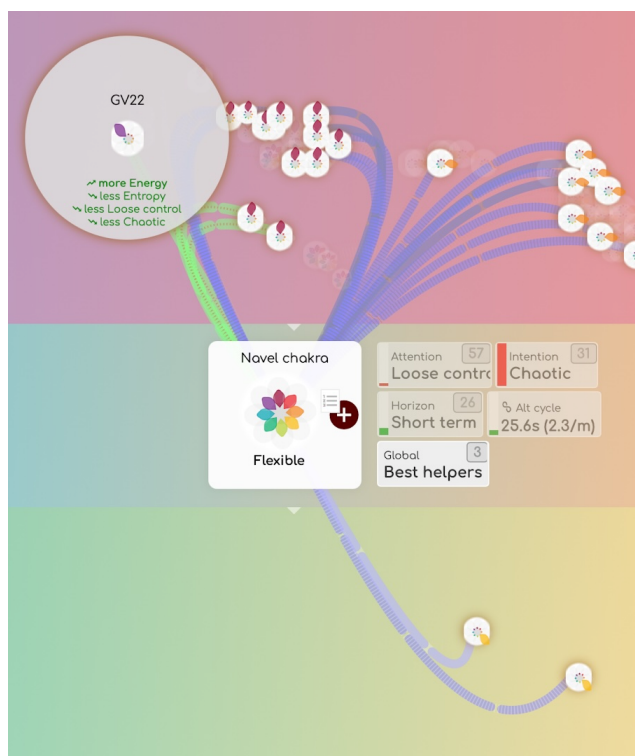
[biocoherence.net/n82.7](http://biocoherence.net/n82.7)

*FFT (Fast Fourier Transform) is een algoritme dat de Fourier transformatie snel en efficiënt berekent. Het wordt breed toegepast in signaalverwerking, spectrale analyse en gegevenscompressie. De Fourier transformatie is een wiskundig hulpmiddel dat een functie of signaal decomprimeert in een som van sinusgolven van verschillende frequenties. Het transformeert een signaal van het tijdsdomein naar het frequentiedomein.*

## 10.5. De causale keten

De Causal Chain functie in BioCoherence biedt een uitgebreide manier om de onderlinge verbindingen tussen verschillende biomarkers te analyseren, waardoor gebruikers de oorzaken van ongelijkheden kunnen identificeren en de meest effectieve interventies kunnen bepalen. In tegenstelling tot vorige methoden die alleen relaties binnen de zelfde categorie weergaven (bijv., organen verbonden met andere organen), breidt de Causal Chain deze analyse uit om alle biomarker categorieën in te sluiten, zoals meridianen, chakra's, atomen, pathogenen, enzovoort. Dit kenmerk maakt het gebruikers mogelijk om:

- De onderliggende oorzaken van ongelijkheden te identificeren.
- Te bepalen welke biomarkers met elkaar in resonantie zijn.
- De beste helpers te vinden om de balans te herstellen.
- Een gepersonaliseerde prioriteitenlijst voor harmonisatie op te stellen.



## Toegang tot de Causal Chain

Om toegang te krijgen tot de Causal Chain:

1. Open een analyse en navigeer naar de Biomarkers sectie.
2. Selecteer een biomarker van belang (bijv., een orgaan, meridiaan of drive).
3. Klik op het Causal Chain submenu, onder het Relaties menu.

Dit zal een nieuwe interface openen met alle biomarkers die in resonantie zijn met de geselecteerde biomarker.

## Begrijpen van de Causal Chain Interface

De Causal Chain interface presenteert een netwerkkaart van onderling verbonden biomarkers. Belangrijke elementen zijn:

## 1. Centrale Biomarker

- De biomarker die je hebt selecteerd is geplaatst in het midden van de kaart.
- Alle andere biomarkers die daarmee resoneren worden eromheen weergegeven.
- Je kunt op elke biomarker eromheen klikken om het in het midden te plaatsen en de berekeningen erin te herzien.

## 2. Resonerende Biomarkers

- Alleen biomarkers die momenteel in resonantie met de centrale biomarker zijn, worden getoond.
- Deze worden gecategoriseerd in verschillende groepen, zoals organen, meridianen, chakra's, atomen, pathogenen, enzovoort. De groepen worden onderaan het scherm weergegeven. Klik op een groepsnaam om de gerelateerde biomarkers te tonen. Elke groep kan één of twee cijfers tonen:
  - altijd, het aantal gerelateerde biomarkers in deze groep
  - alleen als er zijn, in een witte cirkel: het aantal grote verbindingen (beste helpers) in deze groep.

## 3. Relatie Sterkte

Elke verbinding tussen biomarkers is kleurcodeerd:

- Grote link (wit, groen of blauw): Beste helpers, met de sterkste resonantie en de meeste capaciteit om te helpen (beste verbeteringen in energie, agitatie en kwaliteit)
- Groen: Positieve invloed op de centrale biomarker (bijv., toename van energie, vermindering van entropie).
- Blauw: De centrale biomarker stuurt energie erin richting.
- Fijne verbindingen geven specifieke relaties aan die gerelateerd zijn aan aandacht, intentie en horizon. De legenda bovenaan toont hun betekenis.

## 4. Energie en Entropie Mapping

- De biomarkers zijn gepositioneerd op een grafische kaart op basis van energieniveaus (laag tot hoog) en agitatie (entropie) (laag tot hoog), op de zelfde manier als de bloemblaadjes zijn georganiseerd op de bloem.
- Dit maakt het gebruikers mogelijk om visueel te beoordelen welke biomarkers bijdragen aan stabiliteit of ongelijkheid.

## 5. Filteren en Beste Helpers

Gebruikers kunnen de weergegeven biomarkers filteren op basis van specifieke kwaliteiten:

- Verhoogt aandacht
- Verhoogt intentie
- Verhoogt horizon
- Stem af op hoofdcycli
- Beste helpers (biomarkers die de meest gunstige invloed hebben)

## 6. Navigatie en Geschiedenis

- Klikken op een biomarker zal het in het centrum van de analyse plaatsen, waardoor gebruikers hun eigen causal chain kunnen verkennen.
- Een geschiedenisvenster volgt het pad van verkenning, waardoor gebruikers terug kunnen gaan naar vorige biomarkers.
- Gebruikers kunnen terug navigeren naar de originele biomarker of dieper verkennen in gerelateerde biomarkers.

## Detaillierte gids: het gebruik van de Causal Chain voor analyse

### Stap 1: Identificeer de Oorzaak

- Begin met een biomarker die verschijnt in de Prioriteitenlijst.
- Open de Causal Chain om te zien welke biomarkers het beïnvloeden.

### Stap 2: Vind de Beste Helpers

- Gebruik de Beste Helpers filter om biomarkers te identificeren die positief de centrale biomarker kunnen beïnvloeden.
- Zoek naar groene verbindingen, aangezien deze de sterkste gunstige relaties aangeven richting deze.
- Blauwe verbindingen kunnen andere elementen aangeven die door deze biomarker worden geholpen en energie van deze nemen, waardoor causale verbindingen worden onthuld die de huidige toestanden kunnen verklaren.

### Stap 3: Bouw een Aangepaste Prioriteitenlijst

- Klik op een biomarker en voeg het toe aan de Prioriteitenlijst.
- Blijf gerelateerde biomarkers verkennen en relevante toevoegen aan de lijst.
- Dit zorgt ervoor dat het harmonisatieproces zich niet alleen richt op het symptoom maar ook op de onderliggende oorzaken.

### Stap 4: Pas de Bevindingen toe

- Gebruik de Harmonic Boost functie om de geselecteerde frequenties af te spelen.
- Indien toepasbaar, integreer TCM punten, organen, meridianen of atomen in het harmonisatieproces.
- Verbeter de Harmonic Boost door geselecteerde protocollen toe te voegen boven op elke biomarker.
- Monitor de vooruitgang over meerdere sessies om verbeteringen bij te houden.

## Voorbeeld Gebruik Geval

### Scenario: Ongelijkheid van de Long

1. Selecteer de Long uit de Prioriteitenlijst.
2. Open de Causal Chain om gerelateerde biomarkers te zien.
3. Identificeer de beste helpers: bijvoorbeeld Organen: Maag, Lever - Meridianen: Nier, Blaas - Atomen: Tantalum, Osmium - Drives: Gebrek aan vertrouwen, Hypersensitiviteit
4. Voeg de meest relevante biomarkers toe aan de Prioriteitenlijst.
5. Speel de harmonisatiefrequenties (Harmonic Boost) en programma's (Persoonlijke Gids), en volg de vooruitgang in de loop van de tijd.

## Voordelen van de Causal

### 10.6. Prevalentie

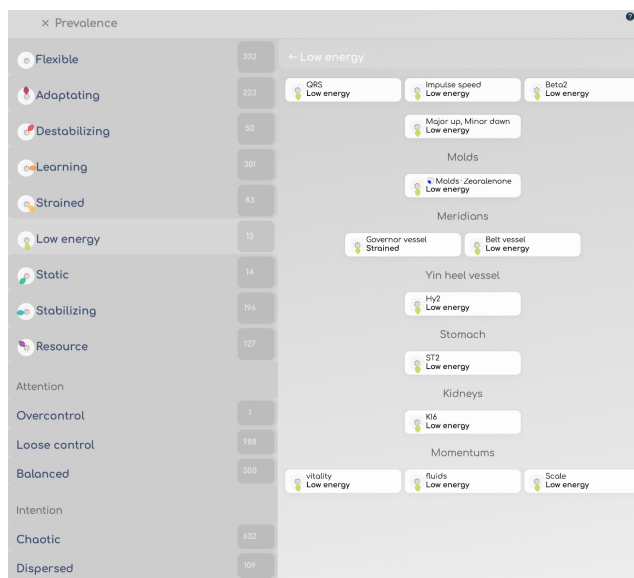
Dit scherm maakt het mogelijk om in één oogopslag alle biomarkers in een specifieke staat te zien:

- per bloembladstaat (flexibel, aangepast, lage energie, bronnen...)
- per kwaliteit (aandacht, intentie, horizon)

De hoofdpagina toont het aantal biomarkers in elke staat; klik erop om de gerelateerde biomarkers te lijst.

Je kunt de categorieën van biomarkers filteren met de selector in het menu. Bijvoorbeeld, je kunt alleen organ prevalenties tonen, of punten in een specifieke meridiaan, of drives (emoties).

Prevalentie kan nuttig zijn om een snelle overzicht in één oogopslag te krijgen, en om de vooruitgang over verschillende herbeoordelingen in een record te zien.



### 10.7. Polygraaf

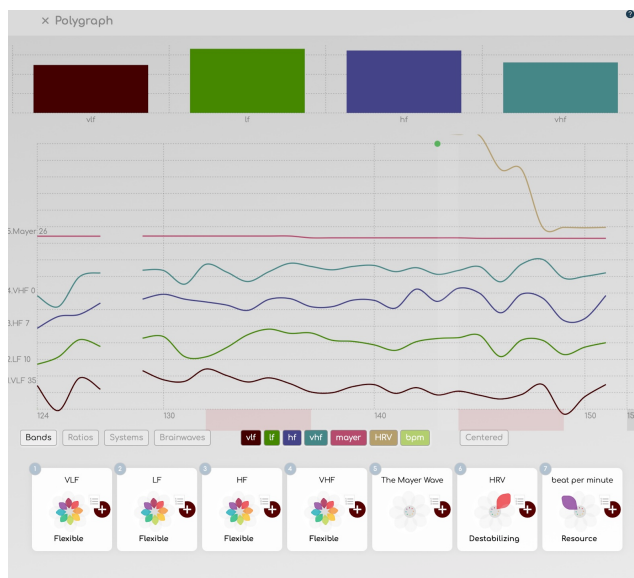
Dit scherm gebruikt voornamelijk academische biomarkers.

Het biedt een handige manier om in één oogopslag bijvoorbeeld de VHF, HF, LF en VLF verhoudingen te zien, en een lineaire grafiek van tot 7 belangrijke curven.

Dit kan in real-time worden gebruikt tijdens de opname, aangezien alle schermen (wissel gewoon van scherm tijdens een opname). Al deze markers komen uit het academisch onderzoek naar ECG's. U kunt tot 7 banden van uw keuze weergeven, parallel of gecentreerd op dezelfde lijn.

- In **Banden** modus zijn de 7 lijnen: Bpm, HRV, Mayer golven, VHF, HF, LF en VLF.
- In **Verhoudingen** modus zijn de 7 lijnen: SDNN (Totale kracht), SI (Stressindex), IC (Index van Centralisatie), LF/HF (Kracht, vago-sympathische interactie), LF/VLF (Ontspanning), VLF/HF (Stress) en VLF HF (Globale activiteit).
- In **Systemen** modus: CNS, Ortho, Symp, Para, IRSA, Immuniteit, HRV.
- In **Hersengolven**: Delta, Theta, Alpha, Beta, Beta1, Beta2, Gamma.

Klik op een categorie onder de grafiek om deze items te tonen; klik op de items met gekleurde legendes om ze te tonen of te verbergen. Klik op Gecentreerd om alles op dezelfde basislijn te tonen. Klik op de bloem onder de grafiek om toegang te krijgen tot de volledige biomarker details.



Als u onderzoek doet met deze grafiek, kan dit de basis zijn voor nieuwe inzichten of nieuwe biomarkers. Daarnaast, onthoud dat u elke biomarker kunt analyseren in zijn tijdlijn en met gebeurtenissen op het biomarker Dynamics scherm.

# 11. Begrijp: Energie

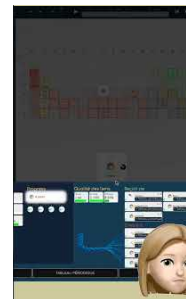
De energie schermen bevatten graphics over de biologische klok, chakra's, impulsen, atomen, invloeden, ayurveda, micro-organismen...

## 11.1. Atomen

### *Periodiek Systeem van Elementen*

Op de Atomen-pagina kunt u de periodieke tabel van elementen raadplegen om informatie te verkrijgen over de verschillende atomen. Door op een atoom in deze tabel te klikken, kunt u de bindingen zien die het mogelijk heeft met andere atomen, d.w.z. de gebruikelijke resonanties. Deze informatie is ook zichtbaar onderaan het scherm, maar het direct bekijken op de tabel is intuïtiever.

Momenteel biedt de applicatie een algemene evaluatie van resonanties voor elk atoom. Een toekomstige versie zou de reconstructie van resonanties voor volledige moleculen kunnen mogelijk maken, op basis van de bindingen tussen verschillende atomen. Deze functie zou bijzonder nuttig kunnen zijn als onderdeel van een controle die u uitvoert, om te zien of er overschotten of tekorten zijn in bepaalde elementen, of om te zien, dankzij multi-part opnames die vergeleken kunnen worden, of een element stabiliserend is na de toepassing van een product of therapie.



[biocoherence.net/n82.114](http://biocoherence.net/n82.114)

## 11.2. Ayurvedische Energie Beoordeling

### *Dosha's en sub-dosha's*

Ayurveda is een traditioneel systeem van geneeskunde dat verschilt van de traditionele Chinese geneeskunde, hoewel het wel enkele overeenkomsten heeft, vooral de tegenhanger van de 12 meridianen in de vorm van 15 sub-dosha's. Deze sub-dosha's zijn groepeeren in drie hoofdinvoeden: Kapha, Pitta en Vata.

Deze invloeden kunnen op een algemene manier worden waargenomen, en onze gebruikelijke bloemvormige visuele representatie kan worden weergegeven om deze invloeden te illustreren. Het is ook mogelijk om de individuele elementen, genaamd sub-dosha's, weer te geven. Door te klikken op een van de Sub-dosha's, kun je de groepen zien waar het bij hoort. Bijvoorbeeld, kan een sub-dosha behoren tot de huid en de ledemaatgroep huid. Een andere Sub-dosha kan behoren tot verschillende groepen, enzovoort.



[biocoherence.net/n82.98](http://biocoherence.net/n82.98)

## De 3 Dosha's volgens Ayurveda

### 1. Vata

- **De beschrijving:** Geassocieerd met lucht en ether, Vata beheert de beweging in het lichaam, inclusief bloedcirculatie, ademhaling en zenuwimpulsen.

### 2. Pitta

- **De beschrijving:** Samengesteld uit vuur en water, Pitta beheert de vertering, stofwisseling en energieproductie.

### 3. Kapha

- **De beschrijving:** Samengesteld uit aarde en water, Kapha is verantwoordelijk voor de lichaamsstructuur, stabiliteit en gewrichtslubricatie.

## De 15 Sub-Dosha's

### Sub-dosha's van Vata

1. **Prana Vata**
  - **Functie:** Beheert ademhaling en de geest.
2. **Udana Vata**
  - **Functie:** Beheert spraak en expressie.
3. **Samana Vata**
  - **Functie:** Reguleert de vertering en opname van voedsel.
4. **Vyana Vata**
  - **Functie:** Toezicht op de circulatie en beweging van lichaamsvloeistoffen.
5. **Apana Vata**
  - **Functie:** Reguleert afvalverwijdering.

### Pitta sub-dosha's

6. **Pachaka Pitta**
  - **Functie:** Beheert de vertering van voedsel in de maag en darm.
7. **Ranjaka Pitta**
  - **Functie:** Verantwoordelijk voor bloedvorming.
8. **Sadhaka Pitta**
  - **Functie:** Beïnvloedt emoties en mentale functies.
9. **Alochaka Pitta**
  - **Functie:** Beïnvloedt visie en visuele waarneming.
10. **Bhrajaka Pitta**
  - **Functie:** Reguleert de gezondheid van de huid.

### Kapha sub-dosha's

11. **Kledaka Kapha**
  - **Functie:** Smeert en beschermt de maagwand.
12. **Avalambaka Kapha**
  - **Functie:** Ondersteunt hart en longen.
13. **Bodhaka Kapha**
  - **Functie:** Reguleert de mond en speeksel functies.
14. **Tarpaka Kapha**
  - **Functie:** Smeert de hersenen en het zenuwstelsel.
15. **Shleshaka Kapha**
  - **Functie:** Smeert de gewrichten.

Deze dosha's en sub-dosha's werken samen om evenwicht en gezondheid in lichaam en geest te handhaven.

## 11.3. Chakra Visualisatie

In dit hoofd, zullen we de Energie tab verkennen, te beginnen met de Chakra sectie. Deze sectie stelt je in staat om chakra-informatie in detail te bekijken en te interageren.

Om te beginnen, kun je kiezen om de chakras te tonen door op de toegewezen knop te klikken. Je kunt ofwel 7 of 12 chakras tonen door op de kleine "12" knop onderaan het scherm te klikken.

Zodra de chakras zijn weergegeven, kun je een specifieke chakra selecteren door erop te klikken. Deze actie geeft je toegang tot alle informatie met betrekking tot die chakra, inclusief energieschakels en bijbehorende acupunctuurpunten. De acupunctuurpunten geven de in- en uitgangspunten van de chakra aan, en verschijnen op het scherm in verschillende formaten afhankelijk van hun energieniveau.

Daarnaast wordt de chakra-aura ook weergegeven, en de presentatie varieert afhankelijk van de algemene energie van de geselecteerde chakra. Op deze manier kun je een nauwkeurige visuele weergave verkrijgen van de energiestatus van elke chakra.



[biocoherence.net/n82.14](http://biocoherence.net/n82.14)

## 11.4. Invloeden

*De 5 elementen : Hout, Vuur, Aarde, Metaal, Water*

Een ander belangrijk energieconcept is dat van invloeden. Dit scherm, genoemd "invloeden", visualiseert de relaties tussen de vijf elementen, zoals beoordeeld door de Traditionele Chinese Geneeskunde (TCM). Deze relaties kunnen creatie, vernietiging, aanranding of oververhitting zijn.

Bijvoorbeeld, hout kan metaal beïnvloeden door druk op het uit te oefenen, terwijl water vuur kan verzwaren. Aan de andere kant, helpt hout om vuur te creëren. Deze relaties worden afgeleid volgens TCM-regels en meridiaanbeoordeling.

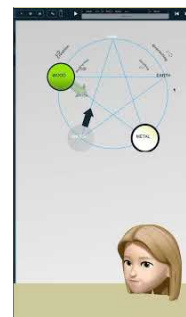
De 5 elementen van de Traditionele Chinese Geneeskunde (TCM) zijn :

1. **Hout:** geassocieerd met de lever en galblaas.
2. **Vuur:** geassocieerd met het hart en de dunne darm.
3. **Aarde:** geassocieerd met de milt en de maag.
4. **Metaal:** geassocieerd met de longen en de dikke darm.
5. **Water:** geassocieerd met de nieren en de blaas.

De belangrijkste relaties tussen deze elementen zijn :

- **Generatiecyclus (Sheng):** Hout > Vuur > Aarde > Metaal > Water > Hout.
- **Controlecyclus (Ke):** Hout > Aarde > Water > Vuur > Metaal > Hout.

Deze cycli zorgen voor balans en harmonie in het lichaam.



[biocoherence.net/n82.116](http://biocoherence.net/n82.116)

## 11.5. Momentum

*beperkingen, balansen en bewegingen*

In dit gedeelte kijken we naar momentum in de context van energiebeheer. Om toegang te krijgen tot deze functie, ga naar het "Energie" menu en klik op "Bewegingen". Hier ontdek je enkele twintig beschikbare momentums, geassocieerd in drie hoofdgroepen: beperkingen, balansen en bewegingen.



[biocoherence.net/n82.97](http://biocoherence.net/n82.97)

## Het principe van momentum

Onze lichamen zijn constant in beweging; beweging is leven. Maar we bestaan uit een myriade aan elementen, waarvan sommige deel van ons zijn, sommige externe beperkingen zijn, en sommige die tegen het algemeen belang willen gaan. We hebben de impulsen gescheiden in 3 categorieën: die gene die ons afremmen, die gene die ons balanceren en die gene die ons aandrijven.

### 1. Beperkingen

Beperkingen zijn elementen die de remmen op beweging zetten. Deze zijn onder andere:

- Geopathische stress (klik op een element in de grafiek voor meer informatie).
- Geopathische radiatie.
- Geopathisch water: wateraders, breuken, enz. die ondergrondse elektrische stromen induceren.
- Harmonieuze energieën.
- Zware metalen.
- Pathogenen.
- Miasma's.
- Toxines.

### 2. Balans

Het balansgedeelte behandelt de aspecten die helpen om stabiliteit te onderhouden. Het bevat onder andere:

- Emotioneel evenwicht.
- Energie-evenwicht.
- Slaapkwaliteit.
- Terrein (algemeen lichaamsbalans).
- Verticale balans.

### 3. Mechanismen

Mechanisme omvat de factoren die je dynamiek geven. De hoofdelementen zijn onder andere:

- Lichamen.
- Vitaliteit.
- Bloeddruk.
- Vloeistoffen.

Je kunt ook de algemene beweging observeren en deze vergelijken volgens de verschillende fasen en secties van je opname.

Een interessant punt om op te merken is de relatie tussen deze elementen. Bijvoorbeeld, hier, lichamen zijn verbonden met emotioneel evenwicht, en bloeddruk ontvangt en verzendt informatie naar verschillende locaties, wat waardevolle inzichten kan bieden in de algemene kwaliteit van de analyse

Door deze informatie te combineren, kun je beter begrijpen en de verschillende aspecten van je energie en aandrijving beheren.

# 12. Begrijp: Lichaam

*Gebruik Navigatie en Evaluatiemethoden in de Lichaamschermen*

De lichamelijke schermen bevatten 3 hoofdtypen analyse: TCM meridianen, acupunctuurpunten met bijbehorende TCM recepten, en organen.

## 12.1. TCM meridianen

*14 of 20 meridianen, links en gerelateerde symptomen*

De sectie "Lichaam" van de applicatie biedt drie hoofdbladen met informatie: meridianen, acupunctuurpunten en organen. Dit hoofdstuk zal zich richten op het navigeren en evalueren van de meridianen.

### 1. Meridiaanweergave:

- De applicatie laat je kiezen tussen 14 of 20 meridianen.
- In 20 meridianenmodus worden buitengewone meridianen weergegeven naast standaard meridianen.
- In 14 meridianenmodus worden de hoofdgroepen van 12 weergegeven, naast de twee vaten: heerser en conceptie.

### 2. Navigatie en visualisatie:

- Je kunt bovenaan het scherm klikken om het pad van een meridiaan en zijn hoofdkenmerken weer te geven.
- Op het bloemicoon klikken brengt extra informatie naar boven.
- Klik om te navigeren tussen meridianen, visualiseer de verbindingen ertussen.
- De evolutie van de meridianen kan worden gevolgd tijdens de verschillende delen van de sessie.
- Gebruik het menu links of boven om te navigeren op je telefoon.

### 3. Meridiaanbeoordeling:

- Op de lijst van meridianen klikken toont hun beoordeling.
- Het submenu biedt drie criteria: energie, entropie en coherentie.
- De logica van deze criteria is toepasbaar op alle Core pagina's.

### 4. Beoordelingscriteria:

- **Energie**
  - Weergave in twee kolommen: de meest energetische meridianen en de minst energetische.
  - Mogelijkheid om meer of minder meridianen per klik weer te geven.
  - Extra informatie gebaseerd op de huidige energiestatus en symptomen van de Traditionele Chinese Geneeskunde (TCM).
  - Cross-referentie-informatie met andere meridianen voor meer nauwkeurige details.
- **Entropie**
  - Toont de meest geagiteerde en statische meridianen.
  - Geeft mogelijke symptomen aan die geassocieerd zijn met elke toestand.
- **Coherentie**
  - Toont meridianen die samen resoneren.
  - Meridianen in coherentie vormen een systeem dat resoneert op de zelfde ritme.

### 5. Gebruik van informatie:

- De energie-entropie-coherentie logica wordt gebruikt om de hoofdcomponenten van een beoordeling te classificeren.
- Deze componenten helpen om de functie van de persoon die wordt beoordeeld te begrijpen.



[biocoherence.net/n82.96](http://biocoherence.net/n82.96)

Door deze instructies te volgen, kun je de applicatie efficiënt navigeren en de beoordelingscriteria gebruiken om gedetailleerde informatie over de meridianen, hun energiestatus, entropie en coherentie te verkrijgen.

## Over meridianen in TCM:

In de Traditionele Chinese Geneeskunde (TCM), zijn meridianen energiekanalen waar langs Qi (levensenergie) stroomt. Er zijn 12 hoofdmeridianen, en 8 buitengewone meridianen, inclusief 2 regulerende meridianen. Deze worden hieronder beschreven:

### 12 Hoofdmeridianen :

1. **Long (LU):** Reguleert de ademhaling en het immuunsysteem.
2. **Large Darm (LI):** Verwijdert vaste afvalstoffen en reguleert de darmfuncties.
3. **Maag (ST):** Verteert voedsel en absorbeert voedingsstoffen.
4. **Spleen/Pancreas (SP):** Transformatie en transport van voedingsstoffen, energiedekking.
5. **Hart (HT):** Beheert bloed en bloedvaten, beheert de geest.
6. **Small Intestine (SI):** Scheiding van zuivere en onzuivere stoffen, absorptie van voedingsstoffen.
7. **Bladder (BL):** Verwijdert vloeibaar afval, reguleert lichaamsvloeistoffen.
8. **Kidney (KI):** Slaat levensessentie op, reguleert water, beheert botten en oren.
9. **Master of the Heart (PC):** Bescherm het hart, reguleert emoties en bloedcirculatie.
10. **Triple Warmer (TE of SJ):** Reguleert de drie warmers (bovenste, midden en onderste), beheert de circulatie van energie en vloeistoffen.
11. **Galblaas (GB):** Slaat bile op en excreteert, helpt bij het nemen van beslissingen.
12. **Lever (LV):** Slaat bloed op, reguleert Qi-stroom, steunt pezen en spieren.

### 8 Buitengewone Meridianen :

1. **Conceptievat (Ren Mai):** Reguleert Yin meridianen, beheert reproductie.
2. **Gouverneurvat (Du Mai):** Reguleert Yang meridianen, beheert centraal zenuwstelsel.
3. **Penetrating Vessel (Chong Mai):** Reguleert bloed en hoofdmeridiaan energie.
4. **Beltvat (Dai Mai):** Omringt verticale meridianen, reguleert geslachtsorganen en buik.
5. **Yin Junction Vessel (Yin Qiao Mai):** Reguleert Yin-Yang balans, beheert slaap en wakendheid.
6. **Yang Junction Vessel (Yang Qiao Mai):** Reguleert Yin-Yang balans, beïnvloedt ledematen bewegingen.
7. **Yin Link Vessel (Yin Wei Mai):** reguleert Yin meridianen, beïnvloedt emoties.
8. **Yang Link Vessel (Yang Wei Mai):** Reguleert Yang meridianen, beïnvloedt lichaamsverdedigingen.

### 2 Regulerende meridianen :

1. **Conceptievat (Ren Mai):** Al vermeld onder de buitengewone meridianen.
2. %

## 12.2. Organ kaarten

*Meer dan 10 gedetailleerde orgaandiagrammen en links*

In deze sectie, zullen we de functionaliteit van organen in onze lichaamsbeoordelingsapplicatie verkennen. Wanneer je de categorie organen toegang hebt, wordt je eerst een volledige lichaamsvisualisatie getoond. Je kunt de algemene beoordeling binnenkomen door op een specifiek orgaan te klikken om de relatie met andere delen van het lichaam te zien. Bijvoorbeeld, uitgelichte organen zijn die van belang. Door op het hart te klikken, zie je de verbindingen met verschillende organen, en deze relaties zijn ook zichtbaar op de kaart.

Je kunt gemakkelijk navigeren door op specifieke systemen te klikken zoals het ademhalingsstelsel om de verbindingen te zien, inclusief met neurotransmitters, de tong, mond en verschillende weefsels. Door op de mond te klikken wordt in gezoomd op het spijsverteringssysteem, waarbij de kaart wordt aangepast om de relaties tussen de mond en andere aspecten van het spijsverteringssysteem te tonen.

Je kunt ook verschillende kaarten selecteren, zoals de hersenkaart. Deze kaart zal je de verschillende delen van de hersenen tonen, met een volledige evaluatie in lijstvorm. Als je een bepaalde deel wilt vinden, zal de kaart het je tonen. Bijvoorbeeld, als je op de epifyse klikt, zie je de positie en de klieren waarvan het signalen ontvangt en verstuurt. Elk element, zoals serotonine of prolactine, kan worden verkend om de verbindingen of het gebrek aan verbindingen met andere hormonen te zien.

De sectie organen biedt ook opties voor het bekijken van energie, entropie en coherentie, die variëren afhankelijk van het gebruikte scherm. Op het volledige lichaamsscherm, worden deze parameters weergegeven voor de elementen die als meest relevant worden beschouwd, die hun energiebronnen of niveau van onrust aangeven. Bijvoorbeeld, door tanden of wervels te onderzoeken, kun je identificeren welke de meest energieke of onrustige zijn, wat waardevolle informatie biedt voor een volledige check-up.

Tot slot, ter herinnering, wanneer je een relevant item identificeert, kun je het aan de prioriteitenlijst toevoegen door op het bijbehorende pictogram te klikken. Dit stelt je in staat om ze op te nemen in de balanceringsselectie voor verdere harmonisatie.



[biocoherence.net/n82.95](https://biocoherence.net/n82.95)

## 12.3. Acupunctuurpunten

*Evalueer meer dan 350 acupunctuurpunten en de relevantie van honderden TCM recepten*

### Verkenning van punten en meridianen

Wanneer je het lichaam in de software verkennt, heb je toegang tot meridianen, punten en organen. Door te klikken op een bepaalde meridiaan, verandert de weergave om de details van de punten op elke meridiaan te tonen, in plaats van de hele meridianen. Deze functie maakt nauwkeurige evaluatie van elke punt mogelijk.

### Puntselectie en informatie

Je kunt op elke punt klikken om gedetailleerde informatie over dat specifieke punt te verkrijgen. Het is ook mogelijk om een meridiaan te selecteren en de status van elk van zijn punten te bekijken. Door te wisselen van meridianen, kun je de verschillende punten en hun locaties op een kaart bekijken, wat bijzonder nuttig is voor efficiënte navigatie.



[biocoherence.net/n82.94](https://biocoherence.net/n82.94)

### Navigeren en volgen van meridianen

Je kunt meridianen navigeren door te klikken op de meridiaantitel in de selector bovenaan het scherm. Je kunt ook de evolutie van punten over de loop van sessies zien. Deze functie is onmisbaar voor het volgen van de evolutie van specifieke punten in de loop van de tijd.

### Meridiaanspecifieke informatie

Wanneer je een meridiaan selecteert, krijg je toegang tot verschillende informatie dan die beschikbaar is in het meridiaan-tabblad. Hier vind je de acht hoofdpunten, zoals het ambassadeurspunt, verspreiding, stroming en rivier, die essentieel zijn in de Traditionele Chinese Geneeskunde (TCM). Informatie over de energievoorziening van de meridiaan en verbindingen is ook beschikbaar.

## Het weergeven van punten op de kaart

Door op een punt te klikken, wordt de precisie locatie op de kaart weergegeven. Het menu aan de linkerzijde biedt opties zoals energie, entropie en coherentie. Door energie te selecteren, toont de weergave de meest energetische en het minst energetische punten in paars en geel, respectievelijk.

## TCM Receptlogica

De toepassing maakt gebruik van een TCM receptlogica, die verschillende punten combineert om een symptoom te corrigeren. Bijvoorbeeld, als bepaalde punten samen resoneren en te zwak of te sterk zijn, kan dit een onevenwichtigheid aangeven. TCM-recepten, ontwikkeld over duizenden jaren, worden toegepast om specifieke symptomen te behandelen zoals maagzuur. In deze toepassing, hebben we een omgekeerde logica toegepast. We gingen ervan uit dat als bepaalde punten samen resoneren en energieniveaus hebben die te laag of te hoog zijn, dit waardevolle inzichten kan opleveren. Bijvoorbeeld, zeer energetische of zeer lage-energie punten, of punten die te opgewonden of te statisch zijn, kunnen een onevenwichtigheid in het coherente systeem signaliseren dat normaal wordt gebruikt om aandoeningen zoals maagzuur of pyrosis te behandelen. Neem het geval waar drie specifieke punten op een individu zeer statisch zijn. Dit kan aangeven dat het recept of de behandeling die verbonden is met deze punten nodig is voor die persoon. Deze benadering kan je aanvullende ideeën voor diagnose bieden.

## Recepten toepassen

Recepten kunnen worden toegepast door acupunctuur of door geluid of elektrische frequenties te gebruiken tijdens de balanceringsfase. Coherente systemen, waar punten samen resoneren, zijn bijzonder relevant voor nauwkeurige diagnose. De synchronisatie van punten suggereert een verhoogde relevantie van TCM behandelingen voor de persoon die wordt geanalyseerd.

## Conclusie

Dit hoofdstuk heeft de gebruik van punten en meridianen in TCM-software gedetailleerd beschreven, en verklaart hoe je kunt navigeren, selecteren en informatie interpreteren voor nauwkeurige diagnose en effectieve behandeling.

# 13. Begrijp: Geest

*Geest, ziel en schaduw*

Deze schermen zijn gewijd aan de mentale, spirituele en onbewuste delen van de analyse. Ze bevatten persoonlijkheid, muzikale harmonie, emoties, afstemming, wonden en motoren.

## 13.1. Uitlegning

*Uitlegning en Coherentie in Elfie Golf Beheer*

Uitlegning is een essentieel onderdeel van de geest, vooral wanneer het gaat om Elfie golven. Uitlegning manifesteert zich in verschillende schalen van deze golven, en het begrijpen ervan kan worden vergemakkelijkt door het gebruik van visualisatietools. Bijvoorbeeld, cardiale coherentie kan visueel worden weergegeven, wat een perspectief biedt op de energetische toestand van een individu.

In de interface, drie sliders onderaan stellen je in staat om parameters te visualiseren, terwijl bovenaan een visualisatie van de implosiespiraal wordt weergegeven. De Elfie golf schaal, zoals geïllustreerd door waarden 205, 206, en 214, geeft het huidige schaalniveau aan. Voor gedetailleerde informatie over een specifieke waarde, zoals 214 Elfie, klik gewoon voor details over de kenmerken en implicaties.

Elke schaal presenteert opmerkelijke waarden bij bepaalde golflengtes, die waardevolle informatie bieden over energetische interacties. Door deze schalen te observeren, is het mogelijk om de graad van verbinding met andere schaalniveaus te bepalen. Bijvoorbeeld, een analyse kan onthullen dat een individu meer geënergiseerd is op een micro schaal dan op een macro schaal, wat duidt op meer geconcentreerde energie in kleinere structuren.

De visualisatie van de spiraal stelt je in staat om het energietraject door verschillende schalen te volgen. Door naar beneden te bewegen in de spiraal en de waarden op elke niveau te observeren, is het mogelijk om te begrijpen hoe energie zich in de tijd ontwikkelt. Dit is bijzonder relevant in uitgebreide opnames, waar de evolutie op verschillende schalen kan worden bestudeerd.

Een cruciaal aspect van deze analyse is gerichte coherentie, in het bijzonder cardiale coherentie, die meet in hoeverre de energie van een individu is gesynchroniseerd met elfie waarden. Deze waarden worden beschouwd als de meest compatibele voor energietransmissie op alle schalen. Cursortjes spelen een belangrijke rol bij het afstemmen van deze parameters om optimale coherentie te bereiken.

Concluderend, uitlegning en coherentie in Elfie golfbeheer zijn complexe maar fundamentele concepten voor het begrijpen van energie op verschillende schalen. Visualisatietools en cursortjes bieden onmisbare hulp bij het navigeren en optimaliseren van deze parameters, wat bijdraagt aan betere energiebeheer en transmissie.

Meer info op <https://elfie.link> of in het "Elfie" menu in de software.



[biocoherence.net/n82.103](https://biocoherence.net/n82.103)

## 13.2. Hersengolven

*Analyse van de algemene hersengolfactiviteit*

In deze sectie zullen we kijken naar het laatste tabblad van de "Mentale" interface, dat betrekking heeft op hersengolven. Deze functie is nog steeds in de experimentele fase. Het is gedurfd om te zeggen dat we hersengolven kunnen lezen in een ECG, dus het stelt je in staat om de analyse spectra in het ECG te onderzoeken die overeenkomen met de verschillende hersengolven en hun evolutie in de tijd te observeren. Tenslotte meet ons apparaat de elektrische activiteit van het hele lichaam, maar hersengolven zijn op een 100x minder krachtig niveau dan ECG, dus het is nog steeds een experimenteel algoritme.

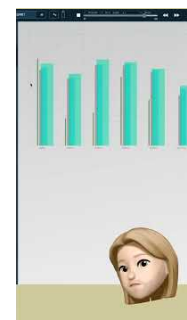
De weergave van hersengolven is dynamisch. Wanneer je in afspeelmodus bent, zul je een multi-band display opmerken. De logica achter deze weergave is dat hoe breder de band, hoe langer de periode die het vertegenwoordigt. Omgekeerd geeft een dunnere band een kortere periode van tijd aan.

Hier is een uitleg van de verschillende banden:

- De kortste band komt overeen met zeer kortetermijnmetingen, gemeten op het niveau van de hartslag of een paar hartslagen.
- Naarmate de banden breder worden, vertegenwoordigen ze steeds langere periodes van tijd.

Het is belangrijk op te merken dat kortetermijnelementen zeer snel bewegen, terwijl langetermijnelementen langzamere variaties vertonen.

Wanneer je op een band klikt, wordt er een evaluatie weergegeven onderaan het scherm met een voorstelling van de bloem die je kent. Je kunt deze beoordeling gebruiken om items direct aan je prioriteitenlijst toe te voegen, waardoor het gemakkelijker wordt om je hersengolven bij te houden en te analyseren.



[biocoherence.net/n82.105](https://biocoherence.net/n82.105)

## Om meer te weten te komen

Hersengolven zijn verdeeld in verschillende categorieën, elk geassocieerd met verschillende mentale toestanden en niveaus van alertheid:

1. **Delta-golven (0.5-4 Hz):** Geassocieerd met diepe slaap en regeneratie.
2. **Theta-golven (4-8 Hz):** Geassocieerd met diepe ontspanning, meditatie en de lichte slaapfase.
3. **Alpha-golven (8-12 Hz):** Gecorreleerd met een staat van kalme ontspanning en wakkere meditatie.
4. **Beta-golven (12-30 Hz):** Verbonden met concentratie, waakzaamheid en cognitieve activiteit.
5. **Gamma-golven (30-100 Hz):** Geassocieerd met hoge cognitieve processen, zoals leren en geheugen.

Deze golven fluctueren afhankelijk van de activiteiten en mentale toestanden van het individu.

## 13.3. Aandrijvingen

*51 emoties, gevoelens en acties van gezicht tot gezicht, in 3 hoofdgroepen en 3 subgroepen voor elk.*

## Begrijpen van de Motoren van de Geest en de Onbewuste Geest

Het laatste element van de geest en het onbewuste deel van de scan betreft de motoren. De aandrijvers bestaan uit ongeveer zestig emoties, die constructief of destructief kunnen zijn. Deze emoties worden geclassificeerd in drie categorieën: de **innerlijke zelf**, het **uiterlijke zelf** en **anderen**.

### 1. Categorieën van Emoties:

- **Innerlijke zelf:** Bevat alle emoties die gerelateerd zijn aan onze innerlijke wereld.
- **Uiterlijke zelf:** Bevat alle emoties die gerelateerd zijn aan onze uiterlijke wereld.
- **Others:** Bevat alle emoties die gerelateerd zijn aan onze interacties met anderen.



[biocoherence.net/n82.104](https://biocoherence.net/n82.104)

## 2. Structuur van Emoties:

- Elke categorie van emoties is verdeeld in drie subdivisies: emotie, gevoel en actie.
- **Emotie:** De basis van alle realisatie, het genereert vervolgens een gevoel.
- **Gevoel:** Komt voort uit emotie en leidt tot actie.
- **Actie:** Eindresultaat van het emotie-gevoel proces.

## 3. Horizontale organisatie:

- Emoties worden ook horizontaal geïnclassificeerd: bovenaan staan constructieve emoties en onderaan, destructieve emoties.
- Bijvoorbeeld, depressie staat tegenover laten gaan, gezondheidsangst tegenover meditatieve staat, hartzeer tegenover plezier, en zelf-sabotage tegenover tevredenheid.

## 4. Interconnecties:

- Emoties kunnen op verschillende plaatsen met elkaar verbonden zijn. Bijvoorbeeld, kalme is het tegendeel van dwangmatige obsessie, reflectie is het tegendeel van hardheid, enzovoort.
- Deze interconnecties bieden cruciale informatie voor meditatie en zelfinzicht.

## 5. Personalisatie:

- Het is mogelijk om specifieke emoties te selecteren waar aan te werken. Bijvoorbeeld, als de organisatie in een lage-energie staat verkeert, kun je beslissen om het te versterken.
- Je kunt specifieke items toevoegen, zoals de hoge-energie beslissing, aan je persoonlijke werklijst.

Kortom, het begrijpen en organiseren van deze emotionele aandrijvers maakt betere beheersing van onze emoties en acties mogelijk, wat leidt tot meer geëquilibreerde en bewuste persoonlijke ontwikkeling.

## Om meer te weten

Emoties en gevoelens zijn interne reacties op externe en interne stimulansen.

- Het innerlijke zelf omvat zelfbewustzijn, persoonlijke gedachten en gevoelens.
- Het uiterlijke zelf betreft de afbeelding die we projecteren naar anderen en het gedrag dat we tonen in de samenleving.
- Het andere zelf betreft de manier waarop we reageren op alles wat de buitenwereld ons presenteert.

Interactie met anderen beïnvloedt deze twee dimensies door emotionele uitwisselingen en sociale feedback. Emoties zoals vreugde, verdriet, woede en angst vormen onze ervaringen en acties, en beïnvloeden op hun beurt onze waarneming van onszelf en anderen. Een betere begrip van deze dynamiek kan de emotionele intelligentie en interpersoonlijke relaties verbeteren.

Hier is een gedetailleerde beschrijving van elke emotie:

1. **Behendigheid:** Het vermogen om snel en effectief aan verandering aan te passen.
2. **Gezondheidsangst:** Overmatige bezorgdheid over de eigen gezondheid of die van anderen.
3. **Benevolentie:** Houding van vriendelijkheid en compassie ten aanzien van anderen.
4. **Hartzeer:** Diepe gevoelens van verdriet en emotionele pijn na een verlies of teleurstelling.
5. **Kalme:** Een staat van rust en innerlijke sereniteit.
6. **Charisma:** Vermogen om anderen te aantrekken, verleiden en beïnvloeden.
7. **Concentratie:** Vermogen om de aandacht bij een specifieke taak of doel te houden.
8. **Zelfvertrouwen:** Een gevoel van zekerheid en veiligheid in de eigen vaardigheden of die van anderen.
9. **Overweging:** Zorg en respect voor de gevoelens en behoeften van anderen.
10. **Moed:** Vermogen om angst, pijn, gevaar of onzekerheid het hoofd te bieden.
11. **Decisie:** Vermogen om keuzes te maken met vastberadenheid en oplossingsgerichtheid.
12. **Depressie:** Een langdurige staat van verdriet, wanhoop en verlies van interesse in het leven.
13. **Wilskracht:** Vastberadenheid om doelen na te streven ondanks obstakels.
14. **Euforie:** Intense gevoel van geluk en opwinding.
15. **Elocutie:** Vermogen om jezelf duidelijk en effectief te uiten.
16. **Emotionele instabiliteit:** Overmatige en onvoorspelbare variabiliteit van emoties.
17. **Empathie:** Vermogen om de gevoelens van anderen te begrijpen en te delen.
18. **Onvoorspelbare stemming:** Frequent en onvoorspelbare veranderingen in stemming.
19. **Uitputting:** Gevoel van extreme vermoeidheid, zowel fysiek als emotioneel.
20. **Verdriet:** Intense emotionele pijn, meestal door verlies.
21. **Eerlijkheid:** Kwaliteit van eerlijk en oprecht zijn.
22. **Hoop:** Positieve verwachting van een betere toekomst.
23. **Desillusie:** Totaal verlies van hoop en vertrouwen in de toekomst.

24. **Hyperemotioneel:** Overmatige emotionele

## 13.4. Emoties

*verdriet, veiligheid, liefde, waarheid, vrede, welzijn en tevredenheid*

Het hoofdstuk over het onbewuste is verdeeld in drie belangrijkste gebieden: emoties, wonden en motoren. We'll beginnen met emoties.

Op deze pagina, kun je zeven hoofd-emoties evalueren: verdriet, veiligheid, liefde, waarheid, vrede, welzijn en tevredenheid. Je kunt ook hun evolutie bijhouden. Door op de balken te klikken, kun je de biomarker in zijn bloemvorm visualiseren, die de interne dynamiek en de verbindingen tussen deze emoties toont. Hier weeral, vertegenwoordigt de grafiek de waardering op verschillende horizonten, met de breedste balken voor de langetermijn, en de dunste balken voor de kortetermijn.

Deze analyse is technisch heel anders, en gebaseerd op andere gegevens, dan die gevonden in Drives. Het is daarom interessant om ze te vergelijken.

Deze hoofd-emoties zijn afhankelijk van de harmonische analyse van tweede orde, en de algemene diepe hartslag. Ze kunnen als volgt worden beschreven:

1. **Verdriet:** Een gevoel van ellende of melancholie veroorzaakt door verlies, falen of teleurstelling. Het uit zich vaak in huilen, gebrek aan energie en terugtrekking.
2. **Veiligheid:** Een gevoel van bescherming en afwezigheid van gevaar. Het wekt vertrouwen en rust op, waardoor we ons veilig voelen tegen fysieke of emotionele bedreigingen.
3. **Liefde:** Diepe emotie van genegenheid en hechting ten aan een persoon, een dier of een activiteit. Het vertaalt zich in tender gebaren, positieve gedachten en een verlangen naar nederigheid.
4. **Waarheid:** Een gevoel van oprechtheid en authenticiteit. Waarheid brengt helderheid en transparantie in relaties en situaties, en voorkomt verwarring en bedrog.
5. **Vrede:** Een toestand van rust en innerlijke harmonie. Vrede manifesteert zich in de afwezigheid van conflict, stress en angst, en bevordert ontspanning en algemeen welzijn.
6. **Welzijn:** Een algemeen gevoel van gezondheid, comfort en fysieke en mentale tevredenheid. Het omvat aspecten zoals gezondheid, emotioneel evenwicht en persoonlijke vervulling.
7. **Tevredenheid:** Emotie van tevredenheid en plezier die voortkomt uit de vervulling van verlangens, behoeften of doelen. Het brengt een gevoel van vervulling en prestatie.



[biocoherence.net/n82.115](http://biocoherence.net/n82.115)

## 13.5. Focus

*Stressindex, HRV...*

In dit gedeelte, zullen we het Focus scherm verkennen, dat een schat aan informatie biedt die cruciaal is voor geavanceerde elektrocardiogram analyse. Deze informatie wordt over het algemeen gebruikt in academische en onderzoekscontexten, en bevat verschillende wetenschappelijke markers.

1. Stressindex: Deze index is ontwikkeld door de Russische onderzoeker Bevski. Het meet de stressniveaus van het lichaam met specifieke parameters.
2. Adaptatieniveau: Een andere index die in Rusland is ontwikkeld, het beoordeelt het vermogen van het lichaam om zich aan te passen aan verschillende prikkels en omstandigheden.
3. Totaalvermogen, variatiefactor en hartvariabiliteit: Deze markers zijn goed bekend op het gebied van de cardiologie en worden gebruikt om verschillende aspecten van de hartfunctie en stressreactie te meten.
4. Psycho-emotionele stress: Deze indicator beoordeelt de emotionele en psychologische impact op het hart- en vaatstelsel.

De gegevens die door het Focus scherm worden geleverd kunnen worden weergegeven als cursussen voor snelle visualisatie. Alternatief, ze kunnen worden gepresenteerd in de vorm van notities, bloemen en kwaliteit, waardoor een meer gedetailleerde analyse mogelijk is.

Het Focus scherm bevat ook informatie over de kwaliteit van aandacht, intentie en horizonbesturingen. Deze indicatoren bieden aanvullende informatie over de mentale en emotionele toestand van de gebruiker.

Een interessant aspect van dit scherm is de relatie tussen constructie (katabolisme) en destructie (anabolisme). Katabolisme vertegenwoordigt energieverbruik, terwijl anabolisme staat voor energiebesparing. Deze verhouding is dynamisch en kan variëren tijdens de registratie, wat de algemene ademhaling van levende systemen weerspiegelt. Houd er rekening mee dat we een systemisch wezen zijn en destructie deel uitmaakt van de algemene beweging van compressie-expansie, destructie-herbouw, scheiding-hereniging, complexificatie-simplificatie. Een gezond complex organisme zou constant moeten oscilleren tussen deze toestanden.

Het is cruciaal om deze dynamische variaties te observeren, aangezien ze de evolutie van de verhouding tussen constructie en destructie aangeven. De toevoeging van dit evolutionaire factor biedt een betere begrip van de ademhaling van biologische systemen.

Tot slot, presenteert het Focus scherm twee bloemen, die anabolisme en katabolisme vertegenwoordigen, om visuele informatie over deze processen te bieden. Deze gegevens kunnen sectie voor sectie of over de hele registratie worden geanalyseerd, wat een volledig overzicht van de fysiologische en psychologische toestand van de gebruiker biedt.

## 13.6. Muziek

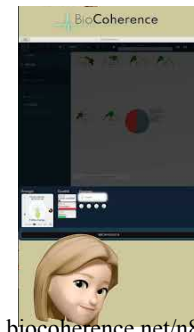
### *Muzikale Analyse en Uitlijning*

In dit gedeelte, bekijken we het tweede deel van het concept van de geest, dat de geest, de ziel en het onderbewuste omvat. We'll zich voornamelijk concentreren op de geest, en in het bijzonder op de elementen van muziek en uitlijning.

### **Muziek in Opnames**

Wanneer we de geest analyseren, beginnen we met het identificeren van de muzikale elementen die aanwezig zijn in de opname. Het doel is om relevante muzikale overeenkomsten te vinden. Je hebt twee opties: visualiseer alle muzikale elementen of speel ze terug om hun evolutie in de tijd te observeren.

Dunne balken vertegenwoordigen korte-termijn elementen, terwijl bredere balken langere-termijn elementen aangeven. Een andere interessante metriek is het algemene niveau van muzikale harmonie in de opname. Na ongeveer honderd slagen, kunnen we beginnen met het identificeren van specifieke korte-, middelmatige-, lange- en zeer lange-termijn muzikale akkoorden.



[biocoherence.net/n82.100](http://biocoherence.net/n82.100)



[biocoherence.net/n82.102](http://biocoherence.net/n82.102)

Een van deze akkoorden kan bestaan uit 2, 3 of 4 noten en over verschillende schaal verspreid zijn. Hoewel deze informatie niet altijd direct nuttig is, wordt het cruciaal wanneer we geleide meditatie reconstrueren. Het stelt ons in staat om de huidige toestand van de deelnemers, d.w.z. de muziek die aanwezig is in hun opname, te begrijpen, en te bepalen waar we ze muzikaal naartoe willen brengen.

## Muzikale uitlijning en aanpassing

Muzikale uitlijning betekent het aanpassen van de schalen en akkoordtypen om te passen bij de doelen van de meditatie. Bijvoorbeeld, als de huidige akkoorden mineur 7 akkoorden zijn en we willen overgaan op grote akkoorden, zal deze overgang geleidelijk worden gemaakt door de meditatie. Evenzo, als we're richten op een bepaalde frequentie die niet aanwezig is, zullen we muziek bouwen die geleidelijk evolueert richting die doelfrequentie.

Het idee is om de deelnemers in hun huidige muzikale toestand te nemen en hen in een diepere toestand van meditatie te leiden met de melodieën die aanwezig zijn in hun lichamen. Deze benadering faciliteert de toegang tot meditatie door direct de muzikale taal van de deelnemers te spreken.

Kortom, muzikale analyse en uitlijning maken de personalisatie van geleide meditatie mogelijk, waardoor de ervaring toegankelijker en effectiever wordt voor iedereen.

## 13.7. De 2016 persoonlijkheidstypes

*Jung's types, ook bekend als MBTI of Myers-Briggs, in een compleet nieuwe kaart*

### Het beoordelen van persoonlijkheid volgens Jung's types

In dit gedeelte verkennen we het tabblad "Geest" om een algemeen overzicht van persoonlijkheid volgens Jung's types te krijgen. Persoonlijkheid wordt geanalyseerd door vier hoofdassen.

#### Persoonlijkeheidsassen

De types van Jung worden berekend met vijf assen, die we voor de eerste keer op een logische grafiek hebben geplaatst:

1. **NS (Sensatie/Intuïtie):** Deze as bepaalt hoe een persoon informatie verwerkt.
2. **FT (Gedachte/Gevoel):** Deze as evalueert de manier waarop een persoon informatie verwerkt, met de focus op de geest of gedachte.
3. **IE (Introversie/Extravertie):** Deze as meet energie, en geeft aan of een persoon naar buiten kijkt (extravertie).
4. **JP (Oordelen/Perceptie):** Deze as heeft betrekking tot tijd en ruimte, en geeft aan of een persoon kortetermijnegeoriënteerd is (spontaniteit).

Elke as is verdeeld in segmenten, waardoor gedetailleerde evaluatie mogelijk is. Bijvoorbeeld, op de IE-as kan een persoon worden beoordeeld als extravert of introvert.

#### Jung types en evaluatie

Jung types, zoals ENTP, ENTJ, ESTJ, ESTP, enz., worden bepaald volgens de positie op deze vier assen. Bijvoorbeeld, een evaluatie kan een dominante ESTJ type onthullen.

#### Persoonlijkheidstype dynamiek

In tegenstelling tot een statische vragenlijstbeoordeling, staat deze methode ons toe om de onbewuste, dynamische reactie van een persoon te observeren. Terwijl we tussen de assen navigeren, kunnen we zien dat de beoordelingen bewegen, wat aangeeft dat de persoonlijkheidstypes dynamisch zijn. Dit betekent dat het individu kan oscilleren tussen verschillende aangrenzende types afhankelijk van de situatie.



[biocoherence.net/n82.101](http://biocoherence.net/n82.101)

Deze niet-statische benadering van Jung's types opent interessante perspectieven voor het begrip van gedragingen en persoonlijkheden.

## Persoonlijkheidstypes in detail

Jung's persoonlijkheidstypes zijn gebaseerd op vier hoofdpsychologische functies: gedachte, gevoel, sensatie en intuïtie, gecombineerd met de houdingen van extravertie en introversie. Dit leidt tot acht persoonlijkheidstypes:

1. **Extraverted thinking:** Logisch, objectief, feiten-georiënteerd.
2. **Introverted thinking:** Reflectief, analytisch, onafhankelijk.
3. **Extraverted Feeling:** Sociaal, warm, gericht op sociale waarden.
4. **Introverted feeling:** Geremd, diep, geleid door eigen waarden.
5. **Extraverted feeling:** Praktisch, realistisch, concreet-georiënteerd.
6. **Introverted feeling:** Artistiek, gevoelig, georiënteerd op subjectieve ervaring.
7. **Extraverted intuition:** Innovatief, opportunistisch, toekomst-georiënteerd.
8. **Introverted intuition:** Visionair, introspectief, inzicht-gedreven.

Hier's een korte beschrijving van de 16 Myers-Briggs Type Indicator (MBTI) persoonlijkheidstypes:

1. **ISTJ (Inspecteur)** - Betrouwbaar, georganiseerd, realistisch en praktisch.
2. **ISFJ (Beschermer)** - Toegewijd, zorgzaam, loyaal en gedetailleerd.
3. **INFJ (Adviseur)** - Idealistisch, empatisch, perceptief en inspirerend.
4. **INTJ (Architect)** - Strategisch, onafhankelijk, analytisch en vastberaden.
5. **ISTP (Ambachtsman)** - Praktisch, observerend, aanpasbaar en logisch.
6. **ISFP (Artiest)** - Gevoelig, gereserveerd, spontaan en harmonisch.
7. **INFP (Idealist)** - Creatief, passioneel, altruïstisch en introspectief.
8. **INTP (Logicus)** - Innovatief, nieuwsgierig, objectief en onafhankelijk.
9. **ESTP (Ondernemer)** - Energiek, direct, pragmatisch en sociaal.
10. **ESFP (Interpreter)** - Enthousiast, spontaan, warm en entertainer.
11. **ENFP (Inspirator)** - Verbeeldingsrijk, sociaal, energiek en visionair.
12. **ENTP (Innovator)** - Ingenieur, energiek, vindingrijk en intellectueel.
13. **ESTJ (Toezichthouder)** - Organiserend, praktisch, realistisch en besluitvaardig.
14. **ESFJ (Consulent)** - Vriendelijk, zorgvuldig, samenwerkend en sociaal.
15. **ENFJ (Docent)** - Charismatisch, altruïstisch, empatisch en motiverend.
16. **ENTJ (Commandant)** - Visionair, assertief, strategisch en efficiënt.

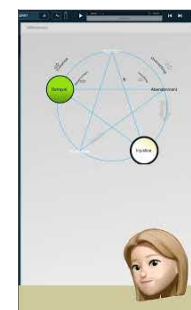
Een algemeen overzicht van elk MBTI persoonlijkheidstype wordt gegeven in deze korte beschrijvingen.

## 13.8. De 5 wonden

*Verlatenheid, afwijzing, vernedering, verraad, onrecht*

Het menselijk onderbewustzijn wordt grotendeels beïnvloed door psychische wonden. Onder deze zijn er vijf hoofdletsels: afwijzing, verlatenheid, verraad, beschaming en onrecht. Deze vijf wonden zijn afgeleid van een oorspronkelijk model van acht wonden. Ze interageren op een vergelijkbare manier als de vijf elementen in de traditionele Chinese geneeskunde, waardoor een complex netwerk van onderlinge invloeden ontstaat.

Begrijpen welke wonden momenteel actief binnen ons zijn, kan waardevolle inzichten bieden. Door te observeren hoe afwijzing, verraad of onrecht elkaar voeden, kunnen we dynamische inzichten verworven in onze psychische staat. Dit begrip kan een sleutel zijn tot grotere zelfkennis en zelfverbetering.



[biocoherence.net/n82.113](http://biocoherence.net/n82.113)

## Oorsprong van de 5 wonden

John Pierrakos, psychotherapeut en medeoprichter van het Institute for Bioenergetic Analysis in 1956, nam het werk van Wilhelm Reich over existentiële wonden (of narcistische wonden) over en definieerde acht: verlating, afwijzing, beschaming, verraad, onrecht, inbreuk, machteloosheid, onzekerheid.

Lise Bourbeau paste later de theorie aan en vereenvoudigde deze tot vijf emotionele wonden die ons beletten om onszelf te zijn. Volgens haar liggen deze wonden ten grondslag van veel emotionele problemen en disfunctionele gedragingen. Ze ontstaan in de kindertijd, vaak tussen de geboorte en de leeftijd van zeven, maar blijven onze volwassen levens beïnvloeden als ze onbehandeld blijven.

1. De wond van afwijzing: Deze wond wordt meestal zeer vroeg gevormd, soms zelfs voor de geboorte, en is vaak verbonden met een gevoel van niet gewild zijn. Mensen met deze wond voelen zich niet waardig aan liefde en vermijden situaties waarin ze afgewezen kunnen worden. Ze hebben moeite met het doen van hun stem en het innemen van hun plek.
2. De wond van verlating: Deze verschijnt wanneer een kind zich verlaten of niet ondersteund voelt door diegene die dichtbij hem of haar staan. Mensen die door deze wond zijn geïnfecteerd hebben een intense angst voor eenzaamheid, en zoeken constant de aandacht en goedkeuring van anderen. Ze kunnen emotioneel afhankelijk worden.
3. De wond van beschaming: Deze ontstaat wanneer een kind zich klein of gecritiseerd voelt door ouders of geliefden om zijn of haar gedrag of handelingen. Individuen met deze wond tendensen om zich schaamte te voelen en lijden aan gebrek aan waardigheid. Ze kunnen zich ook zelf beschamen om te voorkomen dat anderen dat doen.
4. De wond van verraad: Deze wond ontstaat wanneer een kind zich verraden voelt door iemand die hij of zij vertrouwde, vaak een ouder die geen belofte houdt. Mensen met deze wond hebben moeite met het vertrouwen van anderen en proberen alles onder controle te houden. Ze kunnen jaloers of bezitziek worden.
5. De wond van onrecht: Deze wordt gevormd wanneer een kind zich ongelijk behandeld voelt, vaak door overmatig autoritaire of kritische ouders. Mensen die door deze wond zijn geïnfecteerd streven naar perfectie, en kunnen star en intolerant worden. Ze hebben vaak moeite met het uitdrukken van hun emoties.

Lise Bourbeau legt uit dat deze wonden onze gedragingen en de manier waarop we de wereld waarnemen beïnvloeden. Om te genezen, is het essentieel om deze wonden te herkennen, hun oorsprong te begrijpen en te werken aan het overwinnen ervan.

# 14. Test

*Deze module is gewijd aan live biofeedback testen en de evaluatie van testlijsten uit bestaande opnames.*

De Testmodule maakt het mogelijk om elke soort live test uit te voeren, wiens resultaat wordt geëvalueerd volgens de directe variatie van bepaalde biomarkers; en om elke lijst van tests vooraf te evalueren op basis van de waarden van bepaalde biomarkers in de huidige Scan

## Lijst vooraf evaluatie

Je kunt nieuwe lijsten maken of bestaande lijsten gebruiken die door andere gebruikers zijn gemaakt. Wanneer je een lijst opent, worden alle items geprioriteerd in relatie tot het momenteel geopende rapport. Je kunt daarna aankruisen welke van deze je live wilt testen

## Live testen

Als items zijn geselecteerd, maakt live testen het mogelijk om ze aan de klant te tonen en de biofeedbackrespons van zijn systeem te meten met de Sensor. Het resultaat wordt geclassificeerd in 3 mogelijke reacties: versterkt het systeem; verzwakt het systeem; of neutraal

Er's ook een oneindige open testoptie, die je in staat stelt om elke therapeutische benadering direct bij de cliënt of bij jezelf te testen, en het resultaat live te meten met biofeedback.

## 14.1. Test lijsten

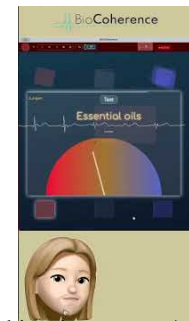
*Testen met lijsten in BioCoherence*

## Beheren en bewerken van lijsten in uw applicatie

Wanneer u met lijsten werkt, heeft u de functionaliteit voor zoekopdrachten met sleutelwoorden bij de hand. Hoewel het aantal lijsten momenteel beperkt is, is het ontworpen om uit te breiden tot honderden of zelfs duizenden lijsten. Dit maakt het mogelijk om uw eigen testen te bewerken en te beheren.

## Testbewerkingsmodus

1. **Toegang tot bewerkingsmodus:** Als u op een test zit die tot u behoort, verschijnt er een klein potlood naast de test. Klik hierop om de bewerkingsmodus te betreden.
2. **Bewerken van items:** Zodra u in de bewerkingsmodus bent, kunt u op elk item klikken om de tekst en bijbehorende acties te wijzigen. Bijvoorbeeld, u kunt acties definiëren voor categorieën zoals Ayurveda, organen, Vata, Vita, enz.
3. **Acties definiëren:** Klik op categorieën zoals VPK om effecten te specificeren, zoals het verhogen of verlagen van bepaalde elementen (bijv., aminozuren, blaas, bloed, hersenen, ogen).



[biocoherence.net/n82.112](http://biocoherence.net/n82.112)

## Automatische evaluatie

Automatische beoordeling is gebaseerd op de overeenkomst tussen de elementniveaus van gebruikers en de acties die in de testen zijn gedefinieerd. Dit maakt het mogelijk om de items op de lijst te rangschikken volgens de verwachte resultaten.

## Extra hulpmiddelen

1. **Toevoegen en importeren:** U kunt nieuwe hulpmiddelen toevoegen of een lijst importeren door items regel voor regel te plakken.
2. **Verwijderen van lijst:** Er is een optie beschikbaar om een lijst volledig te verwijderen.

3. **2D logische kaart:** Binnenkort kunt u items op een tweedimensionaal afbeelding plaatsen, waardoor het gemakkelijker wordt om testen te visualiseren en te organiseren.

## Algemene lijst eigenschappen

Aan de bovenkant van de interface, kunt u de algemene eigenschappen wijzigen:

- Lijstcategorie
- Zichtbaarheid (publiek of priv ©)
- Toegang (gratis of betaald)

Betaalde lijsten kunnen publiek gemaakt worden zodat andere gebruikers toegang tot hen kunnen krijgen tegen een vergoeding, hetzij eenmalig of via een maandelijks abonnement. Dit stelt u in staat om uw kennis te delen en er voor betaald te worden.

## Beheren van niet-eigendom lijsten

Als u werkt aan een lijst die niet van u is, kunt u deze dupliceren. Duplicatie stelt u in staat om een bewerkbare kopie te maken waar u de titel, beschrijving en acties kunt wijzigen.

## Toegang tot lijsten

Vanuit het algemene menu, toegankelijk aan de rechterkant van het scherm, kunt u navigeren naar "Mijn lijsten" om uw bestaande lijsten te bewerken of nieuwe te cre ren. Deze functie is beschikbaar vanuit elke scherm, inclusief het startscherm.

Door deze instructies op te volgen, kunt u uw lijsten en testen effici nt beheren, terwijl u profiteert van de verschillende bewerkings- en organisatieopties die door de applicatie worden aangeboden.

## Inleiding tot lijstgebaseerd testen

Lijstgebaseerd testen in BioCoherence is een volledig open systeem, waardoor gebruikers bestaande lijsten kunnen selecteren, nieuwe lijsten kunnen maken, of bestaande lijsten kunnen dupliceren om te delen met andere gebruikers.

## Wat is een lijst?

Een testlijst is een verzameling van item, bijvoorbeeld aromatische kruiden of essenti le oli n. Wanneer een lijst wordt geopend in een rapport met een beschikbaar record, wordt elk item beoordeeld en geprioriteerd. Percentages geven de compatibiliteit van items met het record aan, vari rend van 0% tot 100%.

## Kleurcodes

- **Groen:** Zeer relevant, hoge compatibiliteit (bijv. 85%)
- **Ondere kleuren:** Verschillende gradaties van compatibiliteit (bijv. 40% voor een intermediaire reeks)
- **Violet:** Lage compatibiliteit (20-30%)
- **Grijs:** Neutrale of bijna-nul compatibiliteit (ongeveer 0%)
- **Rood:** Incompatibiliteit of negatieve reactie

## Live test

Na een voorbeoordeling, bestaat het tweede deel uit een live test. Hier zijn de stappen die u moet volgen:

1. **Selecteer items:** Selecteer de items die individueel moeten worden getest.
2. **Verbind met Sensor:** Verbind de sensor voor kalibratie.
3. **Voer tests uit:** Tests worden een voor een uitgevoerd, door visuele, auditieve of andere informatie naar de persoon die wordt getest te sturen.
4. **Observatie:** De persoon moet de informatie zien of horen die wordt getest voor een nauwkeurige evaluatie.
5. **Evaluatie:** Het systeem classificeert de reacties van het lichaam volgens de presenteerde informatie.

## Resultaten weergave

Aan het einde van de test, worden de resultaten opnieuw weergegeven en geclassificeerd als volgt:

- **Succesvolle test:** Goede lichaamsreactie
- **Gemiddelde test:** Gemengde reactie
- **Onbeslist test:** Negatieve of inconsistente reactie

## **Belang van de gepresenteerde informatie**

Het is cruciaal om zo veel informatie als mogelijk te presenteren over de geteste elementen (bijv. foto's, details van de systemen waarop de essentiële oliën werken) om een intuïtieve en meetbare reactie van het lichaam te verkrijgen via het biofeedbacksysteem.

## **Integratie van resultaten in het rapport**

Testresultaten verschijnen in het rapport, waarbij alleen items met goede of gemiddelde reacties worden getoond, en die geen die worden afgewezen. Het rapport bevat:

- %3

# 15. AI in BioCoherence

BioCoherence maakt gebruik van de laatste state-of-the-art Artificial Intelligence (AI) technologieën om begrip, gebruik en analyse op een naadloze en volledig geïntegreerde manier te faciliteren.

- **AI Helpers** kunnen uitleggen, analyseren, testen en handelen op prioriteiten. Meer dan 30 gespecialiseerde assistenten kunnen biomarkerwaarden ontvangen en een eenvoudig gesprek openen met de gebruiker of de Pro.
- Voor Pros, de **creatie van lijstitems** wordt versneld dankzij assistentie bij het schrijven van meditatieonderdelen, automatische identificatie van acties, productingrediëntzoeken....
- BioCoherence integreert duizenden exclusieve algoritmen die verbonden zijn met BioFeedback en biomarkers, waarvan sommige zijn verkregen met de assistentie van deep learning en artificiële intelligentie.

## 15.1. AI Helpers

Een van de meest opwindende ontwikkelingen in BioCoherence is de introductie van AI Helpers. Deze AI-gedreven assistenten zijn ontworpen om gebruikers te helpen bij het navigeren door de enorme hoeveelheid informatie binnen de app, waardoor het gemakkelijker wordt om de gegevens van hun biofeedbackscans te begrijpen en te gebruiken.

De AI Helpers in BioCoherence zijn ontworpen om de gebruikerservaring te verbeteren door op maat gemaakte begeleiding, uitleg en programma-ontwikkeling te bieden op basis van gebruikersgegevens. Deze AI-modules verlagen de leercurve voor nieuwe gebruikers en bieden professionals een manier om klantinteracties te efficiënter te maken. AI Helpers kunnen werken in twee verschillende modi afhankelijk van de context van hun gebruik:

1. Zonder opname: Gebruikers kunnen met de AI praten om een basisprogramma te creëren op basis van hun behoeften. Van de Startpagina: Gebruikers kunnen interageren met de AI voor algemene begeleiding zonder te verwijzen naar specifieke biomarkers.
2. Met een Open Opname: AI Helpers analyseren de biomarkers van de gebruiker en bieden inzichten of aanbevelingen op basis van de opgenomen gegevens.



## Belangrijkste Kenmerken

De AI Helpers fungeren als een virtuele kliniek, met gespecialiseerde assistenten die optreden als verpleegkundigen en ondersteunend personeel voor zowel algemene gebruikers als professionele praktijkvoerders. Deze AI-assistenten kunnen:

- Biomarkers lezen en interpreteren van uw scans en de scans van uw klanten.
- Specifieke biomarkers tonen en de waarden interpreteren.
- Harmonische versterkingen afspelen om uw energie in balans te brengen.
- Uw prioriteiten aanpassen op basis van uw gezondheidsgegevens en de discussie.
- Elementen toevoegen aan uw lijst van harmonische versterkingen voor persoonlijke genezing.
- Nieuwe tests aanvragen en analyseren in realtime.
- Uitleg en adviezen geven voor diverse biomarkers en testresultaten.
- Klanten doorverwijzen naar professionele consultaties wanneer nodig.

Deze betekent dat gebruikers met de AI kunnen interageren om diepere inzichten in hun gezondheid te krijgen, vragen te stellen over hun resultaten, en zelfs aanbevelingen te ontvangen voor haalbare inzichten, meditatie, kruidenremedies, enzovoort.:

- Op maat gemaakte Hulp: Elke AI Helper specialiseert zich in een specifiek domein, zoals naturopathie, Traditionele Chinese Geneeskunde (TCM), essentiële oliën of meditatie. Er zijn momenteel meer dan 25 AI Helpers. Zij ontvangen een gecurateerde subset van biomarkers die relevant zijn voor hun expertise, specifiek opgestelde opdrachten, specifieke kennis en opleiding, specifieke lijsten en lijstitems, specifieke aanvullende informatie en specifieke vaardigheden.

- Basisprogramma aanmaken: Gebruikers kunnen gepersonaliseerde programma's creëren door hun behoeften met de AI te bespreken. Deze programma's worden opgeslagen in de "Basisprogramma's" sectie en kunnen onmiddellijk worden gestart.
- Taalondersteuning: AI Helpers ondersteunen meerdere talen, waardoor gebruikers in hun moedertaal kunnen interageren. Het systeem is ontworpen om meertalige vragen effectief af te handelen.
- Customizable Toegang: Professionals kunnen controleren welke AI Helpers beschikbaar zijn voor hun klanten en welke gegevens ze kunnen toegang. Dit zorgt ervoor dat de AI werkt binnen de grenzen die door de professional zijn gesteld.

De AI is ontworpen om zijn beperkingen te erkennen, waardoor gebruikers gestimuleerd worden om professionele begeleiding te zoeken wanneer nodig.

## AI Helpers voor Professionals

Voor praktijkvoerders, dienen de AI Helpers als intelligente assistenten die kunnen:

- Helpen bij het uitleggen van complexe biomarkers aan klanten.
- Suggesties doen voor aanvullende tests op basis van klantgegevens.
- Aanbevelingen doen voor meditatie-technieken of kruidenremedies.
- Het uitlegproces vergemakkelijken door de klant toegang te geven tot uitgekozen AI Helpers met de capaciteit om uit te leggen maar niet de beslissingen van de Pro te wijzigen.

Wanneer een Pro werkt aan de gegevens van een klant, ontvangt de AI Helper de klantgegevens en fungeert als de assistent van de Pro.

## Toegang tot AI Helpers

AI Helpers kunnen worden toegang tot van:

- De Startpagina: Voor algemene begeleiding of Basisprogramma creatie.
- Een Open Opname: Om specifieke biomarkers te analyseren en uitleggen, om gedetailleerde inzichten te bieden in de analyse.

## AI Helper Gebruikscases

Een Basisprogramma creëren:

- Navigeren naar de AI Helpers sectie vanuit de startpagina.
- Selecteer een AI Helper (bijv., Slaapcoach, Meditatiegids).
- Neem deel aan een gesprek om uw behoeften te beschrijven (bijv., "Ik voel me gestrest en heb hulp nodig om te ontspannen").
- De AI zal een op maat gemaakt basisprogramma genereren en het opslaan in uw "Basisprogramma's" sectie.

Biomarkers uitleggen:

- Open een opname en navigeer naar de AI Helpers sectie, onder "Conclusies".
- Selecteer een AI Helper die relevant is voor de biomarkers die u wilt verkennen (bijv., TCM Praktijkhouder voor meridianen).
- De AI zal gedetailleerde uitleggen en aanbevelingen doen op basis van uw biomarkers berekend in de opname.

Voorbeeld: Aangepaste thee of essentiële olie-mengsels. Gebruik de Kruidenexpert of Essentiële Olie-expert AI Helper. De AI zal de relevante biomarkers analyseren en een aangepaste theemengsel of recept voor essentiële olie suggereren.

## AI Helper Beperkingen

- AI Helpers kunnen opnames of analyse-resultaten niet wijzigen. Ze zijn ontworpen om uitleg te geven en begeleiding te bieden op basis van bestaande gegevens.
- De initiële set van biomarkers die aan elke AI Helper wordt gegeven is beperkt tot hun expertisegebied. Echter, de AI kan aanvullende biomarkers aanvragen tijdens het gesprek indien nodig.

## Geavanceerde Kenmerken

Samenvatting en Rapportintegratie:

- Aan het einde van een gesprek, genereert de AI Helper een samenvatting van de discussie.
- Professionals kunnen kiezen om deze samenvatting op te nemen in het PDF-rapport van de klant voor toekomstig referentie.

Feedback en Beoordelingen:

- Na elke interactie kunnen gebruikers de nuttigheid en het succes van de AI Helper beoordelen bij het behandelen van hun vraag. Deze feedback helpt de prestaties van de AI te verbeteren.

Aangepaste AI-toegang voor klanten:

- Professionals kunnen specifieke AI Helpers in- of uitschakelen voor hun klanten.%

# 16. Balans

*Hulpmiddelen en prioriteiten; rapportage, meditatiegeneratie en frequenties.*

Deze schermen stellen zelfidentificatie en wijziging van bronnen en prioriteiten, generatie van een PDF rapport, en creatie van herbalanceringshulpmiddelen zoals geleide meditaties, specifieke frequenties...

## 16.1. Prioriteiten

*Definieer de sleutelementen die moeten worden aangesproken na analyse*

De balanceringssectie behandelt acties die ondernomen moeten worden wanneer de analyse is voltooid en de doelstellingen duidelijk zijn, of wanneer het apparaat betrouwbaar is om vereisten automatisch te bepalen.

### Prioriteiten

**Definitie en Doel:** Prioriteiten zijn de elementen die door de app zijn geïdentificeerd als zijnde noodzakelijk voor aandacht of interventie. Dit zijn de gebieden waar de gezondheid van de gebruiker kan worden in gevaar gebracht en waar ondersteuning is vereist van de geïdentificeerde bronnen (zie volgend hoofdstuk over bronnen).

**Selectieproces:** De app selecteert automatisch prioriteiten op basis van een algoritme dat verschillende biomarkers evalueert. Gebruikers kunnen aanvullende potentiële prioriteiten verkennen binnen elke categorie en deze toevoegen indien nodig, hetzij door te klikken op "verkennen" om een voorselectie van interessante biomarkers te krijgen, of door door alle schermen te bladeren en interessante prioriteiten te kiezen.

**Categorieën:** Net als bronnen, worden prioriteiten gecategoriseerd in verschillende groepen, waaronder organen, emoties, en energetische punten. Gebruikers kunnen deze categorieën verkennen om aanvullende focusgebieden te identificeren.

**aanpassing:** Gebruikers kunnen prioriteiten toevoegen of verwijderen van de lijst, waardoor een op maat gemaakt aanpak van hun gezondheidsreis mogelijk is. Het wordt aanbevolen om het aantal prioriteiten beheersbaar te houden (15-20) om focus en effectiviteit te behouden.



[biocoherence.net/n82.107](http://biocoherence.net/n82.107)

### Voer herberekeningen uit om het systeem te optimaliseren.

Om prioriteit en bronberekeningen te herstarten, klikt u op het bijbehorende pictogram in de bovenste rechterhoek van het startscherm. Begin met het identificeren van de bronnen, wat het systeem in staat stelt om automatisch alle noodzakelijke bronnen op nieuw te identificeren. Bepaal vervolgens de prioriteiten door te klikken op de bijbehorende optie, wat automatisch de door het systeem geïdentificeerde prioriteiten zal toevoegen. U kunt ook klikken op "voeg toe" en "auto identificeer prioriteiten" in het Prioriteiten scherm; dat zal alleen nieuwe prioriteiten aan uw huidige selectie toevoegen, geen verwijderen.

Golfvormanalyse is een cruciale stap in logische evolutie. U kunt biomarkers, verbindingen, prioriteiten herberekenen en bronnen identificeren volgens uw behoeften. Als u problemen ondervindt bij het toegang krijgen tot een volledige rapportage, kunt u het altijd herberekenen.

### Bekijk en wijzig prioriteiten

In de prioriteitensectie, toont het systeem alles dat is geïdentificeerd als relevant. U kunt deze prioriteiten wijzigen door ze te verwijderen of nieuwe toe te voegen. Om een prioriteit toe te voegen, klikt u op "Voeg toe" en selecteert u de belangrijke items uit

de verschillende categorieën die worden aangeboden, zoals organen, meridiaanpunten of TCM (Traditionele Chinese Geneeskunde) recepten.

U kunt ook de lijst van prioriteiten opschonen door die te verwijderen die niet meer vereist zijn. Het bewerken van prioriteiten gebruikt de zelfde interface op alle pagina's van het systeem, maar hier groeppen alle prioriteiten samen die u hebt gedefinieerd.

Ten slotte, kunt u commentaar toevoegen aan de prioriteiten. Deze commentaren worden geïntegreerd in het eindrapport, waardoor aanvullende context voor elke geïdentificeerde prioriteit wordt geboden.

U kunt prioriteitselementen toevoegen of verwijderen van elke pagina, door te klikken op het pictogram aan de rechterkant van de relevante bloem. Als dit pictogram groen is, is de biomarker aanwezig in de prioriteiten; als het rood is, is het niet.

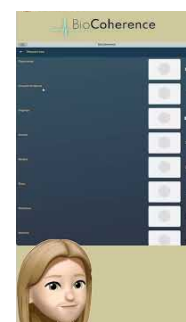
## 16.2. Hulpbronnen

*De pijlers waarop je solide kunt harmoniseren*

Voordat we hulpbronnen verkennen, zal Christine Degoy enkele inzichten delen over haar onderzoek, aangezien dit een belangrijk focuspunt is:

*"We hebben een cultuur ontwikkeld--een nieuwe mindset--over hoe om te gaan met problematische systemen. Tien jaar therapie en onderzoek met cliënten heeft aanvankelijk een coherentie binnen elk wezen aan het licht gebracht. Deze natuurlijke resonantie is cruciaal omdat het helpt om het volledige spectrum van problemen te verkennen. Het is de gemakkelijkste manier om diepe interne verbindingen tot stand te brengen, wat leidt tot een positieve contagie die en coherentie in het systeem versterkt. Deze aanpak geeft individuen de kracht om intern te genezen en te groeien, met respect voor de natuurlijke orde van hun lichaam. We noemen dit de 'weg van de hulpbronnen,' een open deur naar mogelijkheden.*

*Hulpbronnen zijn de meest coherente en krachtige delen van ons wezen, vergelijkbaar met een superkracht die we gedurende ons leven hebben ontwikkeld. Het concept van levenslange hulpbronnen zal uiteindelijk deel uitmaken van onze levensmissies module. Zelfs een enkele orgaan, meridiaan, acupunctuurpunt, chakra, emotie, enz. kan een krachtige hulpbron zijn, die bijdraagt aan een die onze leven en lichaam op één lijn brengt. "* -- Christine Degoy



[biocoherence.net/n82.108](http://biocoherence.net/n82.108)

Na het bekijken van prioriteiten - de cruciale elementen die op elk gegeven moment moeten worden aangepakt voor een persoon - gaan we door naar hulpbronnen. Hulpbronnen, weergegeven door een klein ticket icoon met een ster, zijn de "ster" elementen van het lichaam. Zij zijn degenen die overstromen met energie, uitermate stabiel zijn en waar het lichaam op kan vertrouwen om energie te distribueren naar prioriteiten tijdens het genezingsproces.

In de app, hebben we een geavanceerd algoritme ontwikkeld om een hulpbronnen score te berekenen voor elke biomarker. Deze score identificeert de meest energetische en stabiele elementen, en benadrukt prioriteiten voor verbetering. Het houdt rekening met diverse factoren, zoals de stabiliteit van een element, energie, en connectiviteit, waardoor de hulpbronnenpagina die je nu ziet tot stand komt.

Een gedetailleerd begrip van de hulpbronnen en prioriteiten binnen de BioCoherence app biedt gebruikers een duidelijk pad om hun inhoudelijke sterkten te benutten en gebieden van behoefte aan te pakken voor verbeterde gezondheid en welzijn.

Hulpbronnen worden automatisch geïdentificeerd na een opname, dankzij een algoritme dat is ontwikkeld om rekening te houden met alle beschikbare elementen. Het is echter mogelijk om deze hulpbronnen handmatig aan te passen indien vereist. Bijvoorbeeld, wanneer je de sectie organen toegang krijgt, als neurotransmitters worden geïdentificeerd als de belangrijkste hulpbron, is het mogelijk om ze aan te klik om een keuze te zien van andere sterke hulpbronnen.

De beschikbare hulpbronnen van deze familie worden vervolgens gerangschikt in omgekeerde volgorde van belang, van de sterkste tot de zwakste. Als je liever met een andere hulpbron wilt werken, bijvoorbeeld de tong in plaats van neurotransmitters, of de luchtpijp, of de celkernen van neuronen, klik dan op de gewenste hulpbron om deze te selecteren. Om beter te begrijpen waar elke hulpbron voor staat, kun je op het bloemicoon klikken om de verbindingen te zien en een meer geïnformeerde keuze te maken.

Deze hulpbronnen zullen vervolgens worden gebruikt in de verschillende fases van reharmonisatie.

## Een korte presentatie van Hulpbronnen

*Onze aanpak introduceert een paradigma verschuiving voor het aanpakken van problematische systemen. Aanvankelijk ontdekt door therapeutische praktijken, benadrukt deze methode de coherentie binnen een individu. Deze natuurlijke resonantie tussen therapie en persoonlijke coherentie diende als een fundament voor het aanpakken van bredere kwesties. De aanpak bevordert interne connectiviteit, wat leidt tot een 'gelukkige contagie' die de persoonlijke genezing en versterking versterkt zonder externe protocollen. Deze methodologie, die de 'weg van de hulpbronnen' wordt genoemd, respecteert complexe systemen en bevordert synergie.*

*Hulpbronnen worden geïdentificeerd als de meest coherente en krachtige aspecten van het lichaam, vergelijkbaar met inhoudelijke superkrachten. Om de begrip van iemand's persoonlijke reis verder uit te breiden, zullen toekomstige updates levensmissies bevatten, wat een uitbreiding is van Christine's onderzoek.*

*Een bepaald orgaan, bijvoorbeeld, kan een belangrijke hulpbron zijn, die mogelijk kracht en coherentie door het lichaam verspreidt. De app maakt gebruik van een geavanceerd algoritme om een hulpbronnen score te berekenen voor elke biomarker, die optimale hulpbronnen en prioriteiten identificeert. Het algoritme evalueert energie, stabiliteit, en connectiviteit, rekening houdend met de sterkte of zwakte van deze verbindingen, waardoor er een uitgebreide hulpbronnenpagina ontstaat.*

## Hulpbronnen en Prioriteiten in BioCoherence

### Overzicht

De BioCoherence app biedt een uitgebreide analyse van de fysiologische en energetische toestand van de gebruiker door een gedetailleerde scan. Na de voltooiing van de initiële scan, worden gebruikers twee kritische componenten presenteert: Hulpbronnen en Prioriteiten. Deze elementen zijn essentieel voor het interpreteren van de scanresultaten en het begeleiden van de gebruiker naar optimale gezondheid en welzijn.

### Hulpbronnen

**Definitie en Doel:** Hulpbronnen in de BioCoherence app verwijzen naar de meest coherente, stabiele, en energetisch krachtige elementen binnen het lichaam van de gebruiker. Deze elementen worden geïdentificeerd als de inhoudelijke sterkten of "superkrachten" die kunnen worden benut om genezing en balans te ondersteunen.

**Berekening:** De app maakt gebruik van een geavanceerd algoritme om de hulpbronnen score te bepalen voor elke biomarker. Deze score houdt rekening met factoren zoals energieniveaus, stabiliteit, en connectiviteit met andere elementen. De hoogst scorende elementen worden geïdentificeerd als hulpbronnen.

**Categorieën:** Hulpbronnen zijn gecategoriseerd in tien groepen, inclusief:

- Organen groepen (bijv., Ayurveda-gebaseerde

## 16.3. PDF rapport

Genereer, exporteer PDF, print en deel resultaten

## Hoofdstuk: Genereren en beheren van rapporten met Balance

De derde belangrijke functie van Balance is het genereren van rapporten. Deze functie stelt je in staat om een PDF-bestand te maken met alle informatie die is behouden tijdens het gebruik van de applicatie.

### Inhoud van de PDF-rapporten

Het gegenereerde PDF-rapport bevat:

- Projectsecties en duur
- Geschreven opmerkingen
- Geïdentificeerde bronnen
- Gedefinieerde prioriteiten
- Meest energetische of minst energetische organen
- Meest of minst geagiteerde organen
- Organen in coherentie
- Meridianen
- Traditionele Chinese Geneeskunde (TCM) recepten
- enz.

### Rapportaanpassing

Je kunt secties aan het rapport toevoegen of verwijderen. Om dit te doen, kun je de sectietypes benaderen en de beschikbare hulpmiddelen gebruiken om het rapport aan je behoeften aan te passen.

### Rapportdelen en opslag

Het PDF-rapport kan direct worden gedeeld via verschillende kanalen:

- **Direct delen:** Gebruik het deelvenster om het rapport te verzenden via WhatsApp, SMS of messenger.
- **Opslaan:** Klik op "PDF-bestand" om het rapport op te slaan. Op een computer kun je het direct op je harde schijf opslaan. Op een telefoon of tablet (iPad) wordt het opgeslagen in je bestanden.
- **Afdrukken:** Klik op "Afdrukken" om het rapport af te drukken. Op een computer zal dit het afdrukdialoogvenster openen. Op een telefoon zal de afdrukoptie verschijnen als er een compatibele printer beschikbaar is op je netwerk.

Het PDF-rapport behoudt alle ingevoerde informatie, inclusief eventuele opmerkingen die in de verschillende secties zijn toegevoegd. Deze functie zorgt ervoor dat alle belangrijke gegevens gecentraliseerd en gemakkelijk toegankelijk zijn voor toekomstig gebruik.

## 16.4. Balans: Meditaties, geluiden en hulpmiddelen

*geleide meditaties, frequentiegeneratie, en tijdkristal oplossing. In dit stadium, wordt dit module voorbereid en zal de komende maanden worden ontwikkeld.*

### Balanceren met Persoonlijke Geleide Meditaties

De "Balanceren" sectie is een cruciaal onderdeel van onze methode, gewijd aan de creatie van geleide meditaties of audiofiles die de frequenties integreren die nodig zijn voor elke individu. Het principe is gebaseerd op een progressieve benadering, vergelijkbaar met het afpellen van een ui: de problemen die het dichtst bij ons staan zijn het gemakkelijkst om mee om te gaan, terwijl diegenen verder weg meer diepgaande behandeling vereisen. Dit proces wordt stap voor stap uitgevoerd, volgens een ideaal pad dat is gedefinieerd voor het doorlopen van de verschillende prioriteitselementen in een specifieke volgorde.



[biocoherence.net/n82.109](https://biocoherence.net/n82.109)



[biocoherence.net/n82.110](https://biocoherence.net/n82.110)

## Meditatieparameters

1. **Meditatiesnelheid:** Afhankelijk van de parameters die gedetecteerd zijn tijdens de opname, wordt de snelheid waarmee een persoon in de meditatie gaat bepaald.
2. **Persoonlijkheidstype:** Deze factor beïnvloedt de constructie van de meditatie.
3. **Muziek:** Akkoorden en een algemene toonladder worden geïdentificeerd om te starten op het niveau van de persoon.

## Selectie van bronnen

Bronnen zijn ontworpen om te profiteren van de krachtigste items in elke categorie. Relevante bronnen worden iedere dag opgeroepen om de prioriteiten van de dag aan te pakken.

## Selectie van prioriteiten

Voor elke soort geselecteerde prioriteiten is een reeks meditaties inbegrepen. Deze series bevatten verschillende types van geleide meditatie aangepast aan verschillende profielen. De applicatie bepaalt dan de meest geschikte geleide meditaties om mee te beginnen, gevolgd door een tweede deel gebaseerd op frequenties of stemmen die worden gegenereerd volgens de prioriteiten die moeten worden aangepakt en de bronnen waarvan gebruik kan worden gemaakt.

## Opname en follow-up

Zodra een persoonlijke begeleiding is ontworpen, kan deze worden opgeslagen op het account van de gebruiker. Als gemaakt door een Pro, kunnen gebruikers dan de Biocoherence applicatie installeren, hun e-mailadres invoeren en hun persoonlijke meditatie benaderen. Het is ook mogelijk om regelmatig te herbeoordelen voor elke meditatiesessie via de app. De herbeoordeling verzoekt je om de sensor te registreren en verbindt het voor een nieuwe beoordeling.

## Voortgangsmonitoring

De voortgang wordt weergegeven in de vorm van curven die overeenkomen met elke prioriteit, waardoor het mogelijk wordt om voortgang en punten die nog aangepakt moeten worden te visualiseren. Andere volgmethoden zijn ook beschikbaar, zoals initiële en follow-up vragenlijsten.

## Plan en duur

Zodra het plan is opgesteld en de persoonlijke meditatie is gecreëerd, is deze beschikbaar op het profiel van de gebruiker. De gebruiker kan worden uitgenodigd om de applicatie via e-mail te installeren om de geleide meditatie direct te starten. Een volledige balanceringsessie is gepland om drie weken te duren.

# Een gedetailleerde gids: Gebruik de Harmonic Boost en Persoonlijke Gids in BioCoherence

De Harmonic Boost en Persoonlijke gids zijn twee sleutelkenmerken in de BioCoherence app die gebruikers in staat stellen om te interageren met hun gepersonaliseerde frequentieprogramma's. Deze hulpmiddelen helpen gebruikers om bioactieve frequenties in hun dagelijkse routine te integreren, ter ondersteuning van hun energetische en fysiologische balans. Dit gedeelte biedt een gedetailleerde gids over hoe je deze kenmerken effectief kunt gebruiken, inclusief beste praktijken voor verschillende scenario's.

## 1. Harmonische Boost

### Wat is de Harmonische Boost?

De Harmonische Boost is een frequentie-gebaseerd hulpmiddel dat alle geselecteerde prioriteiten tegelijk speelt. Het is ontworpen om een uitgebreide, holistische energetische harmonisatie te bieden in een kort tijdperk.

### Hoe de Harmonische Boost te gebruiken

- Toegang tot de Harmonische Boost:
  - Open de BioCoherence app.
  - Navigate naar je actieve opname (het is in het midden van je startscherm), of kies een opname in je lijst.
  - Klik op Harmonische Boost om de frequenties te laten spelen.
- Het afspelen van de Harmonische Boost:
  - De Harmonische Boost speelt alle geselecteerde prioriteiten tegelijk. Je kunt ook filteren op energie, lichaam en geest; programma's met hoge prioriteit; programma's met protocollen; enz. Filter programma's als je slechts een energetische boost wilt, bijvoorbeeld, of als je in de stemming bent om je diepere problemen aan te pakken door alleen programma's met protocollen te filteren.
  - Het kan op de achtergrond worden afgespeeld terwijl je dagelijkse activiteiten uitvoert. Het volume kan heel laag zijn.
  - Het wordt aanbevolen om hoofdtelefoons of buitenspeakers te gebruiken voor betere resonantie. Je kunt zelfs in-ear hoofdtelefoons in je zak gebruiken die een klein elektromagnetisch veld naar je lichaam sturen met de inbegrepen bioactieve frequenties. Op die manier, hoef je niet naar de frequenties te luisteren: je energetische veld, lichaam en geest zullen ze elektromagnetisch registreren.
- Exporteren van de Harmonische Boost:
  - Gebruikers kunnen de Harmonische Boost exporteren als een MP3-bestand voor offline gebruik.
  - Op Mac, iPhone, iPad en Android, kan het bestand direct worden opgeslagen of gedeeld via SMS, AirDrop, WhatsApp, of e-mail.
  - Op Windows, moet het bestand handmatig worden opgeslagen en vervolgens gedeeld.
- Beste praktijken:
  - Dagelijks gebruik: Speel de Harmonische Boost een of twee keer per dag.
  - Passief luisteren: Het kan op een laag volume op de achtergrond worden afgespeeld.
  - Focussessies: Voor diepere effecten, luister in een rustige omgeving met minimale afleidingen.

## 2. Persoonlijke Gids

### Wat is de Persoonlijke Gids?

De Persoonlijke Gids is een geleide meditatie die gepersonaliseerde frequenties met stembegeleiding integreert. Het helpt gebruikers om zich te concentreren op hun energetische en fysiologische balans door gestructureerde visualisatie en ontspanningstechnieken. Het doel van deze begeleiding is om geconcentreerde genezing bewustzijn in je dagelijkse leven te integreren.

### Hoe de Persoonlijke Gids te gebruiken

- Toegang tot de Persoonlijke Gids:
  - Open

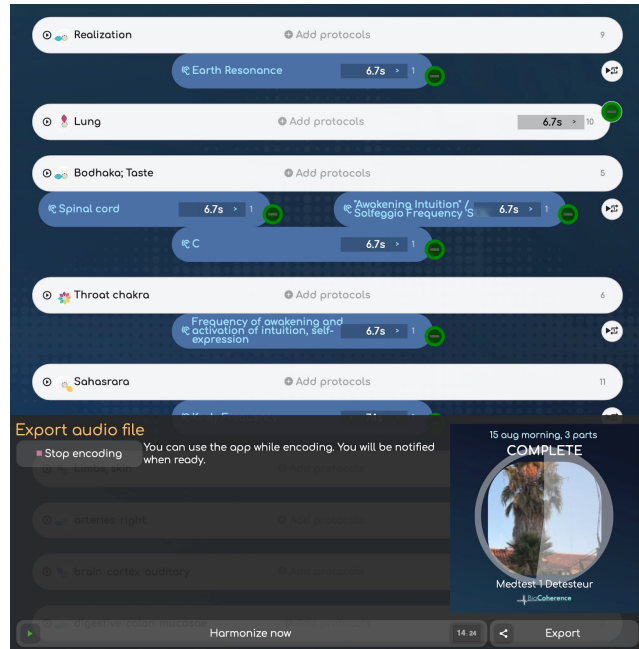
## 16.5. Harmonische Versterking

De Harmonische Boost functie in BioCoherence is ontworpen om de effectiviteit van meditaties en frequentie-gebaseerde harmonisatie te verhogen door het integreren van specifieke **frequenties** die zijn afgestemd op de behoeften van de gebruiker en specifieke **protocollen**. Deze functie stelt gebruikers in staat om verschillende biomarkers te stimuleren en te corrigeren met een combinatie van vooraf bepaalde en gepersonaliseerde frequentieprogramma's.

## Item Kleuren en Hun Functies

De Harmonische Boost interface bestaat uit verschillende gekleurde elementen, ieder met een eigen doel:

- **Witte Elementen:** Deze vertegenwoordigen **systemische harmonisaties**, verbonden met een specifieke biomarker. Ze zijn vooraf berekende frequentiesets geassocieerd met specifieke organen, acupunctuurpunten, belastingen (bijvoorbeeld, geopathische stress), of andere biomarkers. Deze frequenties zijn vast en veranderen niet op basis van individuele analyseresultaten.
- **Blauwe Elementen:** Deze vertegenwoordigen corrigerende protocollen. Ze zijn gepersonaliseerd en lokaal berekend op het apparaat van de gebruiker. Deze frequenties worden geselecteerd op basis van de specifieke behoeften van de gebruiker en zijn ontworpen om disharmonieën te compenseren die zijn gedetecteerd in de analyse.
  - **Donkere Blauwe Elementen:** Dit zijn bioactieve individuele frequenties of verzamelingen van frequenties (frequentiespectra), die elektrisch of akoestisch kunnen worden afgespeeld.
  - **Lichte Blauwe Elementen:** Dit zijn binaurale beats, die zijn ontworpen om zeer lage frequenties akoestisch te laten horen en de hersenen te trainen in specifieke veranderde toestanden van bewustzijn. Ze werken door twee lichtelijk verschillende frequenties in elk oor af te spelen, waardoor een beatfrequentie in de hersenen ontstaat die in lijn is met het gewenste therapeutische effect.



## Actiemodus en Functionaliteit

### Vooraf Berekende Frequenties

- Alle biomarker harmonisatiefrequenties (witte elementen) zijn vooraf berekend en zowel lokaal als in de cloud opgeslagen. Dit zorgt voor een vlotte afspelerij zonder de noodzaak voor realtime berekeningen, zelfs op eenvoudige apparaten.
- Hetzelfde vooraf berekeningsproces zal worden toegepast op blauwe elementen (die zeer gepersonaliseerd zijn) op het nodige moment, direct op het apparaat van de gebruiker, waardoor glitches worden verholpen en de prestaties verbeteren.

### Realtime Berekening voor Gepersonaliseerde Protocollen

- Wanneer een gebruiker een protocol (blauwe elementen) toevoegt, berekent het systeem de vereiste frequenties lokaal voor de afspelerij.
- Dit zorgt ervoor dat de frequenties zijn afgestemd op de specifieke behoeften van de gebruiker terwijl de optimale prestaties worden behoudend.

### Simultane Frequentie Afspeelervaring

- Het Harmonische Boost systeem speelt vier frequenties tegelijk.

- Als alleen witte elementen zijn geselecteerd, worden vier frequenties uit de biomarker harmonisatie set afgespeeld.
- Als zowel witte als blauwe elementen zijn geselecteerd, balanceert het systeem dynamisch de afspeelfrequenties tussen biomarker harmonisatie en corrigerende frequenties.

Het feit dat de frequenties tegelijk worden afgespeeld maakt een gerichte actie van protocollen mogelijk, door een directe brug te leggen naar het geselecteerde systeem via het resonantie-effect en de protocollfrequenties toe te voegen om het effect te verkrijgen van een gerichte laser die het protocol specifiek op het systeem richt.

## Binaurale Beat Integratie

- Wanneer een binaurale beat (lichte blauwe element) wordt ingevoegd, wordt het gemengd met een van de biomarker frequenties.
- Bijvoorbeeld, als een geopathische stressfrequentie 100 Hz is en een binaurale beat 8 Hz is, speelt het systeem 100 Hz in het ene oor en 108 Hz in het andere, waardoor een beatfrequentie van 8 Hz in de hersenen ontstaat.

## Duur en Tijdstip

- De standaardduur van elke frequentiecyclus is 6.73 seconden, wat een veelvoud is van de Planck-tijd ten opzichte van de gulden verhouding ( $\phi$ ).
- Elk wit of blauw programma bestaat uit meerdere cycli, die meestal tussen 10 en 150 seconden duurt (met resetcycli van 6.73 seconden).
- Gebruikers kunnen de duur van een programma aanpassen om het korter of langer te maken, afhankelijk van hun behoeften.
- Het volledige programma kan worden geëxporteerd als één audiobestand, en subsets kunnen rechtstreeks worden geëxporteerd om specifiek energie, lichaam, geest, of de elementen die de meeste aandacht verlangen aan te pakken, bijvoorbeeld.

## Customisatie en Export

### Protocollen Toevoegen

- Gebruikers kunnen handmatig protocollen toevoegen om de effectiviteit van een Harmonische Boost sessie te verhogen.
- Het systeem biedt voorgestelde protocollen op basis van de geselecteerde biomarker, maar gebruikers kunnen ook zoeken naar aanvullende protocollen. Er zijn meer dan 2000 opgenomen protocollen en de lijst wordt regelmatig uitgebreid met nieuwe studies.

### Exporteren van MP3 Bestanden

- Gebruikers kunnen Harmonische Boost sessies exporteren als MP3 bestanden voor offline gebruik.
- De geëxporteerde bestanden bevatten metadata zoals albumhoezen en sleutelwoorden, waardoor ze gemakkelijk te organiseren zijn in muziekbibliotheken.

## Praktische Toepassingen

- **Persoonlijke Gids Verbetering:** Gebruikers zullen Harmonische Boost frequenties horen in de Persoonlijke geleide meditaties voor diepere ontspanning en genezing.
- **Targeted Genezing:** Door specifieke biomarkers en corrigerende protocollen te selecteren, kunnen gebruikers gepersonaliseerde geneessesies creëren.
- **Energie Boosting:** Gebruikers kunnen energie-boostende frequentiesets creëren en opslaan voor snelle toegang wanneer nodig.

De Harmonische Boost functie in BioCoherence biedt een krachtig hulpmiddel voor frequentie-gebaseerde harmonisatie. Door vooraf bepaalde biomarkerfrequenties te combineren met gepersonaliseerde corrigerende protocollen, kunnen gebruikers zeer effectieve en gepersonaliseerde geneessesies creëren. De mogelijkheid om deze sessies te exporteren en offline af te spelen verbetert bovendien de toegankelijkheid en bruikbaarheid.

# Addendum 1.

## Veelgestelde vragen

### Hoe hulp te krijgen in de app

Om hulp te vragen of een suggestie te sturen vanuit elke pagina in de app, opent u gewoon het menu rechtsboven en klikt u op "Feedback en ideeën". U kunt op "een screenshot annoteren" klikken om een screenshot van de pagina waarop u zich momenteel bevindt toe te voegen, en deze geannoteerde screenshot aan uw verzoek toe te voegen. Het is dan veel gemakkelijker voor ons om u te helpen!

### Hoe krijgen mijn familieleden of mijn klanten toegang tot de op maat gemaakte meditaties?

Om toegang te krijgen tot de op maat gemaakte meditaties, moeten ze de app installeren vanaf [biocoherence.net/install](https://biocoherence.net/install) of vanuit de App Store of Play Store. Je kunt ze uitnodigen door een account voor hen aan te maken; gelieve hun e-mailadres in het account in te voeren zodat ze een uitnodiging ontvangen met het juiste account. Je kunt vervolgens hun analyse met hen delen door hen als contact toe te voegen aan de analyse. Wanneer ze inloggen op de app met het e-mailadres dat je in het account dat je hebt aangemaakt hebt opgegeven, zullen ze deze analyse op de startpagina van hun app vinden, of onder "Opgenomen analyses".

Zodra ze de analyse hebben, kunnen ze de balancerende meditatie beluisteren via de sectie "Balans" van de BioCoherence-app, waar de audio gesproken begeleiding combineert met frequenties voor optimale resultaten.

### BioCoherence Affiliate Program

Welkom bij het BioCoherence Affiliate Programma! We zijn verheugd dat je je bij ons aansluit om de voordelen van onze geavanceerde technologie met jouw publiek te delen. Ons programma stelt je in staat om commissies te verdienen terwijl je anderen helpt een transformatieve benadering van gezondheid en welzijn te ontdekken.

#### Aan de Slag

1. Log in op je account: Bezoek <https://biocoherence.net/s0.login/>.
2. Toegang tot je affiliate pagina: Navigeer naar <https://biocoherence.net/n119/>. Dit is jouw persoonlijke affiliate hub.

Hier vind je alle tools en informatie die je nodig hebt, inclusief hoe je:

- Je uitnodigingscodes kunt maken en beheren.
- Je commissies kunt bijhouden.
- Je affiliate netwerk kunt laten groeien.

#### Over het Affiliate Programma

Ons programma biedt **abonnee-gebaseerde commissies** voor directe verkopen en verschillende aankooptypen. Je kunt ook extra incentives verdienen wanneer je nieuwe affiliates naar het programma verwijst.

#### Abonnement Commissies voor Directe Verkopen

Wanneer je je uitnodigingscodes deelt, verdien je commissies op abonnementen en andere aankopen die worden gedaan door gebruikers die zich registreren met jouw code. Het programma is ontworpen om zowel jou als je klanten te belonen, met voordelen en incentives voor nieuwe gebruikers die zich met jouw code aanmelden.

#### Extra Aankopen

Verdien commissies op aankopen zoals rapporten, tests en hardware via het BioCoherence-platform. Deze beloningen stellen je in staat om te profiteren van elke transactie die door jouw verwijzende gebruikers wordt gedaan.

*Opmerking:* Voor artikelen die onder **territoriale exclusiviteit** vallen, worden commissies en klantfacturen verwerkt via de lokale exclusieve distributeur. Tarieven kunnen variëren afhankelijk van het beleid van de distributeur. Controleer [biocoherence.net/distributors/](https://biocoherence.net/distributors/) voor details.

#### Beheer Je Uitnodigingscodes

Vanaf je affiliate beheerpagina kun je meerdere codes aanmaken om te verspreiden over verschillende kanalen zoals sociale media, video's en blogs. Dit stelt je in staat om de prestaties van elke code bij te houden en je inspanningen te optimaliseren.

### App-installatie en eerste lancering

- Op Windows, Mac of Linux: Download het installatiebestand op [biocoherence.net/install/](https://biocoherence.net/install/)
- Op iPad, iPhone of Android: Volg de instructies op [biocoherence.net/install/](https://biocoherence.net/install/); de installatie zou slechts één klik verwijderd moeten zijn van de App Store.

#### Na installatie

Wanneer de installatie is voltooid, kunnen er nog steeds problemen optreden.

1. **Kan de app niet vinden?** Het heet "BioCoherence"; Op Mac staat het in "Toepassingen". Op Windows en Linux, in het startmenu. Op iPad, iPhone en Android wordt het toegevoegd aan je Startscherm, en je kunt het ook vinden met een zoekopdracht.
2. **De app start niet op?** Of je computer of tablet is te traag, of er zijn incompatibiliteiten.
3. **Je kunt niet inloggen?** Als je een account hebt, klik dan op "wachtwoord vergeten" op het inlogscherm. Je ontvangt een link om je wachtwoord opnieuw in te stellen. Als je dat niet hebt, kun je er een aanmaken binnen de app.

1. <https://biocoherence.net/s0.login/>  
2. <https://biocoherence.net/n119/>

## Kan BioCoherence de frequentieprotocollen van Spooky gebruiken?

Ja, BioCoherence heeft veel van de frequentieprotocollen uit verschillende bronnen geïntegreerd, waaronder Rife-gebaseerde tabellen die door Spooky en andere apparaten worden gebruikt. In de toekomst is het de bedoeling dat BioCoherence Spooky-apparaten als zenders laat functioneren, zodat het mogelijk wordt om audio uit BioCoherence te exporteren en deze direct in Spooky te voeren. We zijn van plan om zo veel mogelijk apparaten te ondersteunen en direct met hen te interfacing wanneer ze daarvoor openstaan. In elk geval stelt de audio-export van de frequentieprogramma's in staat om de frequenties af te spelen op een grote verscheidenheid aan apparaten.

## Kan het misschien een technologie "vervangen" die ik momenteel gebruik?

BioCoherence zou mogelijk andere biofeedback- en gezondheidsanalysetools kunnen vervangen of aanvullen, afhankelijk van uw specifieke behoeften. Het zou de meeste apparaten kunnen vervangen, vooral die gebaseerd op willekeurige getallengeneratoren, maar mogelijk niet volledig apparaten vervangen die verschillende bewezen werkwijzen hebben.

## Hoe kan ik informatie verkrijgen over de centrale thema's van een cliënt wanneer de resultaten variëren tussen scans?

Om informatie te verkrijgen over de centrale thema's van een cliënt, kan het vergelijken van meerdere scans nuttig zijn. Zoek naar consistente patronen of terugkerende problemen in de scans om centrale thema's te identificeren. Mederic merkte op dat het belangrijk is om naar trends in de scans te kijken om een beter begrip te krijgen van de centrale problemen van de cliënt.

Resultaten zullen over het algemeen zeer consistent zijn tussen scans, met variaties in verbindingen en relatieve energie of agitatie van systemen. Deze variaties zijn gezond en geven een voortgang aan.

Je kunt daadwerkelijk meerdere scans naast elkaar vergelijken in de applicatie om te zien hoe specifieke biomarkers zich ontwikkelen, bijvoorbeeld voor en na het toepassen van een specifieke therapie.

## Hoe kunnen mijn cliënten hun rapporten buiten de praktijk van de practitioner bekijken? Hoe kunnen ze hun rapporten inzien en toegang krijgen tot de meditaties?

Cliënten kunnen hun rapporten en meditaties via de app bekijken. Hier is hoe beoefenaars de toegang voor cliënten kunnen inschakelen:

- Voeg de cliënt toe als een nieuw contact in de app:
  - Klik op de twee pijlen naast je profielfoto om "Contacts" te openen.
  - Maak een nieuw contact aan en zorg ervoor dat je het e-mailadres van de cliënt invoert.
- Voer een scan uit onder het profiel van de cliënt.
- Deel het rapport:
  - Open het voltooide rapport en selecteer de optie "Share with...".
  - Stuur een uitnodigingsmail naar de cliënt, inclusief een link om de app te downloaden samen met inloggegevens.

Zodra de cliënt inlogt, kan hij/zij het rapport bekijken en toegang krijgen tot de meditaties direct in de app. Ze kunnen ook afstandstests voor jou doen (lokale tests voor hen, met een Sensor) en je ontvangt de resultaten terug in je software.

## Hoe kunnen mijn familieleden of mijn cliënten de voor hen gegenereerde aangepaste frequenties gebruiken?

Om de aangepaste frequenties te delen met uw gezinsleden of cliënten, volgt u deze stappen:

- Wanneer u hun frequentierapport in de BioCoherence-app bekijkt, exporteert u het audiobestand van de frequentiesessie.
- U kunt het audiobestand vervolgens met hen delen via berichten, e-mail of andere communicatiemethoden.

U kunt ook uw cliënten of gezinsleden uitnodigen om de app te installeren en de analyse met hen te delen. Hiervoor kunt u een cliëntenaccount aanmaken met hun e-mailadres.

## Hoe is BioCoherence uniek?

BioCoherence combineert geavanceerde wiskundige algoritmen met ECG-technologie om gedetailleerde gezondheidsinzichten te bieden. Het onderscheidt zich door een multi-niveau-analyse van de elektrische signalen van het lichaam aan te bieden en omvat een energie/lichaam/geestbenadering, meerdere grafische weergaven en verbindingen tussen biomarkers. Het omvat ook biofeedback-aangepaste meditaties en frequenties.

## Hoe de app bij te werken

Gebruik altijd de nieuwste update, aangezien uw probleem mogelijk al is opgelost - of uw idee, al geïmplementeerd!

Afhankelijk van het platform dat u gebruikt, wordt de update op verschillende manieren uitgevoerd:

### Bèta versie

- Als u de bèta versie met TestFlight gebruikt: u zou een melding moeten ontvangen bij elke update. Start TestFlight en klik op "Update".
- Als u de bèta versie voor Mac, Windows of Linux buiten TestFlight heeft geïnstalleerd: ga naar [biocoherence.net/beta](https://biocoherence.net/beta), download de installer voor de nieuwste versie en voer de installer uit. Al uw gegevens worden bewaard.

### Openbare versie

- Als u de openbare versie voor Mac, Windows of Linux buiten TestFlight heeft geïnstalleerd: ga naar [biocoherence.net/install](https://biocoherence.net/install), download de nieuwste versie installer en voer de installer uit. Al uw gegevens worden bewaard.
- Als u de openbare versie uit de App Store of Play Store gebruikt: open de App Store of Play Store en werk de app bij vanaf zijn pagina.

## Probleemoplossing voor Bluetooth-verbindingen met BioCoherence

Als je problemen ondervindt met de Bluetooth-verbinding in BioCoherence, volg dan deze stappen voor probleemoplossing om een soepele installatie te garanderen:

### Algemene Richtlijnen

- **Start eerst het proces:**
  - Begin met het starten van een opname of test in de BioCoherence-app. Veel verbingsproblemen ontstaan door te vroeg te proberen de sensor te verbinden.
  - De app is ontworpen om het verbingsproces automatisch te beheren zodra je een opname of test initieert.
- **Vermijd systeeminstellingen:**
  - Pogingen om de Bluetooth-sensor via de systeeminstellingen van je apparaat te verbinden, moeten worden vermeden. Laat de app dit proces afhandelen om onderbrekingen te voorkomen.
- **Zorg ervoor dat Bluetooth actief is:**
  - **Windows:** Zet Bluetooth aan via het instellingenpaneel of de Bluetooth-snelkoppeling in de rechterbenedenhoek van de taakbalk.
  - **Mac:** Zet Bluetooth aan vanuit de menubalk rechtsboven. Zorg ervoor dat de Bluetooth-machtigingen zijn verleend aan BioCoherence in de Systeeminstellingen.
  - **iOS/Android:** Zet Bluetooth aan vanuit het instellingenmenu van het apparaat, meestal te vinden nabij de Wi-Fi-opties.
- **Bevochtig duimen:**
  - **Belangrijk:** Zorg ervoor dat je duimen goed bevochtigd zijn met water of geleidende gel. Dit verbetert de verbinding en zorgt voor nauwkeurige sensoraflezingen.

### Stapsgewijze Probleemoplossing

1. **Activeer Bluetooth:**
  - Als je vastzit op deze stap, controleer dan of:
    - Je apparaat een actieve Bluetooth-chip heeft.
    - Bluetooth is ingeschakeld en functioneert.

3. <https://biocoherence.net/distributors>

4. <https://biocoherence.net/install>

5. <https://biocoherence.net/install>

6. <https://biocoherence.net/beta>

2. **Schakel de Sensor In:**
  - De sensor schakelt automatisch in wanneer deze uit de houder wordt gehaald. Plaats je vochtige duimen op de sensor. Het maakt meestal verbinding binnen 1-2 seconden. Als dat niet gebeurt:
    - Klik op *Herstart Bluetooth* in de app.
    - Verwijder je duimen en probeer ze opnieuw op de sensor te plaatsen.
3. **Verbindingsstatus:**
  - De app geeft stap-voor-stap aanwijzingen op het Bluetooth-paneel:
    - **Activeer Bluetooth:** Zorg ervoor dat Bluetooth is ingeschakeld.
    - **Schakel de Sensor In:** De app is klaar voor de sensor om verbinding te maken.
    - **Sensor Verbonden:** De sensor is succesvol gekoppeld en klaar.
    - **Voorlopige Gegevens Uitgewisseld:** De app heeft initiële gegevens ontvangen, zoals batterijstatus en serienummer.
    - **Actieve Gegevens:** ECG-gegevens worden ontvangen en de opname of test begint.
4. **Omgaan met Meerdere Apparaatverbindingen:**
  - Als de sensor eerder is gekoppeld aan meerdere apparaten, schakel dan Bluetooth uit op ongebruikte apparaten om interferentie te voorkomen.

#### Extra Notities

- **Eerste Autorisatie:**
  - Wanneer u de app voor de eerste keer opstart, verleent u Bluetooth-toestemmingen wanneer hierom wordt gevraagd. Als u deze toestemmingen per ongeluk weigert:
    - Pas ze aan in uw systeemvoorkeuren.
    - Als alternatief kunt u de app verwijderen en opnieuw installeren om de toestemmingen te resetten.
- **Sensorontkoppeling:**
  - Als de sensor tijdens gebruik ontkoppelt, controleer:
    - Batterijniveaus.
    - Of de duimen goed op de sensor zijn geplaatst.

Door deze stappen te volgen en ervoor te zorgen dat uw duimen goed zijn bevochtigd, kunt u de meeste Bluetooth-connectiviteitsproblemen oplossen en genieten van een naadloze ervaring met BioCoherence. Als de problemen aanhouden, overweeg dan om contact op te nemen met de ondersteuning voor extra hulp.

## Wat zijn de prijzen van BioCoherence?

BioCoherence biedt maximale flexibiliteit in prijzen. Je kunt gratis beginnen en vervolgens het plan kiezen dat het beste bij je past. Al onze plannen worden in detail uitgelegd op [biocoherence.net/price](https://biocoherence.net/price).

### Gratis plan

Het gratis plan stelt je in staat om onbeperkte opnames te maken en verbinding te maken met een Pro, en ontvangt één aangepaste meditatie. Voor de scan kun je enkele algemene informatiepagina's openen, maar de meeste pagina's zijn vervaagd; je kunt één rapport kopen om het te ontgrendelen. Je kunt opnames maken met een Apple Watch of met onze Sensor. Je kunt ook toegang krijgen tot de testcatalogus en kiezen om te betalen voor elke test die je wilt.

Om het gratis plan te gebruiken, hoef je alleen maar [de app te installeren](#)<sup>9</sup> en een gratis account aan te maken.

Als je verder wilt gaan, hier zijn onze betaalde plannen:

### Betaalde plannen, voor persoonlijk gebruik

Controleer de prijzen op onze website. Prijzen zijn per maand (geen verplichting) tot een volledige levenslange licentie, alle updates zijn levenslang inbegrepen. We hebben ook jaarlijkse plannen met kortingen.

- Me Play staat onbeperkte afspeelmogelijkheden van frequenties en meditaties toe.
- Me Essential staat onbeperkte scans en balansen (meditaties en frequenties) toe voor maximaal 2 accounts, en geeft je toegang tot essentiële schermen van het rapport en gratis tests. Je kunt volledige rapporten en betaalde tests kopen wanneer het jou uitkomt.
- Me Custom staat 3 altijd ontgrendelde schermen van jouw keuze toe.
- Me Plus biedt je onbeperkte volledige scan schermen voor maximaal 6 personen, bewerkbare middelen en prioriteiten, en aangepaste balansen.

### Betaalde plannen voor professioneel gebruik

- Pro Essential staat onbeperkte scans (lokaal of op afstand) en balansen toe voor een onbeperkt aantal cliënten, en geeft je toegang tot essentiële schermen van het rapport en basis testcreatie. Je kunt volledige rapporten en betaalde tests kopen wanneer het jou uitkomt.
- Pro Custom staat 3 altijd ontgrendelde schermen van jouw keuze toe.
- Pro Plus biedt je onbeperkte volledige scans (lokaal of op afstand), en alle schermen voor een onbeperkt aantal cliënten, bewerkbare middelen en prioriteiten, aangepaste balansen, en volledige testcreatie, inclusief monetisatie.
- Med richt zich uitsluitend op medisch gevalideerde biomarkers in een ECG.

Om veel meer details over de plannen te krijgen, ga naar [biocoherence.net/price](https://biocoherence.net/price)<sup>10</sup>

## Wat doet BioCoherence het beste?

BioCoherence-software blinkt uit in het bieden van een uitgebreide analyse van de elektrische en magnetische activiteit van het lichaam, waardoor inzicht wordt gegeven in verschillende biomarkers en de algehele gezondheidstoestand. Door middelen, prioriteiten en verbanden tussen organen te benadrukken, presenteert het complexe gegevens uit verschillende gebieden op een eenvoudige, grafische manier voor dagelijks gebruik door therapeuten. Het maakt exclusief gebruik van geavanceerde wiskundige bewerkingen voor multi-level analyses, waarbij betekenisvolle gegevens rechtstreeks uit de elektrische sensor van het lichaam (elektrocardiogram) worden gehaald. Op basis van deze geïdentificeerde middelen en prioriteiten kan hij vervolgens aangepaste geleide meditaties en herbalanceerprotocollen voorstellen.

## Wat is BioCoherence NIET ontworpen om te doen?

BioCoherence is niet bedoeld om specifieke medische aandoeningen te diagnosticeren of traditioneel medisch advies te vervangen. Hoewel sommige biomarkers afkomstig zijn van officiële academische medische onderzoeken, is het primaire doel om hulpmiddelen te bieden voor een snelle begrip en identificatie van de oorzaken. Het ondersteunt zelfhulp voor thuisgebruikers en verbindt hen met geavanceerde therapeuten wanneer dat nodig is.

## Wat is de beste manier om te zorgen dat het scanproces compleet is, gezien de analyse minstens 130 seconden moet duren?

De analyse moet inderdaad minstens ongeveer 130 seconden duren voor nauwkeurige resultaten (het heeft minimaal 128 geldige hartslagen nodig). Er zijn voortgangsbalken onderaan de scan die de nodige duur voor elk type analyse tonen. Zorg ervoor dat de scan de volledige duur draait, zelfs als het compleet lijkt wanneer de balken groen zijn gevuld. Het is cruciaal voor de nauwkeurigheid van de resultaten dat de volledige duur van de scan wordt voltooid.

## Welke kwaliteit hebben de gegenereerde bestanden?

De focus ligt op het ontwikkelen van hoogwaardige geluidsgeneratie binnen de app, inclusief een volledig uitgeruste realtime synthesizer en sequencer. Deze tools zijn al beschikbaar in de app voor ruis, frequenties en opgenomen geleide meditaties. De gegenereerde parameters zijn onder constante ontwikkeling. Muziek ondersteunt het afstemmen voor meditaties en gelijktijdige groepssessies.

## Welke resultaten zijn gemeten of gerapporteerd?

Hoewel het nog in beta is, heeft BioCoherence zeer positieve feedback ontvangen van de eerste tests die de effectiviteit ervan valideren. We verzamelen diverse feedback om het verder te valideren en het gebruik uit te breiden. Klantgetuigenissen en specifieke casestudy's zullen beschikbaar zijn naarmate er meer gegevens worden verzameld.

BioCoherence bevat een manier om geanonimiseerde gegevens te verzamelen (met opt-in) om wetenschappelijk alle biomarkers en balanceringsmodi te valideren. Deze gegevens zullen dienen als basis voor het publiceren van wetenschappelijke artikelen met toegang tot de ruwe, geanonimiseerde gegevens op aanvraag van gerenommeerde instellingen.

7. <https://biocoherence.net/install>

8. <https://biocoherence.net/price>

9. <https://biocoherence.net/install>

### **Wat zou een instapniveau gebruik en een geavanceerd gebruik zijn?**

Instapklare gebruik: Me Play (automatische scan of test, en automatische aangepaste biofeedback-versterkte meditaties). Geavanceerd gebruik: Pro (40 grafische pagina's, links, bronnen, en identificatie en wijziging van prioriteiten, en de Pro-gids voor gebruiker-therapeut verbindingen). Toekomstige functies zullen ook vergelijkende scans en gelijktijdige meditaties voor meerdere gebruikers omvatten.

### **Waarom blijft mijn sensor blauw of groen knipperen nadat ik de scan heb voltooid?**

U moet de sensor terug in de sensorbehuizing plaatsen, waardoor deze automatisch wordt uitgeschakeld. We hebben de sensor zo ontworpen dat hij erg eenvoudig in gebruik is, zodat u zich geen zorgen hoeft te maken over het in- en uitschakelen—dat gebeurt automatisch. U kunt zien dat hij nog een paar seconden, of misschien tot 1 minuut, groen of blauw blijft knipperen na het voltooien van de scan, maar daarna zal hij uitschakelen en wachten op de volgende scan om te beginnen.

### **Waarom lukt het soms niet om via Bluetooth te verbinden tijdens een scan?**

Als u problemen ondervindt met de Bluetooth-verbinding tijdens een scan, kan dit komen doordat de BioCoherence-scanner met meerdere apparaten is gekoppeld. Wanneer dit gebeurt, kan de scanner proberen verbinding te maken met een apparaat dat momenteel niet in gebruik is. Om dit probleem op te lossen, moet u ervoor zorgen dat Bluetooth volledig is uitgeschakeld op andere apparaten die eerder met de BioCoherence-scanner zijn verbonden. Door dit te doen, kan de scanner soepel verbinding maken met het juiste apparaat, zodat uw scan zonder onderbrekingen kan doorgaan.

Om problemen te voorkomen, is het erg belangrijk om eerst het Bluetooth-verbindingproces in de app te starten door een nieuwe opname of een test te starten, en DAN de sensor vast te pakken. Door uw duimen op de sensor te plaatsen, wordt deze ingeschakeld en maakt hij automatisch verbinding met de app die op dat moment al in de onderzoeksmodus is.

### **Welk type account kan ik gebruiken om parasieten te detecteren?**

Deze functie is alleen gereserveerd voor professionele gebruikers. De informatie moet worden geïnterpreteerd door een professional, en we streven ernaar ervoor te zorgen dat deze nauwkeurig en verantwoordelijk wordt gebruikt. Het blijft binnen de grenzen van een energetische beoordeling en niet een directe observatie van de aanwezigheid van een parasiet.

# Addendum 2.

## Lijst van gerelateerde studies

Je kunt alle links openen op [bio coherence.net/studieslist](http://bio coherence.net/studieslist)

### Acupunctuur, meridianen

H. M. Langevin and J. A. Yandow, *Anat. Rec. (New Anat.)* 269, 257 (2002). [DOI<sup>1</sup>](#), [Crossref<sup>2</sup>](#)

Banes AJ, Tsuzaki M, Yamamoto J, et al. 1995. Mechanoreception at the cellular level: The detection, interpretation and diversity of responses to mechanical signals. *Biochem Cell Biol* 73:349– 365. [Crossref<sup>3</sup>](#) [PubMed<sup>4</sup>](#) [Web of Science<sup>5</sup>](#)

Bonassar LJ, Stinn JL, Paguio CG, et al. 1996. Activation and inhibition of endogenous matrix metalloproteinases in articular cartilage: Effects on composition and biophysical properties. *Arch Biochem Biophys* 333: 359– 367. [Crossref<sup>6</sup>](#) [PubMed<sup>7</sup>](#) [Web of Science<sup>8</sup>](#)

Murugan NJ, Cariba S, Abeygunawardena S, Rouleau N, Payne SL. Biophysical control of plasticity and patterning in regeneration and cancer. *Cell Mol Life Sci.* 2023 Dec 15;81(1):9. doi: 10.1007/s00018-023-05054-6. PMID: 38099951; PMCID: PMC1072434. [DOI<sup>9</sup>](#)

Brand RA. 1997. What do tissues and cells know of mechanics? *Ann Med* 29: 267– 269. [Crossref<sup>10</sup>](#) [PubMed<sup>11</sup>](#) [Web of Science<sup>12</sup>](#)

Bossy J. 1984. Morphological data concerning the acupuncture points and channel network. *Acupunct Electrother Res* 9: 79– 106. [PubMed<sup>13</sup>](#) [Web of Science<sup>14</sup>](#)

Cheng X. 1987. Chinese acupuncture and moxibustion. Beijing: Foreign Language Press.

Chicurel ME, Chen CS, Ingber DE. 1998. Cellular control lies in the balance of forces. *Curr Opin Cell Biol* 10: 232– 239. [Crossref<sup>15</sup>](#) [PubMed<sup>16</sup>](#) [Web of Science<sup>17</sup>](#)

Chiquet M. 1999. Regulation of extracellular matrix gene expression by mechanical stress. *Matrix Biol* 18: 417– 426. [PubMed<sup>18</sup>](#) [Web of Science<sup>19</sup>](#)

Ciczek LSW, Szopinski J, Skrzypulec V. 1985. Investigations of morphological structures of acupuncture points and meridians. *J Trad Chin Med* 5: 289– 292.

Comunetti A, Laage S, Schiessl N, Kistler A. 1995. Characterization of human skin conductance at acupuncture points. *Experientia* 51: 328– 331. [Crossref<sup>20</sup>](#) [PubMed<sup>21</sup>](#) [Web of Science<sup>22</sup>](#)

Dung HC. 1984. Anatomical features contributing to the formation of acupuncture points. *Am J Acupunct* 12: 139– 143. [Web of Science<sup>23</sup>](#)

Giancotti FG, Ruoslahti E. 1999. Integrin signaling. *Science* 285: 1028– 1032. [Crossref<sup>24</sup>](#)

1. <https://doi.org/10.1002/ar.10185>
2. [https://aip.scitation.org/servertime/linkout?suffix=c26/c26\\_1&dbid=16&doi=10.1063/1.4991499&key=10.1002/ar.10185](https://aip.scitation.org/servertime/linkout?suffix=c26/c26_1&dbid=16&doi=10.1063/1.4991499&key=10.1002/ar.10185)
3. <https://onlinelibrary.wiley.com/servertime/linkout?suffix=null&dbid=16&doi=10.1002/ar.10185&key=10.1139/o95-043>
4. <https://onlinelibrary.wiley.com/servertime/linkout?suffix=null&dbid=8&doi=10.1002/ar.10185&key=8703408>
5. <https://onlinelibrary.wiley.com/servertime/linkout?suffix=null&dbid=128&doi=10.1002/ar.10185&key=A1995T760300006>
6. <https://onlinelibrary.wiley.com/servertime/linkout?suffix=null&dbid=16&doi=10.1002/ar.10185&key=10.1006/abbi.1996.0402>
7. <https://onlinelibrary.wiley.com/servertime/linkout?suffix=null&dbid=8&doi=10.1002/ar.10185&key=8809074>
8. <https://onlinelibrary.wiley.com/servertime/linkout?suffix=null&dbid=128&doi=10.1002/ar.10185&key=A19961777600006>
9. <https://doi.org/10.1007/s00018-023-05054-6>
10. <https://onlinelibrary.wiley.com/servertime/linkout?suffix=null&dbid=16&doi=10.1002/ar.10185&key=10.3109/07853899708999346>
11. <https://onlinelibrary.wiley.com/servertime/linkout?suffix=null&dbid=8&doi=10.1002/ar.10185&key=9375981>
12. <https://onlinelibrary.wiley.com/servertime/linkout?suffix=null&dbid=128&doi=10.1002/ar.10185&key=A1997X210400003>
13. <https://onlinelibrary.wiley.com/servertime/linkout?suffix=null&dbid=8&doi=10.1002/ar.10185&key=6148847>
14. <https://onlinelibrary.wiley.com/servertime/linkout?suffix=null&dbid=128&doi=10.1002/ar.10185&key=A1984TF83000001>
15. [https://onlinelibrary.wiley.com/servertime/linkout?suffix=null&dbid=16&doi=10.1002/ar.10185&key=10.1016/S0955-0674\(98\)80145-2](https://onlinelibrary.wiley.com/servertime/linkout?suffix=null&dbid=16&doi=10.1002/ar.10185&key=10.1016/S0955-0674(98)80145-2)
16. <https://onlinelibrary.wiley.com/servertime/linkout?suffix=null&dbid=8&doi=10.1002/ar.10185&key=9561847>
17. <https://onlinelibrary.wiley.com/servertime/linkout?suffix=null&dbid=128&doi=10.1002/ar.10185&key=000073043200010>
18. <https://onlinelibrary.wiley.com/servertime/linkout?suffix=null&dbid=8&doi=10.1002/ar.10185&key=10601729>
19. <https://onlinelibrary.wiley.com/servertime/linkout?suffix=null&dbid=128&doi=10.1002/ar.10185&key=000084085600001>
20. <https://onlinelibrary.wiley.com/servertime/linkout?suffix=null&dbid=16&doi=10.1002/ar.10185&key=10.1007/BF01928888>
21. <https://onlinelibrary.wiley.com/servertime/linkout?suffix=null&dbid=8&doi=10.1002/ar.10185&key=7729497>
22. <https://onlinelibrary.wiley.com/servertime/linkout?suffix=null&dbid=128&doi=10.1002/ar.10185&key=A1995QU268000004>
23. <https://onlinelibrary.wiley.com/servertime/linkout?suffix=null&dbid=128&doi=10.1002/ar.10185&key=A1984SS05900005>

[PubMed<sup>25</sup>](#) [Web of Science<sup>26</sup>](#)

Gunn CC, Ditchburn FG, King MH, Renwick GJ. 1976. Acupuncture loci: A proposal for their classification according to their relationship to known neural structures. *Am J Chin Med* 4: 183– 195. [Crossref<sup>27</sup>](#) [PubMed<sup>28</sup>](#)

Ho MW, Knight DP. 1998. The acupuncture system and the liquid crystalline collagen fibers of the connective tissues. *Am J Chin Med* 26: 251– 263. [Crossref<sup>29</sup>](#) [PubMed<sup>30</sup>](#) [Web of Science<sup>31</sup>](#)

Huan ZY, Rose K. 2001. A brief history of Qi. Brookline, MA: Paradigm Publications.

Kapchuk TJ. 2000. The web that has no weaver. Understanding Chinese medicine. Chicago: Contemporary Publishing Group, Inc.

Lai WM, Mow VC, Sun DD, Atesian GA. 2000. On the electric potentials inside a charged soft hydrated biological tissue: Streaming potential versus diffusion potential. *J Biomech Eng* 122: 336– 346. [Crossref<sup>32</sup>](#) [PubMed<sup>33</sup>](#) [Web of Science<sup>34</sup>](#)

Langevin HM, Churchill DL, Cipolla MJ. 2001a. Mechanical signaling through connective tissue: A mechanism for the therapeutic effect of acupuncture. *FASEB J* 15: 2275– 2282. [Wiley Online Library<sup>35</sup>](#) [PubMed<sup>36</sup>](#) [Web of Science<sup>37</sup>](#)

Langevin HM, Churchill DL, Fox JR, Badger GJ, Garra BS, Krag MH. 2001b. Biomechanical response to acupuncture needling in humans. *J Appl Physiol* 91: 2471– 2478. [Crossref<sup>38</sup>](#) [PubMed<sup>39</sup>](#) [Web of Science<sup>40</sup>](#)

Langevin HM, Churchill DL, Wu J, Badger GJ, Yandow JA, Fox JR, Krag MH. 2002. Evidence of connective tissue involvement in acupuncture. *FASEB J* 16: 872– 874. [Wiley Online Library<sup>41</sup>](#) [PubMed<sup>42</sup>](#) [Web of Science<sup>43</sup>](#)

Liu KY, Varela M, Oswald R. 1975. The correspondence between some motor points and acupuncture loci. *Am J Chin Med* 3: 347– 358. [Crossref<sup>44</sup>](#) [PubMed<sup>45</sup>](#)

Matsumoto K, Birch S. 1988. Hara diagnosis: Reflections of the sea. Brookline: Paradigm Publications.

McCarroll GD, Rowley BA. 1979. An investigation of the existence of electrically located acupuncture points. *IEEE Trans Biomed Eng* 26: 177– 182. [Crossref<sup>46</sup>](#) [PubMed<sup>47</sup>](#) [Web of Science<sup>48</sup>](#)

24. <https://onlinelibrary.wiley.com/servertime/linkout?suffix=null&dbid=16&doi=10.1002/ar.10185&key=10.1126/science.285.5430.1028>
25. <https://onlinelibrary.wiley.com/servertime/linkout?suffix=null&dbid=8&doi=10.1002/ar.10185&key=10446041>
26. <https://onlinelibrary.wiley.com/servertime/linkout?suffix=null&dbid=128&doi=10.1002/ar.10185&key=000082033100034>
27. <https://onlinelibrary.wiley.com/servertime/linkout?suffix=null&dbid=16&doi=10.1002/ar.10185&key=10.1142/S0192415X76000238>
28. <https://onlinelibrary.wiley.com/servertime/linkout?suffix=null&dbid=8&doi=10.1002/ar.10185&key=937240>
29. <https://onlinelibrary.wiley.com/servertime/linkout?suffix=null&dbid=16&doi=10.1002/ar.10185&key=10.1142/S0192415X98000294>
30. <https://onlinelibrary.wiley.com/servertime/linkout?suffix=null&dbid=8&doi=10.1002/ar.10185&key=9862013>
31. <https://onlinelibrary.wiley.com/servertime/linkout?suffix=null&dbid=128&doi=10.1002/ar.10185&key=000077302300001>
32. <https://onlinelibrary.wiley.com/servertime/linkout?suffix=null&dbid=16&doi=10.1002/ar.10185&key=10.1115/1.1286316>
33. <https://onlinelibrary.wiley.com/servertime/linkout?suffix=null&dbid=8&doi=10.1002/ar.10185&key=11036556>
34. <https://onlinelibrary.wiley.com/servertime/linkout?suffix=null&dbid=128&doi=10.1002/ar.10185&key=000167111100006>
35. <https://onlinelibrary.wiley.com/doi/10.1096/fj.01-0015hyp>
36. <https://onlinelibrary.wiley.com/servertime/linkout?suffix=null&dbid=8&doi=10.1002/ar.10185&key=11641255>
37. <https://onlinelibrary.wiley.com/servertime/linkout?suffix=null&dbid=128&doi=10.1002/ar.10185&key=000171920400040>
38. <https://onlinelibrary.wiley.com/servertime/linkout?suffix=null&dbid=16&doi=10.1002/ar.10185&key=10.1152/jappl.2001.91.6.2471>
39. <https://onlinelibrary.wiley.com/servertime/linkout?suffix=null&dbid=8&doi=10.1002/ar.10185&key=11717207>
40. <https://onlinelibrary.wiley.com/servertime/linkout?suffix=null&dbid=128&doi=10.1002/ar.10185&key=000172484200008>
41. <https://onlinelibrary.wiley.com/doi/10.1096/fj.01-0925je>
42. <https://onlinelibrary.wiley.com/servertime/linkout?suffix=null&dbid=8&doi=10.1002/ar.10185&key=11967233>
43. <https://onlinelibrary.wiley.com/servertime/linkout?suffix=null&dbid=128&doi=10.1002/ar.10185&key=000175425900017>
44. <https://onlinelibrary.wiley.com/servertime/linkout?suffix=null&dbid=16&doi=10.1002/ar.10185&key=10.1142/S0192415X75000426>
45. <https://onlinelibrary.wiley.com/servertime/linkout?suffix=null&dbid=8&doi=10.1002/ar.10185&key=1202933>
46. <https://onlinelibrary.wiley.com/servertime/linkout?suffix=null&dbid=16&doi=10.1002/ar.10185&key=10.1109/TBME.1979.326392>
47. <https://onlinelibrary.wiley.com/servertime/linkout?suffix=null&dbid=8&doi=10.1002/ar.10185&key=521032>
48. <https://onlinelibrary.wiley.com/servertime/linkout?suffix=null&dbid=128&doi=10.1002/>

- Noordegraaf A, Silage D. 1973. Electroacupuncture. *IEEE Trans Biomed Eng* 20: 364– 366. [Crossref<sup>49</sup>](#) [PubMed<sup>50</sup>](#) [Web of Science<sup>51</sup>](#)
- NIH Consensus Statement. 1997. Acupuncture. Bethesda, MD: NIH. 15: 1– 34.
- O'Connor J, Bensky D. 1981. Acupuncture, a comprehensive text (Shanghai College of Traditional Medicine) Seattle: Eastland Press.
- Oschman JL. 1993. A biophysical basis for acupuncture. Proceedings of the First Symposium of the Committee for Acupuncture Research.
- Pomeranz B. 2001. Acupuncture analgesia-basic research. In: G Stux, R Hammerschlag, editors. *Clinical acupuncture-scientific basis*. Berlin: Springer-Verlag.
- Rabischong P, Niboyet JEH, Terral C, Senelar R, Cazez R. 1975. Bases experimentales de l'analgésie acupuncturale. *Nouv Presse Med* 4: 2021– 2026. [PubMed<sup>52</sup>](#) [Web of Science<sup>53</sup>](#)
- Reishmanis M, Marino AA, Becker RO. 1975. Electrical correlates of acupuncture points. *IEEE Trans Biomed Eng* 22: 533– 535. [Crossref<sup>54</sup>](#) [PubMed<sup>55</sup>](#) [Web of Science<sup>56</sup>](#)
- Senelar R. 1979. Les caractéristiques morphologiques des points chinois. In: JEH Niboyet, editor. *Nouveau traité d'acupuncture*. Paris: Maisonneuve.
- Shanghai Medical University, Human Anatomy Department. 1973. A relationship between points of meridians and peripheral nerves: Acupuncture anaesthetic theory study. Shanghai: People's Republic Publishing House.
- Swartz MA, Tschumperlin DJ, Kamm RD, Drazen JM. 2001. Mechanical stress is communicated between different cell types to elicit matrix remodeling. *Proc Natl Acad Sci USA* 98: 6180– 6185. [Crossref<sup>57</sup>](#) [PubMed<sup>58</sup>](#) [Web of Science<sup>59</sup>](#)
- Ulett GA, Han S, Han JS. 1998. Electroacupuncture: mechanisms and clinical applications. *Biol Psych* 44: 129– 138. [PubMed<sup>60</sup>](#) [Web of Science<sup>61</sup>](#)
- Veith I. 1949. The yellow emperor's classic of internal medicine. Berkeley: University of California Press.
- Yang J. 1601. The golden needle and other odes of traditional acupuncture, 1601. Translated by R Bertschinger. Edinburgh: Churchill Livingstone.
- Quyen Manh Nguyen, Tuan Hoang Nguyen, Lam Van Tran, Tin Thanh Dang, Anh Dinh, Device to Detect Acupuncture Points in the Feet Soles for Massage Treatment, 8th International Conference on the Development of Biomedical Engineering in Vietnam, 10.1007/978-3-030-75506-5\_1, (3-13), (2022). [Crossref<sup>62</sup>](#)
- Yung-Sheng Yen, Han-Yi Cheng, Hung-Ta Lin, Evaluation of Stress on Acupuncture with Nano-Etched and Diamond-Like Carbon (DLC) Coating Surface Modifications, *Journal of Biomaterials and Tissue Engineering*, 10.1166/jbt.2022.2928, 12, 3, (489-493), (2022). [Crossref<sup>63</sup>](#)
- Gregory P. Casey, Anatomical characterization of acupoint large intestine 4, *The Anatomical Record*, 10.1002/ar.24681, 305, 1, (144-155), (2021). [Wiley Online Library<sup>64</sup>](#)
- Ajit B. Pai, Lori V. Shuart, David F. Drake, Integrative Medicine in Rehabilitation, Braddom's Physical Medicine and Rehabilitation, 10.1016/B978-0-323-62539-5.00018-7, (364-373.e3), (2021). [Crossref<sup>65</sup>](#)
- Tongju Li, Bruce Qing Tang, Wei-Bo Zhang, Minyi Zhao, Qingchuan Hu, Andrew Ahn, In Vivo Visualization of the Pericardium Meridian with Fluorescent Dyes, Evidence-Based Complementary and Alternative Medicine, 10.1155/2021/5581227, 2021, (1-10), (2021). [Crossref<sup>66</sup>](#)
- Chao Sun, Changchun Ji, Ying Li, Jiujie Kuang, Jiangtao Wu, A comparison study of photothermal effect between moxibustion therapy and laser irradiation on biological tissue, *International Journal of Thermal Sciences*, 10.1016/j.ijthermalsci.2021.106924, 164, (106924), (2021). [Crossref<sup>67</sup>](#)
- Nikolay Dimitrov, Nikola Tomov, Dimitrinka Atanasova, Stilyan Iliev, Tatyana Tomova, Dimitar Sivrev, Zoya Goranova, Visible Meridian Phenomena after Acupuncture: A Series of Case Reports, *Journal of Acupuncture and Meridian Studies*, 10.51507/j.jams.2021.14.2.50, 14, 2, (50-57), (2021). [Crossref<sup>68</sup>](#)
- Nasim Bahadorani, Jerry W. Lee, Leslie R. Martin, Implications of Tamarkoz on stress, *ar.10185&key=A1979GN78800013*  
49. <https://onlinelibrary.wiley.com/serve/linkout?suffix=null&dbid=16&doi=10.1002/ar.10185&key=10.1109/TBME.1973.324289>  
50. <https://onlinelibrary.wiley.com/serve/linkout?suffix=null&dbid=8&doi=10.1002/ar.10185&key=4727423>  
51. <https://onlinelibrary.wiley.com/serve/linkout?suffix=null&dbid=128&doi=10.1002/ar.10185&key=A1973Q497200007>  
52. <https://onlinelibrary.wiley.com/serve/linkout?suffix=null&dbid=8&doi=10.1002/ar.10185&key=1178444>  
53. <https://onlinelibrary.wiley.com/serve/linkout?suffix=null&dbid=128&doi=10.1002/ar.10185&key=A1975AP43900003>  
54. <https://onlinelibrary.wiley.com/serve/linkout?suffix=null&dbid=16&doi=10.1002/ar.10185&key=10.1109/TBME.1975.324477>  
55. <https://onlinelibrary.wiley.com/serve/linkout?suffix=null&dbid=8&doi=10.1002/ar.10185&key=1184029>  
56. <https://onlinelibrary.wiley.com/serve/linkout?suffix=null&dbid=128&doi=10.1002/ar.10185&key=A1975AU02000013>  
57. <https://onlinelibrary.wiley.com/serve/linkout?suffix=null&dbid=16&doi=10.1002/ar.10185&key=10.1073/pnas.111133298>  
58. <https://onlinelibrary.wiley.com/serve/linkout?suffix=null&dbid=8&doi=10.1002/ar.10185&key=11353845>  
59. <https://onlinelibrary.wiley.com/serve/linkout?suffix=null&dbid=128&doi=10.1002/ar.10185&key=000168883700045>  
60. <https://onlinelibrary.wiley.com/serve/linkout?suffix=null&dbid=8&doi=10.1002/ar.10185&key=9646895>  
61. <https://onlinelibrary.wiley.com/serve/linkout?suffix=null&dbid=128&doi=10.1002/ar.10185&key=000074292400008>  
62. [https://doi.org/10.1007/978-3-030-75506-5\\_1](https://doi.org/10.1007/978-3-030-75506-5_1)  
63. <https://doi.org/10.1166/jbt.2022.2928>  
64. <https://onlinelibrary.wiley.com/doi/10.1002/ar.24681>  
65. <https://doi.org/10.1016/B978-0-323-62539-5.00018-7>  
66. <https://doi.org/10.1155/2021/5581227>  
67. <https://doi.org/10.1016/j.ijthermalsci.2021.106924>  
68. <https://doi.org/10.51507/j.jams.2021.14.2.50>
- emotion, spirituality and heart rate, *Scientific Reports*, 10.1038/s41598-021-93470-8, 11, 1, (2021). [Crossref<sup>69</sup>](#)
- Maojun Li, Huawen Peng, Binxiu Wei, Qiuxia Deng, Fen Qian, Xin Liu, Jian Wang, Xiaodong Zhu, Effect of acupuncture anesthesia based on nanomaterial sensor on cognitive function after one-lung ventilation thoracotomy, *Materials Express*, 10.1166/mex.2021.2027, 11, 7, (1051-1056), (2021). [Crossref<sup>70</sup>](#)
- Jaliya Kumaratilake, Teghan Lucas, Maciej Henneberg, Possible relationship of upper limb arteries, median and brachial to the twelfth meridian of the human upper limb, *Journal of Anatomy*, 10.1111/joa.13401, 238, 6, (1492-1493), (2021). [Wiley Online Library<sup>71</sup>](#)
- Yong Ming Li, Three hand yin meridians in ancient Chinese medicine were established initially based on arterial structures, *Journal of Anatomy*, 10.1111/joa.13400, 238, 6, (1494-1496), (2021). [Wiley Online Library<sup>72</sup>](#)
- Yi Zhang, Interpretation of acupoint location in traditional Chinese medicine teaching: Implications for acupuncture in research and clinical practice, *The Anatomical Record*, 10.1002/ar.24618, 304, 11, (2372-2380), (2021). [Wiley Online Library<sup>73</sup>](#)
- Sanghun Lee, Prospects for the Development of Acupuncture Treatment Led by the Use of Ultrasound Imaging Devices, *Journal of Korean Medical Society of Soft Tissue*, 10.54461/JKMS.2021.5.1.8, 5, 1, (8-11), (2021). [Crossref<sup>74</sup>](#)
- Xiao Ye, Yu-lan Ren, Yun-hui Chen, Ji Chen, Xiao-jiao Tang, Zong-ming Zhang, A “4D” systemic view on meridian essence: Substantial, functional, chronological and cultural attributes, *Journal of Integrative Medicine*, 10.1016/j.joim.2021.11.006, (2021). [Crossref<sup>75</sup>](#)
- Berna Dincer, Demet İnangil, Gökhan İnangil, Nefise Bahçecik, Elif Yıldırım Ayaz, Ali Arslanoğlu, Miraç Vural Keskinler, Ayşe Kabuk, Gamze Özkan, The effect of acupressure on sleep quality of older people: A systematic review and meta-analysis of randomized controlled trials, *EXPLORE*, 10.1016/j.explore.2021.11.010, (2021). [Crossref<sup>76</sup>](#)
- Marianna de Melo Salemi, Vanessa Maria da Silva Alves Gomes, Laylla Marjory Rebouças Bezerra, Thania Maion de Souza Melo, Geisa Guimarães de Alencar, Iracema Hermes Pires de Melo Montenegro, Alessandra Paula de Melo Calado, Eduardo José Nepomuceno Montenegro, Gisela Rocha de Siqueira, Effect of Dry Cupping Therapy on Pain and Functional Disability in Persistent Non-Specific Low Back Pain: A Randomized Controlled Clinical Trial, *Journal of Acupuncture and Meridian Studies*, 10.51507/j.jams.2021.14.6.219, 14, 6, (219-230), (2021). [Crossref<sup>77</sup>](#)
- Luís Carlos Matos, Jorge Pereira Machado, Fernando Jorge Monteiro, Henry Johannes Greten, Understanding Traditional Chinese Medicine Therapeutics: An Overview of the Basics and Clinical Applications, *Healthcare*, 10.3390/healthcare9030257, 9, 3, (257), (2021). [Crossref<sup>78</sup>](#)
- Jingwen Cui, Wanrong Song, Yipeng Jin, Huihao Xu, Kai Fan, Degui Lin, Zhihui Hao, Jiahao Lin, Research Progress on the Mechanism of the Acupuncture Regulating Neuro-Endocrine-Immune Network System, *Veterinary Sciences*, 10.3390/vetsci8080149, 8, 8, (149), (2021). [Crossref<sup>79</sup>](#)
- Íñigo Ongay de Felipe, The Universality of Science and Traditional Chinese Medicine, *Science & Education*, 10.1007/s11191-021-00249-4, (2021). [Crossref<sup>80</sup>](#)
- Ningcen Li, Yi Guo, Yinan Gong, Yue Zhang, Wen Fan, Kaifang Yao, Zhihan Chen, Baomin Dou, Xiaowei Lin, Bo Chen, Zelin Chen, Zhifang Xu, Zhongxi Lyu, The Anti-Inflammatory Actions and Mechanisms of Acupuncture from Acupoint to Target Organs via Neuro-Immune Regulation, *Journal of Inflammation Research*, 10.2147/JIR.S341581, Volume 14, (7191-7224), (2021). [Crossref<sup>81</sup>](#)
- 戴云 冯, Bridging Medicine East and West—Pursuit on the Relation between Biomedical Consequence of Stimulating the Acupoints of the Lung Meridian and Somatosensory Reflexes, Aiming to Treat Chronic Obstruction Pulmonary Diseases, *Traditional Chinese Medicine*, 10.12677/TCM.2020.92022, 09, 02, (145-176), (2020). [Crossref<sup>82</sup>](#)
- Manon te Dorsthorst, Michael van Balken, John Heesakkers, Tibial nerve stimulation in the treatment of overactive bladder syndrome, *Current Opinion in Urology*, 10.1097/MOU.0000000000000781, 30, 4, (513-518), (2020). [Crossref<sup>83</sup>](#)
- Peter I-Kung Wu, Lucy Chen, Integrative Medicine, *Spine Pain Care*, 10.1007/978-3-030-27447-4, (473-489), (2020). [Crossref<sup>84</sup>](#)
- I. Giralt Sampedro, G. Carvajal, A. Garcia-Janeras, A. Fabà, M.B. Nishishinya Aquino, A severe case of Ramsay Hunt Syndrome treated with acupuncture and related techniques, *Complementary Therapies in Clinical Practice*, 10.1016/j.ctcp.2020.101119, (101119), (2020). [Crossref<sup>85</sup>](#)
- Eric Leskowitz, A Cartography of Energy Medicine: From Subtle Anatomy to Energy Physiology, *EXPLORE*, 10.1016/j.explore.2020.09.008, (2020). [Crossref<sup>86</sup>](#)
- Hantong Hu, Yongliang Jiang, Xiaoyu Li, Jiali Lou, Yajun Zhang, Xiaofen He, Junfan Fang, Yuanyuan Wu, Xiaomei Shao, Jianqiao Fang, The microcirculatory characteristics of the heart
69. <https://doi.org/10.1038/s41598-021-93470-8>  
70. <https://doi.org/10.1166/mex.2021.2027>  
71. <https://onlinelibrary.wiley.com/doi/10.1111/joa.13401>  
72. <https://onlinelibrary.wiley.com/doi/10.1111/joa.13400>  
73. <https://onlinelibrary.wiley.com/doi/10.1002/ar.24618>  
74. <https://doi.org/10.54461/JKMS.2021.5.1.8>  
75. <https://doi.org/10.1016/j.joim.2021.11.006>  
76. <https://doi.org/10.1016/j.explore.2021.11.010>  
77. <https://doi.org/10.51507/j.jams.2021.14.6.219>  
78. <https://doi.org/10.3390/healthcare9030257>  
79. <https://doi.org/10.3390/vetsci8080149>  
80. <https://doi.org/10.1007/s11191-021-00249-4>  
81. <https://doi.org/10.2147/JIR.S341581>  
82. <https://doi.org/10.12677/TCM.2020.92022>  
83. <https://doi.org/10.1097/MOU.0000000000000781>  
84. <https://doi.org/10.1007/978-3-030-27447-4>  
85. <https://doi.org/10.1016/j.ctcp.2020.101119>  
86. <https://doi.org/10.1016/j.explore.2020.09.008>

- and lung meridians, *Medicine*, 10.1097/MD.000000000019594, 99, 14, (e19594), (2020). [Crossref<sup>87</sup>](#)
- Sheikh Faruque Elahee Bangladesh, Hui-juan Mao, Ling Zhao, Xue-yong Shen, Meridian system and mechanism of acupuncture action: A scientific evaluation 经络系统与针刺效应机制的科学评价, *World Journal of Acupuncture - Moxibustion*, 10.1016/j.wjam.2020.05.003, (2020). [Crossref<sup>88</sup>](#)
- Mário Gonçalves, Luis Carlos Matos, Leonel Duarte, Jorge Machado, Henry Johannes Greten, Giovanna Franconi, PROBLEMS OF SCIENTIFIC METHODOLOGY RELATED TO PLACEBO CONTROL IN QIGONG STUDIES: A SYSTEMATIC REVIEW, *Journal of Bodywork and Movement Therapies*, 10.1016/j.jbmt.2020.06.035, (2020). [Crossref<sup>89</sup>](#)
- Hans-Udo Richarz, Uwe Schütz, Werner Klingler, Das fasziale Bindegewebe – ein Medium für die Akupunktur? The fascial connective tissue—a medium for acupuncture?, *Deutsche Zeitschrift für Akupunktur*, 10.1007/s42212-019-00228-5, (2020). [Crossref<sup>90</sup>](#)
- Shi Yonghong, Wu Ruizhi, Zhang Yue, Bai Xuebing, Imran Tarique, Liang Chunhua, Yang Ping, Chen Qiusheng, Telocytes in Different Organs of Vertebrates: Potential Essence Cells of the Meridian in Chinese Traditional Medicine, *Microscopy and Microanalysis*, 10.1017/S1431927620001518, (1-14), (2020). [Crossref<sup>91</sup>](#)
- Jinglan Mu, Andrea D Furlan, Nai Yee Lam, Marcos Y Hsu, Zhipeng Ning, Lixing Lao, Acupuncture for chronic nonspecific low back pain, *Cochrane Database of Systematic Reviews*, 10.1002/14651858.CD013814, (2020). [Crossref<sup>92</sup>](#)
- Kimia Grace Ganjaei, Jeremiah W. Ray, Brandee Waite, Kevin J. Burnham, The Fascial System in Musculoskeletal Function and Myofascial Pain, *Current Physical Medicine and Rehabilitation Reports*, 10.1007/s40141-020-00302-3, (2020). [Crossref<sup>93</sup>](#)
- Christina L Ross, Energy Medicine: Current Status and Future Perspectives, *Global Advances in Health and Medicine*, 10.1177/2164956119831221, 8, (216495611983122), (2019). [Crossref<sup>94</sup>](#)
- Phil Trabulsky, COMPLEMENTARY AND ALTERNATIVE MEDICINE, *Cancer*, 10.1002/9781119645214, (499-530), (2019). [Wiley Online Library<sup>95</sup>](#)
- Younbyoung Chae, Yeonhee Ryu, Won-Mo Jung, An Analysis of Indications of Meridians in DongUiBoGam Using Data Mining, *Korean Journal of Acupuncture*, 10.14406/acu.2019.034, 36, 4, (292-299), (2019). [Crossref<sup>96</sup>](#)
- Wei-bo ZHANG, Xiao-jing SONG, Ze WANG, Guang-jun WANG, Shu-yong JIA, Yu-ying TIAN, Hong-yan LI, Longitudinal Directional Movement of Alcian Blue in Gephyrocharax Melanocheir Fish: Revealing Interstitial Flow and Related Structure ☆ 阿尔新蓝在黑裙鱼中的纵向定向运动 组织液流动与相关结构的揭示, *World Journal of Acupuncture - Moxibustion*, 10.1016/j.wjam.2019.05.008, (2019). [Crossref<sup>97</sup>](#)
- Nicholas Alexander Wise, Action at a distance: laser acupuncture and the brain, *Photobiomodulation in the Brain*, 10.1016/B978-0-12-815305-5.00036-1, (489-501), (2019). [Crossref<sup>98</sup>](#)
- Liangjun Xia, Qingyu Meng, Jin Xi, Qin Han, Jie Cheng, Jie Shen, Youbing Xia, Liyun Shi, The synergistic effect of electroacupuncture and bone mesenchymal stem cell transplantation on repairing thin endometrial injury in rats, *Stem Cell Research & Therapy*, 10.1186/s13287-019-1326-6, 10, 1, (2019). [Crossref<sup>99</sup>](#)
- Dha-Hyun Choi, Younbyoung Chae, Minimisation of variations in locating an acupuncture point using a laser-device, *Integrative Medicine Research*, 10.1016/j.imr.2019.11.005, (2019). [Crossref<sup>100</sup>](#)
- Doohan Oh, Jong-hyun Kim, Youn-Sub Kim, Song-Yi Kim, Analysis of Tonification and Sedation Methods in the 『Yeongsochimgugyeong』, *Korean Journal of Acupuncture*, 10.14406/acu.2019.021, 36, 3, (171-180), (2019). [Crossref<sup>101</sup>](#)
- Aleksandar Zivaljevic, Bin Shi, Elisa M S. Tam, Vahideh Toossi, Treatment of visceral pain associated with irritable bowel syndrome using acupuncture: Mechanism of action, *World Journal of Traditional Chinese Medicine*, 10.4103/wjtc.wjtc\_24\_19, 5, 4, (181), (2019). [Crossref<sup>102</sup>](#)
- Suchan Chang, O. Sang Kwon, Se Kyun Bang, Do-Hee Kim, Min Won Baek, Yeonhee Ryu, Jong Han Bae, Yu Fan, Soo Min Lee, Hyung Kyu Kim, Bong Hyo Lee, Chae Ha Yang, Hee Young Kim, Peripheral Sensory Nerve Tissue but Not Connective Tissue Is Involved in the Action of Acupuncture, *Frontiers in Neuroscience*, 10.3389/fnins.2019.00110, 13, (2019). [Crossref<sup>103</sup>](#)
- Junaid Wazir, Rahat Ullah, Shihong Li, Md Amir Hossain, Maladho Tanta Diallo, Farhan Ullah Khan, Awais Ullah Ihsan, Xiaohui Zhou, Efficacy of acupuncture in the treatment of chronic prostatitis-chronic pelvic pain syndrome: a review of the literature, *International Urology and Nephrology*, 10.1007/s11255-019-02267-2, (2019). [Crossref<sup>104</sup>](#)
- Noa Schwartz, Madhavi Latha S. Chalasani, Thomas M. Li, Zhonghui Feng, William D. Shipman, Theresa T. Lu, Lymphatic Function in Autoimmune Diseases, *Frontiers in Immunology*, 10.3389/fimmu.2019.00519, 10, (2019). [Crossref<sup>105</sup>](#)
- Sarah Ely, Panos Barlas, Transcutaneous electrical acupoint stimulation for people with chronic musculoskeletal pain: an exploratory review, *Physical Therapy Reviews*, 10.1080/10833196.2019.1648728, (1-12), (2019). [Crossref<sup>106</sup>](#)
- Koh-Woon Kim, Sanhwa Hong, Hong Soo Kim, Taehun Kim, Jaeha Ahn, Hyun-Seo Song, Yu-Kang Kim, Ju-Young Oh, Tae-Yeon Hwang, Hyangsook Lee, Su-Il In, Hi-Joon Park, Physiological impact of nanoporous acupuncture needles: Laser Doppler perfusion imaging in healthy volunteers, *PLOS ONE*, 10.1371/journal.pone.0226304, 14, 12, (e0226304), (2019). [Crossref<sup>107</sup>](#)
- Chang-zhen Gong, Wei Liu, Convergence of Medicines: West Meets East in Newly-Discovered Organs and Functions, *Chinese Journal of Integrative Medicine*, 10.1007/s11655-018-2570-9, 25, 5, (323-326), (2018). [Crossref<sup>108</sup>](#)
- Jeanne Adiwinata Pawitan, Various stem cells in acupuncture meridians and points and their putative roles, *Journal of Traditional and Complementary Medicine*, 10.1016/j.jtcm.2017.08.004, (2018). [Crossref<sup>109</sup>](#)
- Chungda Lee, How can mindfulness-led breathing of qigong/Tai Chi work on qi and the meridian network?, *Advances in Integrative Medicine*, 10.1016/j.aimed.2018.07.002, 5, 3, (122-127), (2018). [Crossref<sup>110</sup>](#)
- Patrick Roynard, Lauren Frank, Huisheng Xie, Margaret Fowler, Acupuncture for Small Animal Neurologic Disorders, *Veterinary Clinics of North America: Small Animal Practice*, 10.1016/j.cvsm.2017.08.003, 48, 1, (201-219), (2018). [Crossref<sup>111</sup>](#)
- Meng Huang, Xuezhi Wang, Beibei Xing, Hongwei Yang, Zheyang Sa, Di Zhang, Wei Yao, Na Yin, Ying Xia, Guanghong Ding, Critical roles of TRPV2 channels, histamine H1 and adenosine A1 receptors in the initiation of acupoint signals for acupuncture analgesia, *Scientific Reports*, 10.1038/s41598-018-24654-y, 8, 1, (2018). [Crossref<sup>112</sup>](#)
- Ruining Liang, Peishuang Li, Xuemei Peng, Ling Xu, Pei Fan, Jiahua Peng, Xu Zhou, Chunlin Xiao, Miao Jiang, Efficacy of acupuncture on pelvic pain in patients with endometriosis: study protocol for a randomized, single-blind, multi-center, placebo-controlled trial, *Trials*, 10.1186/s13063-018-2684-6, 19, 1, (2018). [Crossref<sup>113</sup>](#)
- Wei-bo Zhang, De-xian Jia, Hong-yan Li, Yu-long Wei, Huang Yan, Peng-na Zhao, Fei-fei Gu, Guang-jun Wang, Yan-ping Wang, Understanding Qi Running in the Meridians as Interstitial Fluid Flowing via Interstitial Space of Low Hydraulic Resistance, *Chinese Journal of Integrative Medicine*, 10.1007/s11655-017-2791-3, 24, 4, (304-307), (2018). [Crossref<sup>114</sup>](#)
- Conner E. Liddle, Richard E. Harris, Cellular Reorganization Plays a Vital Role in Acupuncture Analgesia, *Medical Acupuncture*, 10.1089/acu.2017.1258, 30, 1, (15-20), (2018). [Crossref<sup>115</sup>](#)
- 戴云 冯, Relationship among the Meridians, Sinew Channels and Integrative Five Fluid Circulation System, *Traditional Chinese Medicine*, 10.12677/TCM.2018.71013, 07, 01, (74-92), (2018). [Crossref<sup>116</sup>](#)
- David Feinstein, Energy Psychology: Efficacy, Speed, Mechanisms, *EXPLORE*, 10.1016/j.explore.2018.11.003, (2018). [Crossref<sup>117</sup>](#)
- Hiroe MOTOYAMA, Hirohisa ISOGAI, Yoshito MUKAINO, Relaxing Effect Achieved by Acupuncture Stimulation in Different Postures for University Students Living a Sedentary LifestyleSedentary Lifestyle を送る大学生を対象とした異なる姿勢への鍼刺激によるリラクゼーション効果, *Kampo Medicine*, 10.3937/kampomed.69.225, 69, 3, (225-238), (2018). [Crossref<sup>118</sup>](#)
- Alexander Waits, You-Ren Tang, Hao-Min Cheng, Chen-Jei Tai, Li-Yin Chien, Acupressure effect on sleep quality: A systematic review and meta-analysis, *Sleep Medicine Reviews*, 10.1016/j.smrv.2016.12.004, 37, (24-34), (2018). [Crossref<sup>119</sup>](#)
- Chenglin Liu, Qinghua Liu, Dongming Zhang, Wei Liu, Xiaohui Yan, Xinyi Zhang, Hiroyuki Oyanagi, Zhiyun Pan, Fengchun Hu, Shiqiang Wei, Insight into the biological effects of acupuncture points by X-ray absorption fine structure, *Analytical and Bioanalytical Chemistry*, 10.1007/s00216-018-1146-z, 410, 20, (4959-4965), (2018). [Crossref<sup>120</sup>](#)
- Eric Leskowitz, How Tapping into “Energy” Can Trigger a Paradigm Shift in Biomedicine, *The Journal of Alternative and Complementary Medicine*, 10.1089/acm.2018.0073, 24, 6, (525-527), (2018). [Crossref<sup>121</sup>](#)
- Johannes Fleckenstein, Robert Schleip, Cornelia Sachs, Mark Driscoll, Susan Shockett, Thomas Findley, Werner Klingler, Faszienforschung: Quo vadis? Fascia research: Quo vadis?, *Deutsche Zeitschrift für Akupunktur*, 10.1007/s42212-018-0037-8, 61, 2, (69-74), (2018). [Crossref<sup>122</sup>](#)
- FA Phan, A Sreilestari, H Mihardja, MBH Marbun, Effects of acupuncture on uremic pruritus in patients undergoing hemodialysis, *Journal of Physics: Conference Series*, 10.1088/1742-6596/1073/6/062049, 1073, (062049), (2018). [Crossref<sup>123</sup>](#)

- Kwang-Sup Soh, Sistema circulatorio de Bonghan como una extensión de los meridianos de acupuntura, *Revista Internacional de Acupuntura*, 10.1016/j.acu.2018.02.001, 12, 1, (15-28), (2018). [Crossref<sup>124</sup>](#)
- Helene M. Langevin, Peter M. Wayne, What Is the Point? The Problem with Acupuncture Research That No One Wants to Talk About, *The Journal of Alternative and Complementary Medicine*, 10.1089/acm.2017.0366, 24, 3, (200-207), (2018). [Crossref<sup>125</sup>](#)
- Chun-Yi Lin, Tze-Taur Wei, Chen-Chen Wang, Wan-Chen Chen, Yu-Min Wang, Song-Yen Tsai, Acute Physiological and Psychological Effects of Qigong Exercise in Older Practitioners, *Evidence-Based Complementary and Alternative Medicine*, 10.1155/2018/4960978, 2018, (1-10), (2018). [Crossref<sup>126</sup>](#)
- Kanae Umemoto, Toshiyuki Saito, Munekazu Naito, Shogo Hayashi, Tomiko Yakura, Hanno Steinke, Takashi Nakano, Anatomical Relationship between B123 and the Posterior Ramus of the L2 Spinal Nerve, *Acupuncture in Medicine*, 10.1136/acupmed-2015-010847, 34, 2, (95-100), (2018). [Crossref<sup>127</sup>](#)
- Krista Lynne Paulson, Barbara L. Shay, Sympathetic Nervous System Responses to Acupuncture and Non-Penetrating Sham Acupuncture in Experimental Forearm Pain: A Single-Blind Randomised Descriptive Study, *Acupuncture in Medicine*, 10.1136/acupmed-2012-010223, 31, 2, (178-184), (2018). [Crossref<sup>128</sup>](#)
- Marc Amand, Florence Nguyen-Huu, Costantino Balestra, Acupuncture Effect on Thermal Tolerance and Electrical Pain Threshold: A Randomised Controlled Trial, *Acupuncture in Medicine*, 10.1136/aim.2010.002485, 29, 1, (47-50), (2018). [Crossref<sup>129</sup>](#)
- Michele Alem, Maria Salette Costa Gurgel, Acupuncture in the Rehabilitation of Women after Breast Cancer Surgery – a Case Series, *Acupuncture in Medicine*, 10.1136/aim.2016.26.2.86, 26, 2, (86-93), (2018). [Crossref<sup>130</sup>](#)
- Avijgan Majid, Rouh/Qi before and after production; basic concept of life, *International Journal of Complementary & Alternative Medicine*, 10.15406/ijcam.2018.11.00363, 11, 2, (2018). [Crossref<sup>131</sup>](#)
- Tiaw-Kee Lim, Yan Ma, Frederic Berger, Gerhard Litscher, Acupuncture and Neural Mechanism in the Management of Low Back Pain—An Update, *Medicines*, 10.3390/medicines5030063, 5, 3, (63), (2018). [Crossref<sup>132</sup>](#)
- Anna Esparham, Anne Herbert, Emily Pierzchalski, Catherine Tran, Jennifer Dilts, Madeline Boorigie, Tammie Wingert, Mark Connelly, Jennifer Bickel, Pediatric Headache Clinic Model: Implementation of Integrative Therapies in Practice, *Children*, 10.3390/children5060074, 5, 6, (74), (2018). [Crossref<sup>133</sup>](#)
- Elizabeth R. Magden, Chapter 13 Positive Reinforcement Training and Health Care, *Handbook of Primate Behavioral Management*, 10.1201/9781315120652, (201-216), (2017). [Crossref<sup>134</sup>](#)
- Faria Sanjana, Hans Chaudhry, Thomas Findley, Effect of MELT method on thoracolumbar connective tissue: The full study, *Journal of Bodywork and Movement Therapies*, 10.1016/j.jbmt.2016.05.010, 21, 1, (179-185), (2017). [Crossref<sup>135</sup>](#)
- Peter T. Dorsher, Neuroembryology of the Acupuncture Principal Meridians: Part 1. The Extremities, *Medical Acupuncture*, 10.1089/acu.2016.1210, 29, 1, (10-19), (2017). [Crossref<sup>136</sup>](#)
- Jordi Gascon-Garcia, Caridad Bagur-Calafat, Montserrat Girabent-Farrés, Ramon Balius, Validation of the range of dry needling with the fascial winding technique in the carpal tunnel using ultrasound, *Journal of Bodywork and Movement Therapies*, 10.1016/j.jbmt.2017.10.013, (2017). [Crossref<sup>137</sup>](#)
- Ana Paula A. Ferreira, Luciana C. Póvoa, José F.C. Zanier, Arthur S. Ferreira, Locating the Seventh Cervical Spinous Process: Accuracy of the Thorax-Rib Static Method and the Effects of Clinical Data on Its Performance, *Journal of Manipulative and Physiological Therapeutics*, 10.1016/j.jmpt.2016.10.011, 40, 2, (98-105), (2017). [Crossref<sup>138</sup>](#)
- Arya Nielsen, Acupuncture for the Prevention of Tension-Type Headache (2016), *EXPLORE: The Journal of Science and Healing*, 10.1016/j.explore.2017.03.007, 13, 3, (228-231), (2017). [Crossref<sup>139</sup>](#)
- Fan Wang, Guang-wei Cui, Le Kuai, Jian-min Xu, Ting-ting Zhang, Huai-jin Cheng, Hong-sheng Dong, Gui-rong Dong, Role of Acupoint Area Collagen Fibers in Anti-Inflammation of Acupuncture Lifting and Thrusting Manipulation, *Evidence-Based Complementary and Alternative Medicine*, 10.1155/2017/2813437, 2017, (1-8), (2017). [Crossref<sup>140</sup>](#)
- Wei-Chia Chen, Hsiang-Ying Chen, Yu-Sheng Chen, Yong Tian, Lin I, Self-excited multi-scale skin vibrations probed by optical tracking micro-motions of tracers on arms, *Journal of Applied Physics*, 10.1063/1.4991499, 122, 2, (024701), (2017). [Crossref<sup>141</sup>](#)
- Fletcher Kovich, A Curious Oversight in Acupuncture Research, *Journal of Acupuncture and Meridian Studies*, 10.1016/j.jams.2017.10.004, 10, 6, (411-415), (2017). [Crossref<sup>142</sup>](#)
- David F. Drake, Anne M. Hudak, William Robbins, Integrative Medicine in Traumatic Brain Injury, *Physical Medicine and Rehabilitation Clinics of North America*, 10.1016/j.pmr.2016.12.011, 28, 2, (363-378), (2017). [Crossref<sup>143</sup>](#)
- Helene M. Langevin, Rosa N. Schnyer, Reconnecting the Body in Eastern and Western Medicine, *The Journal of Alternative and Complementary Medicine*, 10.1089/acm.2017.0028, 23, 4, (238-241), (2017). [Crossref<sup>144</sup>](#)
- Salvador Quiroz-González, Sergio Torres-Castillo, Rosa Estela López-Gómez, Ismael Jiménez Estrada, Acupuncture Points and Their Relationship with Multireceptive Fields of Neurons, *Journal of Acupuncture and Meridian Studies*, 10.1016/j.jams.2017.01.006, 10, 2, (81-89), (2017). [Crossref<sup>145</sup>](#)
- Sharon Jiyeon Jung, Haim Song, Yu Yeon Kim, Jungdae Kim, Sungchul Kim, Yoon-Kyu Song, Kwang-Sup Soh, Distribution of Mast Cells and Locations, Depths, and Sizes of the Putative Acupoints CV 8 and KI 16, *Evidence-Based Complementary and Alternative Medicine*, 10.1155/2017/2953278, 2017, (1-10), (2017). [Crossref<sup>146</sup>](#)
- Benjamin CW. Chant, Jeanne Madison, Paul Coop, Gudrun Dieberg, Contact Tools in Japanese Acupuncture: An Ethnography of Acupuncture Practitioners in Japan, *Journal of Acupuncture and Meridian Studies*, 10.1016/j.jams.2017.08.006, 10, 5, (331-339), (2017). [Crossref<sup>147</sup>](#)
- Hugh MacPherson, Andrew Vickers, Martin Bland, David Torgerson, Mark Corbett, Eldon Stewart, Pedro Saramago, Beth Woods, Helen Weatherly, Mark Sculpher, Andrea Manca, Spackman Richmond, Ann Hopton, Janet Eldred, Ian Watt, Acupuncture for chronic pain and depression in primary care: a programme of research, *Programme Grants for Applied Research*, 10.3310/pgfar05030, 5, 3, (1-316), (2017). [Crossref<sup>148</sup>](#)
- Benjamin Kligler, Arya Nielsen, Corinne Kohrher, Tracy Schmid, Eve Waltemauer, Elidania Perez, Woodson Merrell, Acupuncture Therapy in a Group Setting for Chronic Pain, *Pain Medicine*, 10.1093/pm/pnx134, (2017). [Crossref<sup>149</sup>](#)
- Alexander Macdonald, Acupuncture Main Channels or Meridians: Visible Surfaces, *International Journal of Complementary & Alternative Medicine*, 10.15406/ijcam.2017.07.00233, 7, 4, (2017). [Crossref<sup>150</sup>](#)
- Roshanak Ghods, Nasrin Sayfour, Mohammad Hossein Ayati, Anatomical Features of the Interscapular Area Where Wet Cupping Therapy Is Done and Its Possible Relation to Acupuncture Meridians, *Journal of Acupuncture and Meridian Studies*, 10.1016/j.jams.2016.06.004, 9, 6, (290-296), (2016). [Crossref<sup>151</sup>](#)
- Laura Quiles, Electra Peluffo, Meridianos tendinomusculares (Jing Jīn) y tejido fascial, comparativa anatómica y funcional, *Revista Internacional de Acupuntura*, 10.1016/j.acu.2016.01.002, 10, 1, (20-24), (2016). [Crossref<sup>152</sup>](#)
- Tian Tian, Yanhong Sun, Huangan Wu, Jian Pei, Jing Zhang, Yi Zhang, Lu Wang, Bin Li, Lihua Wang, Jiye Shi, Jun Hu, Chunhai Fan, Acupuncture promotes mTOR-independent autophagic clearance of aggregation-prone proteins in mouse brain, *Scientific Reports*, 10.1038/srep19714, 6, 1, (2016). [Crossref<sup>153</sup>](#)
- Eric Leskowitz, Integrative Medicine for PTSD and TBI: Two Innovative Approaches, *Medical Acupuncture*, 10.1089/acu.2016.1168, 28, 4, (181-183), (2016). [Crossref<sup>154</sup>](#)
- Sarah le Jeune, Kimberly Henneman, Kevin May, Acupuncture and Equine Rehabilitation, *Veterinary Clinics of North America: Equine Practice*, 10.1016/j.cveq.2015.12.004, 32, 1, (73-85), (2016). [Crossref<sup>155</sup>](#)
- Charlotte H. Y. Lau, Xinyin Wu, Vincent C. H. Chung, Xin Liu, Edwin P. Hui, Holger Cramer, Romy Lauche, Samuel Y. S. Wong, Alexander Y. L. Lau, Regina W. S. Sit, Eric T. C. Ziea, Bacon F. L. Ng, Justin C. Y. Wu, Acupuncture and Related Therapies for Symptom Management in Palliative Cancer Care, *Medicine*, 10.1097/MD.0000000000002901, 95, 9, (e2901), (2016). [Crossref<sup>156</sup>](#)
- Li Chen, Hai-Xiang Sun, You-Bing Xia, Liu-Cai Sui, Ji Zhou, Xuan Huang, Jing-Wei Zhou, Yi-Dan Shao, Tao Shen, Qin Sun, Yuan-Jiao Liang, Bing Yao, Electroacupuncture decreases the progression of ovarian hyperstimulation syndrome in a rat model, *Reproductive BioMedicine Online*, 10.1016/j.rbmo.2016.02.006, 32, 5, (538-544), (2016). [Crossref<sup>157</sup>](#)
- Suzanne B. Hanser, Suzanne B. Hanser, Holistic Healing, *Integrative Health through Music Therapy*, 10.1057/978-1-137-38477-5, (35-54), (2016). [Crossref<sup>158</sup>](#)
- Laurent Misery, Acupuncture, Pruritus, 10.1007/978-3-319-33142-3, (437-441), (2016). [Crossref<sup>159</sup>](#)
- Jing-Ke Guo, Ming-Ming Xu, Mei-Feng Zheng, Shu-Tao Liu, Jian-Wu Zhou, Li-Jing Ke, Tian-Bao Chen, Ping-Fan Rao, Topical Application of TAT-Superoxide Dismutase in Acupoints LI 20 on Allergic Rhinitis, *Evidence-Based Complementary and Alternative Medicine*, 10.1155/2016/3830273, 2016, (1-9), (2016). [Crossref<sup>160</sup>](#)
- James L. Oschman, Acupuncture, Acupressure, Shiatsu, and Related Therapies, *Energy Medicine*, 10.1016/B978-0-443-06729-7.00014-4, (221-239), (2016). [Crossref<sup>161</sup>](#)

124. <https://doi.org/10.1016/j.acu.2018.02.001>125. <https://doi.org/10.1089/acm.2017.0366>126. <https://doi.org/10.1155/2018/4960978>127. <https://doi.org/10.1136/acupmed-2015-010847>128. <https://doi.org/10.1136/acupmed-2012-010223>129. <https://doi.org/10.1136/aim.2010.002485>130. <https://doi.org/10.1136/aim.26.2.86>131. <https://doi.org/10.15406/ijcam.2018.11.00363>132. <https://doi.org/10.3390/medicines5030063>133. <https://doi.org/10.3390/children5060074>134. <https://doi.org/10.1201/9781315120652>135. <https://doi.org/10.1016/j.jbmt.2016.05.010>136. <https://doi.org/10.1089/acu.2016.1210>137. <https://doi.org/10.1016/j.jbmt.2017.10.013>138. <https://doi.org/10.1016/j.jmpt.2016.10.011>139. <https://doi.org/10.1016/j.explore.2017.03.007>140. <https://doi.org/10.1155/2017/2813437>141. <https://doi.org/10.1063/1.4991499>142. <https://doi.org/10.1016/j.jams.2017.10.004>143. <https://doi.org/10.1016/j.pmr.2016.12.011>144. <https://doi.org/10.1089/acm.2017.0028>145. <https://doi.org/10.1016/j.jams.2017.01.006>146. <https://doi.org/10.1155/2017/2953278>147. <https://doi.org/10.1016/j.jams.2017.08.006>148. <https://doi.org/10.3310/pgfar05030>149. <https://doi.org/10.1093/pm/pnx134>150. <https://doi.org/10.15406/ijcam.2017.07.00233>151. <https://doi.org/10.1016/j.jams.2016.06.004>152. <https://doi.org/10.1016/j.acu.2016.01.002>153. <https://doi.org/10.1038/srep19714>154. <https://doi.org/10.1089/acu.2016.1168>155. <https://doi.org/10.1016/j.cveq.2015.12.004>156. <https://doi.org/10.1097/MD.0000000000002901>157. <https://doi.org/10.1016/j.rbmo.2016.02.006>158. <https://doi.org/10.1057/978-1-137-38477-5>159. <https://doi.org/10.1007/978-3-319-33142-3>160. <https://doi.org/10.1155/2016/3830273>161. <https://doi.org/10.1016/B978-0-443-06729-7.00014-4>

- Motti Ratmansky, Adi Levy, Aviv Messinger, Alla Birg, Lilach Front, Iuly Treger, The Effects of Acupuncture on Cerebral Blood Flow in Post-Stroke Patients: A Randomized Controlled Trial, *The Journal of Alternative and Complementary Medicine*, 10.1089/acm.2015.0066, 22, 1, (33-37), (2016). [Crossref<sup>62</sup>](#)
- Marzio Vanzini, Michele Gallamini, Amblyopia: Can Laser Acupuncture be an Option?, *Journal of Acupuncture and Meridian Studies*, 10.1016/j.jams.2016.01.017, 9, 5, (267-274), (2016). [Crossref<sup>63</sup>](#)
- Bo M. Rowan†, J. Bryan Dixon, Complementary Medicine Practices for Muscular Injuries of the Posterior Leg, *Muscular Injuries in the Posterior Leg*, 10.1007/978-1-4899-7651-2, (153-168), (2016). [Crossref<sup>64</sup>](#)
- HyunSuk Jang, JooHwan Yoon, HyunJi Gil, Sharon JiYoon Jung, Min-Suk Kim, Jin-Kyu Lee, Young-Jae Kim, Kwang-Sup Soh, Observation of a Flowing Duct in the Abdominal Wall by Using Nanoparticles, *PLOS ONE*, 10.1371/journal.pone.0150423, 11, 3, (e0150423), (2016). [Crossref<sup>65</sup>](#)
- Richard Cha, Detecting Intrinsic Movements through Needle Tips Pinned at Zusanli ST-36 Point - a New Method for Characterizing Structures for Acupuncture Treatments, *International Journal of Complementary & Alternative Medicine*, 10.15406/ijcam.2016.03.00100, 3, 6, (2016). [Crossref<sup>66</sup>](#)
- Raphael J. Hochstrasser, P. Christian Endler, Sabine D. Klein, Perception of Therapeutic Qi, a Nonmechanical, Nonpsychological Factor in Acupuncture That Originates from the Therapist, *Journal of Acupuncture and Meridian Studies*, 10.1016/j.jams.2014.11.009, 8, 4, (203-208), (2015). [Crossref<sup>67</sup>](#)
- Carla Stecco, Warren Hammer, Andry Vleeming, Raffaele De Caro, Fasciae of the Upper Limb, *Functional Atlas of the Human Fascial System*, 10.1016/B978-0-7020-4430-4.00007-5, (217-287), (2015). [Crossref<sup>68</sup>](#)
- Shu-Ming Wang, Acupuncture as a Treatment for Substance Abuse in Pediatric Patients, *Substance Abuse*, 10.1007/978-1-4939-1951-2, (349-357), (2015). [Crossref<sup>69</sup>](#)
- Mei-Ling Wu, Dong-Sheng Xu, Wan-Zhu Bai, Jing-Jing Cui, Hong-Ming Shu, Wei He, Xiao-Yu Wang, Hong Shi, Yang-Shuai Su, Ling Hu, Bing Zhu, Xiang-Hong Jing, Local cutaneous nerve terminal and mast cell responses to manual acupuncture in acupoint LI4 area of the rats, *Journal of Chemical Neuroanatomy*, 10.1016/j.jchemneu.2015.06.002, 68, (14-21), (2015). [Crossref<sup>70</sup>](#)
- Mark J. McDonald, Will the Primo Vascular System Finally Solve the Mystery of Acupuncture?, *Medical Acupuncture*, 10.1089/acu.2014.1075, 27, 1, (33-37), (2015). [Crossref<sup>71</sup>](#)
- Wei-Bo Zhang, Guang-Jun Wang, Kjell Fuxe, Classic and Modern Meridian Studies: A Review of Low Hydraulic Resistance Channels along Meridians and Their Relevance for Therapeutic Effects in Traditional Chinese Medicine, Evidence-Based Complementary and Alternative Medicine, 10.1155/2015/410979, 2015, (1-14), (2015). [Crossref<sup>72</sup>](#)
- Xiaqiu Wu, Jin Peng, Guoqin Li, Wei Zhang, Guangxia Liu, Baoyan Liu, Efficacy evaluation of summer acupoint application treatment on asthma patients: a two-year follow-up clinical study, *Journal of Traditional Chinese Medicine*, 10.1016/S0254-6272(15)30004-2, 35, 1, (21-27), (2015). [Crossref<sup>73</sup>](#)
- Won-Mo Jung, Taehyung Lee, In-Seon Lee, Sanghyun Kim, Hyunchul Jang, Song-Yi Kim, Hi-Joon Park, Younbyoung Chae, Spatial Patterns of the Indications of Acupoints Using Data Mining in Classic Medical Text: A Possible Visualization of the Meridian System, Evidence-Based Complementary and Alternative Medicine, 10.1155/2015/457071, 2015, (1-7), (2015). [Crossref<sup>74</sup>](#)
- Kwang-Sup Soh, Hypothesis on the Treatment of Gliomas with Acupuncture at the Primo Node Corresponding to Zusanli (ST 36), *Medical Acupuncture*, 10.1089/acu.2014.1089, 27, 3, (144-150), (2015). [Crossref<sup>75</sup>](#)
- Marco Gemma, Elisa Nicelli, Luigi Gioia, Elena Moizo, Luigi Beretta, Maria Rosa Calvi, Acupuncture accelerates recovery after general anesthesia: a prospective randomized controlled trial, *Journal of Integrative Medicine*, 10.1016/S2095-4964(15)60159-5, 13, 2, (99-104), (2015). [Crossref<sup>76</sup>](#)
- Michele Gallamini, Giovanni D'Angelo, Gabriele Belloni, Biolite: A Patented Ultra-Low-Level Laser-Therapy Device for Treating Musculoskeletal Pain and Associated Impairments, *Journal of Acupuncture and Meridian Studies*, 10.1016/j.jams.2015.02.001, 8, 4, (167-174), (2015). [Crossref<sup>77</sup>](#)
- Poney Chiang, What is the Point of Acupuncture?, *Medical Acupuncture*, 10.1089/acu.2015.1093, 27, 2, (67-80), (2015). [Crossref<sup>78</sup>](#)
- Richard F. Hobbs, Acupuncture—Biophysics or Metaphysics?, *Medical Acupuncture*, 10.1089/acu.2015.1097, 27, 2, (62-66), (2015). [Crossref<sup>79</sup>](#)
- Ali Khorsand, Jiang Zhu, Hamidreza Bahrami-Taghanaki, Sara Baghani, Liangxiao Ma, Shima Rezaei, Investigation of the electrical impedance of acupuncture points and non-acupuncture points before and after acupuncture, using a four-electrode device, *Acupuncture in Medicine*, 10.1136/acupmed-2014-010697, 33, 3, (230-236), (2015). [Crossref<sup>80</sup>](#)
- Fang Li, Tian He, Qian Xu, Li - Ting Lin, Hui Li, Yan Liu, Guang - Xia Shi, Cun - Zhi Liu, What is the Acupoint? A preliminary review of Acupoints, *Pain Medicine*, 10.1111/pme.12761, 16, 10, (1905-1915), (2015). [Wiley Online Library<sup>81</sup>](#)
- Song-Yi Kim, Sang-Woo Kim, Hi-Joon Park, Different Responses to Acupuncture in Electroencephalogram according to Stress Level: A Randomized, Placebo-Controlled, Cross-Over Trial, *Korean Journal of Acupuncture*, 10.14406/acu.2014.022, 31, 3, (136-145), (2014). [Crossref<sup>82</sup>](#)
- Heming Zhu, Acupoints Initiate the Healing Process, *Medical Acupuncture*, 10.1089/acu.2014.1057, 26, 5, (264-270), (2014). [Crossref<sup>83</sup>](#)
- G. Ding, Z. Wu, D. Zhang, Z. Sa, K. Cheng, Biophysical Bases of Acupuncture, *Comprehensive Biomedical Physics*, 10.1016/B978-0-444-53632-7.01018-2, (299-316), (2014). [Crossref<sup>84</sup>](#)
- Yuan-yuan Lin, Yin-ping Wang, Hao-yang Lu, Xiu-cai Guo, Xia Liu, Chuan-bin Wu, Yue-hong Xu, Plasma pharmacokinetics and lung distribution of tetrahydropalmatine after topical application of cold asthma recipe extract: Feishu (BL 13) versus Non-Feishu acupoint, *Journal of Ethnopharmacology*, 10.1016/j.jep.2014.03.009, 153, 2, (454-460), (2014). [Crossref<sup>85</sup>](#)
- Yiu Ming Wong, Electrical Property of Acupoints, *The Journal of Alternative and Complementary Medicine*, 10.1089/acm.2013.0169, 20, 2, (145-146), (2014). [Crossref<sup>86</sup>](#)
- Nadia Elisabeth Haddad, Oxana Palesh, Acupuncture in the Treatment of Cancer-Related Psychological Symptoms, *Integrative Cancer Therapies*, 10.1177/1534735413520181, 13, 5, (371-385), (2014). [Crossref<sup>87</sup>](#)
- Soo-Byeong Kim, Kyung-Yul Chung, Mi-Seon Jeon, Tae-Min Shin, Yong-Heum Lee, Body Composition Factor Comparisons of the Intracellular Fluid (ICW), Extracellular Fluid (ECW) and Cell Membrane at Acupuncture Points and Non-Acupuncture Points by Inducing Multiple Ionic Changes, *Korean Journal of Acupuncture*, 10.14406/acu.2014.005, 31, 2, (66-78), (2014). [Crossref<sup>88</sup>](#)
- Martha Liliana Beltrán Molano, Laura Bibiana Pinilla Bonilla, Eduardo Humberto Beltrán Dussan, Carlos Alberto Vásquez Londoño, Anatomic-Functional Correlation between Head Zones and Acupuncture Channels and Points: A Comparative Analysis from the Perspective of Neural Therapy, Evidence-Based Complementary and Alternative Medicine, 10.1155/2014/836392, 2014, (1-12), (2014). [Crossref<sup>89</sup>](#)
- Evan H. Kwong, Thomas W. Findley, Fascia—Current knowledge and future directions in psychiatry: Narrative review, *Journal of Rehabilitation Research and Development*, 10.1682/JRRD.2013.10.0220, 51, 6, (875-884), (2014). [Crossref<sup>90</sup>](#)
- Kwokming James Cheng, Neurobiological Mechanisms of Acupuncture for Some Common Illnesses: A Clinician's Perspective, *Journal of Acupuncture and Meridian Studies*, 10.1016/j.jams.2013.07.008, 7, 3, (105-114), (2014). [Crossref<sup>91</sup>](#)
- Jing-Wen Yang, Qian-Qian Li, Fang Li, Qing-Nan Fu, Xiang-Hong Zeng, Cun-Zhi Liu, The Holistic Effects of Acupuncture Treatment, Evidence-Based Complementary and Alternative Medicine, 10.1155/2014/739708, 2014, (1-10), (2014). [Crossref<sup>92</sup>](#)
- Shu-Yih Wu, Wei-Hsin Chen, Ching-Liang Hsieh, Yi-Wen Lin, Abundant expression and functional participation of TRPV1 at Zusanli acupoint (ST36) in mice: mechanosensitive TRPV1 as an "acupuncture-responding channel", *BMC Complementary and Alternative Medicine*, 10.1186/1472-6882-14-96, 14, 1, (2014). [Crossref<sup>93</sup>](#)
- Morry Silberstein, Is acupuncture "stimulation" a misnomer? A case for using the term "blockade", *BMC Complementary and Alternative Medicine*, 10.1186/1472-6882-13-68, 13, 1, (2013). [Crossref<sup>94</sup>](#)
- In-Seon Lee, Soon-Ho Lee, Song-Yi Kim, Hyejung Lee, Hi-Joon Park, Younbyoung Chae, Visualization of the Meridian System Based on Biomedical Information about Acupuncture Treatment, Evidence-Based Complementary and Alternative Medicine, 10.1155/2013/872142, 2013, (1-5), (2013). [Crossref<sup>95</sup>](#)
- Helene M. Langevin, Part 1, Trigger Point Dry Needling, 10.1016/B978-0-7020-4601-8.10008-8, (29-33), (2013). [Crossref<sup>96</sup>](#)
- Byung-Cheon Lee, Walter J. Akers, Xianghong Jing, M. Isabel Miguel Perez, Yeonhee Ryu, Primo Vascular System: Past, Present, and Future, Evidence-Based Complementary and Alternative Medicine, 10.1155/2013/240168, 2013, (1-2), (2013). [Crossref<sup>97</sup>](#)
- Andrew Bannan, Acupuncture in physiotherapy, *Tidy's Physiotherapy*, 10.1016/B978-0-7020-4344-4.00018-3, (403-415), (2013). [Crossref<sup>98</sup>](#)
- Im Quah-Smith, Caroline Smith, John D. Crawford, Janice Russell, Laser acupuncture for

161. <https://doi.org/10.1016/B978-0-443-06729-7.00014-4>162. <https://doi.org/10.1089/acm.2015.0066>163. <https://doi.org/10.1016/j.jams.2016.01.017>164. <https://doi.org/10.1007/978-1-4899-7651-2>165. <https://doi.org/10.1371/journal.pone.0150423>166. <https://doi.org/10.15406/ijcam.2016.03.00100>167. <https://doi.org/10.1016/j.jams.2014.11.009>168. <https://doi.org/10.1016/B978-0-7020-4430-4.00007-5>169. <https://doi.org/10.1007/978-1-4939-1951-2>170. <https://doi.org/10.1016/j.jchemneu.2015.06.002>171. <https://doi.org/10.1089/acu.2014.1075>172. <https://doi.org/10.1155/2015/410979>173. [https://doi.org/10.1016/S0254-6272\(15\)30004-2](https://doi.org/10.1016/S0254-6272(15)30004-2)174. <https://doi.org/10.1155/2015/457071>175. <https://doi.org/10.1089/acu.2014.1089>176. [https://doi.org/10.1016/S2095-4964\(15\)60159-5](https://doi.org/10.1016/S2095-4964(15)60159-5)177. <https://doi.org/10.1016/j.jams.2015.02.001>178. <https://doi.org/10.1089/acu.2015.1093>179. <https://doi.org/10.1089/acu.2015.1097>180. <https://doi.org/10.1136/acupmed-2014-010697>181. <https://onlinelibrary.wiley.com/doi/10.1111/pme.12761>182. <https://doi.org/10.14406/acu.2014.022>183. <https://doi.org/10.1089/acu.2014.1057>184. <https://doi.org/10.1016/B978-0-444-53632-7.01018-2>185. <https://doi.org/10.1016/j.jep.2014.03.009>186. <https://doi.org/10.1089/acm.2013.0169>187. <https://doi.org/10.1177/1534735413520181>188. <https://doi.org/10.14406/acu.2014.005>189. <https://doi.org/10.1155/2014/836392>190. <https://doi.org/10.1682/JRRD.2013.10.0220>191. <https://doi.org/10.1016/j.jams.2013.07.008>192. <https://doi.org/10.1155/2014/739708>193. <https://doi.org/10.1186/1472-6882-14-96>194. <https://doi.org/10.1186/1472-6882-13-68>195. <https://doi.org/10.1155/2013/872142>196. <https://doi.org/10.1016/B978-0-7020-4601-8.10008-8>197. <https://doi.org/10.1155/2013/240168>198. <https://doi.org/10.1016/B978-0-7020-4344-4.00018-3>

- depression: A randomised double blind controlled trial using low intensity laser intervention, *Journal of Affective Disorders*, 10.1016/j.jad.2012.11.058, 148, 2-3, (179-187), (2013). [Crossref<sup>199</sup>](#)
- C. Will Chen, Chen-Jei Tai, Cheuk-Sing Choy, Chau-Yun Hsu, Shoei-Loong Lin, Wing P. Chan, Han-Sun Chiang, Chang-An Chen, Ting-Kai Leung, Wave-Induced Flow in Meridians Demonstrated Using Photoluminescent Bioceramic Material on Acupuncture Points, *Evidence-Based Complementary and Alternative Medicine*, 10.1155/2013/739293, 2013, (1-11), (2013). [Crossref<sup>200</sup>](#)
- Raphael J. Hochstrasser, P. Christian Endler, Sabine D. Klein, Introduction of two novel devices for investigating the influence of non-mechanical components such as therapeutic qi in acupuncture, *Journal of Integrative Medicine*, 10.3736/jintgrmed2013030, 11, 3, (168-174), (2013). [Crossref<sup>201</sup>](#)
- W. Evan Rivers, Felise Zollman, Reliability of Surface Acupuncture Point Location, *Medical Acupuncture*, 10.1089/acu.2012.0929, 25, 2, (134-140), (2013). [Crossref<sup>202</sup>](#)
- Stefano Marcelli, Gross Anatomy and Acupuncture: A Comparative Approach to Reappraise the Meridian System, *Medical Acupuncture*, 10.1089/acu.2012.0875, 25, 1, (5-22), (2013). [Crossref<sup>203</sup>](#)
- Jaung-Geng Lin, Pei-Chi Chou, Heng-Yi Chu, An Exploration of the Needling Depth in Acupuncture: The Safe Needling Depth and the Needling Depth of Clinical Efficacy, *Evidence-Based Complementary and Alternative Medicine*, 10.1155/2013/740508, 2013, (1-21), (2013). [Crossref<sup>204</sup>](#)
- DARCY A. UMPHRED, CAROL M. DAVIS, MARY LOU GALANTINO, Complementary and alternative therapies: beyond traditional approaches to intervention in neurological diseases and movement disorders, *Neurological Rehabilitation*, 10.1016/B978-0-323-07586-2.00048-0, (1173-1214), (2013). [Crossref<sup>205</sup>](#)
- Alessandra de Almeida Fagundes, Mariana César Ribeiro Reis, Maira Salles, Maria Graças Bastos Licurci, Immediate Effects of Acupuncture for Managing Myofascial Trigger-Point Pain: A Pilot Study, *Medical Acupuncture*, 10.1089/acu.2012.0902, 25, 1, (55-60), (2013). [Crossref<sup>206</sup>](#)
- Yi Zhuang, Jing-jing Xing, Juan Li, Bai-Yun Zeng, Fan-rong Liang, History of Acupuncture Research, *Neurobiology of Acupuncture*, 10.1016/B978-0-12-411545-3.00001-8, (1-23), (2013). [Crossref<sup>207</sup>](#)
- Arya Nielsen, Ted J. Kaptchuk, Sha syndrome and Gua sha, cao gio, coining, scraping, *Gua Sha*, 10.1016/B978-0-7020-3108-3.00005-4, (39-44), (2013). [Crossref<sup>208</sup>](#)
- Arya Nielsen, Ted J. Kaptchuk, Physiology of Gua sha, *Gua Sha*, 10.1016/B978-0-7020-3108-3.00003-0, (21-30), (2013). [Crossref<sup>209</sup>](#)
- Shirley P.C. Ngai, Alice Y.M. Jones, Changes in Skin Impedance and Heart Rate Variability with Application of Acu-TENS to BL 13 ( Feishu ) , *The Journal of Alternative and Complementary Medicine*, 10.1089/acm.2012.0097, 19, 6, (558-563), (2013). [Crossref<sup>210</sup>](#)
- Isabelle Nègre, Méthodes non médicamenteuses : compréhension actuelle des mécanismes d'action, Douleurs : Evaluation - Diagnostic - Traitement, 10.1016/j.douler.2013.01.007, 14, 3, (111-118), (2013). [Crossref<sup>211</sup>](#)
- Guanghong Ding, Di Zhang, Meng Huang, Lina Wang, Wei Yao, Function of Collagen and Mast Cells in Acupuncture Points, *Current Research in Acupuncture*, 10.1007/978-1-4614-3357-6, (53-87), (2013). [Crossref<sup>212</sup>](#)
- Sung - Ho Lee, Geon - Ho Jahng, Il - Hwan Choe, Chi - Bong Choi, Dae - Hyun Kim, Hwi - Yool Kim, Neural Pathway Interference by Retained Acupuncture: A Functional MRI Study of a Dog Model of Parkinson's Disease, *CNS Neuroscience & Therapeutics*, 10.1111/cns.12108, 19, 8, (585-595), (2013). [Wiley Online Library<sup>213</sup>](#)
- Hee Young Kim, Sung Tae Koo, Jae Hyo Kim, Kyungh An, Kyungsoon Chung, Jin Mo Chung, Electroacupuncture analgesia in rat ankle sprain pain model: neural mechanisms, *Neurological Research*, 10.1179/016164109X12537002793689, 32, sup1, (10-17), (2013). [Crossref<sup>214</sup>](#)
- ChangShik Yin, ByungKwan Seo, Hi-Joon Park, Miran Cho, WooSang Jung, Ryowon Choue, ChangHwan Kim, Hun-Kuk Park, Hyejung Lee, HyeongGyun Koh, Acupuncture, a promising adjunctive therapy for essential hypertension: a double-blind, randomized, controlled trial, *Neurological Research*, 10.1179/016164107X172220, 29, sup1, (98-103), (2013). [Crossref<sup>215</sup>](#)
- Gary Deng, Barrie Cassileth, Complementary or alternative medicine in cancer care—myths and realities, *Nature Reviews Clinical Oncology*, 10.1038/nrclinonc.2013.125, 10, 11, (656-664), (2013). [Crossref<sup>216</sup>](#)
- James L Oschman, Fascia as a body-wide communication system, *Fascia: The Tensional Network of the Human Body*, 10.1016/B978-0-7020-3425-1.00049-0, (103-110), (2012). [Crossref<sup>217</sup>](#)
- David Feinstein, Acupoint Stimulation in Treating Psychological Disorders: Evidence of Efficacy, *Review of General Psychology*, 10.1037/a0028602, 16, 4, (364-380), (2012). [Crossref<sup>218</sup>](#)
- Jun J. Mao, Malini M. Khanna, Integrating Acupuncture with Western Medicine in Cancer Treatment, *Acupuncture and Moxibustion as an Evidence-based Therapy for Cancer*, 10.1007/978-94-007-4833-0\_14, (313-328), (2012). [Crossref<sup>219</sup>](#)
- Alex Benham, Mark I. Johnson, Characterization of Painful and Non-painful Acupuncture Needle Sensations During Bidirectional Rotation of a Single Needle Inserted 15–25 mm at Large Intestine 10, *Medical Acupuncture*, 10.1089/acu.2011.0861, 24, 3, (172-180), (2012). [Crossref<sup>220</sup>](#)
- Li-Ling Lin, Ya-Hui Wang, Chi-Yu Lai, Chan-Lao Chau, Guan-Chin Su, Chun-Yi Yang, Shu-Ying Lou, Szu-Kai Chen, Kuan-Hao Hsu, Yen-Ling Lai, Wei-Ming Wu, Jian-Long Huang, Chih-Hsin Liao, Hsueh-Fen Juan, Systems Biology of Meridians, Acupoints, and Chinese Herbs in Disease, *Evidence-Based Complementary and Alternative Medicine*, 10.1155/2012/372670, 2012, (1-13), (2012). [Crossref<sup>221</sup>](#)
- Arya Nielsen, Gua sha, *Fascia: The Tensional Network of the Human Body*, 10.1016/B978-0-7020-3425-1.00009-X, (359-365), (2012). [Crossref<sup>222</sup>](#)
- Hugh MacPherson, Richard Hammerschlag, Acupuncture and the Emerging Evidence Base: Contrived Controversy and Rational Debate, *Journal of Acupuncture and Meridian Studies*, 10.1016/j.jams.2012.05.001, 5, 4, (141-147), (2012). [Crossref<sup>223</sup>](#)
- Yejin Ha, Misun Kim, Jiseon Nah, Minah Suh, Youngmi Lee, Measurements of Location-Dependent Nitric Oxide Levels on Skin Surface in relation to Acupuncture Point, *Evidence-Based Complementary and Alternative Medicine*, 10.1155/2012/781460, 2012, (1-7), (2012). [Crossref<sup>224</sup>](#)
- Elisabeth Hsu, “Feeling lighter”: Why the patient's treatment evaluation matters to the health scientist, *Integrative Medicine Research*, 10.1016/j.imr.2012.10.003, 1, 1, (5-12), (2012). [Crossref<sup>225</sup>](#)
- Petra I. Bäuml, Michael Simang, Sybille Kramer, Dominik Irnich, Acupuncture Point Localization Varies Among Acupuncturists, *Forschende Komplementärmedizin / Research in Complementary Medicine*, 10.1159/000335825, 19, 1, (31-37), (2012). [Crossref<sup>226</sup>](#)
- Belinda Anderson, Arya Nielsen, Diane McKee, Anne Jeffries, Ben Kligler, Acupuncture and Heart Rate Variability: A Systems Level Approach to Understanding Mechanism, *EXPLORE: The Journal of Science and Healing*, 10.1016/j.explore.2011.12.002, 8, 2, (99-106), (2012). [Crossref<sup>227</sup>](#)
- Xiaoyu Wang, Hong Shi, Hongyan Shang, Yangshuai Su, Juanjuan Xin, Wei He, Xianghong Jing, Bing Zhu, Are Primo Vessels (PVs) on the Surface of Gastrointestine Involved in Regulation of Gastric Motility Induced by Stimulating Acupoints ST36 or CV12?, *Evidence-Based Complementary and Alternative Medicine*, 10.1155/2012/787683, 2012, (1-8), (2012). [Crossref<sup>228</sup>](#)
- Dominik Irnich, Johannes Fleckenstein, Acupuncture as a fascia-oriented therapy, *Fascia: The Tensional Network of the Human Body*, 10.1016/B978-0-7020-3425-1.00010-6, (349-357), (2012). [Crossref<sup>229</sup>](#)
- Byung-Cheon Lee, Zhendong Su, Baekkyoung Sung, Ki Woo Kim, Jin-Myung Cha, Jin-Kyu Lee, Byung-Joon Chang, Kwang-Sup Soh, Network of the Primo Vascular System in the Rat Hypodermis, *The Primo Vascular System*, 10.1007/978-1-4614-0601-3, (139-146), (2012). [Crossref<sup>230</sup>](#)
- Kyoung-Hee Bae, Zhendong Su, Kwang-Sup Soh, Hee Min Kwon, Histological Comparison of Primo Nodes in Abdominal Membrane and Lymph Nodes of Rat, *The Primo Vascular System*, 10.1007/978-1-4614-0601-3, (127-131), (2012). [Crossref<sup>231</sup>](#)
- Yu Bai, Lin Yuan, Yong Huang, Chun-lei Wang, Jun Wang, Jin-peng Wu, Jing-xing Dai, Dong-fei Li, Chun Yang, Mei-chun Yu, Hui-ying Yang, Hui Tao, Ou Sha, David Tai Wai Yew, From the Anatomical Discovery of Meridians and Collaterals to Fasciology Theory, *The Primo Vascular System*, 10.1007/978-1-4614-0601-3, (305-318), (2012). [Crossref<sup>232</sup>](#)
- Wei Yao, Yabei Li, Guanghong Ding, Interstitial Fluid Flow: The Mechanical Environment of Cells and Foundation of Meridians, *Evidence-Based Complementary and Alternative Medicine*, 10.1155/2012/853516, 2012, (1-9), (2012). [Crossref<sup>233</sup>](#)
- Jungdae Kim, Dae-In Kang, Kwang-Sup Soh, Sunghul Kim, Analysis on Postmortem Tissues at Acupuncture Points in the Image Datasets of Visible Human Project, *The Journal of Alternative and Complementary Medicine*, 10.1089/acm.2010.0850, 18, 2, (120-129), (2012). [Crossref<sup>234</sup>](#)
- Marcelo L Silva, Josie RT Silva, Wiliam A Prado, The antinociceptive effect of electroacupuncture at different depths of acupoints and under the needling surface, *Chinese Medicine*, 10.1186/1749-8546-7-3, 7, 1, (2012). [Crossref<sup>235</sup>](#)

199. <https://doi.org/10.1016/j.jad.2012.11.058>200. <https://doi.org/10.1155/2013/739293>201. <https://doi.org/10.3736/jintgrmed2013030>202. <https://doi.org/10.1089/acu.2012.0929>203. <https://doi.org/10.1089/acu.2012.0875>204. <https://doi.org/10.1155/2013/740508>205. <https://doi.org/10.1016/B978-0-323-07586-2.00048-0>206. <https://doi.org/10.1089/acu.2012.0902>207. <https://doi.org/10.1016/B978-0-12-411545-3.00001-8>208. <https://doi.org/10.1016/B978-0-7020-3108-3.00005-4>209. <https://doi.org/10.1016/B978-0-7020-3108-3.00003-0>210. <https://doi.org/10.1089/acm.2012.0097>211. <https://doi.org/10.1016/j.douler.2013.01.007>212. <https://doi.org/10.1007/978-1-4614-3357-6>213. <https://onlinelibrary.wiley.com/doi/10.1111/cns.12108>214. <https://doi.org/10.1179/016164109X12537002793689>215. <https://doi.org/10.1179/016164107X172220>216. <https://doi.org/10.1038/nrclinonc.2013.125>217. <https://doi.org/10.1016/B978-0-7020-3425-1.00049-0>218. <https://doi.org/10.1037/a0028602>219. [https://doi.org/10.1007/978-94-007-4833-0\\_14](https://doi.org/10.1007/978-94-007-4833-0_14)220. <https://doi.org/10.1089/acu.2011.0861>221. <https://doi.org/10.1155/2012/372670>222. <https://doi.org/10.1016/B978-0-7020-3425-1.00009-X>223. <https://doi.org/10.1016/j.jams.2012.05.001>224. <https://doi.org/10.1155/2012/781460>225. <https://doi.org/10.1016/j.imr.2012.10.003>226. <https://doi.org/10.1159/000335825>227. <https://doi.org/10.1016/j.explore.2011.12.002>228. <https://doi.org/10.1155/2012/787683>229. <https://doi.org/10.1016/B978-0-7020-3425-1.00010-6>230. <https://doi.org/10.1007/978-1-4614-0601-3>231. <https://doi.org/10.1007/978-1-4614-0601-3>232. <https://doi.org/10.1155/2012/853516>233. <https://doi.org/10.1089/acm.2010.0850>234. <https://doi.org/10.1089/acm.2010.0850>235. <https://doi.org/10.1186/1749-8546-7-3>

- Hong-Qin Yang, Shu-Sen Xie, Song-Hao Liu, Hui Li, Zhou-Yi Guo, Differences in Optical Transport Properties between Human Meridian and Non-meridian, *The American Journal of Chinese Medicine*, 10.1142/S0192415X07005235, 35, 05, (743-752), (2012). [Crossref<sup>236</sup>](#)
- Kaung-Ti Yung, A Birdcage Model for the Chinese Meridian System Part VI: Meridians as the Primary Regulatory System, *The American Journal of Chinese Medicine*, 10.1142/S0192415X05003302, 33, 05, (759-766), (2012). [Crossref<sup>237</sup>](#)
- Letter to the Editor, *The American Journal of Chinese Medicine*, 10.1142/S0192415X05003119, 33, 03, (513-515), (2012). [Crossref<sup>238</sup>](#)
- A. Paraskeva, A. Melemini, G. Petropoulos, I. Siafaka, A. Fassoulaki, Needling of the Extra 1 Point Decreases BIS Values and Preoperative Anxiety, *The American Journal of Chinese Medicine*, 10.1142/S0192415X04002363, 32, 05, (789-794), (2012). [Crossref<sup>239</sup>](#)
- Francisco Abad-Alegria, Carlos Pomarón, About the Neurobiological Foundations of the De-Qi — Stimulus-Response Relation, *The American Journal of Chinese Medicine*, 10.1142/S0192415X04002375, 32, 05, (807-814), (2012). [Crossref<sup>240</sup>](#)
- Jesse Li-Ling, Human Phenome Based on Traditional Chinese Medicine — A Solution to Congenital Syndromology, *The American Journal of Chinese Medicine*, 10.1142/S0192415X03001594, 31, 06, (991-1000), (2012). [Crossref<sup>241</sup>](#)
- Lisa S. Lancaster, Robert M. Bowker, Acupuncture Points of the Horse's Distal Thoracic Limb: A Neuroanatomic Approach to the Transposition of Traditional Points, *Animals*, 10.3390/ani2030455, 2, 4, (455-471), (2012). [Crossref<sup>242</sup>](#)
- Houju Fu, Yuanqiao He, Ying Gao, Yicun Man, Wukun Liu, Hua Hao, Acupuncture on the Endometrial Morphology, the Serum Estradiol and Progesterone Levels, and the Expression of Endometrial Leukaemia-inhibitor Factor and Osteopontin in Rats, Evidence-Based Complementary and Alternative Medicine, 10.1155/2011/606514, 2011, (1-9), (2011). [Crossref<sup>243</sup>](#)
- Steven Finando, Donna Finando, Fascia and the mechanism of acupuncture, *Journal of Bodywork and Movement Therapies*, 10.1016/j.jbmt.2010.03.001, 15, 2, (168-176), (2011). [Crossref<sup>244</sup>](#)
- Hyung-Joo Moon, Yong-Keun Lee, The Relationship Between Dental Occlusion/ Temporomandibular Joint Status and General Body Health: Part 2. Fascial Connection of TMJ with Other Parts of the Body, *The Journal of Alternative and Complementary Medicine*, 10.1089/acm.2010.0740, 17, 12, (1119-1124), (2011). [Crossref<sup>245</sup>](#)
- Yu Bai, Jun Wang, Jin-peng Wu, Jing-xing Dai, Ou Sha, David Tai Wai Yew, Lin Yuan, Qi-ni Liang, Review of Evidence Suggesting That the Fascia Network Could Be the Anatomical Basis for Acupoints and Meridians in the Human Body, Evidence-Based Complementary and Alternative Medicine, 10.1155/2011/260510, 2011, (1-6), (2011). [Crossref<sup>246</sup>](#)
- James L. Oschman, Foreword and Special Contribution: The Living Matrix, *Energy Medicine East and West*, 10.1016/B978-0-7020-3571-5.00032-9, (x-xix), (2011). [Crossref<sup>247</sup>](#)
- Therapie myofaszialer Schmerzsyndrome, Myofasziale Schmerzen und Triggerpunkte, 10.1016/B978-3-437-23095-0.10004-5, (51-91), (2011). [Crossref<sup>248</sup>](#)
- Xiangeng Zhang, Hui Zhang, Xiaoli Liang, Qin Liu, Mi-qu Wang, Gynecology and Gynecological Nursing Theories and Practices in Traditional Chinese Medicine: Review on the Ancient Literatures, *Chinese Medicine*, 10.4236/cm.2011.23014, 02, 03, (77-83), (2011). [Crossref<sup>249</sup>](#)
- Pei-Chi Chou, Heng-Yi Chu, Jaung-Geng Lin, Safe Needling Depth of Acupuncture Points, *The Journal of Alternative and Complementary Medicine*, 10.1089/acm.2010.0192, 17, 3, (199-206), (2011). [Crossref<sup>250</sup>](#)
- References and further reading, *Energy Medicine East and West*, 10.1016/B978-0-7020-3571-5.00037-8, (339-382), (2011). [Crossref<sup>251</sup>](#)
- Dongming Zhang, Xiaohui Yan, Xinyi Zhang, Chenglin Liu, Ruishan Dang, Tiqiao Xiao, Peiping Zhu, Synchrotron radiation phase-contrast X-ray CT imaging of acupuncture points, Analytical and Bioanalytical Chemistry, 10.1007/s00216-011-4913-7, 401, 3, (803-808), (2011). [Crossref<sup>252</sup>](#)
- Stéphane J - P. Egot - Lemaire, Marvin C. Ziskin, Dielectric properties of human skin at an acupuncture point in the 50–75 GHz frequency range: A pilot study, *Bioelectromagnetics*, 10.1002/bem.20650, 32, 5, (360-366), (2011). [Wiley Online Library<sup>253</sup>](#)
- Chi Eung Danform Lim, Felix Wu Shun Wong, Warren Smith, Factors influencing the bio-impedance data in tissue segments along the three arm meridians: a pilot study, *TANG [HUMANITAS MEDICINE]*, 10.5667/tang.2011.0004, 1, 1, (7.1-7.9), (2011). [Crossref<sup>254</sup>](#)
- Luigi Baratto, Laura Calzà, Roberto Capra, Michele Gallamini, Luciana Giardino, Alessandro Giuliani, Luca Lorenzini, Silvano Traverso, Ultra-low-level laser therapy, *Lasers in Medical Science*, 10.1007/s10103-010-0837-2, 26, 1, (103-112), (2010). [Crossref<sup>255</sup>](#)
- Yavuz Beyazit, Murat Kekilli, Fatma Beyazit, Sticking the pieces together: A unifying hypothesis for the acupuncture meridian pathways and extracellular signalling, *Medical Hypotheses*, 10.1016/j.mehy.2010.01.022, 74, 6, (1088), (2010). [Crossref<sup>256</sup>](#)
- Hugh Gemmill, Peter Miller, Relative effectiveness and adverse effects of cervical manipulation, mobilisation and the activator instrument in patients with sub-acute non-specific neck pain: results from a stopped randomised trial, *Chiropractic & Osteopathy*, 10.1186/1746-1340-18-20, 18, 1, (2010). [Crossref<sup>257</sup>](#)
- Peter T. Dorsher, Clinical Equivalence of Laser Needle to Metal Acupuncture Needle in Treating Musculoskeletal Pain: A Pilot Study, *Medical Acupuncture*, 10.1089/acu.2009.0724, 22, 1, (11-17), (2010). [Crossref<sup>258</sup>](#)
- Marco Antonio Helio da Silva, A Neurosegmental Perspective of the Classical Back Shu Points, *Medical Acupuncture*, 10.1089/acu.2010.0762, 22, 4, (257-264), (2010). [Crossref<sup>259</sup>](#)
- Laurent Misery, Laurence Potin-Richard, Itch and Acupuncture, *Pruritus*, 10.1007/978-1-84882-322-8, (335-338), (2010). [Crossref<sup>260</sup>](#)
- Guang Ying Huang, Cui Hong Zheng, Yun Xia Wu, Wei Wang, Involvement of connexin 43 in the acupuncture effect of improving rat blastocyst implantation, *Fertility and Sterility*, 10.1016/j.fertnstert.2009.09.036, 93, 5, (1715-1717), (2010). [Crossref<sup>261</sup>](#)
- Felix Wu Shun Wong, Chi Eung Danform Lim, Warren Smith, A New Bioimpedance Research Device (BRD) for Measuring the Electrical Impedance of Acupuncture Meridians, *The Journal of Alternative and Complementary Medicine*, 10.1089/acm.2009.0218, 16, 3, (257-264), (2010). [Crossref<sup>262</sup>](#)
- Jennifer A. M. Stone, Peter A. S. Johnstone, Mechanisms of Action for Acupuncture in the Oncology Setting, *Current Treatment Options in Oncology*, 10.1007/s11864-010-0128-y, 11, 3-4, (118-127), (2010). [Crossref<sup>263</sup>](#)
- Yu Bai, Lin Yuan, Kwang-Sup Soh, Byung-Cheon Lee, Yong Huang, Chun-lei Wang, Jun Wang, Jin-peng Wu, Jing-xing Dai, Janos Palhalmi, Ou Sha, David Tai Wai Yew, Possible Applications for Fascial Anatomy and Fasciology in Traditional Chinese Medicine, *Journal of Acupuncture and Meridian Studies*, 10.1016/S2005-2901(10)60023-4, 3, 2, (125-132), (2010). [Crossref<sup>264</sup>](#)
- Peter T. Dorsher, The Languages of Healing: Linked by a Common Thread, *The Journal of Alternative and Complementary Medicine*, 10.1089/acm.2009.0527, 16, 8, (907-913), (2010). [Crossref<sup>265</sup>](#)
- Fei Zhou, Dengkai Huang YingXia, Neuroanatomic Basis of Acupuncture Points, *Acupuncture Therapy for Neurological Diseases*, 10.1007/978-3-642-10857-0, (32-80), (2010). [Crossref<sup>266</sup>](#)
- Roeland van Wijk, Jan van der Greef, Eduard van Wijk, Human Ultraweak Photon Emission and the Yin Yang Concept of Chinese Medicine, *Journal of Acupuncture and Meridian Studies*, 10.1016/S2005-2901(10)60041-6, 3, 4, (221-231), (2010). [Crossref<sup>267</sup>](#)
- Pierre Boutouyrie, Robert Corvisier, Kim-Than Ong, Claire Vulser, Catherine Lassalle, Michel Azizi, Brigitte Laloux, Stéphane Laurent, Acute and chronic effects of acupuncture on radial artery: A randomized double blind study in migraine, *Artery Research*, 10.1016/j.artres.2009.12.003, 4, 1, (7-14), (2010). [Crossref<sup>268</sup>](#)
- Jun J. Mao, Rahul Kapur, Acupuncture in Primary Care, *Primary Care: Clinics in Office Practice*, 10.1016/j.pop.2009.09.010, 37, 1, (105-117), (2010). [Crossref<sup>269</sup>](#)
- Andrew C. Ahn, Min Park, Jessica R. Shaw, Claire A. McManus, Ted J. Kapchuk, Helene M. Langevin, Electrical Impedance of Acupuncture Meridians: The Relevance of Subcutaneous Collagenous Bands, *PLoS ONE*, 10.1371/journal.pone.0011907, 5, 7, (e11907), (2010). [Crossref<sup>270</sup>](#)
- Kang Cheng, Chang Hua Zou, Information Models of Acupuncture Analgesia and Meridian Channels, *Information*, 10.3390/info1020153, 1, 2, (153-168), (2010). [Crossref<sup>271</sup>](#)
- Peter T. Dorsher, Myofascial Meridians as Anatomical Evidence of Acupuncture Channels, *Medical Acupuncture*, 10.1089/acu.2009.0631, 21, 2, (91-97), (2009). [Crossref<sup>272</sup>](#)
- Kwang-Sup Soh, Bonghan Circulatory System as an Extension of Acupuncture Meridians, *Journal of Acupuncture and Meridian Studies*, 10.1016/S2005-2901(09)60041-8, 2, 2, (93-106), (2009). [Crossref<sup>273</sup>](#)
- Peter T. Dorsher, Myofascial Referred-Pain Data Provide Physiologic Evidence of Acupuncture Meridians, *The Journal of Pain*, 10.1016/j.jpain.2008.12.010, 10, 7, (723-731), (2009). [Crossref<sup>274</sup>](#)
- Charles Shang, Prospective Tests on Biological Models of Acupuncture, Evidence-Based Complementary and Alternative Medicine, 10.1093/ecam/nem122, 6, 1, (31-39), (2009). [Crossref<sup>275</sup>](#)

- Antonio Stecco, Veronica Macchi, Carla Stecco, Andrea Porzianato, Julie Ann Day, Vincent Delmas, Raffaele De Caro, Anatomical study of myofascial continuity in the anterior region of the upper limb, *Journal of Bodywork and Movement Therapies*, 10.1016/j.jbmt.2007.04.009, 13, 1, (53-62), (2009). [Crossref<sup>276</sup>](#)
- Sang-Hyun Park, Jungdae Kim, Tae-Hoi Koo, Magneto-Acupuncture Stimuli Effects on Ultraweak Photon Emission from Hands of Healthy Persons, *Journal of Acupuncture and Meridian Studies*, 10.1016/S2005-2901(09)60014-5, 2, 1, (40-48), (2009). [Crossref<sup>277</sup>](#)
- James L. Oschman, Charge transfer in the living matrix, *Journal of Bodywork and Movement Therapies*, 10.1016/j.jbmt.2008.06.005, 13, 3, (215-228), (2009). [Crossref<sup>278</sup>](#)
- Hsiao-Neng Chen, Jaung-Geng Lin, Li-Chih Ying, Chen-Chai Huang, Chuan-Hsiung Lin, The Therapeutic Depth of Abdominal Acupuncture Points Approaches the Safe Depth in Overweight and in Older Children, *The Journal of Alternative and Complementary Medicine*, 10.1089/acm.2008.0582, 15, 9, (1033-1037), (2009). [Crossref<sup>279</sup>](#)
- Sallie Stoltz Denner, The Science of Energy Therapies and Contemplative Practice, *Holistic Nursing Practice*, 10.1097/HNP.0b013e3181b3784, 23, 6, (315-334), (2009). [Crossref<sup>280</sup>](#)
- N. Ospina-Díaz, Introducción a la acupuntura. Fundamentos e interés para el médico de Atención Primaria, *SEMERGEN - Medicina de Familia*, 10.1016/S1138-3593(09)72675-9, 35, 8, (380-384), (2009). [Crossref<sup>281</sup>](#)
- Suzanne McDonough, Jongbaek Park, Jing Yuan, Purepong Nithima, Daniel P. Kerr, Letters, *Spine*, 10.1097/BRS.0b013e31819d071c, 34, 7, (753), (2009). [Crossref<sup>282</sup>](#)
- Charles Shang, Has Basic Acupuncture Research Met the Gold Standard of Science?, *Medical Acupuncture*, 10.1089/acu.2009.715, 21, 3, (191-200), (2009). [Crossref<sup>283</sup>](#)
- Xiaohui Yan, Xinyi Zhang, Chenglin Liu, Ruishan Dang, Yuying Huang, Wei He, Guanghong Ding, Do acupuncture points exist?, *Physics in Medicine and Biology*, 10.1088/0031-9155/54/9/N01, 54, 9, (N143-N150), (2009). [Crossref<sup>284</sup>](#)
- Xiaojia Yu, Guanghong Ding, Hong Huang, Jun Lin, Wei Yao, Rui Zhan, Role of Collagen Fibers in Acupuncture Analgesia Therapy on Rats, *Connective Tissue Research*, 10.1080/0308200802471856, 50, 2, (110-120), (2009). [Crossref<sup>285</sup>](#)
- James J. Mao, Deborah W. Bruner, Carrie Stricker, John T. Farrar, Sharon X. Xie, Marjorie A. Bowman, Donna Pucci Xiaoyan Han, Angela DeMichele, Feasibility Trial of Electroacupuncture for Aromatase Inhibitor—Related Arthralgia in Breast Cancer Survivors, *Integrative Cancer Therapies*, 10.1177/1534735409332903, 8, 2, (123-129), (2009). [Crossref<sup>286</sup>](#)
- HongQin Yang, ShuSen Xie, Hui Li, YuHua Wang, On optics of human meridians, *Science in China Series G: Physics, Mechanics and Astronomy*, 10.1007/s11433-009-0080-7, 52, 4, (502-507), (2009). [Crossref<sup>287</sup>](#)
- Dietrich H.W. Groenemeyer, Lei Zhang, Sven Schirp, Jürgen Baier, Localization of Acupuncture Points BL25 and BL26 Using Computed Tomography, *The Journal of Alternative and Complementary Medicine*, 10.1089/acm.2007.7118-O, 15, 12, (1285-1291), (2009). [Crossref<sup>288</sup>](#)
- Mike Benjamin, The fascia of the limbs and back – a review, *Journal of Anatomy*, 10.1111/j.1469-7580.2008.01011.x, 214, 1, (1-18), (2008). [Wiley Online Library<sup>289</sup>](#)
- Jesse Li-Ling, Yiyang Wu, Congenital Syndromes Involving the Lungs: Pathogenetic Models Based on Chinese Medicine Theories, *The Journal of Alternative and Complementary Medicine*, 10.1089/acm.2008.0115, 14, 8, (1017-1025), (2008). [Crossref<sup>290</sup>](#)
- Byung-Cheon Lee, Tae-Jeong Nam, Hyeon-Min Johng, Eun-Sung Park, Ku-Youn Baik, Baec-Kyoung Sung, Kyung-Soon Soh, Yeo-Sung Yoon, Kwang-Sup Soh, Argypophilic Fibers of Intravascular Threadlike Structures in Rat, *Journal of Korean Institute of Herbal Acupuncture*, 10.3831/KPI.2008.11.3.005, 11, 3, (5-16), (2008). [Crossref<sup>291</sup>](#)
- Di Zhang, Guanghong Ding, Xueyong Shen, Wei Yao, Zhiying Zhang, Yuqing Zhang, Jun Lin, Quanbao Gu, Role of Mast Cells in Acupuncture Effect: A Pilot Study, *EXPLORE*, 10.1016/j.explore.2008.02.002, 4, 3, (170-177), (2008). [Crossref<sup>292</sup>](#)
- Stephen M. Sagar, Acupuncture as an Evidence-Based Option for Symptom Control in Cancer Patients, *Current Treatment Options in Oncology*, 10.1007/s11864-008-0063-3, 9, 2-3, (117-126), (2008). [Crossref<sup>293</sup>](#)
- M. Miguel-Pérez, J.C. Ortiz-Sagrístá, A. Pérez-Bellmunt, R. Ramos-Izquierdo, A. García-Fernández, Descripción anatómica de puntos de acupuntura en la extremidad inferior, *Revista Internacional de Acupuntura*, 10.1016/S1887-8369(08)70031-0, 2, 2, (126-131), (2008). [Crossref<sup>294</sup>](#)
- Marcus Bäcker, Paul Grossman, Jens Schneider, Andreas Michalsen, Nicola Knoblauch, Linda Tan, Corinna Niggemeyer, Klaus Linde, Dieter Melchart, Gustav J. Dobos, Acupuncture in Migraine, *The Clinical Journal of Pain*, 10.1097/AJP.0b013e318159f95e, 24, 295. [https://doi.org/10.1097/AJP.0b013e318159f95e](#)
276. [https://doi.org/10.1016/j.jbmt.2007.04.009](#)
277. [https://doi.org/10.1016/S2005-2901\(09\)60014-5](#)
278. [https://doi.org/10.1016/j.jbmt.2008.06.005](#)
279. [https://doi.org/10.1089/acm.2008.0582](#)
280. [https://doi.org/10.1097/HNP.0b013e3181b3784](#)
281. [https://doi.org/10.1016/S1138-3593\(09\)72675-9](#)
282. [https://doi.org/10.1097/BRS.0b013e31819d071c](#)
283. [https://doi.org/10.1089/acu.2009.715](#)
284. [https://doi.org/10.1088/0031-9155/54/9/N01](#)
285. [https://doi.org/10.1080/0308200802471856](#)
286. [https://doi.org/10.1177/1534735409332903](#)
287. [https://doi.org/10.1007/s11433-009-0080-7](#)
288. [https://doi.org/10.1089/acm.2007.7118-O](#)
289. [https://onlinelibrary.wiley.com/doi/10.1111/j.1469-7580.2008.01011.x](#)
290. [https://doi.org/10.1089/acm.2008.0115](#)
291. [https://doi.org/10.3831/KPI.2008.11.3.005](#)
292. [https://doi.org/10.1016/j.explore.2008.02.002](#)
293. [https://doi.org/10.1007/s11864-008-0063-3](#)
294. [https://doi.org/10.1016/S1887-8369\(08\)70031-0](#)
295. [https://doi.org/10.1097/AJP.0b013e318159f95e](#)
296. [https://doi.org/10.1089/acu.2008.0621](#)
297. [https://doi.org/10.1016/S2005-2901\(09\)60002-9](#)
298. [https://doi.org/10.1093/ecam/nem060](#)
299. [https://doi.org/10.1089/acm.2008.SAR-5](#)
300. [https://doi.org/10.1016/S2005-2901\(09\)60027-3](#)
301. [https://doi.org/10.1016/S1887-8369\(08\)70003-6](#)
302. [https://doi.org/10.1016/S2005-2901\(09\)60006-6](#)
303. [https://doi.org/10.1089/acm.2008.SAR-3](#)
304. [https://doi.org/10.1089/acm.2007.0606](#)
305. [https://doi.org/10.1016/B978-044310029-1.50013-9](#)
306. [https://doi.org/10.1016/B978-044310029-1.50014-0](#)
307. [https://doi.org/10.1016/B978-044310390-2.50009-2](#)
308. [https://onlinelibrary.wiley.com/doi/10.1002/bem.20403](#)
309. [https://doi.org/10.1186/1475-925X-7-19](#)
310. [https://doi.org/10.1016/j.explore.2006.12.002](#)
311. [https://doi.org/10.1016/j.explore.2007.06.001](#)
312. [https://doi.org/10.1186/1471-2342-7-4](#)
313. [https://doi.org/10.1078/0415-6412-00281](#)
- 2, (106-115), (2008). [Crossref<sup>295</sup>](#)
- Peter T. Dorsher, Optimal Localization of Acupuncture Points: Implications for Acupuncture Practice, Education, and Research, *Medical Acupuncture*, 10.1089/acu.2008.0621, 20, 3, (147-150), (2008). [Crossref<sup>296</sup>](#)
- Byung-Cheon Lee, Vyacheslav Ogay, Ki Woo Kim, Yuwon Lee, Jin-Kyu Lee, Kwang-Sup Soh, Acupuncture Muscle Channel in the Subcutaneous Layer of Rat Skin, *Journal of Acupuncture and Meridian Studies*, 10.1016/S2005-2901(09)60002-9, 1, 1, (13-19), (2008). [Crossref<sup>297</sup>](#)
- Agatha P. Colbert, Jinkook Yun, Adrian Larsen, Tracy Edinger, William L. Gregory, Tran Thong, Skin Impedance Measurements for Acupuncture Research: Development of a Continuous Recording System, Evidence-Based Complementary and Alternative Medicine, 10.1093/ecam/nem060, 5, 4, (443-450), (2008). [Crossref<sup>298</sup>](#)
- Hugh MacPherson, Richard Nahin, Charlotte Paterson, Claire M. Cassidy, George T. Lewith, Richard Hammerschlag, Developments in Acupuncture Research: Big-Picture Perspectives from the Leading Edge, *The Journal of Alternative and Complementary Medicine*, 10.1089/acm.2008.SAR-5, 14, 7, (883-887), (2008). [Crossref<sup>299</sup>](#)
- Vyacheslav Ogay, Min Su Kim, Hyo Jun Seok, Cheon Joo Choi, Kwang-Sup Soh, Catecholamine-storing Cells at Acupuncture Points of Rabbits, *Journal of Acupuncture and Meridian Studies*, 10.1016/S2005-2901(09)60027-3, 1, 2, (83-90), (2008). [Crossref<sup>300</sup>](#)
- J. Giebel, Mecanotransducción y transducción de señales a través del tejido conjuntivo, *Revista Internacional de Acupuntura*, 10.1016/S1887-8369(08)70003-6, 2, 1, (9-14), (2008). [Crossref<sup>301</sup>](#)
- Sheng-Hsiung Hsiao, Li-Jen Tsai, A Neurovascular Transmission Model for Acupuncture-induced Nitric Oxide, *Journal of Acupuncture and Meridian Studies*, 10.1016/S2005-2901(09)60006-6, 1, 1, (42-50), (2008). [Crossref<sup>302</sup>](#)
- Vitaly Napadow, Andrew Ahn, John Longhurst, Lixing Lao, Elisabet Stener-Victorin, Richard Harris, Helene M. Langevin, The Status and Future of Acupuncture Mechanism Research, *The Journal of Alternative and Complementary Medicine*, 10.1089/acm.2008.SAR-3, 14, 7, (861-869), (2008). [Crossref<sup>303</sup>](#)
- Hong-Yi Li, Jie-Fu Yang, Min Chen, Liang Xu, Wen-Chao Wang, Fang Wang, Jia-Bin Tong, Chuan-Yu Wang, Visualized Regional Hypodermic Migration Channels of Interstitial Fluid in Human Beings: Are These Ancient Meridians?, *The Journal of Alternative and Complementary Medicine*, 10.1089/acm.2007.0606, 14, 6, (621-628), (2008). [Crossref<sup>304</sup>](#)
- Rosa N. Schnyer, Stephen Birch, Hugh MacPherson, Acupuncture practice as the foundation for clinical evaluation, *Acupuncture Research*, 10.1016/B978-044310029-1.50013-9, (153-179), (2008). [Crossref<sup>305</sup>](#)
- Richard Hammerschlag, Hélène M. Langevin, Lixing Lao, George Lewith, Physiological dynamics of acupuncture: correlations and mechanisms, *Acupuncture Research*, 10.1016/B978-044310029-1.50014-0, (181-197), (2008). [Crossref<sup>306</sup>](#)
- Paul Orrock, Eric Blake, Leon Chaitow, Roger Newman Turner, Naturopathic Physical Medicine, *Naturopathic Physical Medicine*, 10.1016/B978-044310390-2.50009-2, (75-100), (2008). [Crossref<sup>307</sup>](#)
- Andrew C. Ahn, Agatha P. Colbert, Belinda J. Anderson, Ørjan G. Martinsen, Richard Hammerschlag, Steve Cina, Peter M. Wayne, Helene M. Langevin, Electrical properties of acupuncture points and meridians: A systematic review, *Bioelectromagnetics*, 10.1002/bem.20403, 29, 4, (245-256), (2008). [Wiley Online Library<sup>308</sup>](#)
- Margaret Julias, Lowell T. Edgar, Helen M. Buettner, David I. Shreiber, An in vitro assay of collagen fiber alignment by acupuncture needle rotation, *BioMedical Engineering Online*, 10.1186/1475-925X-7-19, 7, 1, (2008). [Crossref<sup>309</sup>](#)
- Kell N. Julliard, Claudia Citkovitz, Douglas McDaniel, Towards a Model for Planning Clinical Research in Oriental Medicine, *EXPLORE*, 10.1016/j.explore.2006.12.002, 3, 2, (118-128), (2007). [Crossref<sup>310</sup>](#)
- Arya Nielsen, Nicola T.M. Knoblauch, Gustav J. Dobos, Andreas Michalsen, Ted J. Kaptchuk, The Effect of Gua Sha Treatment on the Microcirculation of Surface Tissue: A Pilot Study in Healthy Subjects, *EXPLORE*, 10.1016/j.explore.2007.06.001, 3, 5, (456-466), (2007). [Crossref<sup>311</sup>](#)
- Roy Moncayo, Ansgar Rudisch, Markus Diemling, Christian Kremser, In-vivo visualisation of the anatomical structures related to the acupuncture points Dai mai and Shen mai by MRI: A single-case pilot study, *BMC Medical Imaging*, 10.1186/1471-2342-7-4, 7, 1, (2007). [Crossref<sup>312</sup>](#)
- J. Giebel, Mechanotransduktion und Signaltransduktion über das Bindegewebe – Mechanismen zur Erklärung des therapeutischen Effekts der Akupunktur?, *Deutsche Zeitschrift für Akupunktur*, 10.1078/0415-6412-00281, 50, 3, (6-10), (2007). [Crossref<sup>313</sup>](#)

Roy Moncayo, Ansgar Rudisch, Christian Kremser, Helga Moncayo, 3D-MRI rendering of the anatomical structures related to acupuncture points of the Dai mai, Yin qiao mai and Yang qiao mai meridians within the context of the WOMED concept of lateral tension: implications for musculoskeletal disease, *BMC Musculoskeletal Disorders*, 10.1186/1471-2474-8-33, 8, 1, (2007). [Crossref<sup>314</sup>](#)

Helene M. Langevin, Nicole A. Bouffard, David L. Churchill, Gary J. Badger, Connective Tissue Fibroblast Response to Acupuncture: Dose-Dependent Effect of Bidirectional Needle Rotation, *The Journal of Alternative and Complementary Medicine*, 10.1089/acm.2007.6351, 13, 3, (355-360), (2007). [Crossref<sup>315</sup>](#)

Yong-Hui Han, Joon-Mo Yang, Min-Su Kim, Kwang-Sup Soh, Detection of the acupuncture points in Skin by differential path-length spectroscopy, *World Congress on Medical Physics and Biomedical Engineering 2006*, 10.1007/978-3-540-36841-0, (3572-3575), (2007). [Crossref<sup>316</sup>](#)

Min-Su Kim, Vyacheslav Ogay, Yong-Hui Han, Hak-Soo Shin, Byung-Cheon Lee, Kwang-Sup Soh, Alcian Blue Staining Technique for Tracing the Governing Vessel (GV) Meridian in Rat, *World Congress on Medical Physics and Biomedical Engineering 2006*, 10.1007/978-3-540-36841-0, (3576-3579), (2007). [Crossref<sup>317</sup>](#)

Miguel-Pérez Maribel, Ortiz-Sagrístá Joan Carles, Pérez-Bellmunt Albert, Buxeda Mónica, Cuni Laura, García-Fernández Alicia, Descripción anatómica de puntos de acupuntura en la extremidad superior, *Revista Internacional de Acupuntura*, 10.1016/S1887-8369(07)70217-X, 1, 2, (53-57), (2007). [Crossref<sup>318</sup>](#)

Yury P. Limansky, Serge A. Gulyar, Ivan Z. Samosyuk, Scientific basis of acupuncture, *Kontakt*, 10.32725/kont.2007.060, 9, 2, (391-402), (2007). [Crossref<sup>319</sup>](#)

Leon Chaitow, Fascia 2007 Congress, *Journal of Bodywork and Movement Therapies*, 10.1016/j.jbmt.2006.07.004, 10, 4, (249-250), (2006). [Crossref<sup>320</sup>](#)

Helene M. Langevin, Connective tissue: A body-wide signaling network?, *Medical Hypotheses*, 10.1016/j.mehy.2005.12.032, 66, 6, (1074-1077), (2006). [Crossref<sup>321</sup>](#)

Albert Y. Leung, Jun Park, Gery Schulteis, Jeng-Ren Duann, Tony Yaksh, The Electrophysiology of De Qi Sensations, *The Journal of Alternative and Complementary Medicine*, 10.1089/acm.2006.12.743, 12, 8, (743-750), (2006). [Crossref<sup>322</sup>](#)

Acupuncture, *Obstetrics & Gynecology*, 10.1097/01.AOG.0000239498.38595.41, 108, 4, (1024-1026), (2006). [Crossref<sup>323</sup>](#)

Jeanne L. Shea, Applying Evidence-Based Medicine to Traditional Chinese Medicine: Debate and Strategy, *The Journal of Alternative and Complementary Medicine*, 10.1089/acm.2006.12.255, 12, 3, (255-263), (2006). [Crossref<sup>324</sup>](#)

Grigory V. Chernyak, Daniel I. Sessler, Perioperative Acupuncture and Related Techniques, *Anesthesiology*, 10.1097/0000542-200505000-00024, 102, 5, (1031-1049), (2005). [Crossref<sup>325</sup>](#)

Grigory Chernyak, Papiya Sengupta, Rainer Lenhardt, Edwin Liem, Anthony G. Doufas, Daniel I. Sessler, Ozan Ak?za, The Timing of Acupuncture Stimulation Does Not Influence Anesthetic Requirement, *Anesthesia & Analgesia*, 10.1213/01.ANE.0000142114.72117.E0, 100, 2, (387-392), (2005). [Crossref<sup>326</sup>](#)

Gabriela E. Garcia, Sheng-Xing Ma, Lili Feng, Acupuncture and Kidney Disease, *Advances in Chronic Kidney Disease*, 10.1016/j.ackd.2005.04.002, 12, 3, (282-291), (2005). [Crossref<sup>327</sup>](#)

Andrew C. Ahn, Junru Wu, Gary J. Badger, Richard Hammerschlag, Helene M. Langevin, Electrical impedance along connective tissue planes associated with acupuncture meridians, *BMC Complementary and Alternative Medicine*, 10.1186/1472-6882-5-10, 5, 1, (2005). [Crossref<sup>328</sup>](#)

E.E. Konofagou, H.M. Langevin, Using ultrasound to understand acupuncture, *IEEE Engineering in Medicine and Biology Magazine*, 10.1109/EMEM.2005.1411347, 24, 2, (41-46), (2005). [Crossref<sup>329</sup>](#)

R. Schleip, W. Klingler, F. Lehmann-Horn, Active fascial contractility: Fascia may be able to contract in a smooth muscle-like manner and thereby influence musculoskeletal dynamics, *Medical Hypotheses*, 10.1016/j.mehy.2005.03.005, 65, 2, (273-277), (2005). [Crossref<sup>330</sup>](#)

Paulo H. Hashimoto, The perineurial vessel: A possible candidate for the structural basis of the meridian (Jing - Luo) in Chinese medicine\*, *Anatomical Science International*, 10.1111/j.1447-073X.2005.00118.x, 80, 4, (177-180), (2005). [Wiley Online Library<sup>331</sup>](#)

Dina Ralt, Intercellular communication, NO and the biology of Chinese medicine, *Cell Communication and Signaling*, 10.1186/1478-811X-3-8, 3, 1, (2005). [Crossref<sup>332</sup>](#)

Ai-Hui Li, Jun-Ming Zhang, Yi-Kuan Xie, Human acupuncture points mapped in rats are associated with excitable muscle/skin-nerve complexes with enriched nerve endings, *Brain Research*, 10.1016/j.brainres.2004.04.009, 1012, 1-2, (154-159), (2004). [Crossref<sup>333</sup>](#)

Kaung-Ti Yung, A Birdcage Model for the Chinese Meridian System Part II: The Meridian System as a Birdcage Resonator, *The American Journal of Chinese Medicine*, 10.1142/S0192415X04002582, 32, 06, (985-997), (2004). [Crossref<sup>334</sup>](#)

J. P. Jones, Y. K. Bae, L. Wilson, C. S. So, D. D. Kidney, Ultrasonic Imaging and Characterization of Acupuncture Points in Classical Oriental Medicine, *Acoustical Imaging*, 10.1007/978-1-4020-2402-3\_66, (527-533), (2004). [Crossref<sup>335</sup>](#)

Helene M. Langevin, Elisa E. Konofagou, Gary J. Badger, David L. Churchill, James R. Fox, Jonathan Ophir, Brian S. Garra, Tissue displacements during acupuncture using ultrasound elastography techniques, *Ultrasound in Medicine & Biology*, 10.1016/j.ultrasmedbio.2004.07.010, 30, 9, (1173-1183), (2004). [Crossref<sup>336</sup>](#)

M. Bäcker, I.K. Gareus, N.T.M. Knoblauch, A. Michalsen, G.J. Dobos, Akupunktur in der Schmerztherapie – Hypothese zu adaptiven Prozessen, *Complementary Medicine Research*, 10.1159/000082815, 11, 6, (335-345), (2004). [Crossref<sup>337</sup>](#)

Opher Caspi, Cari Stellhorn, Melinda Connor, Sham in CAM, *Evidence-Based Integrative Medicine*, 10.2165/01197065-200401040-00002, 1, 4, (233-240), (2004). [Crossref<sup>338</sup>](#)

Bruce D. Curtis, J.J. Hurtak, Consciousness and Quantum Information Processing: Uncovering the Foundation for a Medicine of Light, *The Journal of Alternative and Complementary Medicine*, 10.1089/10755304322848931, 10, 1, (27-39), (2004). [Crossref<sup>339</sup>](#)

E.E. Konofagou, G.J. Badger, B.S. Garra, H.M. Langevin, IEEE Symposium on Ultrasonics, 2003, 10.1109/ULTSYM.2003.1293138, (1288-1291), (2003). [Crossref<sup>340</sup>](#)

Leon Chaitow, Judith DeLany, Neuromuscular Techniques in Orthopedics, *Techniques in Orthopaedics*, 10.1097/00013611-200303000-00013, 18, 1, (74-86), (2003). [Crossref<sup>341</sup>](#)

LiteratureWatch, *Alternative and Complementary Therapies*, 10.1089/10762800360520811, 9, 1, (49-50), (2003). [Crossref<sup>342</sup>](#)

Michael McCarthy, Palpatory literacy, Chinese therapeutic bodywork (Tui Na) and the remediation of head, neck and shoulder pain, *Journal of Bodywork and Movement Therapies*, 10.1016/S1360-8592(03)00044-5, 7, 4, (262-277), (2003). [Crossref<sup>343</sup>](#)

Leon Chaitow, What binds us together?, *Journal of Bodywork and Movement Therapies*, 10.1016/S1360-8592(03)00020-2, 7, 2, (69-70), (2003). [Crossref<sup>344</sup>](#)

Joshi, Narahari & Mbbs, Msc & Pa'ez, Ximena & Araque, MBBS. (2012). Electroacupuncture Effects on the Disintegration of Beta Amyloid Sheets: Its Application to Alzheimer's Disease. *Medical Acupuncture*. 24. 145. 10.1089/acu.2012.0873. [ResearchGate<sup>345</sup>](#)

## HRV, Ayurveda

Ram Manohar, P., Sorokin, O., Chacko, J., & Nampoothiri, V. (2018). An exploratory clinical study to determine the utility of heart rate variability analysis in the assessment of dosha imbalance. *Journal of Ayurveda and integrative medicine*, 9(2), 126–130. [Crossref<sup>346</sup>](#)

Travis F.T., Wallace R.K. Doša brain-types: a neural model of individual differences. *J Ayurveda Integr Med*. 2015;6(4):280–285. [PMC<sup>347</sup>](#) - [PubMed<sup>348</sup>](#)

Tyagi A., Cohen M. Yoga and heart rate variability: a comprehensive review of the literature. *Int J Yoga*. 2016;9(2):97–113. [PMC<sup>349</sup>](#) - [PubMed<sup>350</sup>](#)

Masel E., Huber P., Engler T., Herbert Watzke H.H. Heart rate variability during treatment of breakthrough pain in patients with advanced cancer: a pilot study. *J Pain Res*. 2016 Dec;9:1215–1220. [PMC<sup>351</sup>](#) - [PubMed<sup>352</sup>](#)

Kim E.-H., Park J.-H., Lee S.M., Gwak M.-S., Kim G.-S., Kim M.-H. Preoperative depressed mood and postoperative heart rate variability in patients with hepatic cancer. *J Clin Anesth*. 2016 Dec;35:332–338. [PubMed<sup>353</sup>](#)

Kozswicz M., Michalak S., Bilinska M., Budrewicz S., Zaborowski M., Slotwinski K. Profile of autonomic dysfunctions in patients with primary brain tumor and possible autoimmunity. *Clin Neurol Neurosurg*. 2016 Dec;151:51–54. [PubMed<sup>354</sup>](#)

314. <https://doi.org/10.1186/1471-2474-8-33>

315. <https://doi.org/10.1089/acm.2007.6351>

316. <https://doi.org/10.1007/978-3-540-36841-0>

317. <https://doi.org/10.1007/978-3-540-36841-0>

318. [https://doi.org/10.1016/S1887-8369\(07\)70217-X](https://doi.org/10.1016/S1887-8369(07)70217-X)

319. <https://doi.org/10.32725/kont.2007.060>

320. <https://doi.org/10.1016/j.jbmt.2006.07.004>

321. <https://doi.org/10.1016/j.mehy.2005.12.032>

322. <https://doi.org/10.1089/acm.2006.12.743>

323. <https://doi.org/10.1097/01.AOG.0000239498.38595.41>

324. <https://doi.org/10.1089/acm.2006.12.255>

325. <https://doi.org/10.1097/0000542-200505000-00024>

326. <https://doi.org/10.1213/01.ANE.0000142114.72117.E0>

327. <https://doi.org/10.1016/j.ackd.2005.04.002>

328. <https://doi.org/10.1186/1472-6882-5-10>

329. <https://doi.org/10.1109/EMEM.2005.1411347>

330. <https://doi.org/10.1016/j.mehy.2005.03.005>

331. <https://onlinelibrary.wiley.com/doi/10.1111/j.1447-073X.2005.00118.x>

332. <https://doi.org/10.1186/1478-811X-3-8>

333. <https://doi.org/10.1016/j.brainres.2004.04.009>

334. <https://doi.org/10.1142/S0192415X04002582>

335. [https://doi.org/10.1007/978-1-4020-2402-3\\_66](https://doi.org/10.1007/978-1-4020-2402-3_66)

336. <https://doi.org/10.1016/j.ultrasmedbio.2004.07.010>

337. <https://doi.org/10.1159/000082815>

338. <https://doi.org/10.2165/01197065-200401040-00002>

339. <https://doi.org/10.1089/10755304322848931>

340. <https://doi.org/10.1109/ULTSYM.2003.1293138>

341. <https://doi.org/10.1097/00013611-200303000-00013>

342. <https://doi.org/10.1089/10762800360520811>

343. [https://doi.org/10.1016/S1360-8592\(03\)00044-5](https://doi.org/10.1016/S1360-8592(03)00044-5)

344. [https://doi.org/10.1016/S1360-8592\(03\)00020-2](https://doi.org/10.1016/S1360-8592(03)00020-2)

345. [https://www.researchgate.net/publication/236897521\\_Electroacupuncture\\_Effects\\_on\\_the\\_Disintegration\\_of\\_Beta\\_Amyloid\\_Sheets\\_Its\\_Application\\_to\\_Alzheimer's\\_Disease](https://www.researchgate.net/publication/236897521_Electroacupuncture_Effects_on_the_Disintegration_of_Beta_Amyloid_Sheets_Its_Application_to_Alzheimer's_Disease)

346. <https://doi.org/10.1016/j.jaim.2017.06.008>

347. <http://www.ncbi.nlm.nih.gov/pmc/articles/pmc4719489/>

348. <https://pubmed.ncbi.nlm.nih.gov/26834428/>

349. <http://www.ncbi.nlm.nih.gov/pmc/articles/pmc4959333/>

350. <https://pubmed.ncbi.nlm.nih.gov/27512317/>

351. <http://www.ncbi.nlm.nih.gov/pmc/articles/pmc5161332/>

352. <https://pubmed.ncbi.nlm.nih.gov/28003771/>

353. <https://pubmed.ncbi.nlm.nih.gov/27871552/>

354. <https://pubmed.ncbi.nlm.nih.gov/27788421/>

- Rastogi, S., & Singh, R. H. (2021). Principle of Hot (Ushna) and Cold (Sheeta) and Its Clinical Application in Ayurvedic Medicine. *Advances in experimental medicine and biology*, 1343, 39–55. [Crossref<sup>355</sup>](#)
- Mills, P. J., Peterson, C. T., Wilson, K. L., Pung, M. A., Patel, S., Weiss, L., Kshirsagar, S. G., Tanzi, R. E., & Chopra, D. (2019). Relationships among classifications of ayurvedic medicine diagnostics for imbalances and western measures of psychological states: An exploratory study. *Journal of Ayurveda and integrative medicine*, 10 (3), 198–202. [Crossref<sup>356</sup>](#)
- Pandey M.M., Rastogi S., Rawat A.K. Indian traditional ayurvedic system of medicine and nutritional supplementation. *Evid Based Complement Alternat Med*. 2013;2013:376327. - [PMC<sup>357</sup>](#) - [PubMed<sup>358</sup>](#)
- Chopra A., Doiphode V.V. Ayurvedic medicine. Core concept, therapeutic principles, and current relevance. *Med Clin North Am*. 2002;86(1):75–89. vii. - [PubMed<sup>359</sup>](#)
- Zhou X., Ma Z., Zhang L., Zhou S., Wang J., Wang B. Heart rate variability in the prediction of survival in patients with cancer: a systematic review and meta-analysis. *J Psychosom Res*. 2016 Oct;89:20–25. - [PubMed<sup>360</sup>](#)
- Taffe L., Stancil K., Bond V., Pemminati S., Gorantla V.R., Kadur K. Differentiation of overweight from normal weight young adults by postprandial heart rate variability and systolic blood pressure. *J Clin Diagnostic Res*. 2016 Aug;10(8):CC01–CC06. - [PMC<sup>361</sup>](#) - [PubMed<sup>362</sup>](#)
- Gupta J., Dube A., Singh V., Gupta R.C. Spectral analysis of heart rate variability in bronchial asthma patients. *Indian J Physiol Pharmacol*. 2012;56(4):330–336. - [PubMed<sup>363</sup>](#)
- Sorokin O.V., Subotyalov M.A. Material of the all-Russian scientific and practical conference with international presence, October 26–27, 2011 Kemerovo, Russia. 2011. Comparative medical research of VedaPulse hardware and software kit // Health maintaining activities in educational system: theory and practice; pp. 225–230.
- Kelkar P., Karamchandani S., Jinda S. Proceedings of conference on advance applications in physiological variability, BARC. 2010. Identifying tridosha for disease characterisation in morphology of an IPG pulse waveform.
- Singh Harupjit. Thapar University; Patiala: 2016. Relationship between three ayurvedic doshas and heart rate variability frequency bands: a pilot study.
- Deshpande H., Shivakumar, Kavita M.B., Tripathy T.B., Chaturvedi A. Healthcare and disease management in Ayurveda. *Altern Ther Health Med*. 2001;7(2):44–50. - [PubMed<sup>364</sup>](#)
- Anthony J.V., Joanne M.G. Understanding interobserver agreement: the kappa statistic. *Fam Med*. 2005 May;37(5):360–363. - [PubMed<sup>365</sup>](#)
- Telles S., Pathak S., Kumar A., Mishra P., Balkrishna A. Ayurvedic doshas as predictors of sleep quality. *Med Sci Monit*. 2015;21:1421–1427. - [PMC<sup>366</sup>](#) - [PubMed<sup>367</sup>](#)
- Bell C., Heidel R.E., Sunega J., Drisko J. Ancient wisdom. Can ayurvedic prakriti provide invaluable insights into integrative medicine? *Ayurveda J Health*. 2017;27:27–34.
- Cohen S., Kamarck T., Mermelstein R. A global measure of perceived stress. *J Health Soc Behav*. 1983;24(4):385–396. - [PubMed<sup>368</sup>](#)
- Travis F.T., Wallace R.K. Dasha brain-types: a neural model of individual differences. *J Ayurveda Integr Med*. 2015;6(4):280–285. - [PMC<sup>369</sup>](#) - [PubMed<sup>370</sup>](#)
- Dey S, Pahwa P. Prakriti and its associations with metabolism, chronic diseases, and genotypes: possibilities of new born screening and a lifetime of personalized prevention. *J Ayurveda Integr Med*. 2014;5(1):15–24. - [PMC<sup>371</sup>](#) - [PubMed<sup>372</sup>](#)
- Purvya M.C., Meena M.S. A review on role of prakriti in aging. *Ayu*. 2011;32(1):20–24. - [PMC<sup>373</sup>](#) - [PubMed<sup>374</sup>](#)
- Pham, T., Lau, Z. J., Chen, S. H. A., & Makowski, D. (2021). Heart Rate Variability in Psychology: A Review of HRV Indices and an Analysis Tutorial. *Sensors (Basel, Switzerland)*, 21 (12), 3998. [Crossref<sup>375</sup>](#)
- Lombardi F., Malliani A., Pagani M., Cerutti S. Heart Rate Variability and Its Sympatho-Vagal Modulation. *Cardiovasc. Res*. 1996;32:208–216. doi: 10.1016/0008-6363(96)00116-2. - [DOI<sup>376</sup>](#) - [PubMed<sup>377</sup>](#)
- Mccraty R., Shaffer F. Heart Rate Variability: New Perspectives on Physiological Mechanisms, Assessment of Self-regulatory Capacity, and Health Risk. *Glob. Adv. Heal. Med*. 2015;4:46–61. doi: 10.7453/gahmj.2014.073. - [DOI<sup>378</sup>](#) - [PMC<sup>379</sup>](#) - [PubMed<sup>380</sup>](#)
- Thayer J.F., Yamamoto S.S., Brosschot J.F. The relationship of autonomic imbalance, heart rate variability and cardiovascular disease risk factors. *Int. J. Cardiol*. 2010;141:122–131. doi: 10.1016/j.ijcard.2009.09.543. - [DOI<sup>381</sup>](#) - [PubMed<sup>382</sup>](#)
355. [https://doi.org/10.1007/978-3-030-80983-6\\_4](https://doi.org/10.1007/978-3-030-80983-6_4)
356. <https://doi.org/10.1016/j.jaim.2018.02.001>
357. <http://www.ncbi.nlm.nih.gov/pmc/articles/pmc3705899/>
358. <https://pubmed.ncbi.nlm.nih.gov/23864888/>
359. <https://pubmed.ncbi.nlm.nih.gov/11795092/>
360. <https://pubmed.ncbi.nlm.nih.gov/27663106/>
361. <http://www.ncbi.nlm.nih.gov/pmc/articles/pmc5028518/>
362. <https://pubmed.ncbi.nlm.nih.gov/27656434/>
363. <https://pubmed.ncbi.nlm.nih.gov/23781652/>
364. <https://pubmed.ncbi.nlm.nih.gov/11253416/>
365. <https://pubmed.ncbi.nlm.nih.gov/15883903/>
366. <http://www.ncbi.nlm.nih.gov/pmc/articles/pmc4448595/>
367. <https://pubmed.ncbi.nlm.nih.gov/25982247/>
368. <https://pubmed.ncbi.nlm.nih.gov/6668417/>
369. <http://www.ncbi.nlm.nih.gov/pmc/articles/pmc4719489/>
370. <https://pubmed.ncbi.nlm.nih.gov/26834428/>
371. <http://www.ncbi.nlm.nih.gov/pmc/articles/pmc4012357/>
372. <https://pubmed.ncbi.nlm.nih.gov/24812471/>
373. <http://www.ncbi.nlm.nih.gov/pmc/articles/pmc3215411/>
374. <https://pubmed.ncbi.nlm.nih.gov/22131755/>
375. <https://doi.org/10.3390/s21123998>
376. [https://doi.org/10.1016/0008-6363\(96\)00116-2](https://doi.org/10.1016/0008-6363(96)00116-2)
377. <https://pubmed.ncbi.nlm.nih.gov/8796106/>
378. <https://doi.org/10.7453/gahmj.2014.073>
379. <http://www.ncbi.nlm.nih.gov/pmc/articles/pmc4311559/>
380. <https://pubmed.ncbi.nlm.nih.gov/25694852/>
381. <https://doi.org/10.1016/j.ijcard.2009.09.543>
382. <https://pubmed.ncbi.nlm.nih.gov/19910061/>
383. <https://doi.org/10.2174/1573403X16999201231203854>
384. <https://doi.org/10.1016/j.mehy.2020.109574>
385. <https://doi.org/10.1016/j.jpsycho.2023.08.001>
386. <https://doi.org/10.3390/jcm7110404>
387. <http://www.ncbi.nlm.nih.gov/pmc/articles/pmc6262541/>
388. <https://pubmed.ncbi.nlm.nih.gov/30384420/>
389. <https://doi.org/10.36740/wlek202111130>
390. <https://pubmed.ncbi.nlm.nih.gov/35023505/>
391. <https://doi.org/10.3389/fpsyg.2022.927705>
392. <http://www.ncbi.nlm.nih.gov/pmc/articles/pmc9558284/>
393. <https://pubmed.ncbi.nlm.nih.gov/36248548/>
394. <https://doi.org/10.3389/fpsyg.2018.00044>
395. <http://www.ncbi.nlm.nih.gov/pmc/articles/pmc5859128/>
396. <https://pubmed.ncbi.nlm.nih.gov/29595576/>
397. <https://doi.org/10.3389/fpsyg.2017.00213>
398. <http://www.ncbi.nlm.nih.gov/pmc/articles/pmc5316555/>
399. <https://pubmed.ncbi.nlm.nih.gov/28265249/>
400. <https://doi.org/10.1093/mp/9.1.32>
401. <https://doi.org/10.1584/voices/v19i2.2556>
402. <https://doi.org/10.3389/fpsyg.2019.01038>
403. <http://www.ncbi.nlm.nih.gov/pmc/articles/pmc6517496/>
404. <https://pubmed.ncbi.nlm.nih.gov/31133945/>
405. <https://doi.org/10.18936/islis.24.1.155>
406. <https://doi.org/10.1016/j.jpsycho.2017.07.010>
407. <https://pubmed.ncbi.nlm.nih.gov/28739482/>
408. <https://doi.org/10.3390/jcm11195927>
409. <https://doi.org/10.1088/1361-6579/ab1887>
410. <https://doi.org/10.1111/j.1540-8159.2010.02841.x>
- 10.1016/j.ijcard.2009.09.543. - [DOI<sup>381</sup>](#) - [PubMed<sup>382</sup>](#)
- Tiwari, R., Kumar, R., Malik, S., Raj, T., & Kumar, P. (2021). Analysis of Heart Rate Variability and Implication of Different Factors on Heart Rate Variability. *Current cardiology reviews*, 17 (5), e160721189770. [Crossref<sup>383</sup>](#)
- Roy, S., Goswami, D. P., & Sengupta, A. (2020). Geometry of the Poincaré plot can segregate the two arms of autonomic nervous system - A hypothesis. *Medical hypotheses*, 138, 109574. [Crossref<sup>384</sup>](#)
- Gullett, N., Zajkowska, Z., Walsh, A., Harper, R., & Mondelli, V. (2023). Heart rate variability (HRV) as a way to understand associations between the autonomic nervous system (ANS) and affective states: A critical review of the literature. *International journal of psychophysiology : official journal of the International Organization of Psychophysiology*, 192, 35–42. [Crossref<sup>385</sup>](#)
- Zou L., Sasaki J.E., Wei G.X., Huang T., Yeung A.S., Neto O.B., Chen K.W., Hui S.S. Effects of Mind-Body Exercises (Tai Chi/Yoga) on Heart Rate Variability Parameters and Perceived Stress: A Systematic Review with Meta-Analysis of Randomized Controlled Trials. *J. Clin. Med*. 2018;7:404. doi: 10.3390/jcm7110404. - [DOI<sup>386</sup>](#) - [PMC<sup>387</sup>](#) - [PubMed<sup>388</sup>](#)
- Danylova T.V., Shmarhun V.M., Vertel A.V., Matyushko B.K., Bondarenko A.F., Kychkyruk T., Petersen J. Effects of the eastern mind-body practices on mental health during the COVID-19 pandemic: When east meets west. *Wiad. Lek*. 2021;74:2850–2855. doi: 10.36740/Wlek202111130. - [DOI<sup>389</sup>](#) - [PubMed<sup>390</sup>](#)
- Feneberg A.C., Nater U.M. An Ecological Momentary Music Intervention for the Reduction of Acute Stress in Daily Life: A Mixed Methods Feasibility Study. *Front. Psychol*. 2022;13:927705. doi: 10.3389/fpsyg.2022.927705. - [DOI<sup>391</sup>](#) - [PMC<sup>392</sup>](#) - [PubMed<sup>393</sup>](#)
- Breit S., Kupferberg A., Rogler G., Hasler G. Vagus Nerve as Modulator of the Brain–Gut Axis in Psychiatric and Inflammatory Disorders. *Front. Psychiatry*. 2018;9:44. doi: 10.3389/fpsyg.2018.00044. - [DOI<sup>394</sup>](#) - [PMC<sup>395</sup>](#) - [PubMed<sup>396</sup>](#)
- Laborde S., Mosley E., Thayer J.F. Heart rate variability and cardiac vagal tone in psychophysiological research—recommendations for experiment planning, data analysis, and data reporting. *Front. Psychol*. 2017;8:213. doi: 10.3389/fpsyg.2017.00213. - [DOI<sup>397</sup>](#) - [PMC<sup>398</sup>](#) - [PubMed<sup>399</sup>](#)
- Chesky K.S., Michel D.E. The Music Vibration Table (MVT): Developing a Technology and Conceptual Model for Pain Relief. *Music Ther. Perspect*. 1991;9:32–38. doi: 10.1093/mt/9.1.32. - [DOI<sup>400</sup>](#)
- Campbell E., Burger B., Ala-Ruona E. A Single-Case, Mixed Methods Study Exploring the Role of Music Listening in Vibroacoustic Treatment. *Voices World Forum Music Ther*. 2019;19:27. doi: 10.15845/voices.v19i2.2556. - [DOI<sup>401</sup>](#)
- Braun Janzen T., Al Shirawi M.I., Rotzinger S., Kennedy S.H., Bartel L. A Pilot Study Investigating the Effect of Music-Based Intervention on Depression and Anhedonia. *Front. Psychol*. 2019;10:1038. doi: 10.3389/fpsyg.2019.01038. - [DOI<sup>402</sup>](#) - [PMC<sup>403</sup>](#) - [PubMed<sup>404</sup>](#)
- Karkkainen M., Mitsui J. The Effects of Sound Based Vibration Treatment on the Human Mind and Body the Physioacoustic Method. *J. Int. Soc. Life Inf. Sci*. 2006;24:155–164. doi: 10.18936/islis.24.1.155. - [DOI<sup>405</sup>](#)
- Jirakitayakorn N., Wongsawat Y. Brain Responses to 40-Hz Binaural Beat and Effects on Emotion and Memory. *Int. J. Psychophysiol*. 2017;120:96–107. doi: 10.1016/j.jpsycho.2017.07.010. - [DOI<sup>406</sup>](#) - [PubMed<sup>407</sup>](#)
- Fooks C., Niebuhr O. Assessing Vibroacoustic Sound Massage Through The Biosignal of Human Speech: Evidence of Improved Wellbeing; Proceedings of the IEEE International Conference on Acoustics, Speech and Signal Processing (ICASSP); Seoul, Republic of Korea. 14–19 April 2024; pp. 11401–11405.
- Gitler, A., Vanacker, L., De Couck, M., De Leeuw, I., & Gidron, Y. (2022). Neuromodulation Applied to Diseases: The Case of HRV Biofeedback. *Journal of clinical medicine*, 11 (19), 5927. [Crossref<sup>408</sup>](#)
- Zhu, J., Ji, L., & Liu, C. (2019). Heart rate variability monitoring for emotion and disorders of emotion. *Physiological measurement*, 40 (6), 064004. [Crossref<sup>409</sup>](#)
- Nunan, D., Sandercock, G. R., & Brodie, D. A. (2010). A quantitative systematic review of normal values for short-term heart rate variability in healthy adults. *Pacing and clinical electrophysiology* : *PACE*, 33 (11), 1407–1417. [Crossref<sup>410</sup>](#)

Qu, X., Wu, Y., Liu, J., & Cui, L. (2020). HRV-Spark: Computing Heart Rate Variability Measures Using Apache Spark. *Proceedings. IEEE International Conference on Bioinformatics and Biomedicine*, 2020, 10.1109/bibm49941.2020.9313361. [Crossref<sup>411</sup>](#)

Rahul, L. R., Sarkar, R., Sengupta, A., Chandra, B. S., & Jana, S. (2023). Novel AI-based HRV analysis (NAIHA) in healthcare automation and related applications. *Journal of electrocardiology*, 79, 112–121. [Crossref<sup>412</sup>](#)

Taoum, A., Bisiaux, A., Tilquin, F., Le Guillou, Y., & Carrault, G. (2022). Validity of Ultra-Short-Term HRV Analysis Using PPG-A Preliminary Study. *Sensors (Basel, Switzerland)*, 22 (20), 7995. [Crossref<sup>413</sup>](#)

Ortega, E., Bryan, C. Y. X., & Christine, N. S. C. (2024). The Pulse of Singapore: Short-Term HRV Norms. *Applied psychophysiology and biofeedback*, 49 (1), 55–61. [Crossref<sup>414</sup>](#)

Vondrasek, J. D., Riemann, B. L., Grosicki, G. J., & Flatt, A. A. (2023). Validity and Efficacy of the Elite HRV Smartphone Application during Slow-Paced Breathing. *Sensors (Basel, Switzerland)*, 23 (23), 9496. [Crossref<sup>415</sup>](#)

Malik M., Bigger J.T., Camm A.J., Kleiger R.E., Malliani A., Moss A.J., Schwartz P.J. Heart rate variability: Standards of measurement, physiological interpretation, and clinical use. *Eur. Heart J.* 1996;17:354–381. doi: 10.1093/oxfordjournals.eurheartj.a014868. - [DOI<sup>416</sup>](#) - [PubMed<sup>417</sup>](#)

Shaffer F., McCraty R., Zerr C.L. A healthy heart is not a metronome: An integrative review of the heart's anatomy and heart rate variability. *Front. Psychol.* 2014;5:1040. doi: 10.3389/fpsyg.2014.01040. - [DOI<sup>418</sup>](#) - [PMC<sup>419</sup>](#) - [PubMed<sup>420</sup>](#)

Grosicki G.J., Culver M.N., McMillan N.K., Cross B.L., Montoye A.H.K., Riemann B.L., Flatt A.A. Self-recorded heart rate variability profiles are associated with health and lifestyle markers in young adults. *Clin. Auton. Res.* 2022;32:507–518. doi: 10.1007/s10286-022-00884-z. - [DOI<sup>421</sup>](#) - [PubMed<sup>422</sup>](#)

Natarajan A., Pantelopoulos A., Emir-Farinas H., Natarajan P. Heart rate variability with photoplethysmography in 8 million individuals: A cross-sectional study. *Lancet Digit. Health.* 2020;2:e650–e657. doi: 10.1016/S2589-7500(20)30246-6. - [DOI<sup>423</sup>](#) - [PubMed<sup>424</sup>](#)

Talbert, L. D., Kaelberer, Z., Gleave, E., Driggs, A., Driggs, A. S., Steffen, P. R., Baldwin, S. A., & Larson, M. J. (2023). A systematic review of heart rate variability (HRV) biofeedback treatment following traumatic brain injury (TBI). *Brain injury*, 37 (7), 635–642. [Crossref<sup>425</sup>](#)

Jeyhani, V., Mahdiani, S., Peltokangas, M., & Vehkaoja, A. (2015). Comparison of HRV parameters derived from photoplethysmography and electrocardiography signals. *Annual International Conference of the IEEE Engineering in Medicine and Biology Society. IEEE Engineering in Medicine and Biology Society. Annual International Conference*, 2015, 5952–5955. [Crossref<sup>426</sup>](#)

Brennan, M., Palaniswami, M., & Kamen, P. (2002). Poincaré plot interpretation using a physiological model of HRV based on a network of oscillators. *American journal of physiology. Heart and circulatory physiology*, 283 (5), H1873–H1886. [Crossref<sup>427</sup>](#)

Ken Umetani MD A B C, Donald H Singer MD, FACC A B, Rollin McCraty MS C, Mike Atkinson C, Twenty-Four Hour Time Domain Heart Rate Variability and Heart Rate: Relations to Age and Gender Over Three Decades. [DOI<sup>428</sup>](#), [ScienceDirect<sup>429</sup>](#)

Ahani A, Wahbeh H, Nezamfar H, Miller M, Erdogmus D, Oken B. Quantitative change of EEG and respiration signals during mindfulness meditation. *J Neuroeng Rehabil.* 2014;11(1):1. doi: 10.1186/1743-0003-11-87. - [DOI<sup>431</sup>](#) - [PMC<sup>438</sup>](#) - [PubMed<sup>439</sup>](#)

Ahani A, Wahbeh H, Miller M, Nezamfar H, Erdogmus D, Oken B. Change in physiological signals during mindfulness meditation. *Int IEEE EMBS Conf Neural Eng.* 2013;1378–81. - [PMC<sup>440</sup>](#) - [PubMed<sup>441</sup>](#)

Stapleton P, Dispenza J, McGill S, Sabot D, Peach M, Raynor D. Large effects of brief meditation intervention on EEG spectra in meditation novices. *IBRO Rep.* 2020;1(9):290–301. doi: 10.1016/j.ibror.2020.10.006. - [DOI<sup>442</sup>](#) - [PMC<sup>443</sup>](#) - [PubMed<sup>444</sup>](#)

Travis F, Haaga DAF, Hagelin J, Tanner M, Nidich S, Gaylord-King C, et al. Effects of Transcendental Meditation practice on brain functioning and stress reactivity in college students. *Int J Psychophysiol.* 2009;71(2):170–176. doi: 10.1016/j.ijpsycho.2008.09.007. - [DOI<sup>445</sup>](#) - [PubMed<sup>446</sup>](#)

Phongsupap S, Pongsupap Y, Chandanamatha P, Lursinsap C. Changes in heart rate variability during concentration meditation. *Int J Cardiol.* 2008;130(3):481–484. doi: 10.1016/j.ijcard.2007.06.103. - [DOI<sup>447</sup>](#) - [PubMed<sup>448</sup>](#)

Nesvold A, Fagerland MW, Davanger S, Ellingsen Ø, Solberg EE, Holen A, et al. Increased heart rate variability during nondirective meditation. *Eur J Prev Cardiol.* 2012;19(4):773–80. doi: 10.1177/1741826711414625. - [DOI<sup>449</sup>](#) - [PubMed<sup>450</sup>](#)

Léonard A, Clément S, Kuo CD, Manto M. Changes in heart rate variability during heartfulness meditation: a power spectral analysis including the residual spectrum. *Front Cardiovasc Med.* 2019;14(6):62. doi: 10.3389/fcvm.2019.00062. - [DOI<sup>451</sup>](#) - [PMC<sup>452</sup>](#) - [PubMed<sup>453</sup>](#)

Pasquini HA, Tanaka GK, Basile LFH, Velasques B, Lozano MD, Ribeiro P. Electrophysiological correlates of long-term Soto Zen meditation. *Biomed Res Int.* 2015;2015:598496. doi: 10.1155/2015/598496. - [DOI<sup>454</sup>](#) - [PMC<sup>455</sup>](#) - [PubMed<sup>456</sup>](#)

Cipresso P, Serino S, Borghesi F, Tartarisco G, Riva G, PioGGia G, et al. Continuous measurement of stress levels in naturalistic settings using heart rate variability: an experience-sampling study driving a machine learning approach. *Acta IMEKO.* 2021;10(4):239. doi: 10.21014/acta\_imeko.v10i4.1183. - [DOI<sup>457</sup>](#)

Berntson GG, Thomas Bigger J, Eckberg DL, Grossman P, Kaufmann PG, Malik M, et al. Heart rate variability: origins, methods, and interpretive caveats. *Psychophysiology.* 1997;34(6):623–648. doi: 10.1111/j.1469-8986.1997.tb02140.x. - [DOI<sup>458</sup>](#) - [PubMed<sup>459</sup>](#)

Acharya UR, Joseph KP, Kannathal N, Lim CM, Suri JS. Heart rate variability: a review. *Med Biol Eng Comput.* 2006;44(12):1031–1051. doi: 10.1007/s11517-006-0119-0. - [DOI<sup>460</sup>](#) - [PubMed<sup>461</sup>](#)

Fell J, Axmacher N, Haupt S. From alpha to gamma: Electrophysiological correlates of meditation-related states of consciousness. *Med Hypotheses.* 2010;75(2):218–224. doi: 10.1016/j.mehy.2010.02.025. - [DOI<sup>462</sup>](#) - [PubMed<sup>463</sup>](#)

Rodriguez-Larios J, Faber P, Achermann P, Tei S, Alaerts K. From thoughtless awareness to effortful cognition: alpha - theta cross-frequency dynamics in experienced meditators during meditation, rest and arithmetic. *Sci Rep.* 2020;10(1):1–11. doi: 10.1038/s41598-020-62392-2. - [DOI<sup>464</sup>](#) - [PMC<sup>465</sup>](#) - [PubMed<sup>466</sup>](#)

Cahn BR, Delorme A, Polich J. Occipital gamma activation during Vipassana meditation. *Cogn Process.* 2010;11(1):39–56. doi: 10.1007/s10339-009-0352-1. - [DOI<sup>467</sup>](#) - [PMC<sup>468</sup>](#) - [PubMed<sup>469</sup>](#)

Borghesi F, Chirico A, Pedroli E, Cipriani GE, Canessa N, Amanzio M, et al. Exploring Biomarkers of mental flexibility in healthy aging: a computational psychometric study. *Sensors (Basel)* 2023;23(15):6983. doi: 10.3390/s23156983. - [DOI<sup>470</sup>](#) - [PMC<sup>471</sup>](#) - [PubMed<sup>472</sup>](#)

Fang, S., & Zhang, W. (2024). Heart-Brain Axis: A Narrative Review of the Interaction between Depression and Arrhythmia. *Biomedicines*, 12 (8), 1719. [Crossref<sup>473</sup>](#)

Gullett N., Zajkowska Z., Walsh A., Harper R., Mondelli V. Heart rate variability (HRV) as a way to understand associations between the autonomic nervous system (ANS) and affective states: A critical review of the literature. *Int. J. Psychophysiol.* 2023;192:35–42. doi: 10.1016/j.ijpsycho.2008.09.007. - [DOI<sup>474</sup>](#) - [PubMed<sup>475</sup>](#)

38. <https://www.ncbi.nlm.nih.gov/pmc/articles/pmc4060143/>

39. <https://pubmed.ncbi.nlm.nih.gov/24939519/>

40. <https://www.ncbi.nlm.nih.gov/pmc/articles/pmc3988787/>

41. <https://pubmed.ncbi.nlm.nih.gov/24748422/>

42. <https://doi.org/10.1016/j.ibror.2020.10.006>

43. <https://www.ncbi.nlm.nih.gov/pmc/articles/pmc7649620/>

44. <https://pubmed.ncbi.nlm.nih.gov/33204893/>

45. <https://doi.org/10.1016/j.ijpsycho.2008.09.007>

46. <https://pubmed.ncbi.nlm.nih.gov/18854202/>

47. <https://doi.org/10.1016/j.ijcard.2007.06.103>

48. <https://pubmed.ncbi.nlm.nih.gov/17764770/>

49. <https://doi.org/10.1177/1741826711414625>

50. <https://pubmed.ncbi.nlm.nih.gov/21693507/>

51. <https://doi.org/10.3389/fcvm.2019.00062>

52. <https://www.ncbi.nlm.nih.gov/pmc/articles/pmc6527777/>

53. <https://pubmed.ncbi.nlm.nih.gov/31139634/>

54. <https://doi.org/10.1155/2015/598496>

55. <https://www.ncbi.nlm.nih.gov/pmc/articles/pmc4302970/>

56. <https://pubmed.ncbi.nlm.nih.gov/25632397/>

57. [https://doi.org/10.21014/acta\\_imeko.v10i4.1183](https://doi.org/10.21014/acta_imeko.v10i4.1183)

58. <https://doi.org/10.1111/j.1469-8986.1997.tb02140.x>

59. <https://pubmed.ncbi.nlm.nih.gov/9401419/>

60. <https://doi.org/10.1007/s11517-006-0119-0>

61. <https://pubmed.ncbi.nlm.nih.gov/17111118/>

62. <https://doi.org/10.1016/j.mehy.2010.02.025>

63. <https://pubmed.ncbi.nlm.nih.gov/20227193/>

64. <https://doi.org/10.1038/s41598-020-62392-2>

65. <https://www.ncbi.nlm.nih.gov/pmc/articles/pmc7096392/>

66. <https://pubmed.ncbi.nlm.nih.gov/32214173/>

67. <https://doi.org/10.1007/s10339-009-0352-1>

68. <https://www.ncbi.nlm.nih.gov/pmc/articles/pmc2812711/>

69. <https://pubmed.ncbi.nlm.nih.gov/20013298/>

70. <https://doi.org/10.3390/s23156983>

71. <https://www.ncbi.nlm.nih.gov/pmc/articles/pmc10422551/>

72. <https://pubmed.ncbi.nlm.nih.gov/3751766/>

73. <https://doi.org/10.3390/biomedicines12081719>

## Geest/lichaam

Borghesi, F., Cremascoli, R., Chirico, A., Bianchi, L., Di Moia, A., Priano, L., Piedimonte, A., Mauro, A., & Cipresso, P. (2024). Mind and body connection in expert meditators: a computational study based on central and peripheral nervous system. *BMC complementary medicine and therapies*, 24 (1), 117. [Crossref<sup>430</sup>](#)

Brandmeyer T, Delorme A, Wahbeh H. The neuroscience of meditation: classification, phenomenology, correlates, and mechanisms. *Prog Brain Res.* 2019;1(244):1–29. [PubMed<sup>431</sup>](#)

Travis F, Shear J. Focused attention, open monitoring and automatic self-transcending categories to organize meditations from Vedic, Buddhist Chinese Traditions. *Conscious Cogn.* 2010;19(4):1110–1118. doi: 10.1016/j.concog.2010.01.007. - [DOI<sup>432</sup>](#) - [PubMed<sup>433</sup>](#)

Liberman N, Trope Y. The psychology of transcending the here and now. *Science* 2008;322(5905):1201–5. doi: 10.1126/science.1161958. - [DOI<sup>434</sup>](#) - [PMC<sup>435</sup>](#) - [PubMed<sup>436</sup>](#)

411. <https://doi.org/10.1109/bibm49941.2020.9313361>

412. <https://doi.org/10.1016/j.jelectrocard.2023.03.013>

413. <https://doi.org/10.3390/s22207995>

414. <https://doi.org/10.1007/s10484-023-09603-3>

415. <https://doi.org/10.3390/s23239496>

416. <https://doi.org/10.1093/oxfordjournals.eurheartj.a014868>

417. <https://pubmed.ncbi.nlm.nih.gov/8737210/>

418. <https://doi.org/10.3389/fpsyg.2014.01040>

419. <https://www.ncbi.nlm.nih.gov/pmc/articles/pmc4179748/>

420. <https://pubmed.ncbi.nlm.nih.gov/25324790/>

421. <https://doi.org/10.1007/s10286-022-00884-z>

422. <https://pubmed.ncbi.nlm.nih.gov/35999422/>

423. [https://doi.org/10.1016/s2589-7500\(20\)30246-6](https://doi.org/10.1016/s2589-7500(20)30246-6)

424. <https://pubmed.ncbi.nlm.nih.gov/33328029/>

425. <https://doi.org/10.1080/02699052.2023.2208880>

426. <https://doi.org/10.1109/EMBC.2015.7319747>

427. <https://doi.org/10.1152/ajpheart.00405.2000>

428. [https://doi.org/10.1016/S0735-1097\(97\)00554-8](https://doi.org/10.1016/S0735-1097(97)00554-8)

429. <https://www.sciencedirect.com/science/article/pii/S0735109797005548>

430. <https://doi.org/10.1186/s12906-024-04413-5>

431. <https://pubmed.ncbi.nlm.nih.gov/30732832/>

432. <https://doi.org/10.1016/j.concog.2010.01.007>

433. <https://pubmed.ncbi.nlm.nih.gov/20167507/>

434. <https://doi.org/10.1126/science.1161958>

435. <https://www.ncbi.nlm.nih.gov/pmc/articles/pmc2643344/>

j.ijpsycho.2023.08.001. - DOI<sup>474</sup> - PubMed<sup>475</sup>

Bassett D. A literature review of heart rate variability in depressive and bipolar disorders. *Aust. New Zealand J. Psychiatry*. 2015;50:511–519. doi: 10.1177/0004867415622689. - DOI<sup>476</sup> - PubMed<sup>477</sup>

Zhu J., Ji L., Liu C. Heart rate variability monitoring for emotion and disorders of emotion. *Physiol. Meas.* 2019;40:064004. doi: 10.1088/1361-6579/ab1887. - DOI<sup>478</sup> - PubMed<sup>479</sup>

Chalmers J.A., Quintana D.S., Abbott M.J., Kemp A.H. Anxiety Disorders are Associated with Reduced Heart Rate Variability: A Meta-Analysis. *Front. Psychiatry*. 2014;5:80. doi: 10.3389/fpsy.2014.00080. - DOI<sup>480</sup> - PMC<sup>481</sup> - PubMed<sup>482</sup>

Chang H.A., Chang C.C., Chen C.L., Kuo T.B., Lu R.B., Huang S.Y. Major depression is associated with cardiac autonomic dysregulation. *Acta Neuropsychiatr*. 2012;24:318–327. doi: 10.1111/j.1601-5215.2011.00647.x. - DOI<sup>483</sup> - PubMed<sup>484</sup>

Burke J.H., Goldberger J.J., Ehlert F.A., Kruse J.T., Parker M.A., Kadish A.H. Gender differences in heart rate before and after autonomic blockade: Evidence against an intrinsic gender effect. *Am. J. Med.* 1996;100:537–543. doi: 10.1016/S0002-9343(96)00018-6. - DOI<sup>485</sup> - PubMed<sup>486</sup>

Kittnar O. Sex Related Differences in Electrocardiography. *Physiol. Res.* 2023;72:S127–S135. doi: 10.33549/physiolres.934952. - DOI<sup>487</sup> - PMC<sup>488</sup> - PubMed<sup>489</sup>

Kotov R., Gamez W., Schmidt F., Watson D. Linking “big” personality traits to anxiety, depressive, and substance use disorders: A meta-analysis. *Psychol. Bull.* 2010;136:768–821. doi: 10.1037/a0020327. - DOI<sup>490</sup> - PubMed<sup>491</sup>

Godin P.J., Buchman T.G. Uncoupling of biological oscillators: A complementary hypothesis concerning the pathogenesis of multiple organ dysfunction syndrome. *Crit. Care Med.* 1996;24:1107–1116. doi: 10.1097/00003246-199607000-00008. - DOI<sup>492</sup> - PubMed<sup>493</sup>

Wang, L., Hao, J., & Zhou, T. H. (2023). ECG Multi-Emotion Recognition Based on Heart Rate Variability Signal Features Mining. *Sensors (Basel, Switzerland)*, 23 (20), 8636. [Crossref<sup>494</sup>](#)

Cai Y., Li X., Li J. Emotion Recognition Using Different Sensors, Emotion Models, Methods and Datasets: A Comprehensive Review. *Sensors*. 2023;23:2455. doi: 10.3390/s23052455. - DOI<sup>495</sup> - PMC<sup>496</sup> - PubMed<sup>497</sup>

Xiefeng, C., Wang, Y., Dai, S., Zhao, P., & Liu, Q. (2019). Heart sound signals can be used for emotion recognition. *Scientific reports*, 9 (1), 6486. [Crossref<sup>498</sup>](#)

Hasnul, M. A., Ab Aziz, N. A., & Abd Aziz, A. (2023). Augmenting ECG Data with Multiple Filters for a Better Emotion Recognition System. *Arabian journal for science and engineering*, 1–22. Advance online publication. [Crossref<sup>499</sup>](#)

Hasnul, M. A., Aziz, N. A. A., Alelyani, S., Mohana, M., & Aziz, A. A. (2021). Electrocardiogram-Based Emotion Recognition Systems and Their Applications in

474. <https://doi.org/10.1016/j.ijpsycho.2023.08.001>

475. <https://pubmed.ncbi.nlm.nih.gov/37543289/>

476. <https://doi.org/10.1177/0004867415622689>

477. <https://pubmed.ncbi.nlm.nih.gov/26698824/>

478. <https://doi.org/10.1088/1361-6579/ab1887>

479. <https://pubmed.ncbi.nlm.nih.gov/30974428/>

480. <https://doi.org/10.3389/fpsy.2014.00080>

481. <http://www.ncbi.nlm.nih.gov/pmc/articles/pmc4092363/>

482. <https://pubmed.ncbi.nlm.nih.gov/25071612/>

483. <https://doi.org/10.1111/j.1601-5215.2011.00647.x>

484. <https://pubmed.ncbi.nlm.nih.gov/25287173/>

485. [https://doi.org/10.1016/s0002-9343\(96\)00018-6](https://doi.org/10.1016/s0002-9343(96)00018-6)

486. <https://pubmed.ncbi.nlm.nih.gov/86474766/>

487. <https://doi.org/10.33549/physiolres.934952>

488. <http://www.ncbi.nlm.nih.gov/pmc/articles/pmc10660582/>

489. <https://pubmed.ncbi.nlm.nih.gov/37565417/>

490. <https://doi.org/10.1037/a0020327>

491. <https://pubmed.ncbi.nlm.nih.gov/20804236/>

492. <https://doi.org/10.1097/00003246-199607000-00008>

493. <https://pubmed.ncbi.nlm.nih.gov/8674321/>

494. <https://doi.org/10.3390/s23052455>

495. <https://doi.org/10.3390/s23052455>

496. <http://www.ncbi.nlm.nih.gov/pmc/articles/pmc10007272/>

497. <https://pubmed.ncbi.nlm.nih.gov/36904659/>

498. <https://doi.org/10.1038/s41598-019-42826-2>

499. <https://doi.org/10.1007/s13369-022-07585-9>

Healthcare-A Review. *Sensors (Basel, Switzerland)*, 21 (15), 5015. [Crossref<sup>500</sup>](#)

Li, Y., Tan, R., Lin, T., Liu, Q., Wang, C. D., & Chen, M. (2024). ER-GET: Emotion Recognition Based on Global ECG Trajectory. *IEEE journal of biomedical and health informatics*, 28 (9), 5201–5213. [Crossref<sup>501</sup>](#)

Woods, R. A., & Hill, P. B. (2022). Myers Brigg. In *StatPearls*. StatPearls Publishing. [PubMed<sup>502</sup>](#)

Wallick, M. M., & Cambre, K. M. (1999). Personality types in academic medicine. *The Journal of the Louisiana State Medical Society : official organ of the Louisiana State Medical Society*, 151 (7), 378–383. [PubMed<sup>503</sup>](#)

Tobacyk, J. J., Livingston, M. M., & Robbins, J. E. (2008). Relationships between Myers-Briggs type indicator measure of psychological type and neo measure of big five personality factors in Polish University students: a preliminary cross-cultural comparison. *Psychological reports*, 103 (2), 588–590. [Crossref<sup>504</sup>](#)

Eicke, F. J., Blake, G., & Replogle, W. (1993). A comparative view of the Myers-Briggs type indicator. *Family medicine*, 25 (3), 186–190. [PubMed<sup>505</sup>](#)

Ranganathan VK, Siemionow V, Liu JZ, Sahgal V, Yue GH. From mental power to muscle power—gaining strength by using the mind. *Neuropsychologia*. 2004;42(7):944-56. doi: 10.1016/j.neuropsychologia.2003.11.018. PMID: 14998709. [PubMed<sup>506</sup>](#)

## Electromagnetism

Blank, Martin; Goodman, Reba . (2011). DNA is a fractal antenna in electromagnetic fields. *International Journal of Radiation Biology*, 87(4), 409–415. [Crossref<sup>507</sup>](#)

Cantero, M.d.R., Villa Etchegoyen, C., Perez, P.L. et al. Bundles of Brain Microtubules Generate Electrical Oscillations. *Sci Rep* 8, 11899 (2018). [Crossref<sup>508</sup>](#)

Gutierrez, B.C., Cantiello, H.F. & Cantero, M. The electrical properties of isolated microtubules. *Sci Rep* 13, 10165 (2023). [Crossref<sup>509</sup>](#)  
Meijer, Dirk. (2018). Processes of Science and Art Modeled as a Holoflux of Information Using Toroidal Geometry. *Open Journal of Philosophy*. 8. 365-400. [10.4236/ojpp.2018.84026<sup>510</sup>](#)

Kuman, Maria. (2018). Our Weak Nonlinear Electromagnetic Field (Nemf) that Rules Everything in the Body is Emotionally Sensitive. *Journal of Complementary Medicine & Alternative Healthcare*. 8. [10.19080/JCMAH.2018.08.555731<sup>511</sup>](#)

Leonova-Gariaeva, & Gariaev, Peter & Friedman, Mark & Leonova-Gariaeva, Ekaterina. (2011). Principles of Linguistic-Wave Genetics. *DNA Decipher Journal*. 1. [ResearchGate<sup>512</sup>](#)

GuangJun Zhang and Michael Levin (2025) Bioelectricity is a universal multifaced signaling cue in living organisms. [10.1091/mbc.E23-08-0312<sup>513</sup>](#)

Angelo Esposito, Rafael Krichevsky, and Alberto Nicolis (2019) Gravitational Mass Carried by Sound Waves [Crossref<sup>514</sup>](#)

500. <https://doi.org/10.3390/s21155015>

501. <https://doi.org/10.1109/JBHI.2024.3403188>

502. <https://pubmed.ncbi.nlm.nih.gov/32119483/>

503. <https://pubmed.ncbi.nlm.nih.gov/10474985/>

504. <https://doi.org/10.2466/prt.103.2.588-590>

505. <https://pubmed.ncbi.nlm.nih.gov/8458560/>

506. <https://pubmed.ncbi.nlm.nih.gov/14998709/>

507. <https://doi.org/10.3109/09553002.2011.538130>

508. <https://doi.org/10.1038/s41598-018-30453-2>

509. <https://doi.org/10.1038/s41598-023-36801-1>

510. <https://www.researchgate.net/publication/326972894>

511. <https://www.researchgate.net/publication/330217977>

512. <https://www.researchgate.net/publication/228926241>

513. <https://www.molbiolcell.org/doi/full/10.1091/mbc.E23-08-0312>

514. <https://doi.org/10.1103/PhysRevLett.122.084501>

# Addendum 3.

## Bibliografie

1. **"Prology: vervul je levensproject - Boek 1: ziekte, genezing, transmutatie: het pad van hulpbronnen"** door Christine Degoy  
Een innovatieve gids die gezondheid en welzijn opnieuw verkent door een systematische benadering, waardoor je je bestaan kunt herdefiniëren en een dieper begrip van je levensproject kunt verkrijgen. Dit boek biedt je de tools die je nodig hebt om innerlijke communicatie te cultiveren, je perceptie van de werkelijkheid te transformeren en volledig je *raison d'être* te belichamen.
2. **"Prology: herontdek de zin van het leven - Boek 2: Het levensproject in het lichaam: begrijpen, ontgrendelen, transmuteren"** door Christine Degoy

### Energie en elektrische geneeskunde

3. **"Het Elektrische Lichaam: Elektromagnetisme en de Basis van het Leven"** door Robert Becker en Gary Selden
4. **"De Vonk in de Machine: Hoe de Wetenschap van Acupunctuur de Mysteries van de Westerse Geneeskunde Verklaart"** door Dr. Daniel Keown  
Dr. Keown's werk overbrugt de kloof tussen de Westerse medische wetenschap en de oude praktijk van acupunctuur, en biedt een uitgebreide uitleg over hoe energie door het lichaam stroomt en hoe het kan worden benut voor genezing.
5. **"Energie Geneeskunde: De Wetenschappelijke Basis"** door James L. Oschman  
Dit boek biedt een grondige verkenning van de wetenschap achter energie geneeskunde, met bewijs van hoe elektromagnetische velden, meridianen en andere energiesystemen de gezondheid beïnvloeden. Oschman put uit de natuurkunde en biologie om de energiesystemen van het lichaam uit te leggen op een manier die zowel conventionele als alternatieve genezingspraktijken aanvult.
6. **"Trillingsgeneeskunde: Het #1 Handboek van Subtiële-Energie Therapieën"** door Richard Gerber  
Gerber's klassieke tekst is een essentiële bron voor het begrijpen van het veld van subtiële energie geneeskunde. Het biedt een gedetailleerd overzicht van energievelden, chakra's en hoe trillingstherapieën werken om lichaam en geest te genezen.
7. **"Kruisstromen: De Gevaren van Elektropollutie, de Belofte van Elektromedicijnen"** door Robert O. Becker  
Becker's vervolg op *Het Elektrische Lichaam*, dit boek onderzoekt de gezondheidsimplicaties van moderne elektrische technologie, terwijl het ook verkent hoe elektromagnetische therapie kan helpen bij genezing.
8. **"Biologie van Geloof: De Kracht van Bewustzijn, Materie en Wonderen Ontketenen"** door Bruce H. Lipton  
Dit boek duikt in de kruising van biologie en geloof, en laat zien hoe de geest het lichaam beïnvloedt op cellulair niveau. Lipton legt uit hoe energievelden en bewustzijn biologische processen beïnvloeden.
9. **"Het Veld: De Zoektocht naar de Geheime Kracht van het Universum"** door Lynne McTaggart  
McTaggart verkent geavanceerde wetenschap over het nulpuntveld, een universeel energieveld dat alle materie verbindt. Dit boek biedt inzichten in de energetische aard van het leven en hoe we deze energie kunnen benutten voor genezing.

10. **"Genezing Is Spanning: Het Handboek"** door Jerry Tennant  
Dr. Tennant legt uit hoe spanning in het lichaam, vooral op cellulair niveau, cruciaal is voor de gezondheid. Hij biedt een uitgebreid overzicht van hoe het handhaven van een juiste elektrische potentieel fundamenteel is voor genezing en welzijn.

### Moderne Spiritualiteit

11. **"My Big TOE (Theory of Everything)"** door Thomas Campbell  
Een uitgebreide trilogie die de aard van de realiteit, bewustzijn en de verbinding tussen het fysieke en metafysische verkent. Campbell, een natuurkundige en bewustzijnsonderzoeker, vermengt wetenschap en spiritualiteit om een model van bestaan te presenteren dat meditatie, veranderende bewustzijnstoestanden en het begrip van energie in het universum ondersteunt.
12. **"The Mind Illuminated: A Complete Meditation Guide Integrating Buddhist Wisdom and Brain Science for Greater Mindfulness"** door John Yates (Culadasa)  
De gids van Culadasa is een grondige, stap-voor-stap uitleg van meditatiepraktijk, geworteld in zowel oude boeddhistische leringen als hedendaagse neurowetenschap. Het overbrugt de kloof tussen traditionele meditatie technieken en moderne wetenschappelijke inzichten in de hersenen.
13. **"Altered Traits: Science Reveals How Meditation Changes Your Mind, Brain, and Body"** door Daniel Goleman en Richard J. Davidson  
Dit boek duikt in het wetenschappelijk onderzoek rond meditatie en verkent de diepgaande effecten op de hersenen en het lichaam. Goleman en Davidson putten uit decennia van onderzoek om uit te leggen hoe meditatie leidt tot blijvende psychologische en fysiologische veranderingen.
14. **"Waking Up: A Guide to Spirituality Without Religion"** door Sam Harris  
Sam Harris, een neurowetenschapper en filosoof, presenteert een rationele benadering van spiritualiteit en meditatie, geworteld in zowel wetenschap als persoonlijke ervaring. Zijn boek richt zich vooral op hoe meditatie kan leiden tot diepgaande verschuivingen in perceptie en begrip van bewustzijn, zonder de noodzaak van religieuze kaders.
15. **"The Power of Now: A Guide to Spiritual Enlightenment"** door Eckhart Tolle  
Het veelgelezen boek van Tolle benadrukt het belang van mindfulness en aanwezig zijn in het moment. Zijn leringen bieden praktische inzichten over hoe je vollediger en bewuster kunt leven, wat aansluit bij de energetische en mentale aspecten van welzijn die besproken worden in *Sing the Body Electric*.
16. **"Real Magic: Ancient Wisdom, Modern Science, and a Guide to the Secret Power of the Universe"** door Dean Radin  
Radin, een toonaangevende onderzoeker op het gebied van parapsychologie, verkent het wetenschappelijk bewijs voor fenomenen zoals telepathie, precognitie en psychokinese, en legt verbanden tussen bewustzijn, energie en de bredere structuur van de realiteit. Dit boek biedt een basis voor het begrijpen van andere realiteiten buiten het fysieke.
17. **"The Physics of Consciousness: The Quantum Mind and the Meaning of Life"** door Evan Harris Walker  
Dit boek gaat dieper in op de kwantumfysica en de relatie met bewustzijn. Walker verkent de rol van de waarnemer in de kwantummechanica en presenteert een theorie dat bewustzijn fundamenteel is voor het universum, wat bijdraagt aan een breder begrip van energie en bestaan.
18. **"The Secret Doctrine"** door H.P. Blavatsky  
Deze fundamentele tekst van Theosofie verkent de aard van het universum, bewustzijn en spirituele evolutie.
19. **"The Perennial Philosophy"** door Aldous Huxley  
Huxley onderzoekt de gemeenschappelijke draden van spiritualiteit in verschillende religies en benadrukt universele waarheden.
20. **"Human Destiny"** door Pierre Lecomte du Noüy  
Dit boek verkent de intersectie van wetenschap, filosofie en religie, en pleit voor het idee dat menselijke evolutie wordt geleid door een goddelijke bedoeling. Het bespreekt het spirituele potentieel van de mensheid en de morele verantwoordelijkheden die gepaard gaan met menselijk bewustzijn.

21. **"The Road to Reason"** door Pierre Lecomte du Noüy  
In dit filosofische werk bespreekt Lecomte du Noüy het belang van rede en wetenschappelijk denken in het begrijpen van het universum. Hij gaat ook in op hoe wetenschappelijke vooruitgang geïntegreerd moet worden met morele en spirituele ontwikkeling.
34. **"Verschillende Gaven: Het Begrijpen van Persoonlijkheidstypen"** door Isabel Briggs Myers met Peter B. Myers  
Dit boek legt het MBTI-systeem van persoonlijkheidstypen uit, dat is gebaseerd op Jung's psychologische typen. Het biedt inzichten in hoe verschillende persoonlijkheidstypen interageren en hoe ze invloed uitoefenen op het persoonlijke en professionele leven.

## Digitale signaalverwerking

22. **"Inzicht in Digitale Signaalverwerking"** door Richard G. Lyons
23. **"De Gids voor Wetenschappers en Ingenieurs in Digitale Signaalverwerking"** door Steven W. Smith  
Een populair en gemakkelijk te lezen boek dat DSP-concepten introduceert met praktische voorbeelden en toepassingen. Het is een gratis online bron die uitlegt hoe signaalverwerking werkt met stapsgewijze handleidingen en voorbeelden uit de praktijk, waardoor het zeer toegankelijk is voor beginners, vooral voor degenen die geïnteresseerd zijn in audio- en muzikale signaalanalyse.
24. **"Digitale Audio Signaalverwerking"** door Udo Zölzer  
Dit boek introduceert de principes en toepassingen van digitale audio signaalverwerking, met een focus op gebieden zoals digitale filters, audio-effecten en tijd-frequentie-analyse. Hoewel technisch, wordt het materiaal gepresenteerd op een manier die toegankelijk is voor lezers met basiskennis van DSP.
25. **"Een Inleiding tot Audio-inhoud Analyse: Toepassingen in Signaalverwerking en Muziek Informatica"** door Alexander Lerch  
Deze tekst is bijzonder nuttig voor degenen die geïnteresseerd zijn in audio- en muziek signaalverwerking. Het introduceert technieken voor het analyseren van audio-inhoud zoals muziekstructuur, ritme en harmonie met behulp van signaalverwerkingsalgoritmen. Het boek is praktisch en toegankelijk voor zowel studenten als professionals.
26. **"Het Ontwerpen van Audio Effect Plug-Ins in C: Met Digitale Audio Signaalverwerking Theorie"** door Will Pirkle  
Voor degenen die willen duiken in de toepassingszijde van audio signaalverwerking, is dit boek een gebruiksvriendelijke introductie tot het coderen en ontwerpen van audio-effecten met behulp van C-programmering. Het is ideaal voor beginners die willen begrijpen hoe DSP kan worden toegepast om real-time audio-effecten te creëren.

## Jung en het onbewuste

27. **"Herinneringen, Dromen, Reflecties"** door Carl G. Jung  
Een semi-autobiografisch werk, dit boek behandelt Jung's leven en belangrijke ideeën, waaronder zijn ontwikkeling van concepten zoals het collectieve onbewuste, archetypen en de schaduw. Het biedt persoonlijke inzichten in zijn psychologische theorieën.
28. **"De Archetypen en het Collectieve Onbewuste"** door Carl G. Jung  
Dit boek is een centraal tekst in de Jungiaanse psychologie, waar hij zijn theorieën over de onbewuste geest uiteenzet, met name het collectieve onbewuste en zijn archetypische beelden. Het is fundamentele lectuur voor het begrijpen van Jung's ideeën over persoonlijkheid en de psyche.
29. **"Psychologische Typen"** door Carl G. Jung  
In dit werk introduceert Jung zijn theorie van psychologische typen, die later invloed had op de ontwikkeling van de Myers-Briggs Type Indicator (MBTI). Hij bespreekt de dichotomie van introversie en extravertie, evenals andere psychologische functies die de persoonlijkheid vormen.
30. **"De Mens en Zijn Symbolen"** door Carl G. Jung  
Geschreven als een toegankelijke inleiding tot de Jungiaanse gedachte, dit boek gaat dieper in op het gebruik van symbolen in dromen en kunst als representaties van onbewuste processen. Het is ontworpen voor een breder publiek en biedt inzichten in de menselijke psyche.
31. **"Het Onontdekte Zelf"** door Carl G. Jung  
Jung verkent het conflict tussen de behoefte van het individu aan persoonlijke ontwikkeling en de druk van de moderne samenleving. Het benadrukt het belang van zelfbewustzijn bij het navigeren door de onbewuste en schaduw aspecten van de persoonlijkheid.
32. **"Je Eigen Schaduw Bezitten: Het Begrijpen van de Donkere Kant van de Psyche"** door Robert A. Johnson  
Een praktische gids om Jung's concept van de schaduw te begrijpen, dit boek legt uit hoe je de schaduw zelf kunt herkennen en integreren voor psychologische balans en persoonlijke groei.
33. **"Jung's Kaart van de Ziel: Een Inleiding"** door Murray Stein  
Dit boek biedt een inleiding tot Jung's theorieën over persoonlijkheid, inclusief zijn ideeën over de schaduw, het onbewuste en individuatie. Het is een goede bron voor degenen die nieuw zijn in de Jungiaanse psychologie.

## Genezen met geluiden

35. **"De genezende kracht van geluid: herstel van levensbedreigende ziekten met behulp van geluid, stem en muziek"** door Mitchell L. Gaynor
36. **"Afstemmen van het menselijke biofield: genezen met vibrerende geluidstherapie"** door Eileen Day McKusick  
McKusick verkent de biofield anatomie en bespreekt hoe geluid, frequentie en vibratie het menselijke energieveld beïnvloeden. Het boek bevat informatie over hoe stemvorken en andere geluidtools genezing kunnen bevorderen.
37. **"Genezing geluiden: de kracht van harmonieken"** door Jonathan Goldman  
Dit boek legt het concept uit van het gebruik van geluid en harmonieken om het lichaam en de geest te genezen. Het bevat praktische technieken voor geluid genezing, zoals vocale toning en werken met boventonen.
38. **"Geluidsgeneeskunde: hoe de oude wetenschap van geluid te gebruiken om het lichaam en de geest te genezen"** door Kulreet Chaudhary  
Dit boek combineert oude Ayurvedische geneeskunde met moderne geluidstherapie praktijken. Chaudhary legt uit hoe geluid frequenties en vibraties kunnen worden gebruikt voor genezing en welzijn, van mantra's tot moderne geluidstechnologieën.

## Bewustzijn, Energie en Realiteit

39. **"De Vierde Fase van Water: Voorbij Vast, Vloeibaar en Stoom"** door Gerald Pollack  
Pollack presenteert baanbrekend onderzoek naar de eigenschappen van water en de implicaties ervan voor biologische en energiegeneeskunde.
40. **"LSD en de Geest van het Universum"** door Christopher Bache  
Bache verkent de kruising van psychedelica, bewustzijn en de aard van de realiteit door middel van persoonlijke ervaringen en wetenschappelijke inzichten.
41. **"Bewustzijn Voorbij het Leven: De Wetenschap van de Nabij-de-Doodervaring"** door Pim van Lommel  
Van Lommel biedt een uitgebreide analyse van nabij-de-doodervaringen, hun implicaties voor bewustzijn en de continuïteit van het zelf voorbij fysieke existentie.
42. **"De Man die Niet in Wonderen Geloofde"** door Didier Van Cauwelaert  
Deze roman verweeft thema's van bewustzijn en kwantumfysica, en verkent de aard van de realiteit en geloof door middel van een meeslepende vertelling.
43. **"Gezond met een Doel: Impulsen voor Zelfgenezing"** door Folker Meissner  
Meissner onderzoekt de wetenschappelijke principes achter energiegeneeskunde en biedt inzichten in het therapeutische potentieel en de mechanismen ervan.
44. **"Verbonden: De Ontstaan van Globaal Bewustzijn"** door Roger Nelson  
Nelson onderzoekt de onderlinge verbondenheid van menselijk bewustzijn en de implicaties voor het begrijpen van collectieve ervaringen en globaal bewustzijn.
45. **"Morphogene Water - Gezondheid - Informatie en Velden van Bewustzijn"** door Marc Henry  
Henry bespreekt de betekenis van water in biologische systemen en de rol ervan als medium voor energietransfer en bewustzijn.
46. **"Leven na het Leven"** door Raymond Moody  
Moody's baanbrekende werk introduceert het concept van nabij-de-doodervaringen en presenteert talloze casestudy's die de gemeenschappelijke elementen benadrukken die door degenen die dergelijke ervaringen hebben gehad, zijn gerapporteerd.
47. **"Omarmd door het Licht"** door Betty J. Eadie  
Deze memoires beschrijven Eadie's nabij-de-doodervaring, en delen haar inzichten en de diepgaande spirituele openbaringen die ze tijdens haar reis heeft ervaren.
48. **"Bewijs van de Hemel: Een Neurochirurg's Reis naar het Hiernamaals"** door Eben Alexander  
Alexander, een neurochirurg, deelt zijn eigen nabij-de-doodervaring en biedt een meeslepende getuigenis die de conventionele wetenschappelijke opvattingen over bewustzijn en het hiernamaals uitdaagt.
49. **"Sterven om Ik te Zijn: Mijn Reis van Kanker, naar Nabij de Dood, naar Ware Genezing"** door Anita Moorjani  
Moorjani deelt haar transformerende nabij-de-doodervaring tijdens haar strijd tegen kanker en de krachtige lessen over zelfacceptatie en genezing die ze heeft geleerd.
50. **"Reizen Buiten het Lichaam"** door Robert A. Monroe  
Dit klassieke boek documenteert Monroe's persoonlijke ervaringen met buitenaards reizen en verkent de mogelijkheden van menselijk bewustzijn buiten het fysieke lichaam. Het wordt algemeen beschouwd als een van de fundamentele teksten in de studie van bewustzijn.
51. **"Verre Reizen"** door Robert A. Monroe  
Dit vervolg op "Reizen Buiten het Lichaam" gaat dieper in op Monroe's reizen voorbij het fysieke vlak, waar hij verschillende dimensies van bestaan verkent en zijn begrip van bewustzijn uitbreidt.

52. **"Ultimatum Reis"** door Robert A. Monroe  
In dit laatste boek van de trilogie deelt Monroe inzichten uit zijn ervaringen in veranderde bewustzijns toestanden, met de focus op thema's zoals het hiernamaals, de aard van het bestaan en het menselijke doel.
53. **"Kosmisch Bewustzijn"** door Richard M. Bucke  
Bucke beschrijft zijn eigen ervaring van kosmisch bewustzijn en verkent de implicaties ervan voor spirituele evolutie.
54. **"Een Yaqui Manier van Kennis"** door Carlos Castaneda  
Dit boek duikt in sjamanistische praktijken en de aard van de realiteit door Castaneda's leertraject bij een Yaqui-sjaman.
64. **"Het Pad van Zelftransformatie"** door Eva Pierrakos  
Geschreven door de vrouw van John Pierrakos, Eva Pierrakos, is dit boek essentieel voor het begrijpen van de spirituele en energetische fundamenten van Kern-Energetica. Het presenteert een verzameling leringen van de Pathwork Guide, die een sterke invloed had op Pierrakos' eigen therapeutische werk.
65. **"Mijn Stem Zal Met Je Meegaan: De Onderwijzende Verhalen van Milton H. Erickson"** door Milton H. Erickson, bewerkt door Sidney Rosen  
Dit boek is een verzameling van Erickson's therapeutische verhalen en onderwijzende vertellingen. Het benadrukt zijn indirecte technieken en gebruik van metaforen om diepgaande psychologische verandering te faciliteren, en biedt inzichten in de manier waarop Erickson zijn patiënten subtiel naar genezing leidde.

## Bio-ethiek en Geneeskunde

55. **"Bio-ethiek: Principes, Vraagstukken en Gevallen"** door Lewis Vaughn  
Vaughn presenteert belangrijke ethische principes en vraagstukken in de medische praktijk, met casestudies voor real-world toepassingen.

## Bewustzijn Studies

56. **"Bewustzijn en het Universum: Kwantumfysica, Evolutie, Brein & Geest"** door Sir Roger Penrose en Stuart Hameroff  
Deze verzameling essays verkent de kwantum oorsprongen van bewustzijn, waarbij inzichten uit de fysica, neurowetenschappen en filosofie worden gecombineerd om te onderzoeken hoe kwantumprocessen in de hersenen misschien bewust ervaren kunnen verklaren.
57. **"Bewustzijn Verklaard"** door Daniel Dennett  
Dennett presenteert een uitgebreide theorie van bewustzijn, die pleit tegen traditionele opvattingen en inzichten biedt in de werking van de geest.
58. **"Wakker Worden: Een Gids voor Spiritualiteit Zonder Religie"** door Sam Harris  
Harris bespreekt bewustzijn, meditatie en de aard van spiritualiteit, en pleit voor een seculiere benadering van het begrijpen van de geest.

## Kwantumfysica en Metafysica

59. **"De Kwantum en de Lotus: Een Reis naar de Grensgebieden Waar Wetenschap en Boeddhisme Ontmoeten"** door Matthieu Ricard en Trinh Xuan Thuan  
60. **"Het Holografische Universum"** door Michael Talbot  
Talbot presenteert het idee dat het universum functioneert als een hologram, en combineert inzichten uit de kwantumfysica met metafysische implicaties.

## Psychologie en Psychotherapie

61. **"De Zoektocht van de Mens naar Betekenis"** door Viktor E. Frankl  
Frankl verkent de psychologische reis van het vinden van een doel, zelfs in de meest erbarmelijke omstandigheden, waarbij hij existentiële filosofie en psychologie integreert.
62. **"Het Lichaam Houdt de Score: Brein, Geest en Lichaam in de Genezing van Trauma"** door Bessel van der Kolk  
Dit boek bespreekt de impact van trauma op het lichaam en de geest, en benadrukt innovatieve benaderingen voor genezing.
63. **"Kern-Energetica"** door John C. Pierrakos  
Dit boek schetst Pierrakos' benadering van Kern-Energetica, een lichaamsgerichte therapeutische modaliteit. Hij gaat in op hoe het ontblokke van energie in het lichaam kan leiden tot emotionele en psychologische genezing, en integreert spiritualiteit met psychotherapie.
66. **"Ongewone Therapie: De Psychiatrische Technieken van Milton H. Erickson, M.D."** door Jay Haley  
Haley biedt een gedetailleerd kijkje in Erickson's innovatieve technieken in kortdurende therapie. Dit boek benadrukt Erickson's niet-traditionele en vaak verrassende methoden, inclusief zijn vermogen om patiënten in slechts een paar sessies naar snelle therapeutische doorbraken te begeleiden.
67. **"Algemene Systeemtheorie: Grondslagen, Ontwikkeling, Toepassingen"** door Ludwig von Bertalanffy  
Een klassieker in systeemdenken, Bertalanffy's werk introduceert de fundamenten van de Algemene Systeemtheorie, die een fundamentele pijler werd voor interdisciplinair onderzoek in de wetenschappen. Zijn ideeën zijn invloedrijk geweest in alles van biologie tot sociale wetenschappen.
68. **"Stappen naar een Ecologie van de Geest"** door Gregory Bateson  
Een sleutelpersoon in de Palo Alto Groep, Bateson's verzameling essays behandelt onderwerpen zoals communicatie, psychologie en ecologie. Zijn werk legde de basis voor systeemdenken in menselijke communicatie en interacties.
69. **"Geest en Natuur: Een Noodzakelijke Eenheid"** door Gregory Bateson  
Een andere essentiële tekst van Bateson, die onderzoekt hoe de geest en de omgeving met elkaar verbonden zijn. Zijn ideeën zijn fundamenteel voor het begrijpen van systeemtheorie in termen van menselijke interactie, leren en ecologie.
70. **"De Sociale Constructie van de Realiteit: Een Traktaat in de Sociologie van Kennis"** door Peter L. Berger en Thomas Luckmann  
Dit boek sluit aan bij systeemdenken door de verkenning van hoe sociale systemen en realiteiten worden geconstrueerd en onderhouden.
71. **"Het Systeembeeld van het Leven: Een Verenigende Visie"** door Fritjof Capra en Pier Luigi Luisi  
Capra, een sleutelpersoon in systeemdenken, presenteert een hedendaagse en geïntegreerde begrip van levende systemen. Dit boek verbindt systeemtheorie met biologie, ecologie en bewustzijn.
72. **"Verandering: Principes van Probleemvorming en Probleemoplossing"** door Paul Watzlawick, John Weakland, en Richard Fisch  
Een ander essentieel werk van de Palo Alto Groep, het onderzoekt hoe verandering optreedt in menselijke systemen, met name gezinnen en organisaties, door een systemische lens.
73. **"De Boom van Kennis: De Biologische Wortels van Menselijk Begrip"** door Humberto R. Maturana en Francisco J. Varela  
Dit boek verbindt biologie, cognitie en systeemdenken, met een focus op autopoiesis (zelf-creërende systemen), een centraal concept in het begrijpen van levende systemen.
74. **"Cybernetica, of Controle en Communicatie in het Dier en de Machine"** door Norbert Wiener  
Deze fundamentele tekst van cybernetica verkent hoe communicatie- en controleprocessen functioneren in zowel machines als levende wezens.
75. **"De Vijfde Discipline: De Kunst & Praktijk van de Leerorganisatie"** door Peter M. Senge  
Senge's werk past systeemdenken toe op organisatieontwikkeling. Het wordt algemeen beschouwd als een sleuteltekst in zowel het bedrijfsleven als het onderwijs, met een focus op hoe complexe organisaties kunnen worden gestructureerd voor leren en aanpassing.

## Systementheorie en Systeemdenken